#### REPUBLIQUE ALGERIENNE DEMOCRATIQUE ET POPULAIRE MINISTRE DE L'ENSEIGNEMENT SUPERIEURE ET DE LA RECHERCHE SCIENTIFIQUE

#### UNIVERSITE MOULOUD MAMMERI DE TIZI OUZOU FACULTE DU GENIE DE LA CONSTRUCTION DEPARTEMENT DU GENIE CIVIL





### Projet de fin d'études soutenu pour l'obtention du diplôme de Master professionnel

Spécialité : Génie Civil Option : Constructions hydrauliques et aménagements

Présenté par : **HACHOUR Aghilas** 

Thème

## Analyse mécano-fiabiliste d'un réservoir posé au sol en béton précontraint

Proposé et diriger par :

Mr HAMMOUM Hocine

#### Je remercie:

Mes chers parents et toute ma famille, qui m'ont soutenu le long de mon parcours.

Mes amis auxquels je tiens beaucoup.

Mr HAMMOUM, qui m'a accompagné et encourager le long de ma formation master.

Toutes les personnes aillant contribué, de près ou de loin, à ma réussite.

#### Remerciement

| 1. | CHAPITRE 1 : SYNTHESE BIBLIOGRAPHIQUE |          |  |    |  |  |  |  |  |
|----|---------------------------------------|----------|--|----|--|--|--|--|--|
|    | 3.1.                                  | Introd   | luction  | 3  |  |  |  |  |  |
|    | 3.2.                                  | Carac    | téristiques des matériaux                            | 3  |  |  |  |  |  |
|    |                                       | 1.1.1.   | Béton  | 3  |  |  |  |  |  |
|    |                                       | 1.1.2.   | Les aciers   | 3  |  |  |  |  |  |
|    | 3.3.                                  | Qu'est   | t-ce que la corrosion ?                              | 5  |  |  |  |  |  |
|    | 3.4.                                  | Proces   | ssus de corrosion dans le béton                      | 5  |  |  |  |  |  |
|    | 3.5.                                  | Les ty   | pes de corrosion                                     | 6  |  |  |  |  |  |
|    |                                       | 1.1.3.   | Corrosion uniforme (carbonatation)                   | 6  |  |  |  |  |  |
|    |                                       | 1.1.4.   | Corrosion par piqûres (ions de chlorures)            | 7  |  |  |  |  |  |
|    | 3.6.                                  | Model    | de corrosion   | 8  |  |  |  |  |  |
|    |                                       | 1.1.5.   | Model de corrosion pour le béton armé                | 8  |  |  |  |  |  |
|    |                                       | 1.1.6.   | Model de corrosion pour le béton précontraint :      | 10 |  |  |  |  |  |
|    | 3.7.                                  | Concl    | usion  | 12 |  |  |  |  |  |
| 2. | CHA                                   | APITRI   | E 2 : CALCUL DETERMINISTE DE LA PAROI D'UN RESERVOIR | 13 |  |  |  |  |  |
|    | 2.1.                                  | Introd   | luction  | 14 |  |  |  |  |  |
|    | 2.2.                                  | Calcul   | de la paroi sous chargement statique                 | 14 |  |  |  |  |  |
|    | 2.2.1                                 | . Calcul | des pressions  | 14 |  |  |  |  |  |
|    | 2.2.2                                 | . Calcul | des efforts de traction                              | 15 |  |  |  |  |  |
|    | 2.3.                                  | Calcul   | de la paroi sous chargement dynamique                | 15 |  |  |  |  |  |
|    |                                       | 2.3.1.   | Calcul des pressions                                 | 15 |  |  |  |  |  |
|    |                                       | 2.3.2.   | Calcul des efforts de tractions                      | 16 |  |  |  |  |  |
|    |                                       | 2.4.     | Combinaisons de charges                              | 16 |  |  |  |  |  |
|    | 2.5.                                  | Étude    | de cas   | 19 |  |  |  |  |  |
|    |                                       | 2.5.1.   | Présentation de l'ouvrage                            | 19 |  |  |  |  |  |
|    |                                       | 2.5.2.   | Méthode de travail                                   | 20 |  |  |  |  |  |
|    | 2.6.                                  | Étude    | de la précontrainte                                  | 22 |  |  |  |  |  |
|    |                                       | 2.6.1.   | Les classes de précontrainte                         | 22 |  |  |  |  |  |
|    |                                       | 2.6.2.   | Dimensionnement de la précontrainte                  | 23 |  |  |  |  |  |
|    |                                       | 2.6.3.   | Les pertes de précontraintes                         | 25 |  |  |  |  |  |
|    |                                       | 2.6.4.   | Vérification des efforts                             | 41 |  |  |  |  |  |
|    | 2.7.                                  | Etude    | de la corrosion                                      | 55 |  |  |  |  |  |

|    | 2.8. | Conclusion   | 60 |
|----|------|--|----|
| 3. | CHA  | APITRE 3 : CALCUL FIABILISTE DE LA PAROI DU RESERVOIR          | 61 |
|    | 3.1. | INTRODUCTION   | 62 |
|    | 3.2. | Critère de défaillance et fonction d'état limite               | 62 |
|    | 3.3. | Identification des variables                                   | 62 |
|    | 3.4. | Génération des variables aléatoires                            | 62 |
|    | 3.5. | Evaluation de la probabilité de défaillance                    | 64 |
|    | 3.6. | Comparaison des résultats du calcul déterministe et fiabiliste | 69 |
|    | 3.7. | Conclusion   | 69 |
| 3. | LES  | ANNEXES  | 72 |

| $Figure \ 1.1: \ Diagramme \ simplifi\'e \ des \ contraintes \ en \ fonctions \ des \ d\'eformations \ du$ |
|--|
| béton  |
| Figure 1.2 : Diagramme simplifié des contraintes en fonctions des déformations des                         |
| aciers passifs   |
| $Figure\ 1.3: Diagramme\ des\ contraintes\ en\ fonctions\ des\ d\'eformations\ des\ aciers\ actifs5$       |
| Figure 1.4 : diagramme des deux phases de corrosion en fonction du temps6                                  |
| Figure 1.5 : processus de corrosion uniforme   |
| Figure 1.6 : barre corrodée par carbonatation  |
| Figure 1.7 : processus de corrosion par piqure8  |
| Figure 1.8 : Montage de l'essai de Darmawan et Stewart   |
| Figure 2.1 : pressions hydrostatique agissant sur la paroi du réservoir                                    |
| Figure 2.2 : pressions hydrodynamique agissant sur la paroi du réservoir16                                 |
| Figure 2.3 : diagramme de la méthode de travail  |
| Figure 2.4 : vue de dessus d'une coupe transversale de la paroi  |
| Figure 2.5 : détails de la coupe A-A   |
| Figure 2.6 : diagramme des contraintes après perte par frottement  |
| Figure 2.7 : tension dans un câble avant et après recul d'ancrage  |
| Figure 2.8 : position du point C dans le diagramme des tensions dans le câble30                            |
| Figure 2.9 : diagramme des tensions dans le câble après perte par frottement et recul                      |
| d'ancrage32  |
| Figure 2.10 : diagramme des tensions dans le câble le plus sollicité après les trois pertes                |
| instantanées   |
| Figure 2.11 diagramme des tensions dans le câble le plus sollicité après les quatre pertes36               |
| Figure 2.12 d:iagramme des tensions dans le câble le plus sollicité après les cinq pertes38                |
| Figure 2.13 : diagramme des tensions du câble le plus sollicité après toutes pertes40                      |
| Figure 2.14 : coupe transversale dans la paroi au niveau d'une bande41                                     |
| Figure 2.15 : fuseau d'efforts sous l'effet des combinaisons rares le long du câble dans la fibre          |
| la plus éloignée vers l'intérieur  |
| Figure $2.16$ : fuseau d'efforts sous l'effet des combinaisons rares aux voisinages du câble $45$          |
| Figure 2.17 : fuseau d'efforts sous l'effet des combinaisons rares le long du câble dans la fibre          |
| la plus éloignée vers l'extérieur46  |
| Figure 2.18 : fuseau d'efforts sous l'effet de la combinaison fréquente le long du câble dans la           |

| fibre la plus éloignée vers l'intérieur  |
|--|
| Figure 2.19 : fuseau de contraintes au droit du câble  |
| Figure 2.20 : fuseau d'efforts sous l'effet de la combinaison fréquente le long du câble dans la |
| fibre la plus éloignée vers l'extérieur  |
| Figure 2.21 : fuseau d'efforts sous l'effet de la combinaison quasi-permanente le long du        |
| câble dans la fibre la plus éloignée vers l'intérieur  |
| Figure 2.22 : fuseau d'efforts sous l'effet de la combinaison quasi-permanente au droit du       |
| câble53  |
| Figure 2.23 : fuseau d'efforts sous l'effet de la combinaison quasi-permanente le long du        |
| câble dans la fibre la plus éloignée vers l'extérieur  |
| Figure 2.24 : diagramme de la diminution de la section d'un câble dans le temps pour les         |
| différents degrés d'agressivité  |
| Figure 2.25 : âges de l'ouvrage selon le degré d'agressivité de la région                        |
| Figure 3.1 organigramme de génération des variables aléatoires                                   |
| Figure 3.2 : algorithme utilisé pour le calcul de la probabilité de défaillance en fonction du   |
| temps65  |
| Figure 3.3 Organigramme de calcul de la probabilité de défaillance en utilisant la méthode des   |
| simulations de Monte Carlo   |
| Figure 3.4 : diagramme de l'évolution de la probabilité de défaillance en fonction du temps      |
| selon les différentes régions d'implantation   |
| Figure 3.5 : diagramme de la probabilité de défaillance en fonction du temps, en prenant         |
| considération le temps d'initiation à la corrosion   |

| Tableau 1-1: fiche technique d'un toron super 7T15s                               | 4  |
|---|----|
| Tableau 2-1 récapitulatif des résultats obtenus                                   | 21 |
| Tableau 2-2 récapitulatif des résultats de la précontrainte                       | 25 |
| Tableau 2-3: tensions après perte par frottement                                  | 27 |
| Tableau 2-4 : tensions dans le câble le plus sollicité après les trois pertes     | 33 |
| Tableau 2-5 : tensions dans le câble le plus sollicité après les cinq pertes      | 37 |
| Tableau 2-6   | 39 |
| Tableau 2-7 :   | 43 |
| Tableau 2-8 : vitesse de corrosion pour les differentes régions (M. Otieno et Al) | 55 |
| Tableau 3-1 : exemple de variables déterministes et aléatoires.                   | 62 |
| Tableau 3-2 probabilité de défaillance selon le secteur industriel                | 64 |
| Tableau 3-3   | 69 |



La durabilité des ouvrages dépend de leur comportement face aux conditions climatiques et environnementales qui existent dans les milieux où ils sont construits. Ces constructions sont souvent exposées à de nombreuses agressions physico-chimiques auxquelles ils doivent résister afin d'accomplir leurs rôles (toutes les fonctions pour lesquelles ils ont été conçus) de façon satisfaisante pendant leur période d'exploitation. Lorsqu'ils ne peuvent plus résister à ces agressions, des désordres (le cas le plus fréquent est la fissuration du béton qui engendre la corrosion des armatures) apparaissent et entraine la dégradation des structures voire carrément leur ruine.

Les ingénieurs civils des bureaux d'études techniques analysent les réservoirs posés au sol, par des méthodes déterministes, en se basant sur les coefficients de sécurité donnés par les codes de dimensionnement. Or, l'incertitude liée à la variabilité des paramètres du calcul déterministe, nécessite une étude fiabiliste.

La théorie de la fiabilité repose sur une approche probabiliste de la sécurité structurale. Elle vise à évaluer la probabilité de défaillance de la structure, connaissant un critère d'état limite, ainsi que la variabilité des paramètres qui interviennent dans ce critère. C'est dans ce contexte que s'inscrit notre étude.

Dans le premier chapitre, nous exposons quelques propriétés des matériaux de constructions, leurs comportements dans des milieux agressifs et quelques modèles de corrosions aussi bien pour le béton armé que pour le béton précontraint.

Le deuxième chapitre porte sur le calcul déterministe de la paroi d'un réservoir en béton armé puis en béton précontraint et on termine avec l'analyse de l'évolution de la corrosion des câbles de précontraintes dans le temps.

Dans le troisième chapitre, nous essayerons au calcul fiabiliste de la paroi, en considérant la résistance à la compression du béton ( $f_{c28}$ ) et l'excentricité du câble ( $e_0$ ) comme variables aléatoires, par la méthode de simulation de **Monté Carlo**, et en tenant compte de l'agressivité des différentes zones d'implantations.

Les résultats de l'analyse fiabiliste feront l'objet d'une conclusion générale.

## CHAPITRE 1 : SYNTHESE BIBLIOGRAPHIQUE

#### 3.1. Introduction

Ce chapitre sera consacré pour définir quelques propriétés des matériaux de constructions, leurs comportements dans des milieux agressifs et quelques modèles de corrosions aussi bien pour le béton armé et le béton précontraint.

#### 3.2. Caractéristiques des matériaux

#### 1.1.1. Béton

Le béton qu'on va utiliser pour la réalisation de notre ouvrage est un béton a haute performance, qui a les caractéristique suivante :

- le dosage du ciment est de l'ordre de 400 à 500 Kg/m<sup>3</sup>
- résistance à la compression égale à 35 MPa.

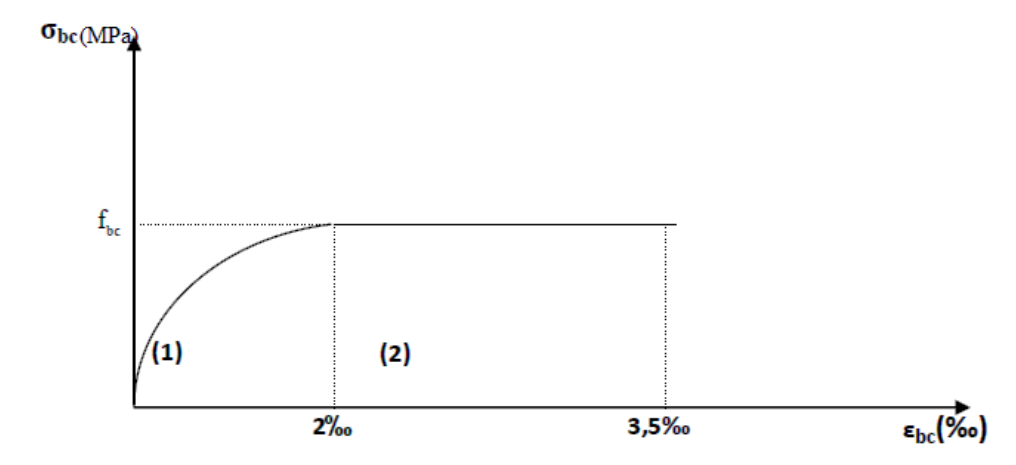


Figure 1.1 : Diagramme simplifié des contraintes en fonctions des déformations du béton.

#### 1.1.2. Les aciers

#### > Aciers passifs

Les aciers passifs qu'on va utiliser dans notre ouvrage ont les caractéristiques suivantes :

Aciers à haute adhérence de classe FeE400;

Limite d'élasticité fe = 400 Mpa;

Module d'élasticité Es =  $2 \times 10^5$  Mpa.

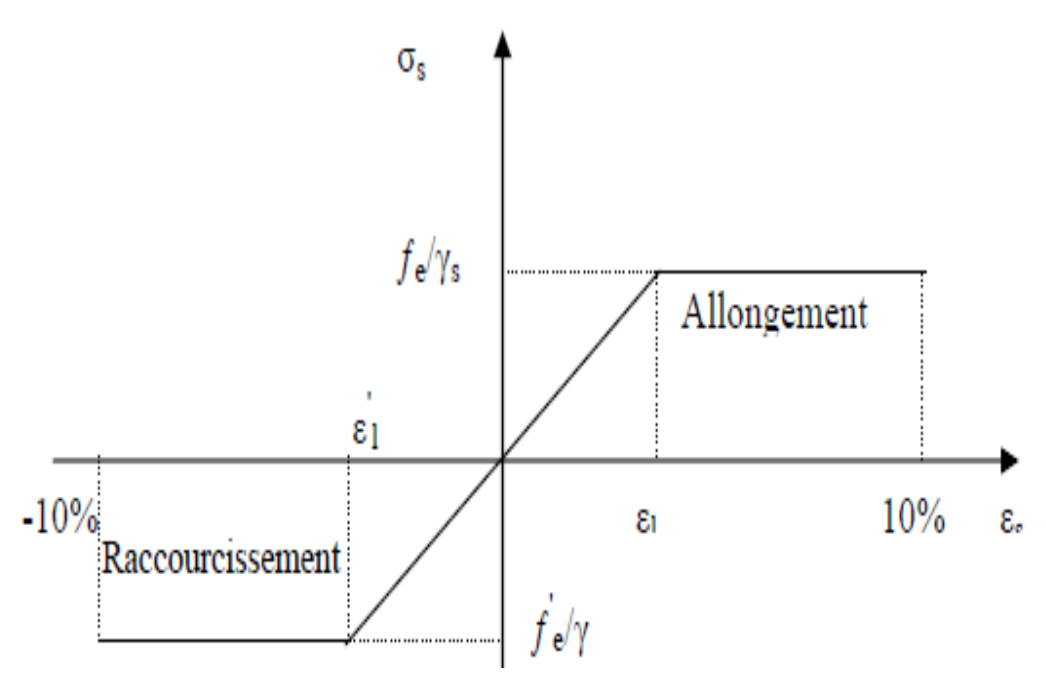


Figure 1.2 : Diagramme simplifié des contraintes en fonctions des déformations des aciers passifs.

#### > Aciers actifs

Les armatures actives que nous utiliserons dans la conception de notre ouvrage, sont des torons super type **FREYSSINET** constitués de sept fils enroulés en hélice sur un fil central qui ont la fiche technique suivante :

La section d'acier totale 1050,00  $mm^2$ Ap 1860,00 La contrainte de rupture garantie Mpa fprg La limite conventionnelle d'élasticité fpeg 1660,00 Mpa Le diamètre des gaines 66,00 Øg mm Les coefficients de frottement courbe 0,18 rad-1 f Les coefficients de frottement droit  $\varphi$ 0,00 m-1 Le recul d'ancrage 2,00 mm  $\rho 1000$ 2,50 La relaxation à 1000 heures % coefficient  $\mu$ 0 0,43 coefficient du retrait final 3 0,00 Module d'élasticité Ep 190000,00 Mpa  $\sigma 0$ précontrainte initiale 1488,00 Mpa

Tableau 1-1: fiche technique d'un toron super 7T15s

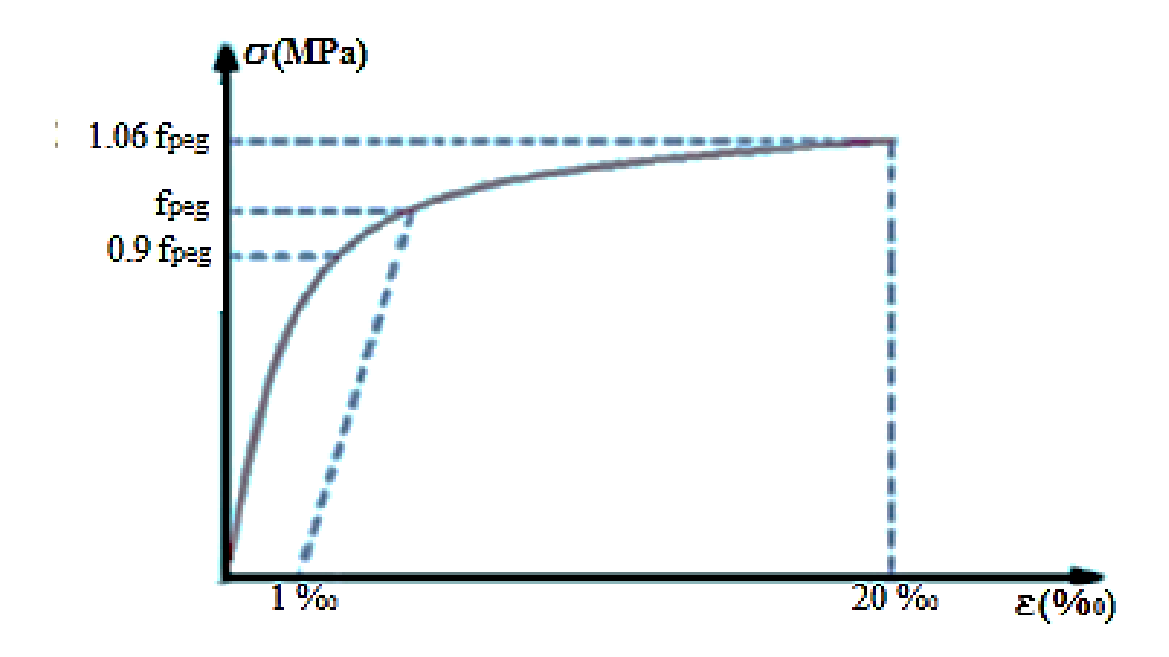


Figure 1.3 : Diagramme des contraintes en fonctions des déformations des aciers actifs.

Après avoir définis les matériaux qu'on va utiliser pour la construction de notre ouvrage, nous allons à présent définir une anomalie qui est la corrosion.

#### 3.3. Qu'est-ce que la corrosion?

La corrosion désigne l'altération d'un matériau par réaction électrochimique avec un oxydant.

#### 3.4. Processus de corrosion dans le béton

Bien que le béton offre aux armatures une protection à la fois physique et chimique par le biais de l'enrobage qui varie entre 3 et 7 cm selon l'agressivité du milieu et le PH du béton au droit des armatures qui est de 13 (milieu basique), cependant, cette protection n'est pas éternelle car des agents agressifs tell que l'hydroxyde de carbone (CO<sub>2</sub>) et les ions de chlorures vont essayer de pénétrer dans le béton (phase d'initiation ou d'incubation). Après, au bout de quelques années, ils arrivent à s'offrirent un chemin jusqu'aux armatures (fin de l'incubation et début de la propagation) et une réaction électrochimique aura lieu, qui engendrera la dépassivation des aciers (rompre le film protecteur appelé aussi la rouille créé par la réaction entre le ciment et l'eau de gâchage), une fois que la protection est rompue, le processus d'oxydation (corrosion) commence.

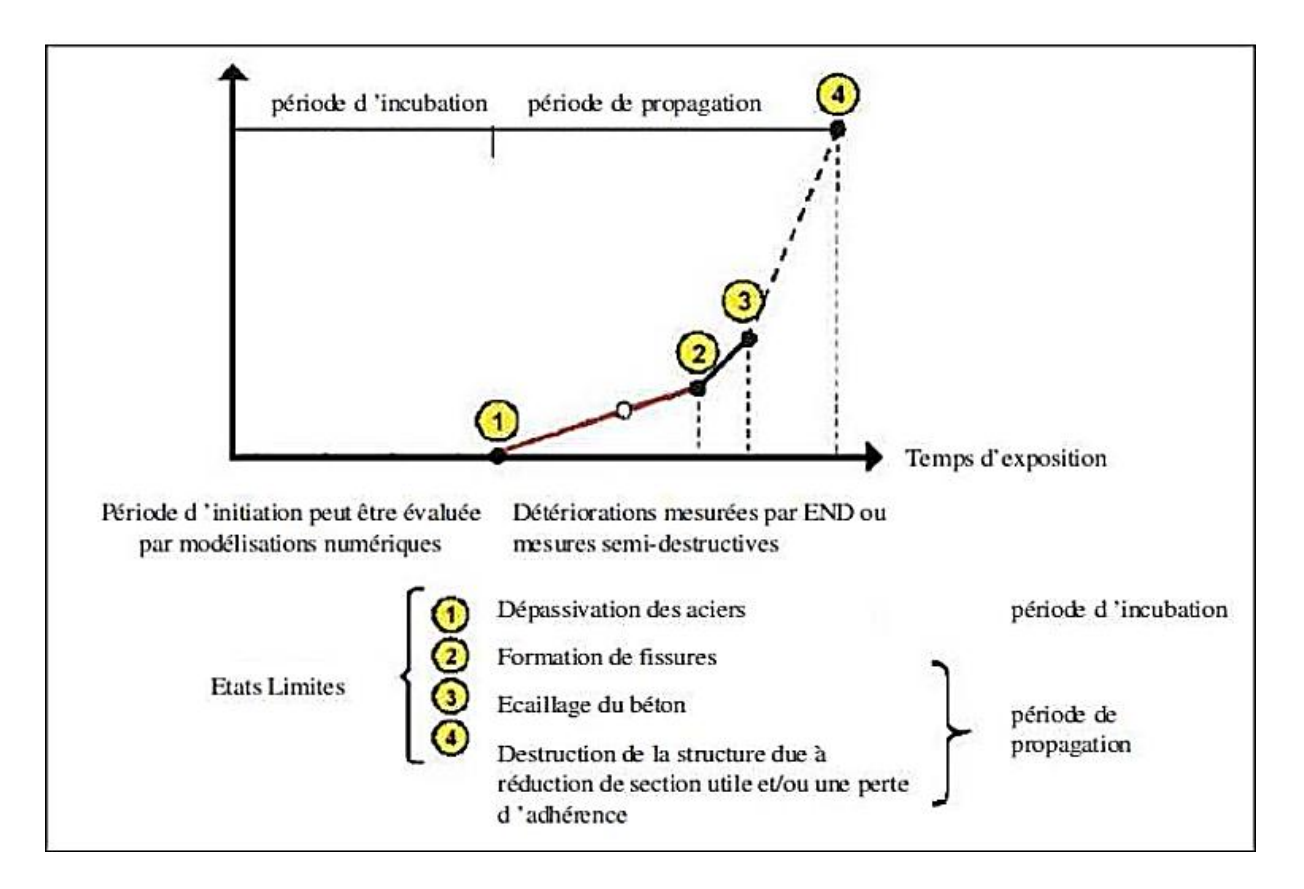


Figure 1.4 : diagramme des deux phases de corrosion en fonction du temps

#### 3.5. Les types de corrosion

#### 1.1.3. Corrosion uniforme (carbonatation)

Lors de la conception du béton, on introduit une quantité d'eau pour l'hydratation de son ciment qui est toujours supérieure à la quantité nécessaire pour des raisons de maniabilité. De ce fait, le ciment hydraté est toujours un milieu poreux dont les pores sont d'abord remplis d'eau qui va s'évaporé dans le temps, ces derniers se remplissent partiellement d'air. Le CO<sub>2</sub> présent dans l'air des pores se dissout dans la couche protectrice des armatures, ainsi une nouvelle solution bien plus acide (PH<9) qu'initialement (PH=13) se crée dans le voisinage des armatures. Lorsque la zone de carbonatation atteint les armatures, le processus de corrosion commence en produisant plus de matériaux initialement présents ce qui explique l'éclatement du béton autour des armatures corrodées.

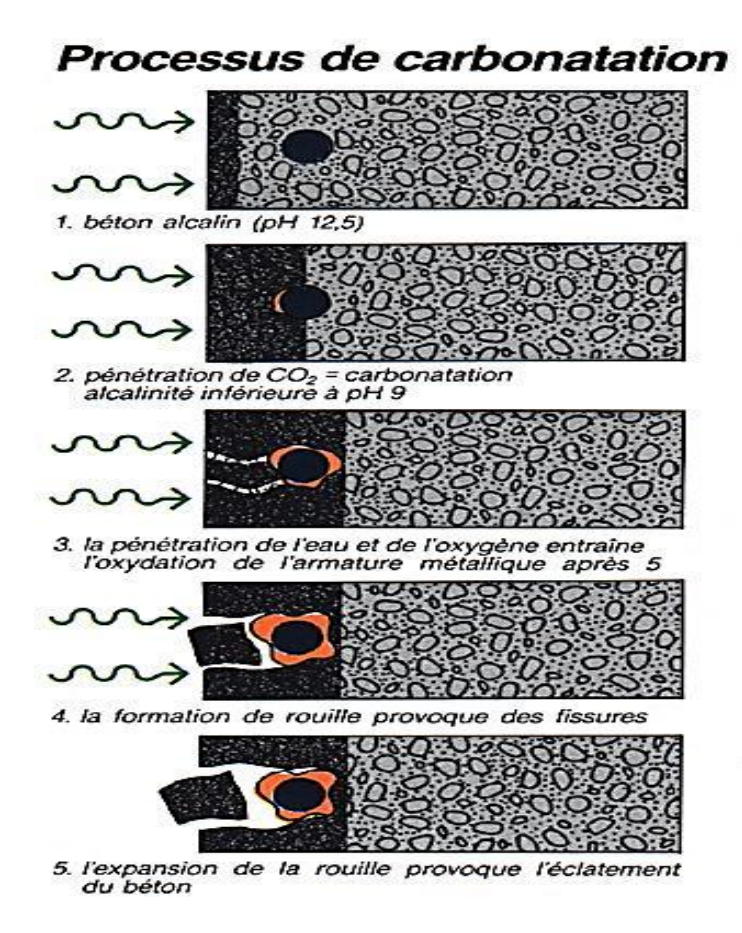


Figure 1.5: processus de corrosion uniforme



Figure 1.6 : barre corrodée par carbonatation

#### 1.1.4. Corrosion par piqûres (ions de chlorures)

La corrosion de type pitting, est une corrosion localisée qui se manifeste sous forme d'un ou plusieurs petits trous dans l'acier. Etant la forme la plus dangereuse de corrosion, l'origine de ce type de corrosion se trouve d'une part dans le manque d'oxygène sur une partie très réduite (anode) ; pendant que le reste de la surface bénéficie d'un excès d'oxygène (cathode). Ainsi la corrosion s'initie sur une partie très localisée du métal et tend à se propager en

profondeur de celui-ci créant une diffusion d'ions contrairement à la corrosion uniforme qui est une corrosion qui se propage en surface. La corrosion par piqûres peut être initiée par de nombreux facteurs, comme l'air marin ou le brouillard salin provenant de la mer, pluie peut être porteuse de ces ions essentiellement à proximité des zones industrielles et les sels de déverglaçage (pour les ponts).

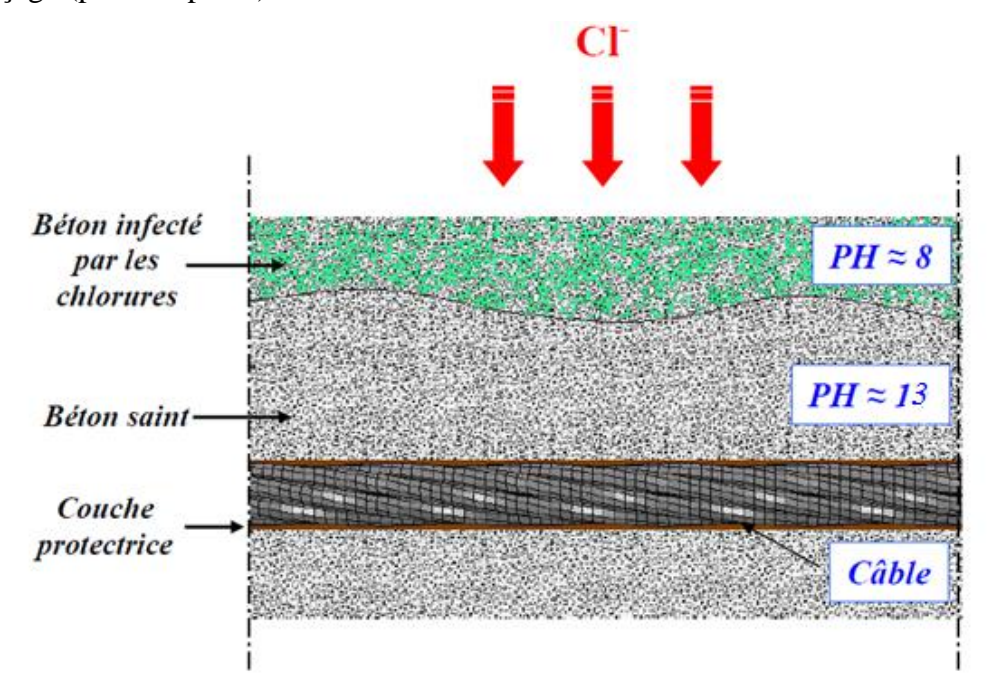


Figure 1.7 : processus de corrosion par piqure

#### 3.6. Model de corrosion

## **1.1.5.** Model de corrosion pour le béton armé *Corrosion uniforme*

#### Model d'Alonso et all. (1988)

Ce modèle est basé sur l'analyse statistique de la résistivité et des résultats accélérés de la carbonatation induite.

L'expression mathématique a été adoptée comme modèle de prédiction, avec la résistivité du béton comme principal paramètre d'entrée

$$i_{corr} = \frac{Kcorr}{\rho_{ef}}$$
 (1.1)

Où:

 $k_{corr}$  est une constante avec une valeur de  $3x10^4$  [ $\mu$ A/cm<sup>2</sup>];

 $\rho_{\rm ef}$  est la résistivité du béton à son degré réel de saturation.

#### Modèle de Duracrete (1998)

Qui est une amélioration du modèle développé par Alonso et al. Le **modèle de Duracrete** introduit d'autres facteurs de corrélation comme des coefficients ou des facteurs de correction tel qu'indiqué dans l'équation :

$$i_{corr} = \frac{k_{corr}}{\rho(t)} F_{Cl} F_{Galv} F_{Oxide} F_{Oxy}$$
 (1.2)

Où

 $k_{corr}$  est un paramètre de régression constant (10<sup>4</sup>);

 $F_{Cl}$ ,  $F_{Galv}$ ,  $F_{oxide}$  et  $F_{Oxy}$  sont des facteurs qui tiennent compte de l'influence de la teneur en chlorure, des effets galvaniques, de la formation continue et du vieillissement des oxydes et de la disponibilité de l'oxygène sur  $i_{corr}$ ;

 $\rho(t)$  est la résistivité du béton  $(\Omega)$  à l'instant t.

#### Modèle de Scott (2004)

Le modèle de **Scott** a été développé en utilisant les résultats expérimentaux d'un ensemble de poutres fissurés (120 mm 120 mm 375 mm) avec des fissures de 0,2 et 0,7 mm et largeurs d'enrobage de 20 et 40 mm, un rapport w / b 0,58 et une variété de types de liants:

$$i_{corr} = (1.43 \frac{C_c}{f} + 0.02) e^{[(40 - x/20)1.2(C_c/f)^3]}$$
 (1.3)

Où:

C<sub>c</sub>: la valeur de l'indice de conductivité du chlorure pour 90 jours (mS / cm) ;

x : l'enrobage du béton (mm) ;

f: facteur de correction de laitier qui se calcul comme suit :

$$f = 10^{(|0.5 - S| - 0.5 + S)}$$
 (1.4)

Où

S: la concentration de laitier exprimée en décimal, par exemple 0,25 pour 25%.

#### Corrosion par piqure

#### Modèle d'Yalcyn et Ergun (1996)

Ce modèle a était développé en étudiant l'influence des ions chlorures et acétates sur  $i_{\text{Corr}}$ 

$$i_{corr} = i_0 e^{-Ct} \qquad (1.5)$$

Οù

i<sub>corr</sub> : est la vitesse de corrosion au temps t ;

i<sub>o</sub> : est la vitesse de corrosion initiale ;

C : est une constante de corrosion qui dépend du degré de saturation des pores du béton, du pH, de la perméabilité et de l'épaisseur du revêtement; **Yalcyn** et **Ergun** ont proposé une valeur de C (évaluée à partir des courbes  $i_{corr}$  en fonction du temps) à  $1,1.10^{-3}$  par jour pour les différents échantillons de béton qu'ils ont considérés. Le modèle présenté dans l'équation (1.5) suppose que les conditions concrètes et environnementales restent constantes et que le future  $i_{corr}$  ne dépend que du temps.

#### Modèle de Liu and Weyers (1998)

Liu et Weyers ont développé un modèle empirique basé sur des analyses statistiques, des résultats expérimentaux obtenus à partir d'un programme de tests de corrosion accélérés durant 5 ans sur 44 dalles de ponts non fissurées. Liu et Weyers ont découvert que la dynamique de l'acier dans le béton en service est fonction de la teneur en chlorure, de la température, de la résistivité du béton et du temps de corrosion actif. Le résultat des analyses statistiques sont montrés dans l'équation :

```
\begin{split} &i_{corr}=102.47+10.09ln(1.69Cl)-39~038.96(T^{-1})-0.0015R_c+290.91t^{-0.215} &\quad (1.6)\\ &O\grave{u}:\\ &i_{corr}: la~vitesse~de~corrosion~3LP~[$\mu A/cm^2$]~;\\ &Cl: la~teneur~totale~en~chlorure~au~niveau~de~l'acier~[kg/m^3]~;\\ &T: la~temp\'erature~\grave{a}~la~surface~d'acier~[K]~;\\ &Rc: la~r\'esistivit\'e~du~b\'eton~de~couverture~[V]~;\\ &t: le~temps~de~corrosion~[ann\'ees]. \end{split}
```

#### 1.1.6. Model de corrosion pour le béton précontraint :

#### Modèle de Darmawan et stewart (DJEDDI Lamine 2013)

Afin d'obtenir des données expérimentales durant la corrosion par piqures des câbles de précontraintes, **Darmawan** et **stewart** ont réalisé le montage illustré dans la Figure 1.8 ; quatre poutres en béton enrobant 36 câbles de précontrainte ont été mises en contact avec une solution contaminée par les ions de chlorures.

Un courant électrique de densité 150– $420~\mu\text{A/cm}2$  a été imposé aux câbles pour accélérer le processus de corrosion. La mesure des profondeurs des piqures s'est effectuée à l'aide d'un micromètre très précis.

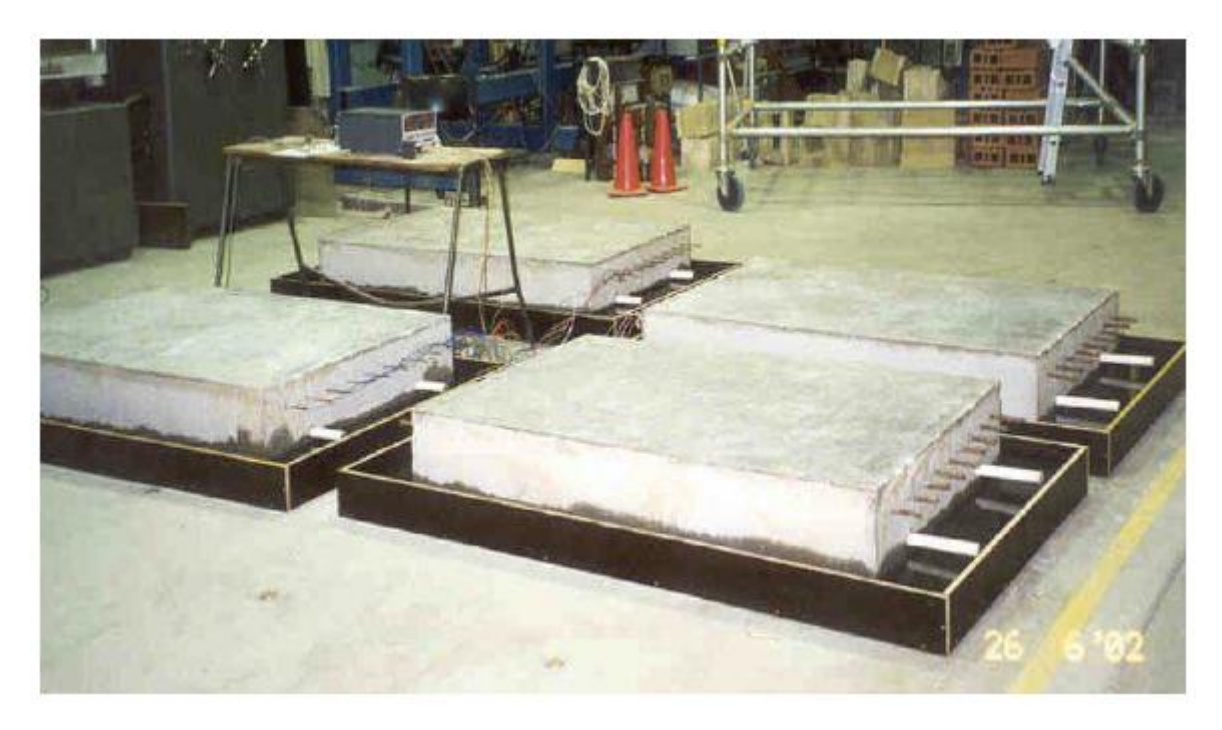


Figure 1.8 : Montage de l'essai de Darmawan et Stewart.

Il s'est avéré que la loi de **Gumbel** est la meilleure loi permettant la représentation de la distribution de la profondeur maximale des piqûres.

La distribution de la piqûre maximale a (mm) à tout moment T (an) avec un taux de corrosion  $i_{corr}$  ( $\mu A/cm^2$ ) au début de la propagation de la corrosion et L (mm) longueur du câble est :

$$f_a(T, i_{corr}, L) = \frac{\alpha}{\lambda^{0.54}} e^{-\alpha(\frac{a}{\lambda^{0.54}}\mu)} e^{-e^{-\alpha(\frac{a}{\lambda^{0.54}}\mu)}} \qquad pour \quad T > T_i$$
 (1.7)

Avec:

$$\lambda = \frac{\left[D_0^2 - \left(D_0 - 0.0232.i_{corr}(1)\left\{1 + \frac{k}{\theta + 1}\left[(T - T_i)^{\theta + 1} - 1\right]\right\}\right)^2\right]}{\left[D_0^2 - \left(D_0 - 0.0232.i_{corr}(1)\left\{1 + \frac{k}{\theta + 1}\left[T_0^{\theta + 1} - 1\right]\right\}\right)^2\right]}$$
(1.8)
$$T_0 = \exp\left[\frac{1}{\theta + 1}\ln\left(\frac{(\theta + 1)\left(i_{corr} - expT_0 - exp\right) + (k - \theta - 1)\left(i_{corr}(1)\right)}{k.i_{corr}(1)}\right)\right]$$
(1.9)

$$\mu = \mu_{0-exp} + \frac{1}{\alpha_{0-exp}} \ln \left( \frac{L}{L_{0-exp}} \right) \quad avec \quad \alpha = \alpha_{0-exp}$$
 (1.10)

$$i_{corr}(T - T_i) = i_{corr}(1) \times k(T - T_i)^{\theta}$$
 Pour  $T - T_i \ge 1$ an (1.11)  
Avec:

T<sub>i</sub>: est le temps d'initiation de la corrosion;

 $\mu_{0\text{-exp}}$  et  $\alpha_{0\text{-exp}}$  sont les paramètres de la distribution de **Gumbel.** 

#### Modèle de Fumin Li et Al

Pour l'étude de la corrosion (diminution de la section du câble) dans les différentes régions d'implantations, nous nous proposons un modèle qui mesure le taux de perte de poids d'un câble de précontrainte (relation 1.13) développer à partir de la loi de **FARADAY** (relation 1.12)

$$\Delta m = \frac{M.I.t}{F.z} \tag{1.12}$$

Avec:

 $\Delta m$ : perte de poids pour instant donné [g];

M : masse moléculaire du matériau [g/mol] ;

I : intensité de courant traversant la substance [C/s=A] ;

t: temps [s];

z : nombre d'électrons cédés ou gagnés ;

F : constante de **FARADAY** prise égale à 96485 [C/mol].

$$\eta_c = \frac{M.i.S.t_c/(|z|.F)}{L.\rho_l} \tag{1.13}$$

Où:

 $\eta_c$ : est le taux de perte de poids 28 jours ;

i : est la densité de corrosion [A/m²] ;

S : est la section latérale du câble [m²];

t<sub>c</sub>: est le temps de corrosion [s];

M : masse molaire de l'acier [g/mol] ;

z : nombre d'électrons cédés ou gagnés ;

F: constante de **FARADAY** prise égale à 96 485 [C/mol];

L: la longueur du câble [m];

 $\rho_1$ : est la densité linéaire du câble [g/m].

#### 3.7. Conclusion

Notre choix s'est portée sur le modèle **Fumin Li** et **Al** pour l'évaluation de la diminution de section d'un câble, car ses paramètres sont précis, ne nécessite pas de prises de mesures en laboratoire, et son utilisation reste simple, contrairement au modèle de **Darmawan** et **Stewart**, qui est un modèle complexe et qui se réalise en laboratoire.

# CHAPITRE 2 : CALCUL DETERMINISTE DE LA PAROI D'UN RESERVOIR

#### 2.1. Introduction

Dans ce chapitre nous calculerons, avec le logiciel **Excel**, toutes les sollicitations qui agissent sur la paroi d'un réservoir en béton armé posé au sol, en se référant aux lois de l'hydrostatique pour le calcul statiques et la méthode **WESTERGAARD** pour le calcul dynamique afin de déterminer les sections de ferraillage nécessaires à la paroi. Les résultats obtenus, détermineront le nombre de bandes nécessitant l'emploi de la précontrainte.

#### 2.2. Calcul de la paroi sous chargement statique

#### 2.2.1. Calcul des pressions

Le calcul des pressions hydrostatiques appliquées sur une bande de 1m de la paroi est donné par la formule (2.1).

$$P_i = w.Z_i \qquad (2.1)$$

P<sub>i</sub>: pression à la i<sup>éme</sup> bande [kg/m<sup>2</sup>];

w: masse volumique de l'eau [kg/m<sup>3</sup>];

Z<sub>i</sub>: profondeur de la bande i par rapport au TP [m];

TP: trop plein.

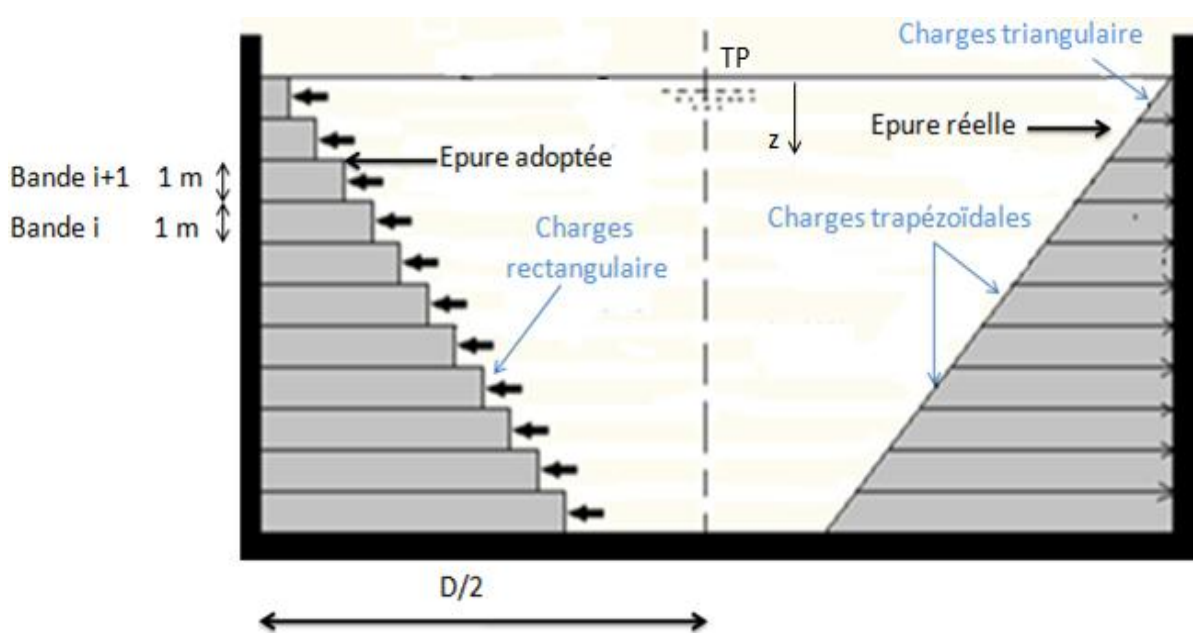


Figure 2.1 : pressions hydrostatique agissant sur la paroi du réservoir

#### 2.2.2. Calcul des efforts de traction

Sous l'effet des pressions hydrostatiques, des efforts de traction se développent au niveau de la paroi qui se calcule comme suit :

#### A l'état limite ultime (ELU)

$$T_{iu} = 1.5. P_i .D/2$$
 (2.2)

 $T_{iu}$ : effort de traction ultime [kg/m];

D : diamètre intérieur du réservoir [m].

#### A l'état limite de service (ELS)

$$T_{is} = P_i . D/2$$
 (2.3)

 $T_{is}$ : effort de traction de service [kg/m];

D : diamètre intérieur du réservoir [m].

#### 2.3. Calcul de la paroi sous chargement dynamique

#### 2.3.1. Calcul des pressions

Les pressions hydrodynamiques sont des poussées dans un mouvement de houle appliquées par l'eau sur la paroi lors d'un séisme, ces pressions dépendent essentiellement de la hauteur de l'eau dans l'ouvrage et de l'accélération du sol au moment de séismes, on peut les déterminer par plusieurs méthodes (JACOBSON, HUNT ET PRIESTLEY, HOUSNEUR,...), mais dans notre cas nous utiliserons la méthode WESTERGAARD, cette formulation est utilisée sa simplicité. Il est à noter qu'elle a été conceptualisée en tenant compte des hypothèses suivantes :

- Fluide incompressible ;
- Parement vertical;
- Structure rigide.

Cette pression est donnée par la relation (2.4).

$$P'_{i} = 0.875 \cdot \alpha \cdot w \cdot \sqrt{(H \cdot y_{i})}$$
 (2.4)

Avec:

$$\alpha = a/g$$
 (2.5)

Où:

 $P'_i$ : pression hydrodynamique [kg/m²]; w: poids volumique de l'eau [kg/m³];

a : accélération du sol [m/s²] ;

g : accélération de la pesanteur [m/s²] ;

H: hauteur d'eau hydrodynamique [m];

y<sub>i</sub>: cote dynamique par rapport au trop plein [m].

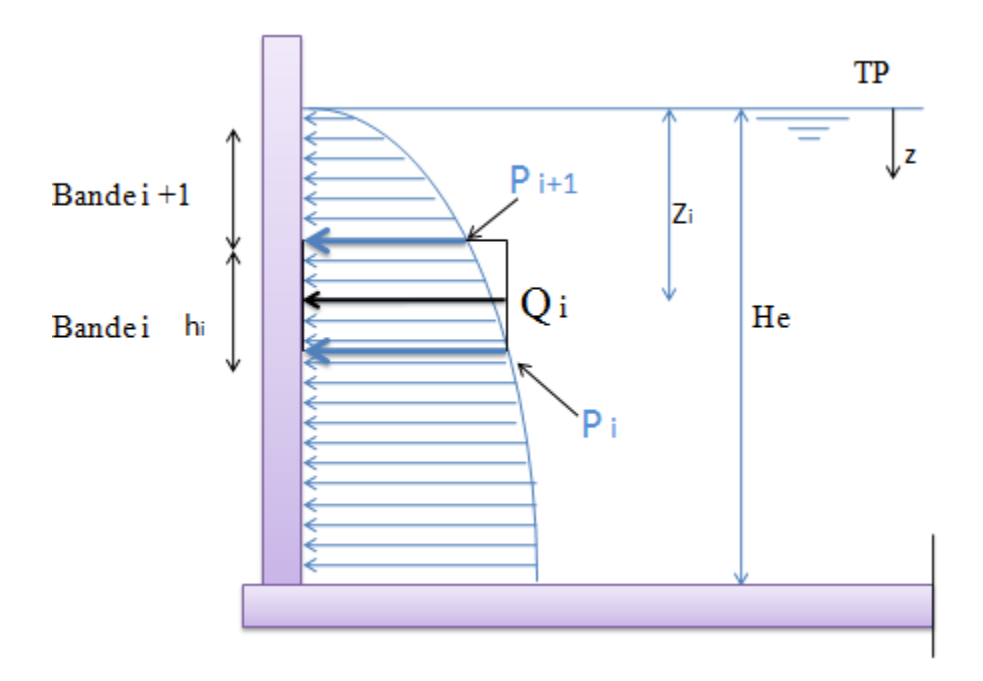


Figure 2.2 : pressions hydrodynamique agissant sur la paroi du réservoir

#### 2.3.2. Calcul des efforts de tractions

L'effort de traction due à la pression hydrodynamique est donné par la relation (2.6).

$$T'_{i} = P'_{i} .D/2$$
 (2.6)

Cet effort de traction T'i est uniquement dû à la force accidentelle due au séisme.

#### 2.4. Combinaisons de charges

Dans le but de déterminer l'effort de traction subit par chaque bande de la paroi, il faut prendre en compte toutes les actions qui puissent s'exercer sur cette dernière, à savoir :

- ➤ Charges permanentes ;
- Surcharges d'exploitations ;
- > Surcharges climatiques;
- Charges accidentelles.

Le fascicule 74 propose six combinaisons de charges à considérer.

À l'état limite ultime (ELU) nous avons quatre combinaisons de charges qui

sont:

• 
$$C1=1.35G+1.5 (Q+\Psi T) + W (et/ou Sn)$$
 (2.7)

• 
$$C2=1.35G+1.5W+1.3 (Q+\Psi T)$$
 (2.8)

• 
$$C3=G+1.5W+1.3\Psi T$$
 (2.9)

• 
$$C4=G+Q+Fa+0.6T$$
 (2.10)

À l'état limite de service (ELS) nous avons deux combinaisons de charges qui sont :

• 
$$C5=G+Q+T$$
 (2.11)

• 
$$C6=G+W (et/ou Sn) +Q+0.6T$$
 (2.12)

Avec:

G: charges permanentes;

Q : surcharges d'exploitation ;

W: action du vent;

Sn: action de la neige;

T : action de la température ;

Fa: action accidentelle (séisme);

Ψ : coefficient réducteur de la température.

#### 2.5. Calcul de la section d'armatures

Après avoir calculé les efforts de tractions agissant sur la paroi, nous allons à présent calculer le ferraillage nécessaire pour contrer ces efforts selon le **BAEL 91 révisé 99** 

#### Section de ferraillage à l'état limite ultime

$$A_u \ge \frac{T_u}{\left(\frac{f_e}{\gamma_s}\right)}$$
 (2.13)

Avec:

 $A_u$ : section d'armature ultime [cm²];

 $T_u$ : effort de traction ultime [kg];

f<sub>e</sub> : limite d'élasticité des aciers [N/mm<sup>2</sup>] ;

 $\gamma_s$ ; coefficient de sécurité des aciers qui prend les deux valeurs suivantes :

 $\gamma_s=1$  situation durable

 $\gamma_s$ =1.15 situation accidentelle

#### Section de ferraillage à l'état limite de service

$$A_s = {^Ts}/{\sigma_{st}}$$
 (2.14)

Avec:

 $A_s$ : section d'armature de service [cm<sup>2</sup>]

 $T_s$ : effort de traction de service [kg]

 $\sigma_{st}$ : Contrainte limite des aciers qui se calcul comme suit :

Dans le cas des réservoirs, la fissuration est considérée comme très préjudiciable, donc :

$$\sigma_{st} = 0.8. \min \left[ \left( \frac{2f_g}{3}, max(0.5f_g; 110\sqrt{n.f_{tj}}) \right) \right]$$
 (2.15)

Avec:

n: coefficient qui prend les valeurs suivantes :

n = 1 treillis soudés et ronds lisses.

n = 1,6 aciers à haute adhérence

 $f_{ti}\!:$  résistance du béton à la traction qui se calcul comme suit :

$$f_{ti}=0.6+0.06 f_{ci}$$
 (2.16)

Section de ferraillage minimale (condition de non fragilité)

$$A_{\min} = \frac{B.f_{tj}}{f_{e}} \tag{2.17}$$

Où:

B: section du béton [cm²];

 $f_{tj}$ : résistance du béton a la traction [MPa];

 $f_{\rm e}$ : limite élastique de l'acier [MPa].

Section de ferraillage adoptée

$$A_a = \max(A_u; A_s; A_{min}) \tag{2.18}$$

#### 2.5.Étude de cas

#### 2.5.1. Présentation de l'ouvrage

Notre ouvrage est un réservoir circulaire en béton armé posé au sol de capacité théorique de 5000m³ dont les éléments coupole, ceinture supérieur, diamètre intérieur (exiger d<sub>int</sub>=24m), gousset et radier sont déjà pré dimensionnés.

Nous considérons que l'ouvrage est implanté sur un site meuble, classé en zone **IIa** dite de moyenne sismicité et il est définis comme étant de groupe d'usage **1B** dit ouvrage de grande importance.

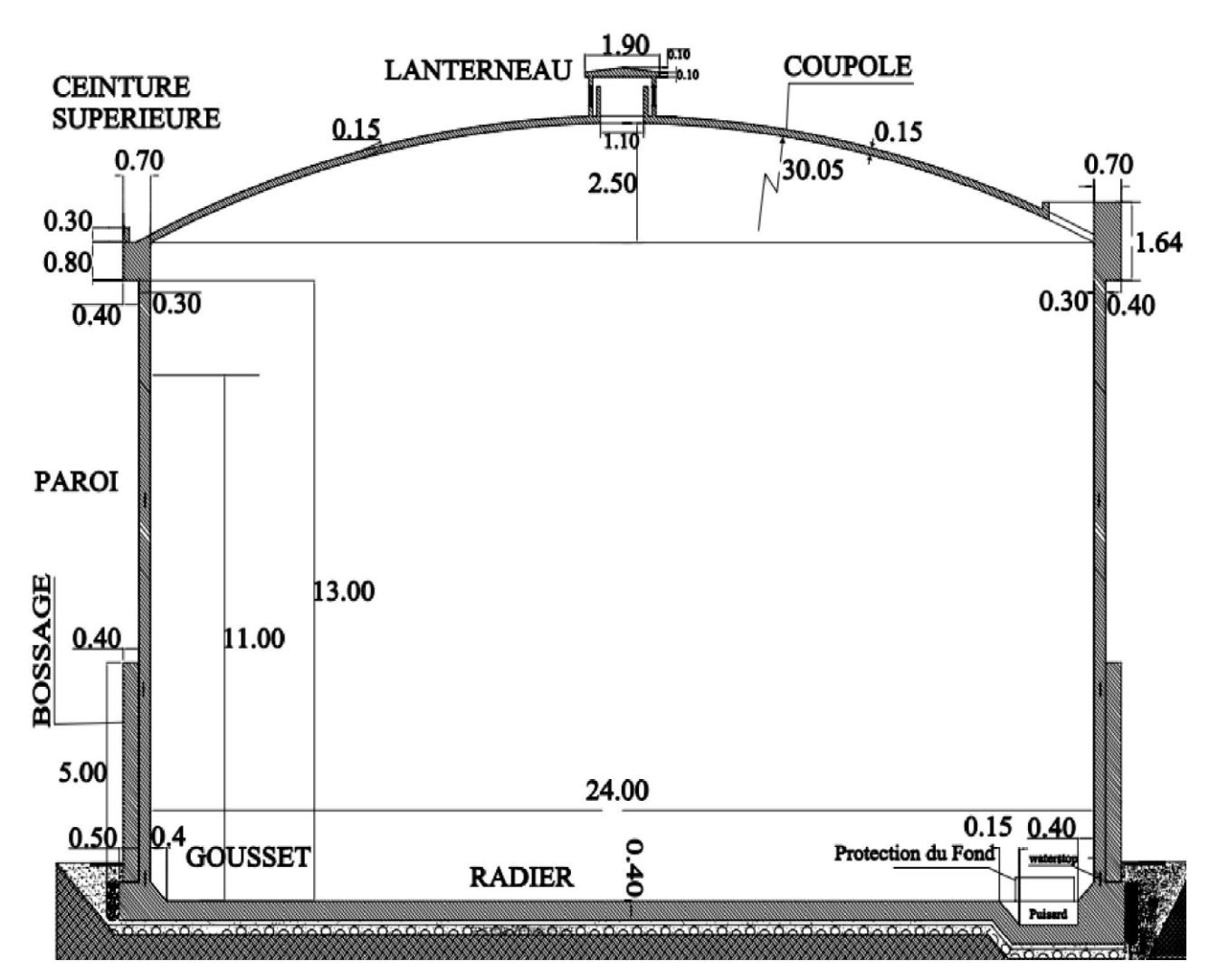


Figure 2.3 : dimensions des éléments du réservoir

#### 2.5.2. Méthode de travail

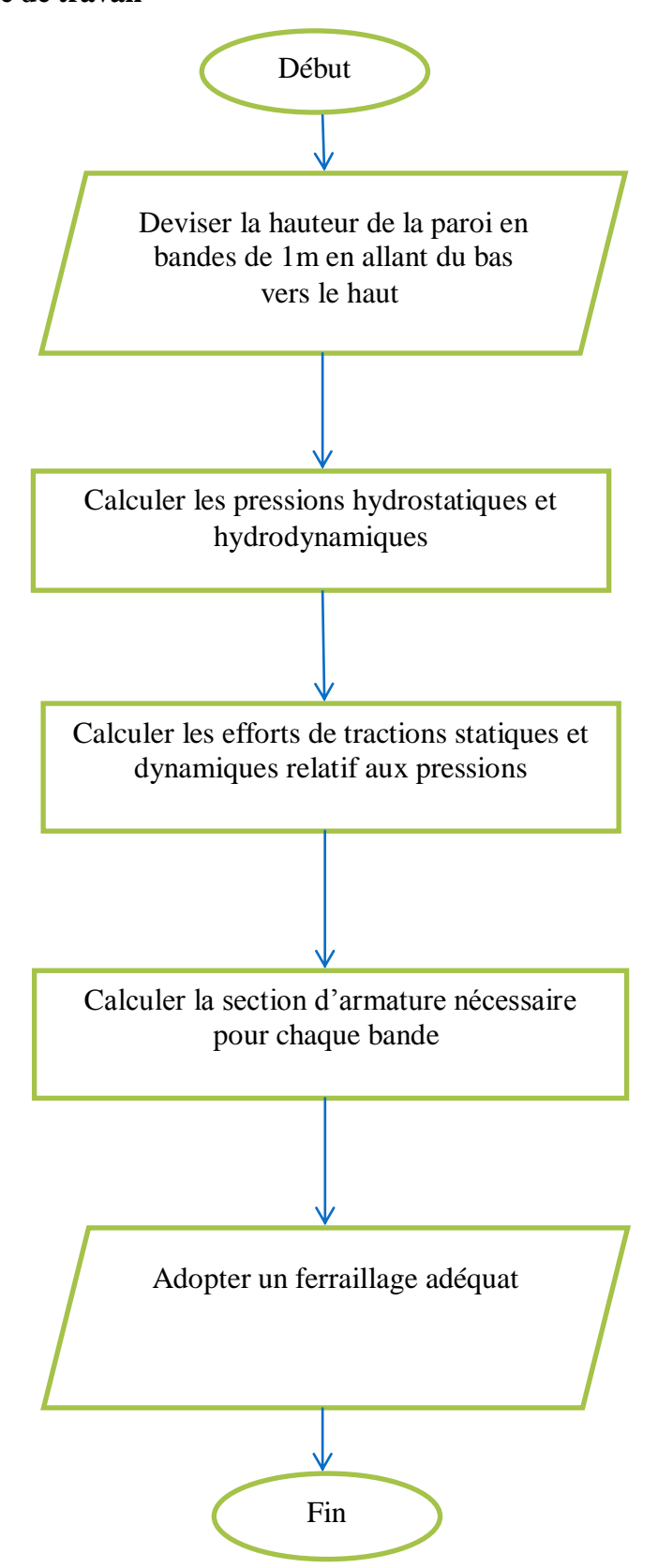


Figure 2.3 : diagramme de la méthode de travail

Les résultats obtenus à l'aide du logiciel **Excel** sont résumés dans le tableau (2.1).

Tableau 2-1 récapitulatif des résultats obtenus

| 11        | 10          | 9           | ∞         | 7         | 6           | 5                | 4                | 3         | 2                | 1           | N° de<br>la<br>bande                  |     |
|-----------|-------------|-------------|-----------|-----------|-------------|------------------|------------------|-----------|------------------|-------------|---------------------------------------|-----|
| 1000      | 2000        | 3000        | 4000      | 5000      | 6000        | 7000             | 8000             | 9000      | 10000            | 11000       | Pression<br>statique<br>Pi<br>[kg/m²] |     |
| 725,51    | 1026,03     | 1256,62     | 1451,02   | 1622,29   | 1777,13     | 1919,52          | 2052,06          | 2176,54   | 2294,27          | 2406,25     | pression<br>dyn<br>P'i<br>[kg/m²]     |     |
| 0000      | 18000       | 30000       | 42000     | 54000     | 66000       | 78000            | 90000            | 102000    | 114000           | 126000      | Ti<br>(statique)<br>[kg]              |     |
| 8706,14   | 12312,34    | 15079,48    | 17412,28  | 19467,52  | 21325,60    | 23034,28         | 24624,68         | 26118,42  | 27531,23         | 28875,00    | Ti<br>(dyn)<br>[kg]                   |     |
| 9000      | 27000       | 45000       | 63000     | 81000     | 99000       | 117000           | 135000           | 153000    | 171000           | 189000      | T <sub>i</sub> [kg]<br>Comb1          |     |
| 7800      | 23400       | 39000       | 54600     | 70200     | 85800       | 101400           |                  | 132600    |                  | 163800      | T <sub>i</sub> [kg]<br>Comb2          | ELU |
| 14706,14  | 30312,34    | 45079,48    | 59412,28  | 73467,52  | 87325,60    | 101400 101034,28 | 117000 114624,68 | 128118,42 | 148200 141531,23 | 154875      | T <sub>i</sub> [kg]<br>Comb4          |     |
| 6000      | 18000       | 30000       | 42000     | 54000     | 66000       | 78000,           | 90000            | 102000    | 114000           | 126000      | T <sub>i</sub> [kg]<br>Comb5          | E   |
| 6000      | 18000       | 30000       | 42000     | 54000     | 66000       | 78000            | 90000            | 102000    | 114000           | 126000      | T <sub>i</sub> [kg]<br>Comb6          | ELS |
| 2,59      | 7,76        | 12,94       | 18,11     | 23,29     | 28,46       | 33,64            | 38,81            | 43,99     | 49,16            | 54,34       | Au1<br>[cm²]                          |     |
| 2,24      | 6,73        | 11,21       | 15,70     | 20,18     | 24,67       | 29,15            | 33,64            | 38,12     | 42,61            | 47,09       | Au2<br>[cm²]                          | ELU |
| 3,68      | 7,58        | 11,27       | 14,85     | 18,37     | 21,83       | 25,26            | 28,66            | 32,03     | 35,38            | 38,72       | Au4<br>[cm <sup>2</sup> ]             |     |
| 3,72      | 11,16       | 18,60       | 26,04     | 33,48     | 40,92       | 48,36            | 55,79            | 63,23     | 70,67            | 78,11       | As5<br>[cm <sup>2</sup> ]             | E   |
| 3,72      | 11,16 11,16 | 18,60 18,60 | 26,04     | 33,48     | 40,92 40,92 | 48,36 48,36      | 55,79            | 63,23     | 70,67 70,67      | 78,11 78,11 | As5 As6 [cm <sup>2</sup> ]            | ELS |
| 15,75     | 15,75       | 15,75       | 15,75     | 15,75     | 15,75       | 15,75            | 15,75            | 15,75     | 15,75            | 15,75       | CNF<br>[cm <sup>2</sup> ]             |     |
| 15,75     | 15,75       | 18,60       | 26,04     | 33,48     | 40,92       | 48,36            | 55,79            | 63,23     | 70,67            | 78,11       | ferraillage<br>adopté<br>[cm²]        |     |
| 21,55     | 21,55       | 21,55       | 28,15     | 43,98     | 43,98       | 68,72            | 68,72            | 68,72     | 112,59           | 112,59      | section<br>réel<br>[cm <sup>2</sup> ] |     |
| 14T<br>14 | 14T<br>14   | 14T<br>14   | 14T<br>16 | 14T<br>20 | 14T<br>20   | 14T<br>25        | 14T<br>25        | 14T<br>25 | 14T<br>32        | 14T<br>32   |                                       |     |

#### Interprétation des ferraillages

Les cinq bandes du fond ont des sections d'armature importantes (encombrement d'armatures et risque de ségrégation du béton).

Les six bandes supérieures peuvent être réalisées en béton armé.

#### Qu'es ce qu'on peut faire pour régler le problème d'encombrement des armatures ?

Notre objectif est de trouver une solution, tout en éliminant les efforts de tracions, de façon à ce qu'on n'augmente pas la section du béton (augmenter l'épaisseur de la paroi). Pour cela nous allons utiliser de la précontrainte.

#### 2.6.Étude de la précontrainte

La précontrainte consiste à produire dans un matériau, avant sa mise en service, une contrainte de compression qui opposera les contraintes de traction produites par les charges extérieures et pour cela, nous avons deux procédés de précontrainte :

La précontrainte par **pré-tension** qui suppose la mise en tension des armatures de précontrainte avant le coulage du béton. Cette technique est utilisée généralement dans les usines pour produire des pièces préfabriquées (Vu la forme circulaire de l'ouvrage, il est impossible d'utiliser cette technique)

La précontrainte par **post-tension** que nous allons utiliser, suppose le coulage du béton avant la mise en tension des armatures de précontrainte.

#### 2.6.1. Les classes de précontrainte

C'est des classes de vérification et non pas des classes de qualité. Le **BPEL 91-99** regroupe selon l'importance des ouvrages trois classes de précontrainte :

#### Classe I :

En situation d'exploitation, aucune traction n'est admise sur l'ensemble de la section.

#### Classe II :

Dans cette classe, on admet des contraintes de traction dans béton sans fissurations.

#### Classe III :

En classe III, on calcule les contraintes sur la section fissurée, mais il faut que la section d'enrobage demeure entièrement comprimée (on admet des fissurations uniquement hors section d'enrobage).

Pour répondre aux exigences du Fascicule 74, les vérifications se feront en classe II.

#### 2.6.2. Dimensionnement de la précontrainte

#### Tracé des câbles

Le câble doit être excentré long de la paroi. Selon le **fascicule 74**, dans le cas des réservoirs circulaires avec précontrainte interne, l'axe théorique des câbles horizontaux se trouve en général dans le tiers extérieur de la paroi. En cas d'impossibilité du fait des impératifs de l'enrobage, une certaine tolérance est admise, à condition que la gaine du câble reste en totalité dans la moitié extérieure de la paroi.

#### Calcul de l'effort de précontrainte

Pour la détermination de l'effort de précontrainte nécessaire pour chaque bande du réservoir, tout en vérifiant les conditions aux limites, nous allons résoudre les deux inéquations suivantes :

$$\sigma_{bc} \ge P/_B - \sigma_t \ge f_{tj}$$
 (en charge)
$$\sigma_{bc} \ge P/_B \ge f_{tj}$$
 (à vide)

D'où

$$(\sigma_{bc} + \sigma_t)B \ge P \ge (f_{tj} + \sigma_t)B$$
 (en charge)  
 $\sigma_{bc}.B \ge P \ge f_{tj}.B$  (à vide)

Pour des raisons de sécurité, il est recommandé de calculer la valeur de l'effort de la précontrainte comme suit :

$$P = \frac{(f_{tj} + \sigma_t).B + \sigma_{bc}.B}{2} \tag{2.19}$$

Où:

 $\sigma_{\rm bc}$ : contrainte de compression admissible [MPa] ;

 $\sigma_t$ : contrainte de traction exercer sur chaque bandes [MPa];

 $f_{tj}$ : résistance du béton à la traction [MPa] :

P : effort de la précontrainte initial pour une bande de 1m [N];

B: section du béton [m<sup>2</sup>].

#### Calcul du nombre de câbles

Le nombre de câbles est donné par la relation suivante :

$$n = \sigma_{pt} / \sigma_{p0} \tag{2.20}$$

Tell que:

$$\sigma_{pt} = P/A_p \tag{2.21}$$

$$\sigma_{v0} = \min(0.8 f_{vrg}, 0.9 f_{veg})$$
 (2.22)

D'où:

$$n = \frac{p}{(A_p.\sigma_{p0})} \tag{2.23}$$

Où:

n: nombre de câbles dans une bande de 1m;

A<sub>p</sub>: section d'un câble [mm²];

 $\sigma_{\rm pt}$ : précontrainte totale [MPa] ;

 $\sigma_{p0}$ : précontrainte à l'origine d'un câble [MPa].

Après avoir calculé le nombre entiers de câbles, on calcule la valeur finale de la précontrainte comme suit :

$$\sigma_{pf} = \sigma_{p0}.n \tag{2.24}$$

$$p_f = \sigma_{pf}.A_p \tag{2.25}$$

 $\sigma_{\rm pf}$ : précontrainte totale finale [MPa];

 $\sigma_{p0}$ : précontrainte à l'origine appliquée sur un câble [MPa] ;

n : nombre de câbles sur une bande de 1m;

P<sub>f</sub>: effort total final de la précontrainte [N];

A<sub>p</sub>: section du câble [mm<sup>2</sup>].

Chaque bande de la paroi est soumise aux efforts de traction qui varient en fonction de la profondeur, et chaque effort de traction nécessite un effort de précontrainte pour le reprendre, le tableau 2-2 obtenu par **Excel**, nous donne l'effort de précontrainte dans chaque bande et le nombre du câbles correspondant.

| Tableau 2-2 recapitulatii des resultats de la precontrainte |                    |                  |                       |  |  |  |  |  |  |  |
|---|--------------------|------------------|-----------------------|--|--|--|--|--|--|--|
| N° de la bande  | précontrainte [MN] | nombre de cables | nombre réel de cables | effort total final de précontrainte [kg] |  |  |  |  |  |  |
| 1   | 3,52               | 2,25             | 3                     | 468720                                   |  |  |  |  |  |  |
| 2   | 3,45               | 2,21             | 3                     | 468720                                   |  |  |  |  |  |  |
| 3   | 3,39               | 2,17             | 3                     | 468720                                   |  |  |  |  |  |  |
| 4   | 3,32               | 2,12             | 3                     | 468720                                   |  |  |  |  |  |  |
| 5   | 3,25               | 2,08             | 3                     | 468720                                   |  |  |  |  |  |  |
| 6   | 3,18               | 2,04             | 3                     | 468720                                   |  |  |  |  |  |  |
| 7   | 3,11               | 1,99             | 3                     | 468720                                   |  |  |  |  |  |  |
| 8   | 3,04               | 1,95             | 3                     | 468720                                   |  |  |  |  |  |  |
| 9   | 2,97               | 1,90             | 3                     | 468720                                   |  |  |  |  |  |  |
| 10  | 2,90               | 1,85             | 3                     | 468720                                   |  |  |  |  |  |  |
| 11  | 2,82               | 1,80             | 3                     | 468720                                   |  |  |  |  |  |  |

Tableau 2-2 récapitulatif des résultats de la précontrainte

#### 2.6.3. Les pertes de précontraintes

Dans le but de connaître l'évolution des pertes de tensions le long du câble qui ne devrons pas dépasser les 33% de la précontrainte à l'origine ( $\sigma_{p0}$ ). Le câble est subdivisé en sections identifiées en angle de déviation ( $\alpha$ ) et une abscisse (x).

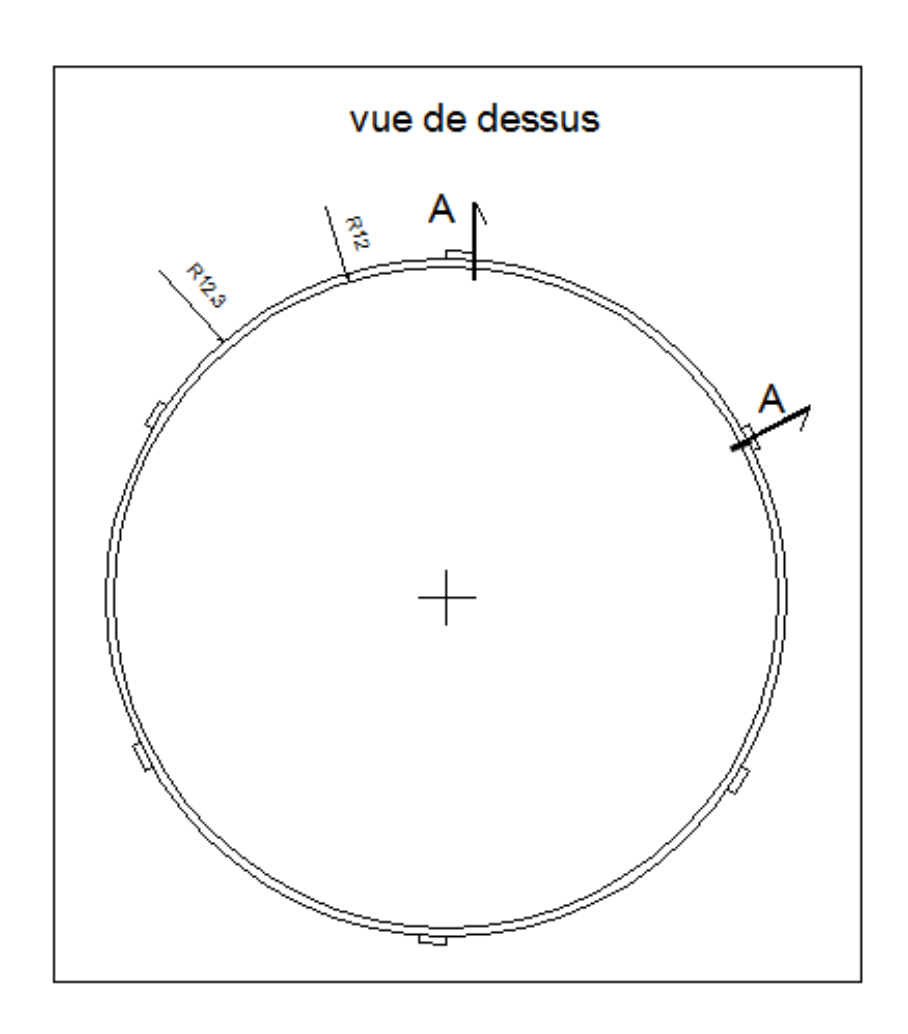


Figure 2.4 : vue de dessus d'une coupe transversale de la paroi.

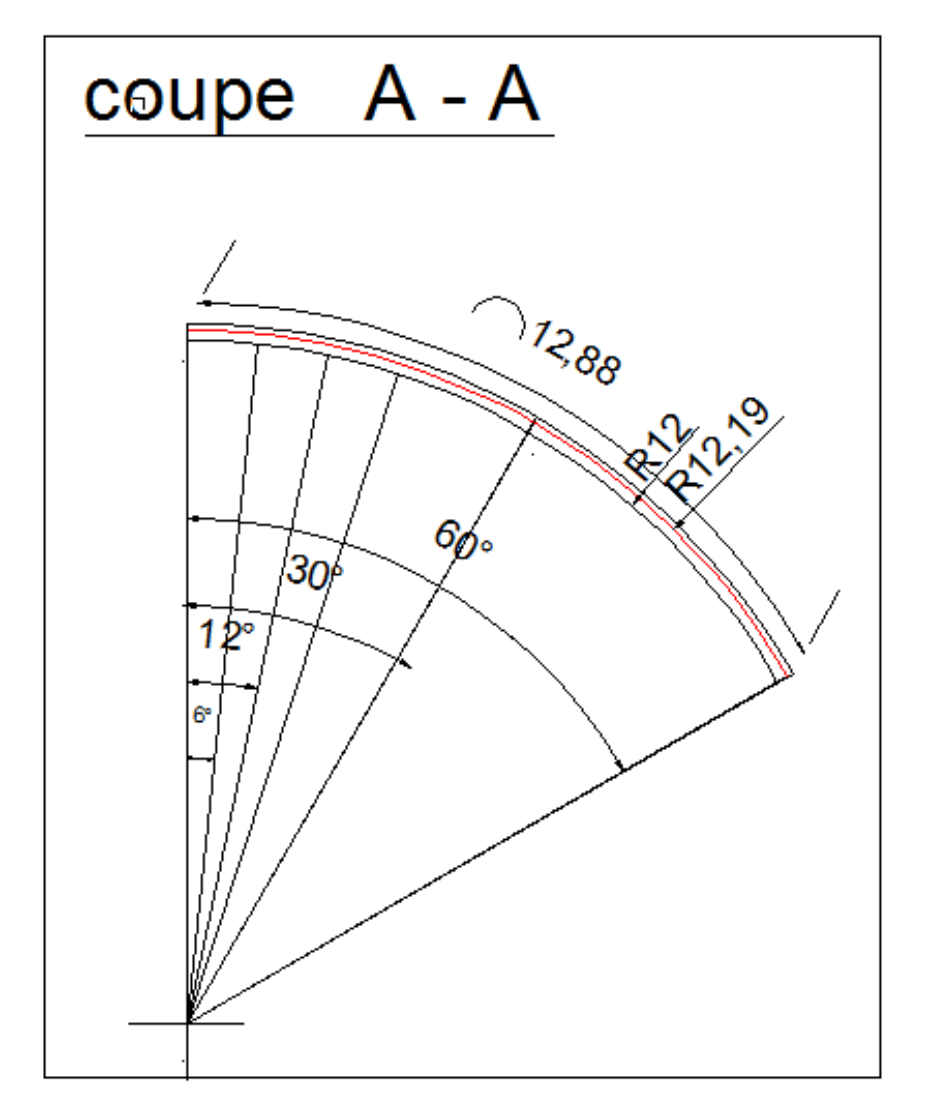


Figure 2.5 : détails de la coupe A-A

Après avoir calculé les pertes de précontraintes avec un réservoir qui possède quatre bossages, nous avons trouvé que les pertes dépassées les 33% de la précontrainte à l'origine. Donc pour minimiser les pertes nous nous proposons un réservoir avec six bossages.

#### Les pertes instantanées

Ce sont des pertes qui se produisent lors de la mise en tension des câbles, elles sont dues essentiellement au frottement du câble sur sa gaine, au recule d'ancrage et à la non simultanéité de mise en tension des câbles.

$$\Delta\sigma_{inst}(x) = \Delta\sigma_{fr}(x) + \Delta\sigma_{r.an}(x) + \Delta\sigma_{n.s}(x) \quad (2.26)$$

Où:

 $\Delta \sigma_{\text{inst}}(x)$ : la somme des pertes instantanées au point x [MPa];

 $\Delta \sigma_{\rm fr}({\rm x})$ : la perte de tension par frottement au point x [MPa];

 $\Delta \sigma_{\text{r.an}}(x)$ : la perte de tension par recul d'ancrage au point x [MPa];

 $\Delta\sigma_{n.s}(x)$ : la perte de tension par non simultanéité de mise en tension au point x [MPa];

#### • Pertes par frottement

La perte par frottement, que tous les câbles vont subirent de la même manière, apparait lors de la mise en tension des câbles, il y aura un contact avec la gaine qui engendre un frottement. Ainsi, sa tension diminue progressivement de l'extérieur (ses deux extrémités) vers l'intérieur. La tension en un point « x » après pertes est définie par :

$$\sigma_{\rm pi}(x) = \sigma_{\rm p0} e^{-(f\alpha + \varphi x)} \tag{2.27}$$

Avec:

 $\sigma_{pi}(x)$ : précontrainte du câble i après perte par frottement [MPa] ;

 $\sigma_{p0}$ : précontrainte initiale [MPa] ;

 $\alpha$ : déviation angulaire totale sur la distance x [rad];

f: coefficient de frottement en courbe [rad<sup>-1</sup>];

 $\varphi$ : coefficient de frottement droit [m<sup>-1</sup>];

x : abscisse de la section considérée [m].

Après avoir fait le calcul pour notre ouvrage, nous avons obtenu les résultats du tableau 2-3

section angle [rad] abscisse [m] pertes de tension [MPa] contrainte après perte par frottement [MPa]  $\sigma_{pi}(x)$  $\Delta \sigma_{vi}(x)$ i α X 1 0,00 0,00 1488,00 0.00 2 0,10 1,26 1456,55 31,45 3 0,21 2,51 1425,76 62,24 4 0,31 3,77 1395,63 92,37 5,03 1366,13 5 0,42 121,87 0,52 6,28 1337,25 150,75 6 7 0,42 5,03 1366,13 121,87 8 0,31 3,77 92,37 1395,63 9 0,21 2,51 1425,76 62,24 10 0,10 1,26 1456,55 31,45 11 0,00 0,00 1488,00 0,00

Tableau 2-3: tensions après perte par frottement

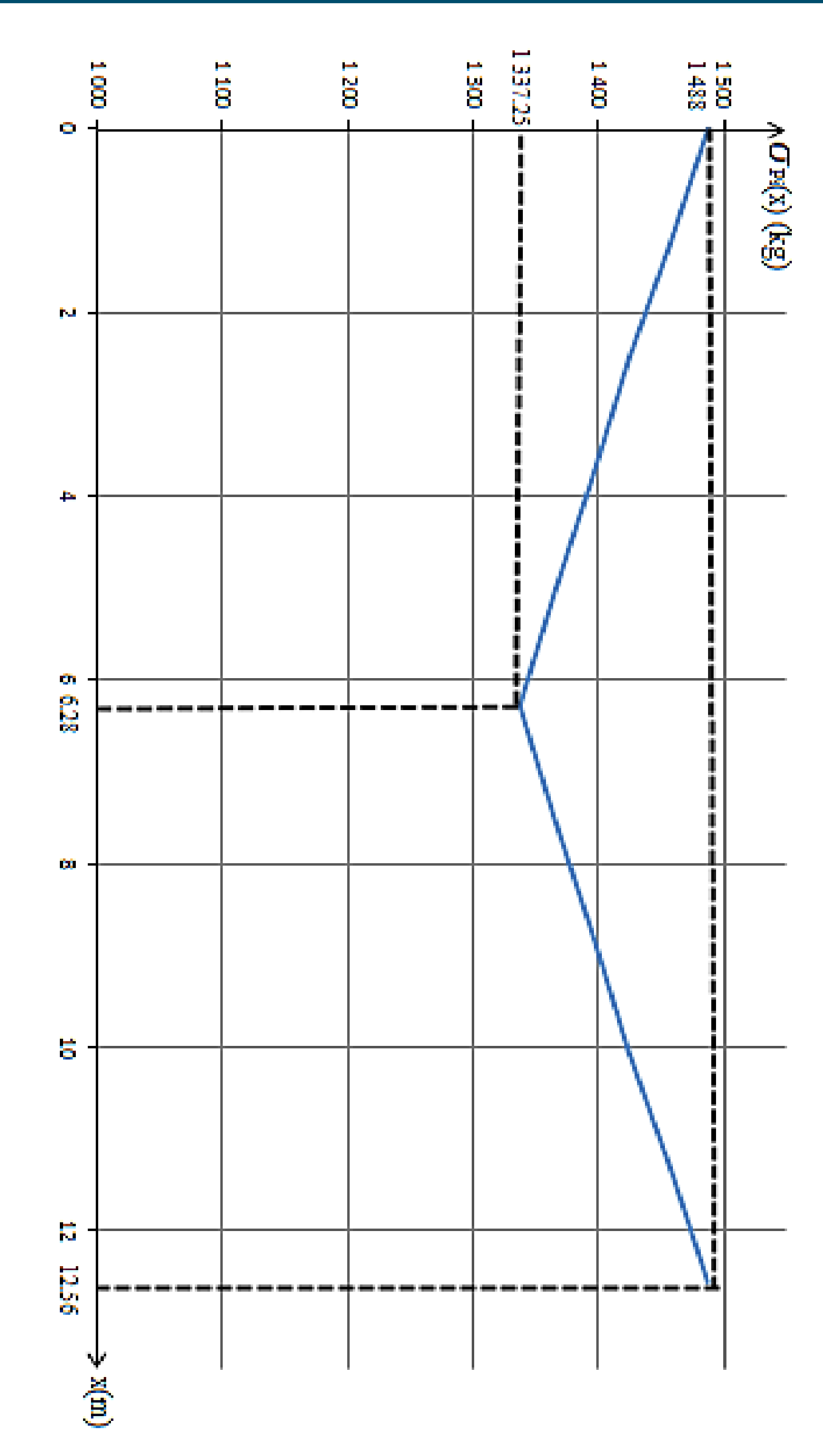


Figure 2.6 : diagramme des contraintes après perte par frottement

## • Pertes par recul d'ancrage (hammoum 1998)

La perte par recul d'ancrage, que tous les câbles subissent de la même manière, apparaît lorsque les vérins relâchent le câble, qui a tendance à se rétrécir à cause de sa nature élastique et la déformation du mécanisme d'ancrage. Cette perte n'apparait que sur une distance « d » qu'on appelle longueur d'influence.

#### Comment calculer d?

Soit C le point où l'influence du recul d'encrage s'arrêtera. Les diagrammes des contraintes dans le câble, en fonction des abscisses curvilignes, avant et après rentrée d'ancrage sont symétriques par rapport à l'horizontale passant par C, figure (2.4).

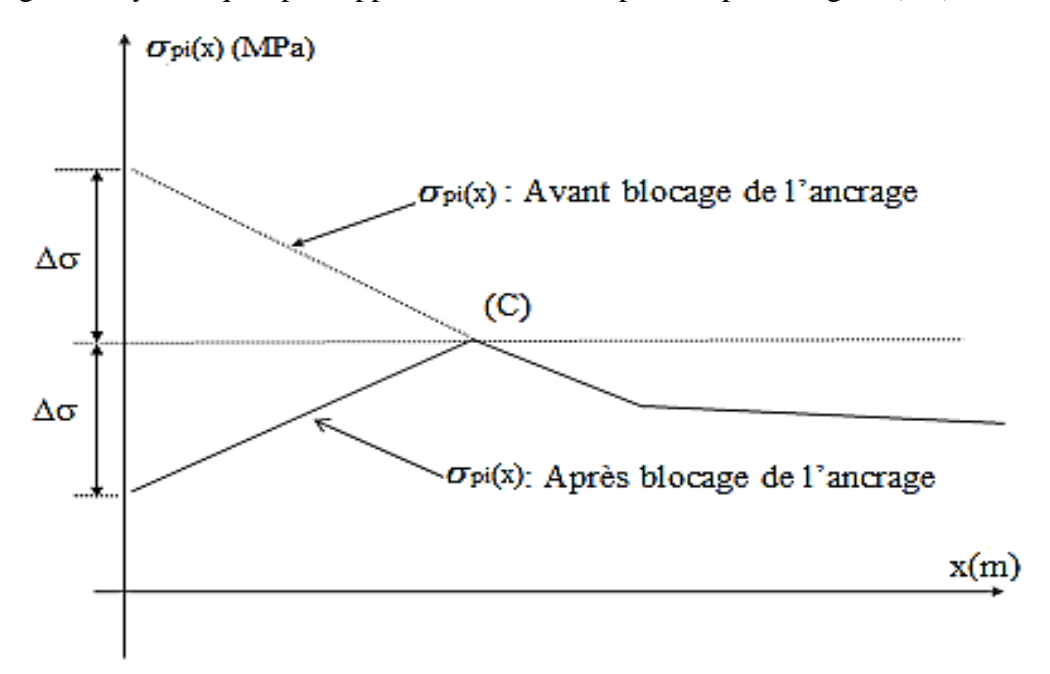


Figure 2.7: tension dans un câble avant et après recul d'ancrage

Le traitement du diagramme des tensions dans le câble après le recul de l'ancrage est le suivant :

Étant donné que le diagramme des contraintes avant recul d'ancrage est défini par les points

 $B_0(O,\sigma_O),\ B_1(x_1,\sigma_1),\ B_2(x_2,\sigma_2),\ \dots,\ B_n(x_n,\sigma_n),\ \text{on calcule la quantité } (g.E_p)$  et on la compare successivement aux aires  $A_1,\ A_2,\ \dots,\ A_n$ . On s'arrête au premier point  $B_i$  pour lequel :

$$A_i > g$$
. Ep (2.28)

Où

g : est le recul d'organes d'encrages garantis par le fournisseur ;

Ep : le module d'élasticité du câble.

L'aire Ai est déterminée par la relation de récurrence suivante :

$$Ai = A_{i-1} + (x_i - x_{i-1}) (\sigma_{i-1} - \sigma_i) + 2.(\sigma_{i-1} - \sigma_i) \cdot d_{i-1}$$

$$Ao = 0 , i = 1, n$$

$$d_i = \sum_{i=1}^{i} d(B_{j-1}, B_j)$$
(2.29)

Le point  $C(x_c, \sigma_c)$  est sur le segment  $(B_{i-1}, B_i)$ .

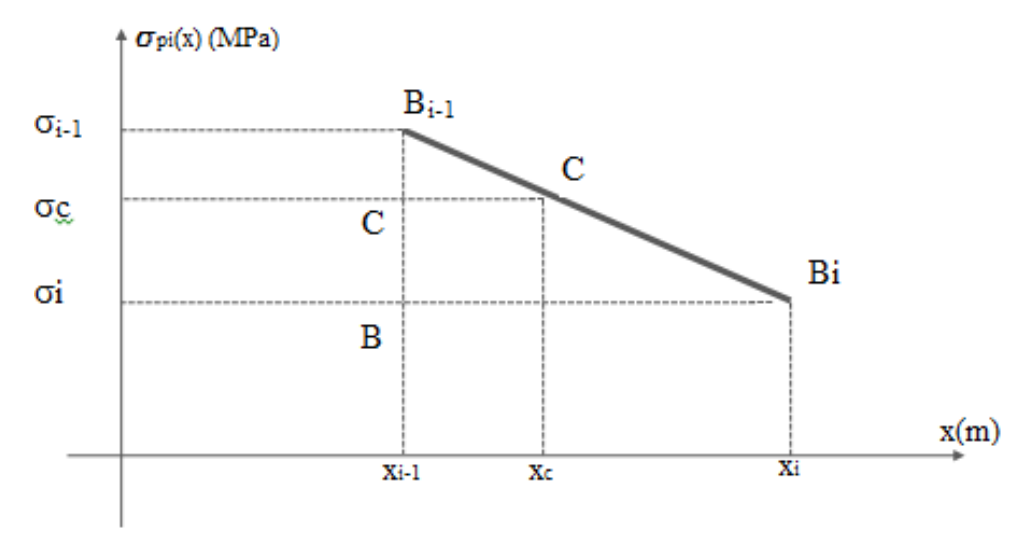


Figure 2.8 : position du point C dans le diagramme des tensions dans le câble

La quantité  $(g \cdot E_P)$  est telle que :

g. 
$$E_P = A_{i-1} + (2d_{i-1} + x) \cdot (\sigma_{i-1} - \sigma_C)$$
 (2.30)

Avec:

$$\mathbf{X} = \mathbf{X}_{\mathbf{C}} - \mathbf{X}_{\mathbf{i}-1}$$

Considérons le segment B<sub>i-1</sub>, B<sub>i</sub>

Les triangles  $B_{i-1}CC'$  et  $B_{i-1}B_iB'_i$  sont semblables, alors :

$$\sigma_{i-1} - \sigma_{c} = \frac{\sigma_{i-1} - \sigma_{i}}{x_{i-1} \cdot x_{i-1}}.x$$
 (2.31)

En substituant l'équation (2.31) dans l'équation (2.30) on arrive à une équation du second degré en x :

$$g \cdot E_{P} = A_{i-1} + (2d_{i-1} + x) \cdot \frac{\sigma_{i-1} - \sigma_{i}}{x_{i} - x_{i-1}} \cdot x$$

$$x^{2} + 2d_{i-1} \cdot x - \frac{(g \cdot E_{P} - A_{i-1}) \cdot (x_{i} - x_{i-1})}{(\sigma_{i-1} - \sigma_{i})} = 0$$
(2.30)

L'équation (2.30) admet deux racines. La solution du problème est telle que :

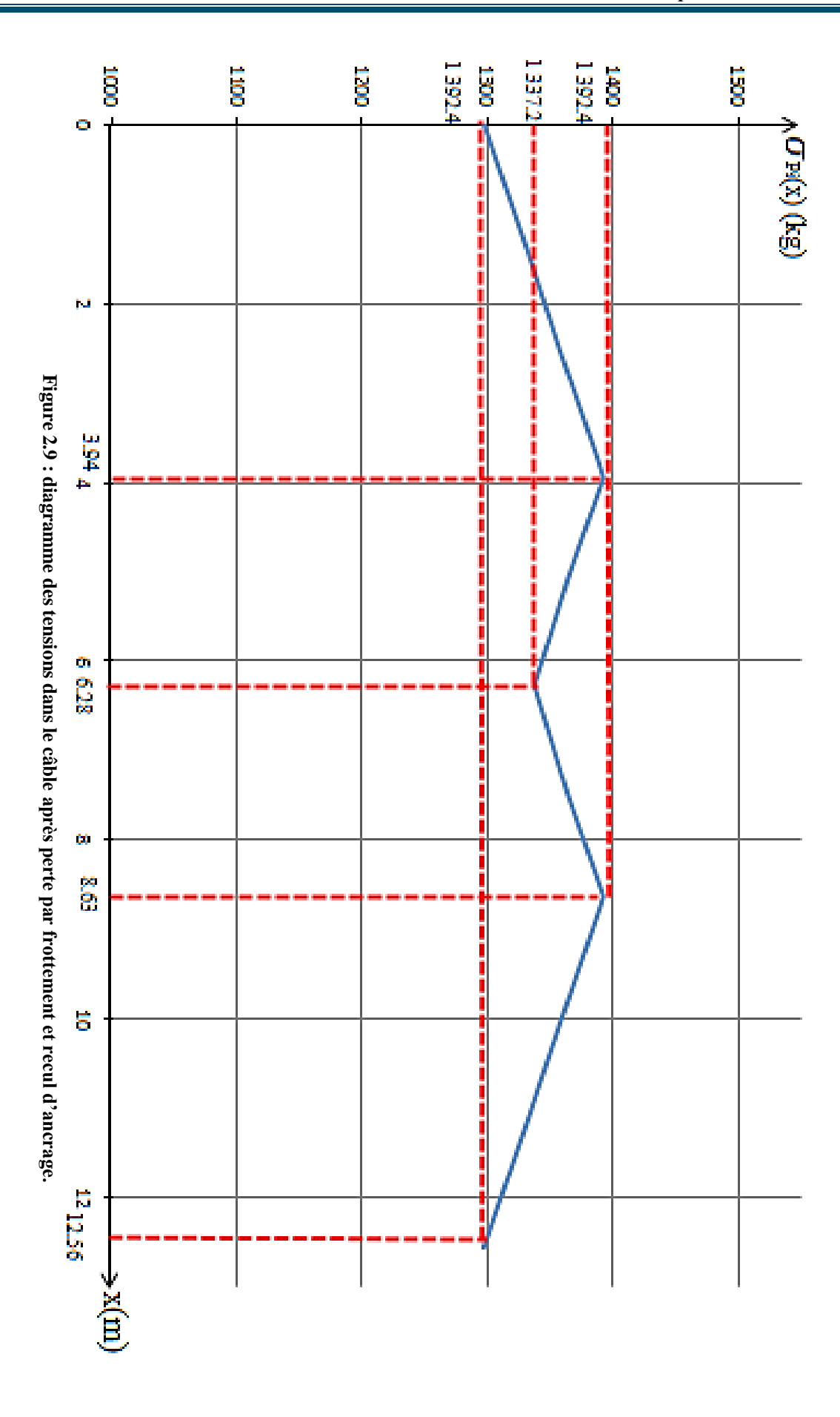
$$x = -d_{i-1} + \left(d^{2}_{i-1} + \frac{(g.E_{P} - A_{i-1}).(x_{i} - x_{i-1})}{(\sigma_{i-1} - \sigma_{i})}\right)^{1/2}$$
(2.31)

Si l'on atteint l'ancrage passif sans satisfaire la condition (2.26), on translate vers le bas le dernier diagramme obtenu de façon à satisfaire cette condition.

Dans notre cas x = 3.94 m et les contraintes après recul d'ancrage sont présentées dans le tableau 2-5

Tableau 2.5 tensions dans le câble après perte par frottement et recul d'ancrage

| section | angle [rad] | abscisse [m] | contrainte après perte par frottement [MPa] | pertes de tension [MPa] | tension après recul d'ancrage [MPa] |
|---------|-------------|--------------|---|-------------------------|-------------------------------------|
| i       | α           | X            | $\sigma_{pi}(x)$                            | $\Delta \sigma_{pi}(x)$ | $\sigma_{pi}(x)$                    |
| 1,00    | 0,00        | 0,00         | 1488,00                                     | 0,00                    | 1296,77                             |
| 2,00    | 0,10        | 1,26         | 1456,55                                     | 31,45                   | 1328,22                             |
| 3,00    | 0,21        | 2,51         | 1425,76                                     | 62,24                   | 1359,01                             |
| 4,00    | 0,31        | 3,77         | 1395,63                                     | 92,37                   | 1389,14                             |
| 5,00    | 0,33        | 3,94         | 1392,39                                     | 95,61                   | 1392,39                             |
| 6,00    | 0,42        | 5,03         | 1366,13                                     | 121,87                  | 1366,13                             |
| 7,00    | 0,52        | 6,28         | 1337,25                                     | 150,75                  | 1337,25                             |
| 8,00    | 0,42        | 5,03         | 1366,13                                     | 121,87                  | 1366,13                             |
| 9,00    | 0,33        | 3,94         | 1392,39                                     | 95,61                   | 1392,39                             |
| 10,00   | 0,31        | 3,77         | 1395,63                                     | 92,37                   | 1389,14                             |
| 11,00   | 0,21        | 2,51         | 1425,76                                     | 62,24                   | 1359,01                             |
| 12,00   | 0,10        | 1,26         | 1456,55                                     | 31,45                   | 1328,22                             |
| 13,00   | 0,00        | 0,00         | 1488,00                                     | 0,00                    | 1296,77                             |



# • Pertes par non simultanéité de mise en tension

La mise en tension des câbles ne peut s'effectuer que câble par câble, la mise en tension du deuxième câble va entrainer un raccourcissement de l'élément et du premier câble, de même, chaque mise en tension d'un câble va entrainer une perte de tension des éléments préalablement tirés, et pour avoir le minimum de pertes dans les bandes les plus sollicitées, nous allons faire le tirage des câbles de haut en bas.

La perte moyenne que subit chaque câble est donnée par :

$$\Delta \sigma_{pi}(\mathbf{x}) = \frac{n-1}{2n} \cdot \frac{E_p}{E_{bij}} \cdot \sigma_{bc}(\mathbf{x})$$
 (2.32)

Avec:

n: le nombre de câble;

 $\sigma_{bc}(x)$  : contrainte moyenne de compression du béton due à l'ensemble des câbles traversant la section d'abscisse « x » ;

E<sub>bij</sub> : module de d'élasticité du béton.

Les résultats sont présentés sous forme de tableaux pour chaque bande, câble et section en annexe 1, Un extrait de ces résultats est présenté dans le tableau 2-4 pour le câble le plus sollicité de la bande la plus sollicitée.

Tableau 2-4 : tensions dans le câble le plus sollicité après les trois pertes

| N° du cable | α    | X    | contrainte<br>[MPa] | effort<br>normal<br>[kg] | moment<br>[kg.m] | contrainte du<br>béton<br>moyenne<br>[MPa] | perte<br>moyenne<br>[MPa] | tension après perte<br>par non simultanéité<br>[MPa] |
|-------------|------|------|---------------------|--------------------------|------------------|--|---------------------------|--|
|             | 0,00 | 0,00 | 1296,77             | 136160,89                | 5446,44          | 9,01                                       | 0,00                      | 1296,77  |
|             | 0,10 | 1,26 | 1328,22             | 139463,22                | 5578,53          | 9,23                                       | 0,00                      | 1328,22  |
|             | 0,21 | 2,51 | 1359,01             | 142695,75                | 5707,83          | 9,44                                       | 0,00                      | 1359,01  |
| 1,00        | 0,31 | 3,77 | 1389,14             | 145859,96                | 5834,40          | 9,65                                       | 0,00                      | 1389,14  |
|             | 0,33 | 3,94 | 1392,39             | 146200,44                | 5848,02          | 9,68                                       | 0,00                      | 1392,39  |
|             | 0,42 | 5,03 | 1366,13             | 143443,61                | 5737,74          | 9,49                                       | 0,00                      | 1366,13  |
|             | 0,52 | 6,28 | 1337,25             | 140411,74                | 5616,47          | 9,29                                       | 0,00                      | 1337,25  |

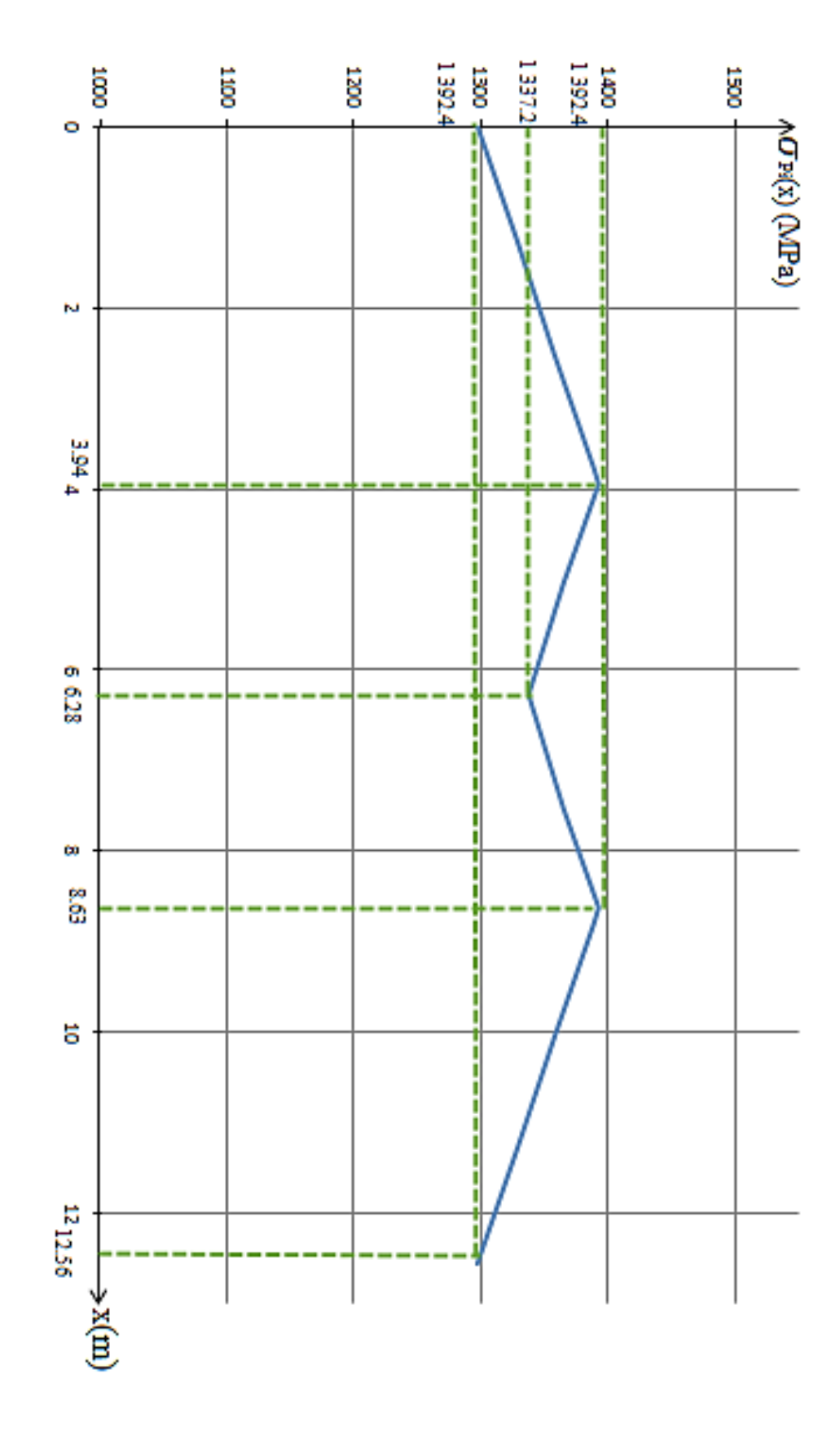


Figure 2.10 : diagramme des tensions dans le câble le plus sollicité après les trois pertes instantanées

# Les pertes différées

Ce sont des pertes qui apparaissent dans le temps, elles sont dues essentiellement au retrait et au fluage du béton et à la relaxation des aciers.

#### • Perte due au retrait du béton

Le retrait du béton est une contraction dimensionnelle du béton due à des phénomènes chimiques et physiques, il se produit dès la mise en œuvre du béton, pendant sa prise et son durcissement et se développe au fils du temps.

Ce phénomène indépendant de tout chargement extérieur, cause une légère détente des armatures de précontrainte (tous les câble subirent la même perte), qui engendre une perte de tension constante le long du câble et elle se calcul comme suit :

$$\Delta \sigma_r = E_p \cdot \varepsilon_r \cdot [1 - r(t)]$$
 (2.33)

Avec:

r(t) : évolution du retrait dans le temps donnée par la relation (2.34)

$$\mathbf{r}(\mathbf{t}) = \frac{\mathbf{t}}{\mathbf{t} + 9 \, r_m} \tag{2.34}$$

r<sub>m</sub> : étant le rayon moyen de la section considérée calculé comme suit :

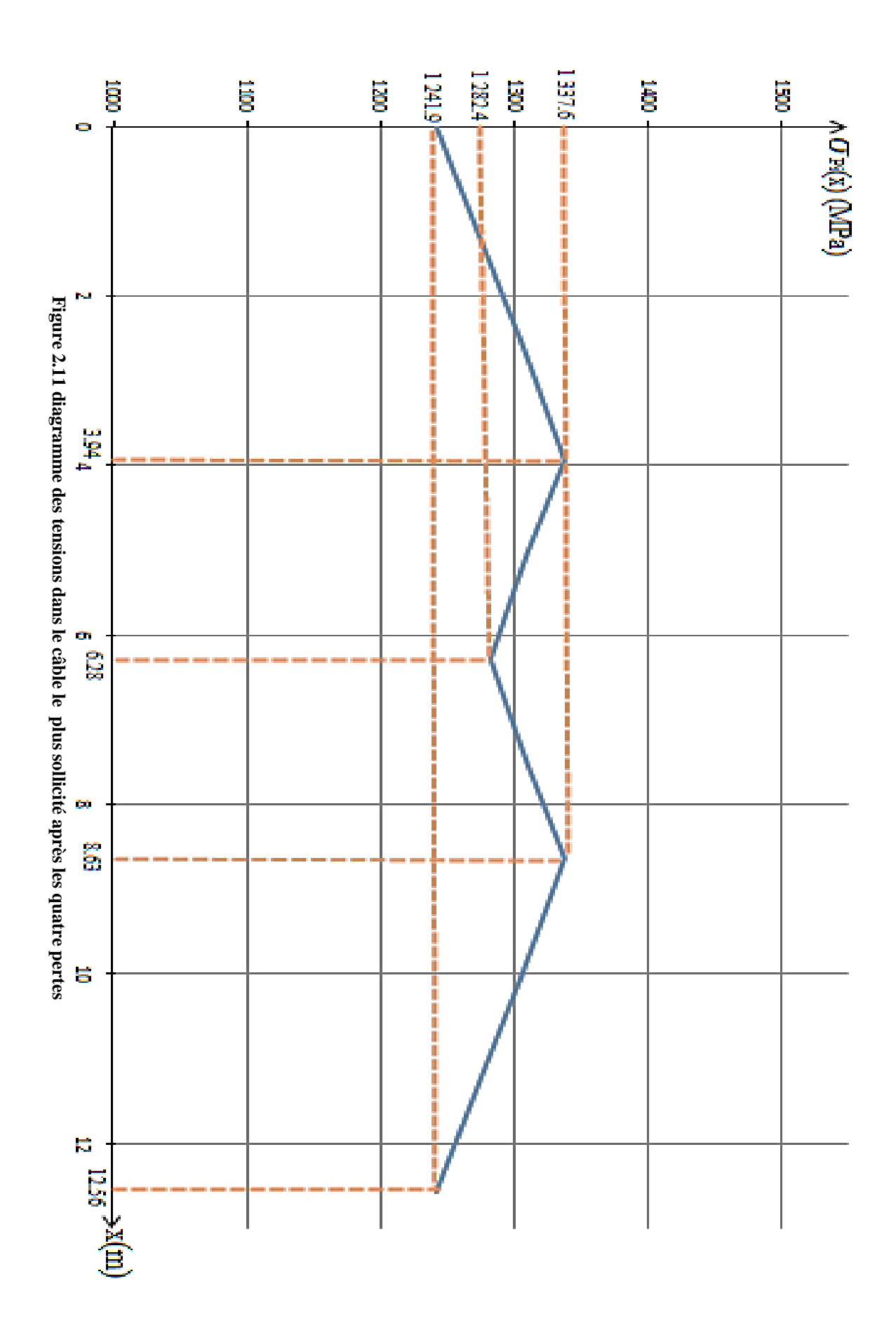
$$r_{\rm m} = \frac{section}{p\acute{e}rim\grave{e}tre}$$
 (2.35)

 $\epsilon_r$ : retrait final du béton. Pour l'Algérie, on le prend :  $\epsilon_r$  = 3,5.10<sup>-4</sup>

Les résultats pour notre ouvrage sont montrés dans le tableau 2.6

Tableau 2.6 estimation de la perte par retrait du béton

| retrait final         | 3                       | 0,0004    |       |
|-----------------------|-------------------------|-----------|-------|
| Module d'élasticité   | Ер                      | 190000,00 | Mpa   |
| section du beton      | b                       | 30,00     | cm    |
| section du beton      | h                       | 1100,00   | cm    |
| rayon moyen           | rm                      | 14,60     | cm    |
| temps                 | t                       | 28,00     | jours |
| retrait à l'instant t | r(t)                    | 0,18      |       |
| pertes par retrait    | $\Delta \sigma_{pi}(x)$ | 54,82     | MPa   |



# • Perte due au fluage du béton

Le fluage du béton est une déformation supplémentaire à la déformation élastique. Il est provoqué par l'application d'un chargement. Ce phénomène cause une déformation dans la section du béton homogénéisée, donc une perte de tension.

La perte de tension due au fluage donnée par la formule suivante :

$$\Delta \sigma_{\rm fl}(x) = 2. \, \sigma_{\rm b}(x) \frac{E_{\rm p}}{E_{\rm b}}$$
 (2.36)

Avec:

E<sub>p</sub>: Module d'élasticité du câble [MPa];

E<sub>b</sub>: Module d'élasticité du béton [MPa];

 $\sigma_b(x)$ : désigne la contrainte moyenne du béton qui se calcule comme suit :

$$\sigma_{\rm b} = \frac{\rm p}{\rm R} \pm \frac{\rm M.v}{\rm I} \quad (2.37)$$

P : effort de précontrainte après toutes les pertes précédentes [N] ;

B: section du béton [m²];

M: moment du à l'excentricité du câble [N.m];

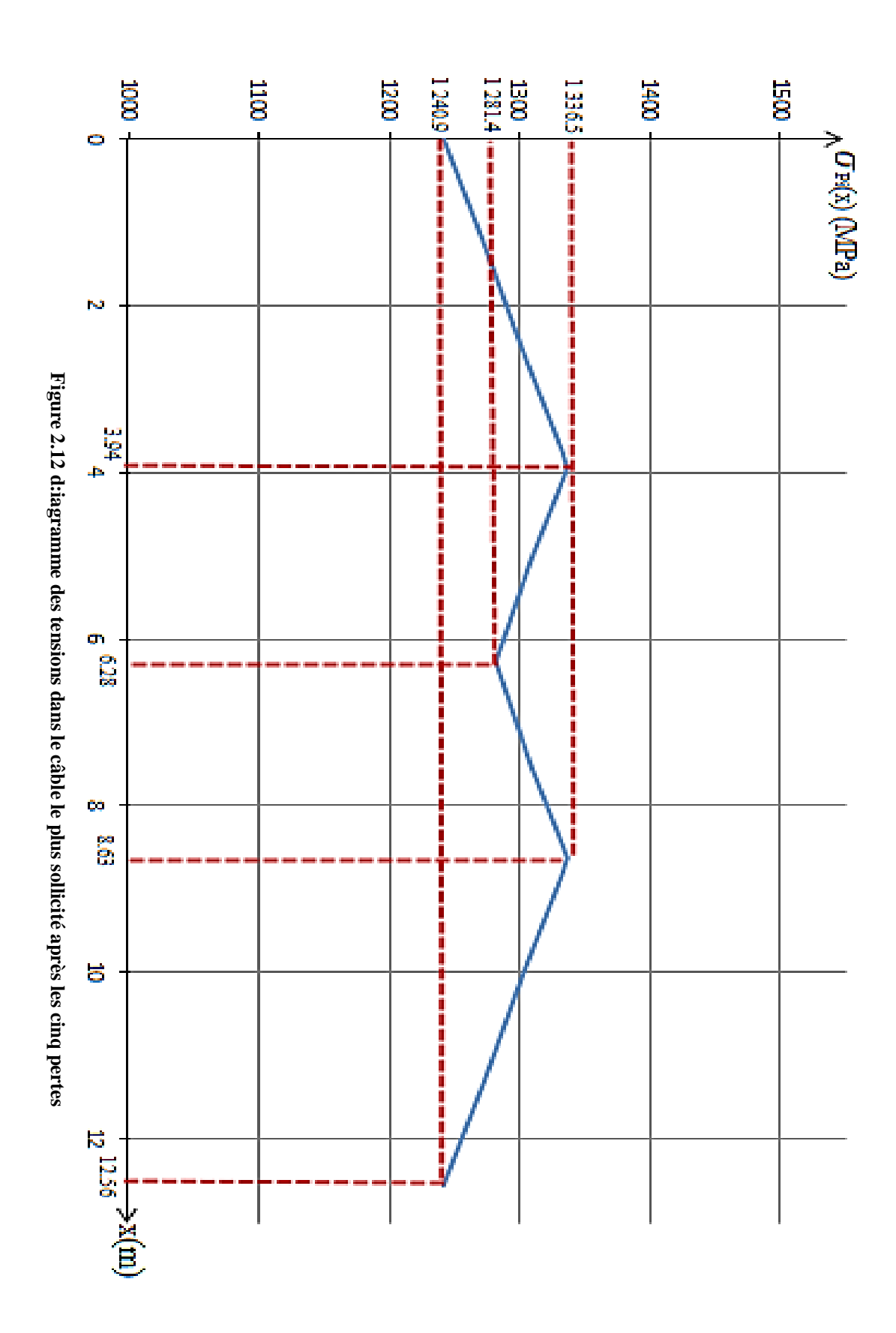
v : distance de la fibre la plus éloignée [m] ;

I : moment d'inertie [m<sup>4</sup>].

Les résultats sont présentés sous forme de tableaux pour chaque bande, câble et section en annexe 2, Un extrait de ces résultats est présenté dans le tableau 2-5 pour le câble le plus sollicité de la bande la plus sollicitée.

Tableau 2-5 : tensions dans le câble le plus sollicité après les cinq pertes

| N° du<br>câble | A    | X    | tension après<br>perte par non<br>simultanéité<br>[MPa] | effort normal [kg] | Moment<br>fléchissant<br>[kg.m] | contrainte<br>du béton<br>[MPa] | perte<br>[MPa] | tension après<br>perte par<br>fluage [MPa] |
|----------------|------|------|---|--------------------|---------------------------------|---------------------------------|----------------|--|
|                | 0,00 | 0,00 | 1296,77   | 136160,89          | 5446,44                         | 0,09                            | 0,97           | 1240,98                                    |
|                | 0,10 | 1,26 | 1328,22   | 139463,22          | 5578,53                         | 0,09                            | 1,00           | 1272,40                                    |
|                | 0,21 | 2,51 | 1359,01   | 142695,75          | 5707,83                         | 0,10                            | 1,02           | 1303,17                                    |
| 1,00           | 0,31 | 3,77 | 1389,14   | 145859,96          | 5834,40                         | 0,10                            | 1,04           | 1333,28                                    |
|                | 0,33 | 3,94 | 1392,39   | 146200,44          | 5848,02                         | 0,10                            | 1,04           | 1336,52                                    |
|                | 0,42 | 5,03 | 1366,13   | 143443,61          | 5737,74                         | 0,10                            | 1,03           | 1310,28                                    |
|                | 0,52 | 6,28 | 1337,25   | 140411,74          | 5616,47                         | 0,10                            | 1,00           | 1281,43                                    |



#### Pertes dues à la relaxation des câbles

La relaxation de l'acier est un relâchement de tension à longueur constante, ce phénomène dépend de deux paramètres qui sont :

La composition chimique de l'acier;

La tension à laquelle l'acier est soumis.

La perte par relaxation est donnée par la formule qui suit :

$$\Delta \sigma_{p}(x) = \frac{6}{100} \times \rho_{1000} \times (\frac{\sigma_{pi}(x)}{f_{prg}} - \mu_{0}) \times \sigma_{pi}(x)$$
 (2.38)

Avec:

 $\mu_0$  : coefficient dépendant de la nature du câble ;

 $\rho_{1000}$ : est la valeur caractéristique de la relaxation à 1000 heures ;

 $\sigma_{pi}(x)$ : tension du câble en un point donner [MPa];

 $f_{\text{prg}}$ : contrainte de rupture garantie [MPa].

# • Les pertes différées totales

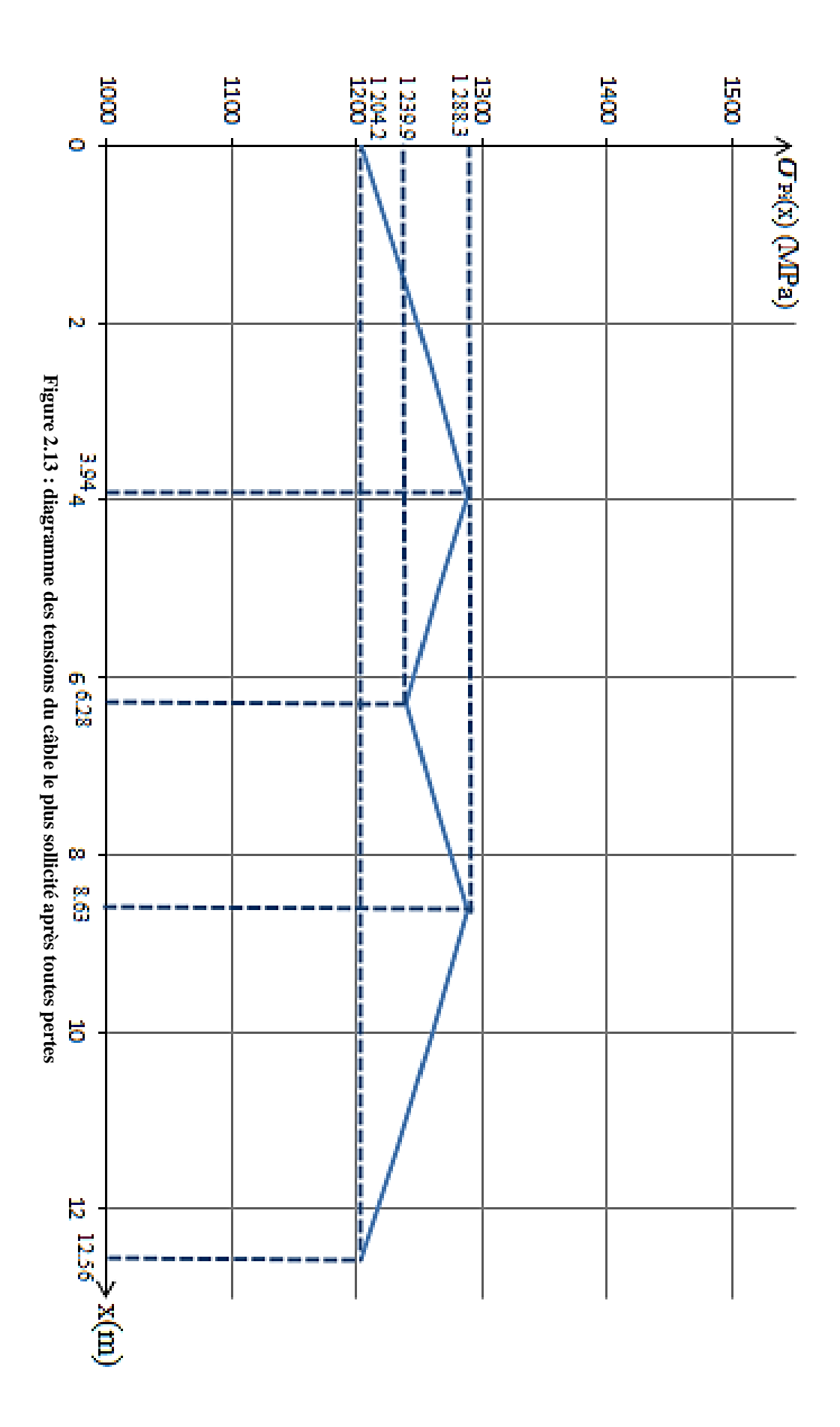
C'est la perte totale engendrée par les trois pertes précédentes et elle se calcul comme suit :

$$\Delta \sigma_{\text{dif}}(x) = \Delta \sigma_r + \Delta \sigma_{\text{fl}}(x) + \frac{5}{6} \Delta \sigma_p(x) \qquad (2.39)$$

Les résultats sont présentés sous forme de tableaux pour chaque bande, câble et section en annexe 3, Un extrait de ces résultats est présenté dans le tableau 2-6 pour le câble le plus sollicité de la bande la plus sollicitée.

Tableau 2-6

| N° du | α    | X    | tension après perte par fluage | perte | tension après toutes pertes |
|-------|------|------|--------------------------------|-------|-----------------------------|
| câble | и    | Λ    | [MPa]                          | [MPa] | [MPa]                       |
|       | 0,00 | 0,00 | 1240,98                        | 44,15 | 1204,18                     |
|       | 0,10 | 1,26 | 1272,40                        | 48,50 | 1231,99                     |
|       | 0,21 | 2,51 | 1303,17                        | 52,90 | 1259,08                     |
| 1,00  | 0,31 | 3,77 | 1333,28                        | 57,36 | 1285,48                     |
|       | 0,33 | 3,94 | 1336,52                        | 57,85 | 1288,31                     |
|       | 0,42 | 5,03 | 1310,28                        | 53,94 | 1265,33                     |
|       | 0,52 | 6,28 | 1281,43                        | 49,77 | 1239,95                     |



#### 2.6.4. Vérification des efforts

Avant d'entamer les vérifications des contraintes, nous allons transformer toutes les contraintes en efforts :

$$\sigma_{pi}(x) = \frac{P_i(x)}{A}$$

D'où:

$$P_i(x) = \sigma_{pi}(x).A \qquad (2.40)$$

Les résultats sont montrés sous forme d'un tableau en annexe 4.

Les vérifications des efforts, présentés sous forme d'un tableau en annexe 5, seront faites selon les exigences du **fascicule 74**. Pour une classe d'étanchéité B (Ouvrages dont l'étanchéité est assurée par la structure complétée par un revêtement d'imperméabilisation).

Nous allons faire les vérifications dans trois endroits en particulier qui sont :

- -Au droit du câble ;
- -La fibre la plus éloignée vers l'intérieur ;
- -La fibre la plus éloignée vers l'extérieur.

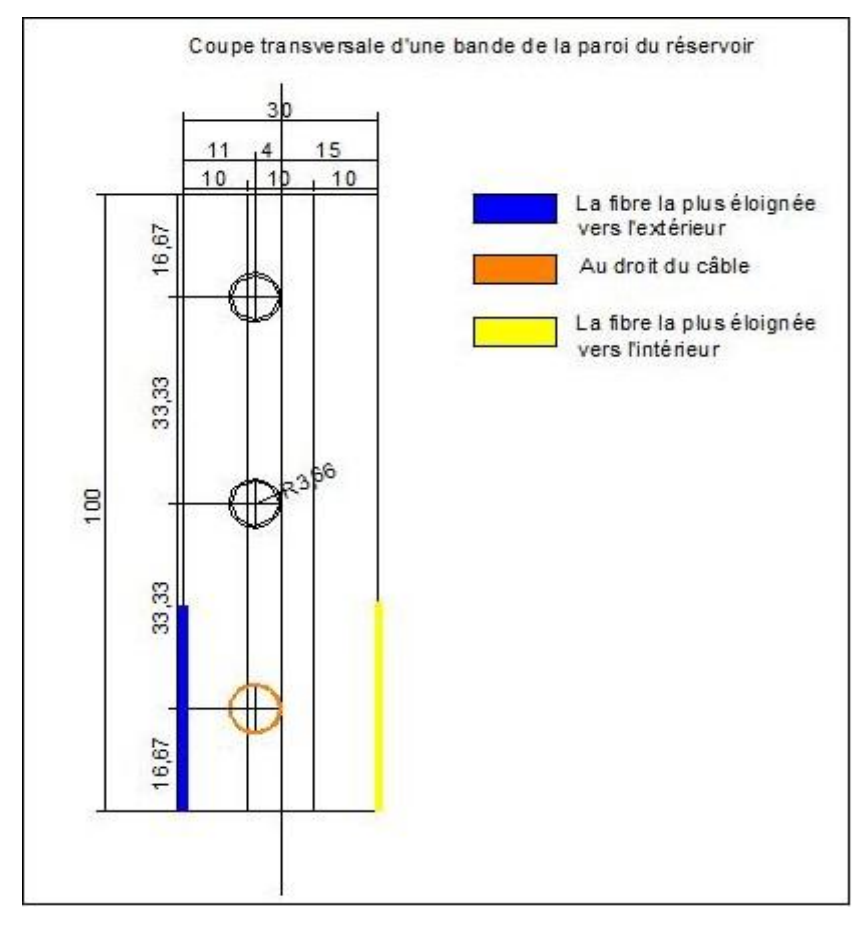


Figure 2.14: coupe transversale dans la paroi au niveau d'une bande

Pour les diagrammes qu'on va réaliser, on utilisera le code suivant :

**Vert** : pour la limite de compression ;

Rouge: pour la limite de traction;

Et les couleurs montrées dans la figure 2.12 pour l'évolution de contraintes pour chaque endroit.

# Sous l'effet des combinaisons rares (combinaisons 4 et 5)

La limite de compression est fixée à 0.6f<sub>c28</sub>.

La limite de traction est fixée à f<sub>t28</sub> dans la section d'enrobage.

La limite de traction est fixée à 1,10 \to f<sub>t28</sub> hors section d'enrobage.

Avec:

 $\Theta = 1$  dans le cas de la traction simple ;

 $\Theta=1+2e_o/3h_o$  dans le cas de la flexion plane composée, la force de traction extérieure ayant une excentricité  $e_o$  inférieure à l'épaisseur  $h_o$  de la paroi ;

 $\Theta = 5/3$  dans les autres cas.

Pour notre ouvrage  $\Theta = 5/3$ .

Les résultats du câble le plus sollicité de la bande la plus sollicitée dans le tableau 2-6, où :

0 : désigne que les conditions aux limites sont vérifiées ;

1 : désigne que les conditions aux limites ne sont pas vérifiées.

Tableau 2-7:

|                |      |      | comb 4 [MPa                            | a]   |  | comb 5 [M                              | Pa]   | Vérific  | ations comb 4                  | [MPa]                                     | C   | omb 5 [MPa                     | a]   |  |
|----------------|------|------|--|--|--|--|---|--|--------------------------------|---|---|--------------------------------|--|--|
| N° du<br>câble | α    | X    | effort au<br>droit du<br>câble<br>[kg] | Effort<br>agissant<br>sur la fibre<br>int [kg] | Effort<br>agissant<br>sur la fibre<br>ext [kg] | effort au<br>droit du<br>câble<br>[kg] | Effort<br>agissant<br>sur la<br>fibre<br>int [kg] | effort<br>agissant sur<br>la fibre<br>ext [kg] | effort au<br>droit du<br>câble | Effort<br>agissant<br>sur la fibre<br>int | effort<br>agissant<br>sur la fibre<br>ext | effort au<br>droit du<br>câble | Effort<br>agissant<br>sur la<br>fibre<br>int | effort<br>agissant<br>sur la<br>fibre<br>ext |
|                | 0,00 | 0,00 | 75413,20                               | 4959,91  | 145839,65                                      | 75413,20                               | 4959,91   | 145839,65                                      | 0                              | 0   | 0   | 0                              | 0  | 0  |
|                | 0,10 | 1,26 | 78918,29                               | 6361,79  | 151447,15                                      | 78918,29                               | 6361,79   | 151447,15                                      | 0                              | 0   | 0   | 0                              | 0  | 0  |
|                | 0,21 | 2,51 | 82333,08                               | 7727,55  | 156910,19                                      | 82333,08                               | 7727,55   | 156910,19                                      | 0                              | 0   | 0   | 0                              | 0  | 0  |
| 1              | 0,31 | 3,77 | 85660,16                               | 9058,23  | 162232,92                                      | 85660,16                               | 9058,23   | 162232,92                                      | 0                              | 0   | 0   | 0                              | 0  | 0  |
|                | 0,33 | 3,94 | 86017,26                               | 9201,05  | 162804,21                                      | 86017,26                               | 9201,05   | 162804,21                                      | 0                              | 0   | 0   | 0                              | 0  | 0  |
|                | 0,42 | 5,03 | 83120,82                               | 8042,61  | 158170,43                                      | 83120,82                               | 8042,61   | 158170,43                                      | 0                              | 0   | 0   | 0                              | 0  | 0  |
|                | 0,52 | 6,28 | 79921,96                               | 6763,21  | 153052,84                                      | 79921,96                               | 6763,21   | 153052,84                                      | 0                              | 0   | 0   | 0                              | 0  | 0  |

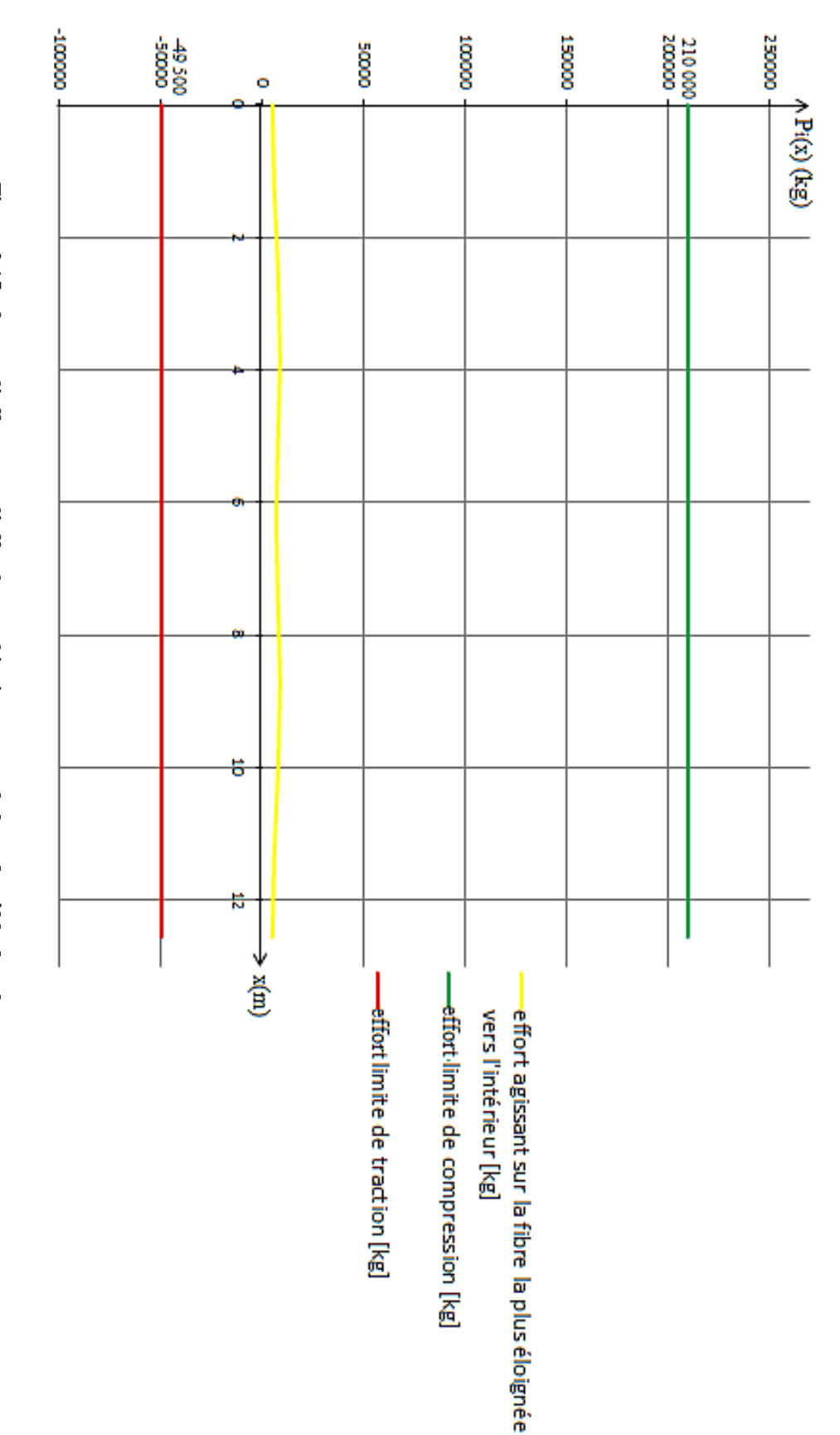
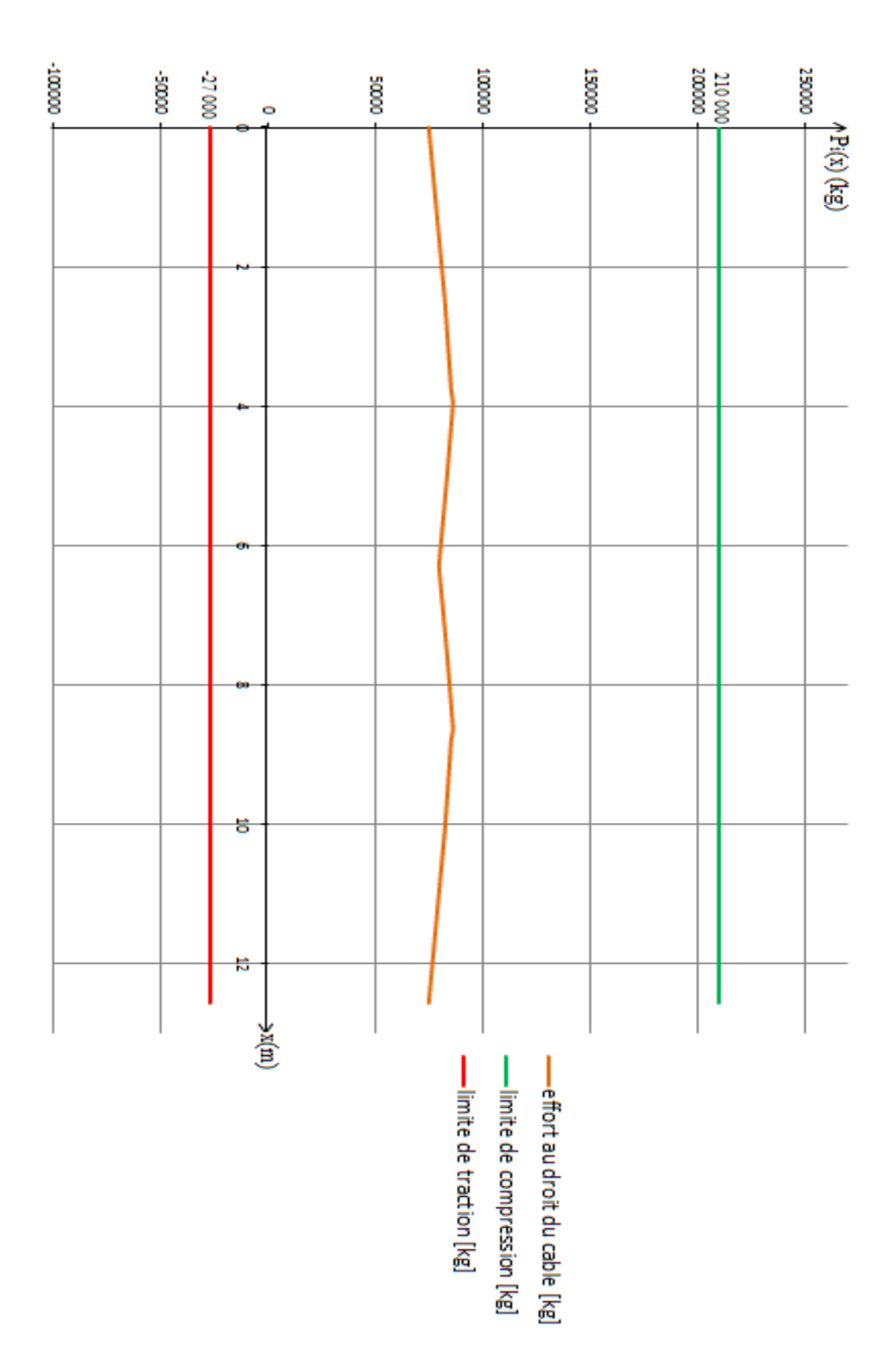


Figure 2.15 : fuseau d'efforts sous l'effet des combinaisons rares le long du câble dans la fibre la plus éloignée vers l'intérieur





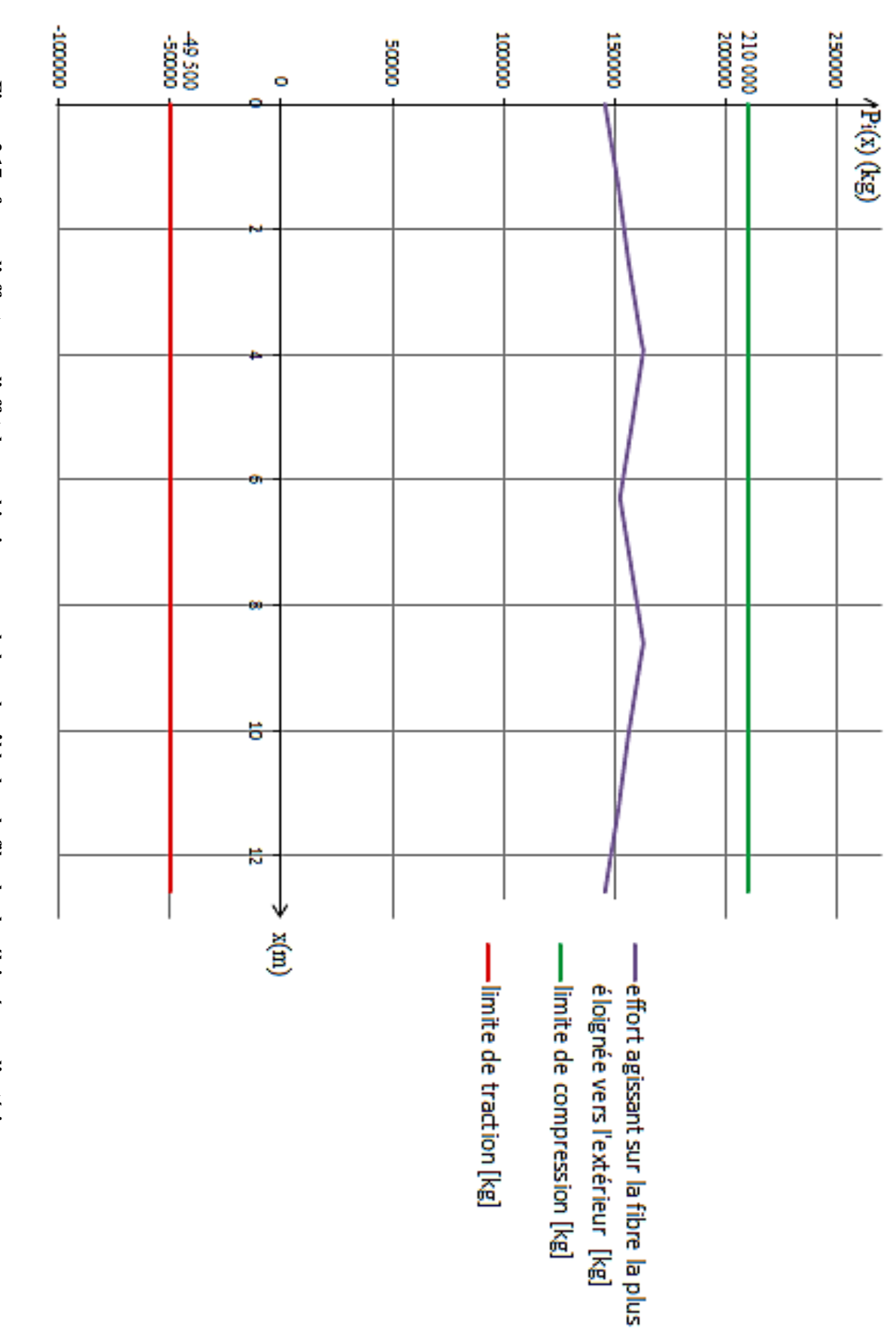


Figure 2.17 : fuseau d'efforts sous l'effet des combinaisons rares le long du câble dans la fibre la plus éloignée vers l'extérieur

# Sous l'effet de la combinaison fréquente (combinaison 6)

La limite de compression est fixée à 0.6f<sub>c28</sub>

La limite de traction est fixée à 0 dans la section d'enrobage

La limite de traction est fixée à f<sub>t28</sub> hors section d'enrobage

Les résultats du câble le plus sollicité de la bande la plus sollicitée dans le tableau 2-7, où :

0 : désigne que les conditions aux limites sont vérifiées ;

1 : désigne que les conditions aux limites ne sont pas vérifiées.

|       |      | comb 6 [MPa] |                 |              | Vérifications |           |              |              |
|-------|------|--------------|-----------------|--------------|---------------|-----------|--------------|--------------|
|       |      |              |                 | Effort       | Effort        |           | Effort       | Effort       |
| N° du | α    | x            | effort au droit | agissant     | agissant sur  | effort au | agissant sur | agissant sur |
| câble | α .  | Λ            | du câble [kg]   | sur la fibre | la fibre      | droit du  | la fibre     | la fibre     |
|       |      |              |                 | int [kg]     | ext [kg]      |           | intérieur    | extérieur    |
|       | 0,00 | 0,00         | 75378,17        | -18529,13    | 169237,79     | 0         | 0            | 0            |
|       | 0,10 | 1,26         | 78882,69        | -17828,37    | 175544,65     | 0         | 0            | 0            |
|       | 0,21 | 2,51         | 82296,94        | -17145,66    | 181689,04     | 0         | 0            | 0            |
| 1     | 0,31 | 3,77         | 85623,49        | -16480,49    | 187675,62     | 0         | 0            | 0            |
|       | 0,33 | 3,94         | 85980,53        | -16409,09    | 188318,17     | 0         | 0            | 0            |
|       | 0,42 | 5,03         | 83084,55        | -16988,17    | 183106,46     | 0         | 0            | 0            |
|       | 0,52 | 6,28         | 79886,20        | -17627,71    | 177350,60     | 0         | 0            | 0            |

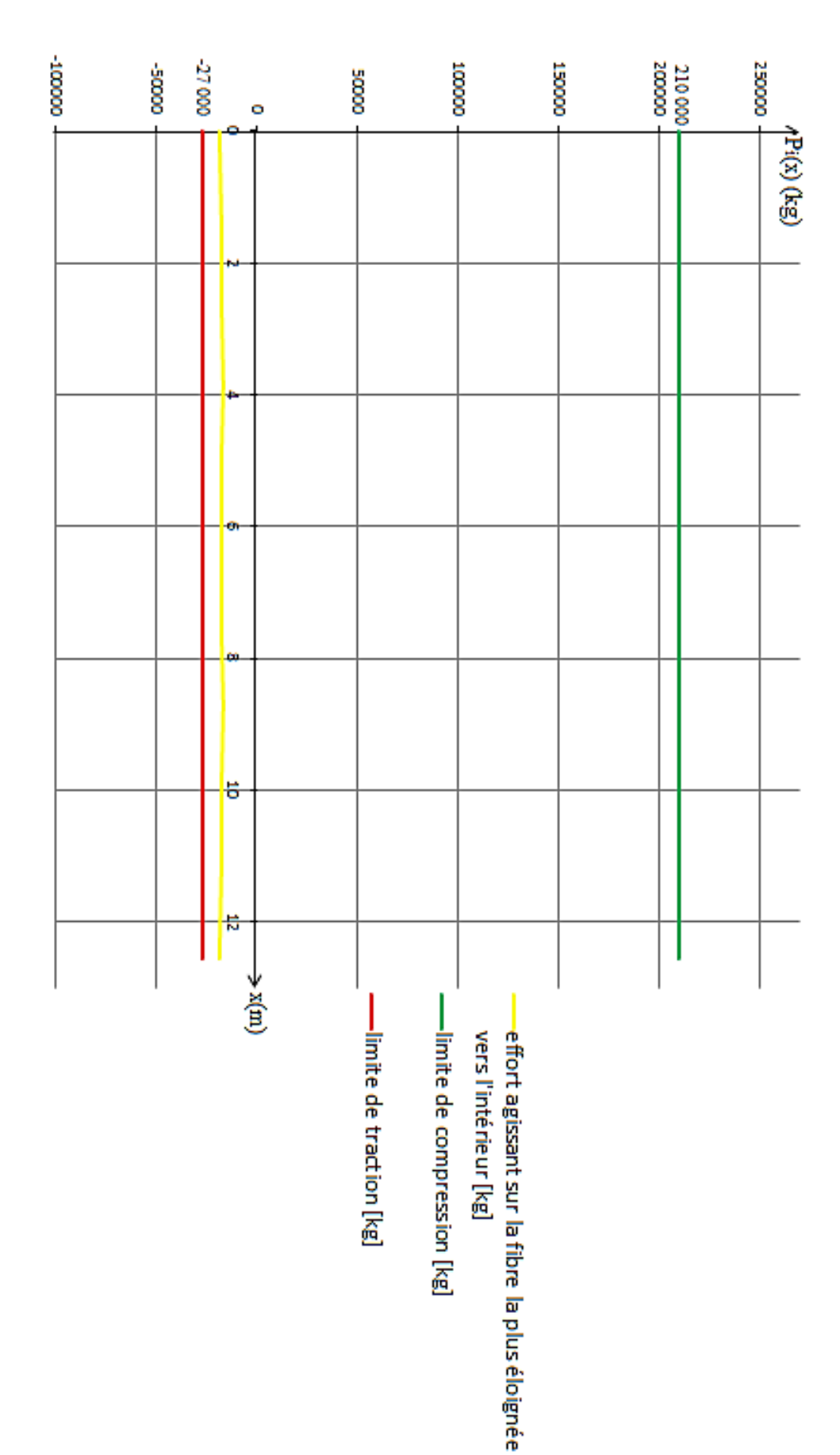


Figure 2.18 : fuseau d'efforts sous l'effet de la combinaison fréquente le long du câble dans la fibre la plus éloignée vers l'intérieur

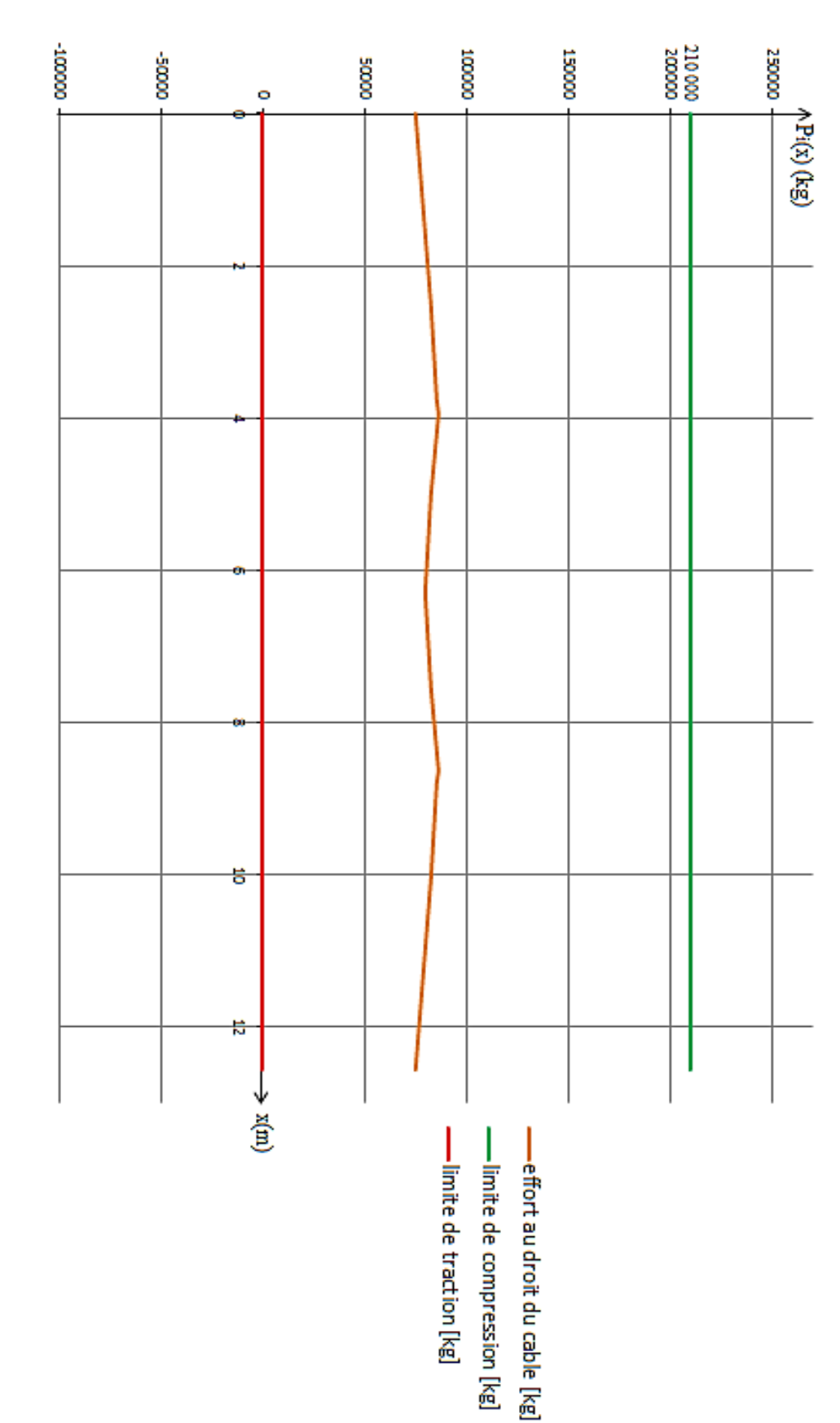
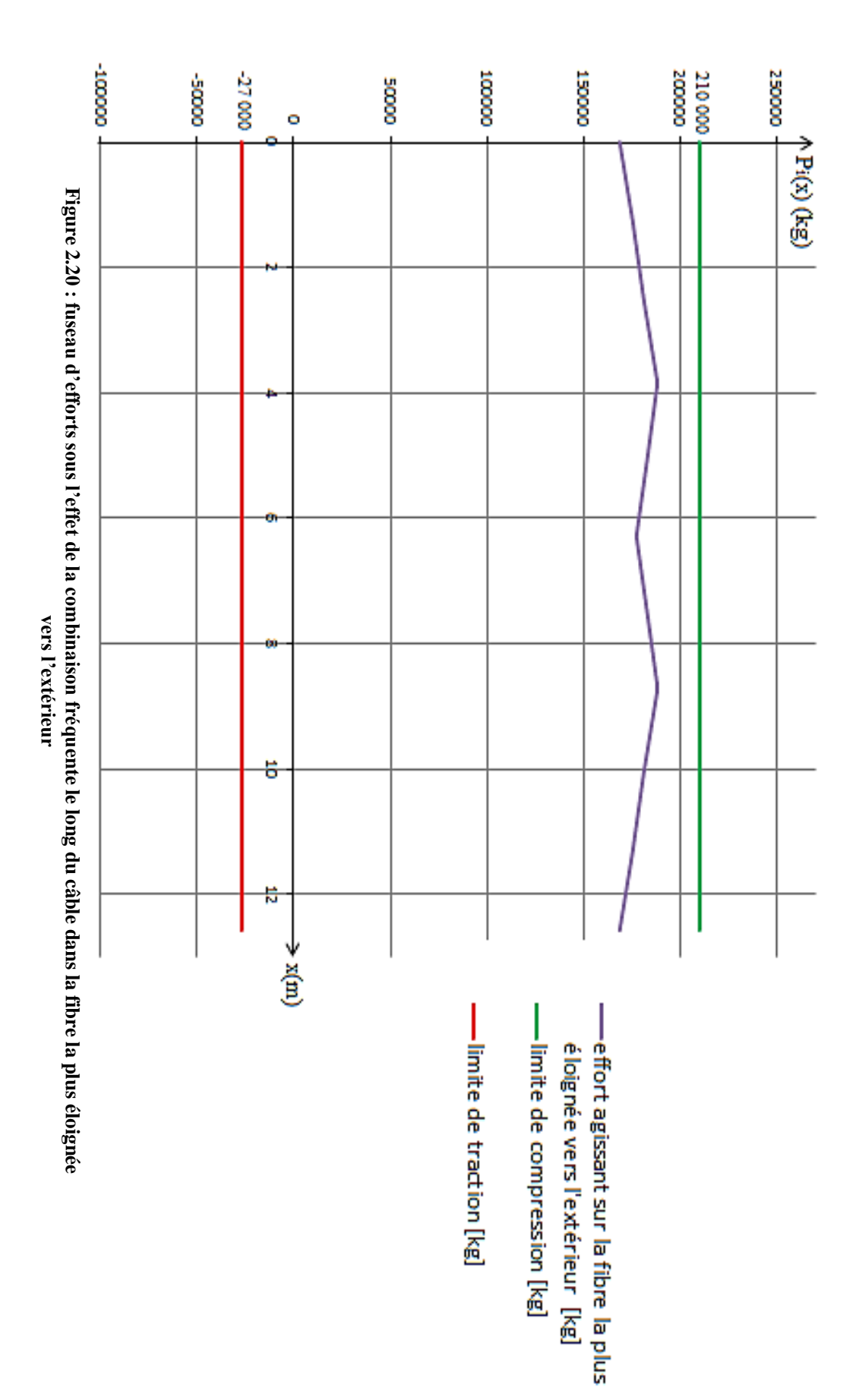


Figure 2.19 : fuseau de contraintes au droit du câble



# Sous l'effet de la combinaison quasi-permanente (combinaisons7)

La limite de compression est fixée à 0.6f<sub>c28</sub>

Les résultats du câble le plus sollicité de la bande la plus sollicitée dans le tableau 2-7, où :

0 : désigne que les conditions aux limites sont vérifiées ;

1 : désigne que les conditions aux limites ne sont pas vérifiées.

|                |      |      | comb 7 [MPa]                        |   |   | vérification de la comb 7      |   |   |  |
|----------------|------|------|-------------------------------------|---|---|--------------------------------|---|---|--|
| N° du<br>câble | α    | х    | effort au<br>droit du<br>câble [kg] | effort<br>agissant<br>sur la fibre<br>intérieur<br>[kg] | effort<br>agissant sur<br>la fibre<br>extérieur<br>[kg] | effort au<br>droit du<br>câble | effort<br>agissant sur<br>la fibre<br>intérieur | effort<br>agissant<br>sur la fibre<br>extérieur |  |
|                | 0,00 | 0,00 | 117413,20                           | 46959,91  | 187839,65   | 0                              | 0   | 0   |  |
|                | 0,10 | 1,26 | 120918,29                           | 48361,79  | 193447,15   | 0                              | 0   | 0   |  |
|                | 0,21 | 2,51 | 124333,08                           | 49727,55  | 198910,19   | 0                              | 0   | 0   |  |
| 1              | 0,31 | 3,77 | 127660,16                           | 51058,23  | 204232,92   | 0                              | 0   | 0   |  |
|                | 0,33 | 3,94 | 128017,26                           | 51201,05  | 204804,21   | 0                              | 0   | 0   |  |
|                | 0,42 | 5,03 | 125120,82                           | 50042,61  | 200170,43   | 0                              | 0   | 0   |  |
|                | 0,52 | 6,28 | 121921,96                           | 48763,21  | 195052,84   | 0                              | 0   | 0   |  |

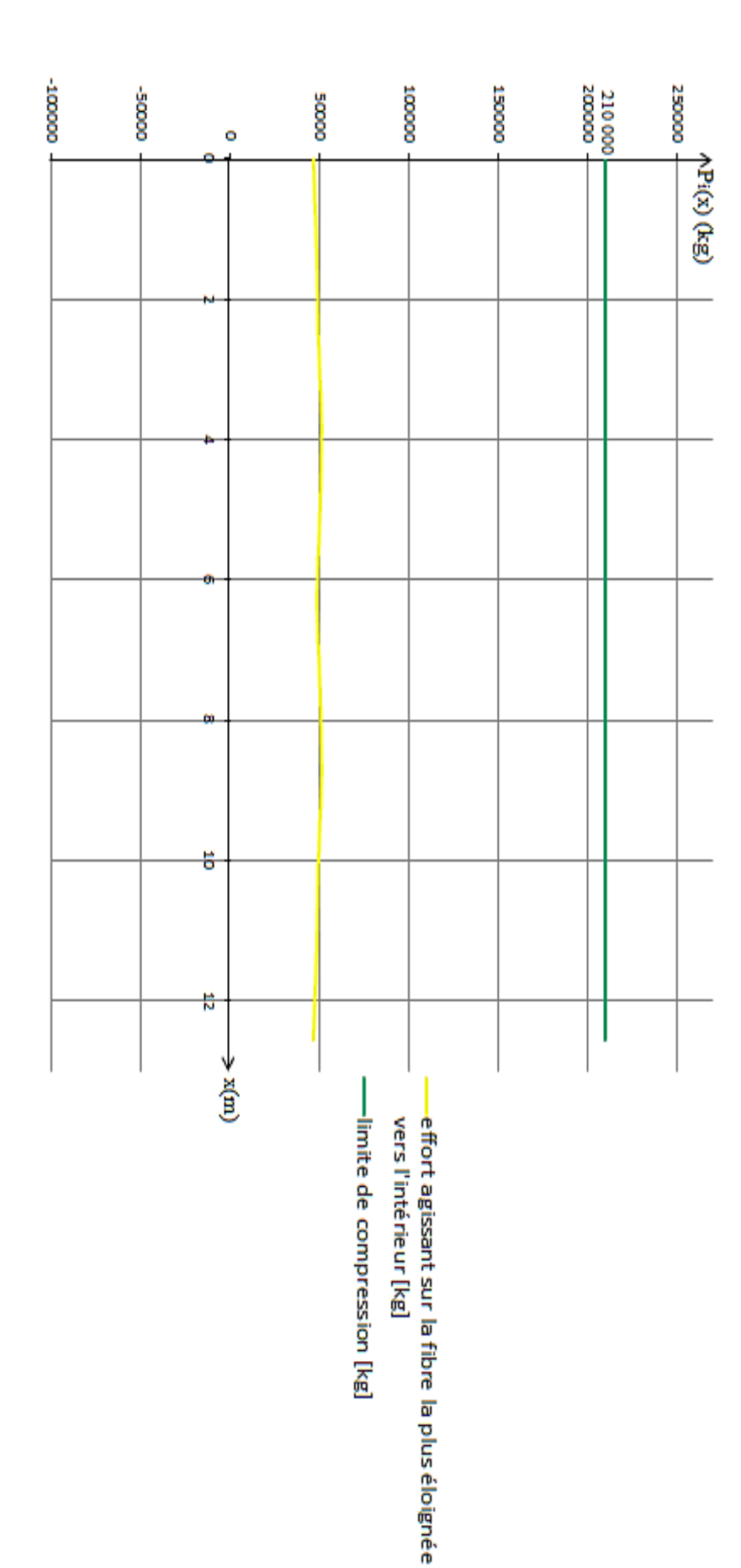
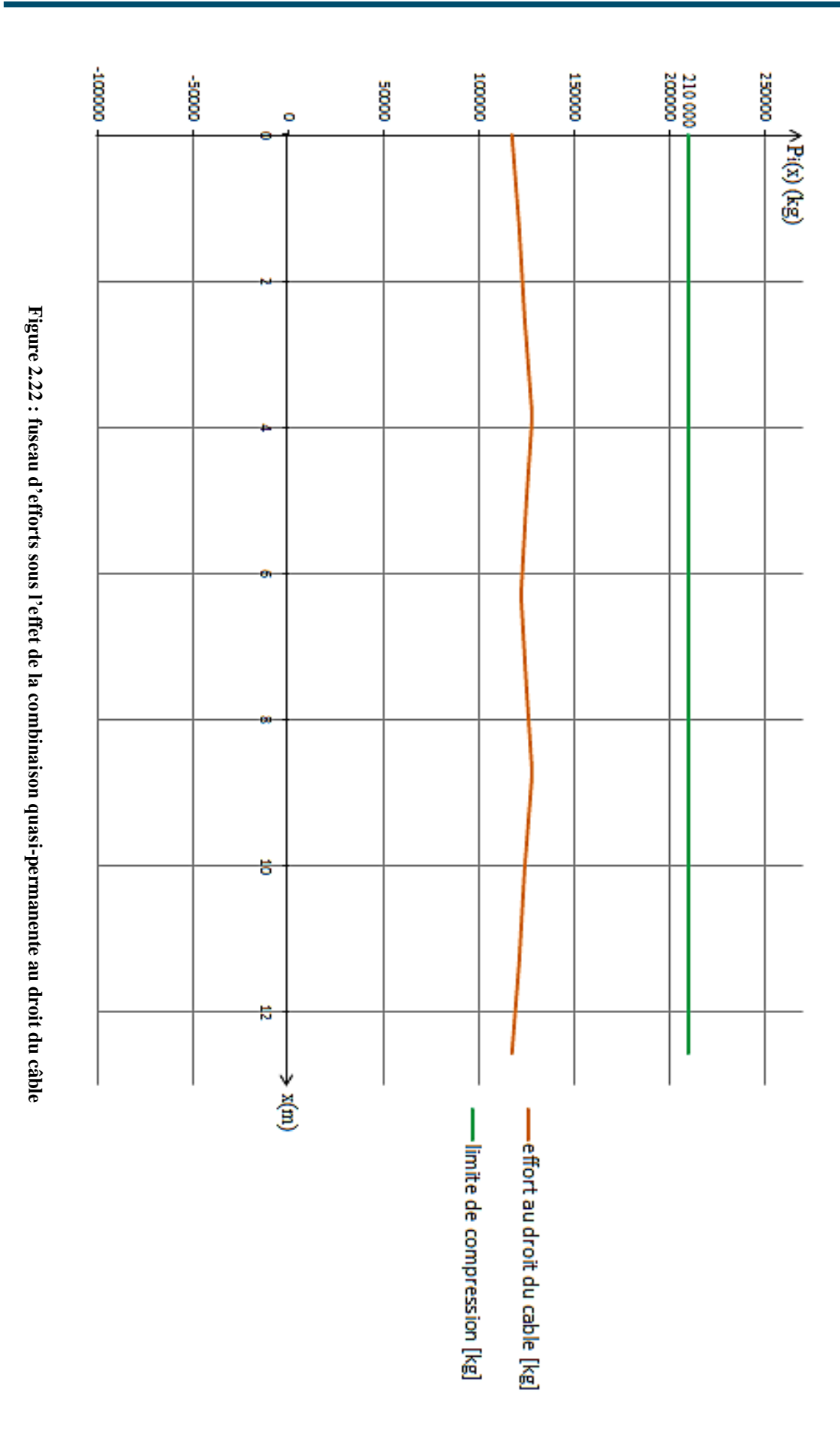
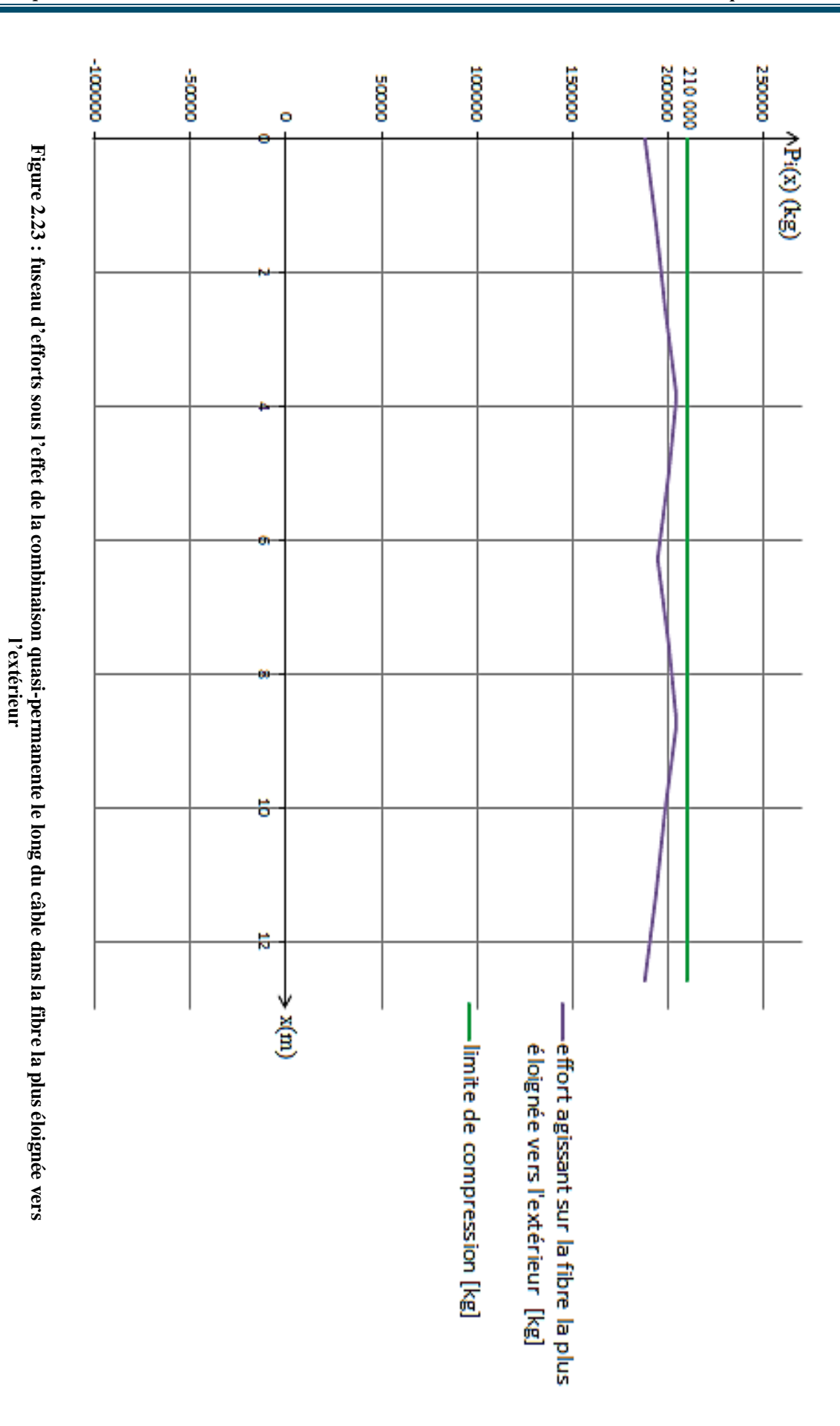


Figure 2.21 : fuseau d'efforts sous l'effet de la combinaison quasi-permanente le long du câble dans la fibre la plus éloignée vers l'intérieur



53



54

Les efforts développés sous les différentes combinaisons (rares, fréquente et quasi permanente), aux différents endroits de la paroi (section d'enrobage, hors section d'enrobage), sont vérifié aux états limites.

## 2.7. Etude de la corrosion

Pour l'étude de la corrosion (diminution de la section du câble) dans les différentes régions d'implantations (classées selon leurs degrés d'agressivité), nous nous proposons le **modèle de Fumin Li et Al** qui nous permettra de connaître l'âge de notre ouvrage.

$$\eta_c = \frac{M.i.S.t_c/(|z|.F)}{L.\rho_l}$$
 (2.41)

Où:

 $\eta_{\rm c}$ : est le taux de perte de poids 28 jours ;

i : est la densité de corrosion [A/m²] ;

S : est la section latérale du câble [m²];

t<sub>c</sub>: est le temps de corrosion [s];

M : masse molaire de l'acier [g/mol] ;

z : nombre d'électrons cédés ou gagnés ;

F: constante de **FARADAY** prise égale à 96 485 [C/mol];

L: la longueur du câble [m];

 $\rho_1$ : est la densité linéaire du câble [g/m].

Tableau 2-8 : vitesse de corrosion pour les differentes régions (M. Otieno et Al)

| zones                | $i_{corr} (\mu A/cm^2)$ | observation       |
|----------------------|-------------------------|-------------------|
| très loin de la mer  | < 0.1                   | corrosion passive |
| loin de la mer       | 0.1-0.5                 | corrosion faible  |
| proche de la mer     | 0.5-1.0                 | corrosion modérée |
| aux abords de la mer | >1.0                    | corrosion élevée  |

Une fois que nous avons calculé le taux de perte de poids pour chaque zone du tableau 2-8, nous allons à présent déduire la perte de section d'un câble en fonction du temps.

Nous avons:

$$\mathbf{P_0} = \mathbf{\rho_v} \cdot \mathbf{v} \qquad (2.42)$$

Où:

P<sub>0</sub>: est le poids initial du câble pour 1 mètre linéaire [kg];

 $\rho_{\rm v}$ : est la densité volumique du câble [kg/m<sup>3</sup>];

v : volume du câble calculé comme suit :

$$v = S.1$$
 (2.43)

Avec:

S: section du câble [m²];

1 : longueur du câble que nous avons pris égal à 1m [m].

Après 28 jours nous aurons :

$$P(28) = P_0 - \eta_c$$
.  $P_0 = P_0(1 - \eta_c)$ 

Après 56 jours :

$$P(56) = P(28) - P(28) \cdot \eta_c = P(28)(1 - \eta_c) = P_0(1 - \eta_c)(1 - \eta_c) = P_0(1 - \eta_c)^2$$

Après n jours :

$$P(n) = P_0 (1 - \eta_c)^{\frac{n}{28}}$$
 (2.44)

On a aussi:

Le poids d'un mètre linéaire d'un câble à un instant quelconque égal :

$$P(n) = \rho_v.S(n) \qquad (2.45)$$

Donc

$$S(n) = \frac{P(n)}{\rho_v} \tag{2.46}$$

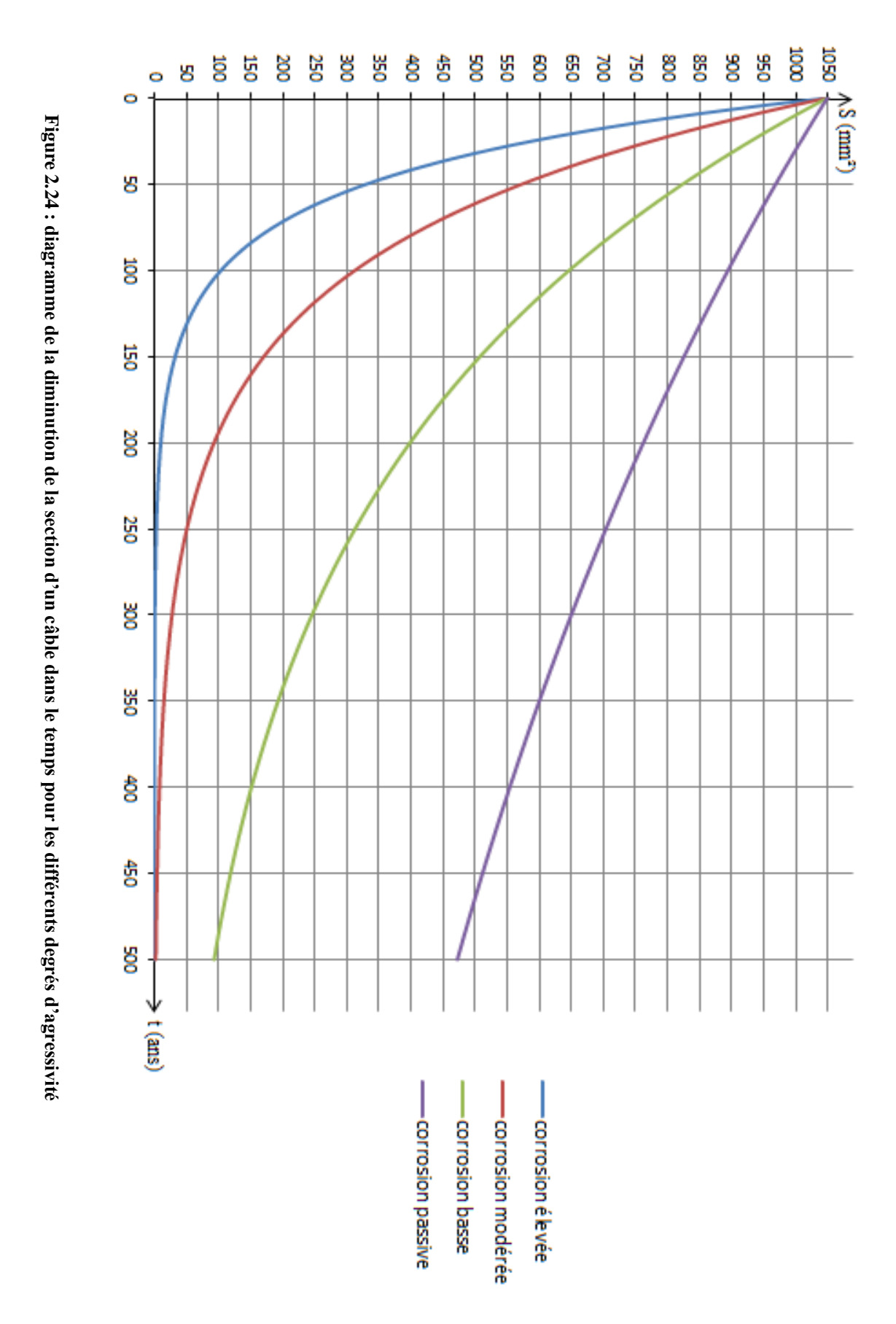
Où:

P(n): poids d'un mètre linéaire d'un câble à un instant n donné [kg/ml];

 $\rho_{\rm v}$ : est la densité volumique du câble [kg/m<sup>3</sup>];

S(n): section du câble à l'instant n [m²].

Les résultats obtenus sont montrés sous forme de tableaux dans l'annexe 6 et les figures (2.22) et (2.23).



Ensuite, pour déterminer l'âge de notre ouvrage, on a développé une relation entre l'effort limite de rupture  $P_l(t)$  et la section résiduelle pour chaque année S(t), qui est :

$$f_{prg} = \frac{P_l}{S} \quad (2.47)$$

Cependant, la section du câble diminue dans le temps, donc la contrainte limite de rupture diminue proportionnellement à cette dernière, ce qui fait que la relation 2.47 devient :

$$f_{prg}(t) = \frac{P_l(t)}{s(t)}$$

D'où:

$$P_l(t) = f_{prg}(t).S(t)$$
 (2.48)

Avec:

f<sub>prg</sub>: contrainte limite de rupture d'un câble garantie par le fournisseur [MPa] ;

 $P_l(t)$ : effort limite de rupture d'un câble dans le temps [N];

S(t): section résiduelle d'un câble dans le temps [mm²].

Ensuite, pour connaître l'âge de notre ouvrage, selon le degré d'agressivité du milieu, on a fait varié le temps de t = 0 jusqu'à t = 500 ans, pour calculer l'effort limite de rupture et on le compare à chaque fois, à l'aide d'un test sur **Excel**, à un effort nécessaire pour causer la rupture d'un câble.

Le test est le suivant :

$$\begin{cases} \text{Si} & P_l(t) > F_u \implies s\'{e}curit\'{e} \\ \\ \text{Si} & P_l(t) \le F_u \implies rupture \end{cases}$$

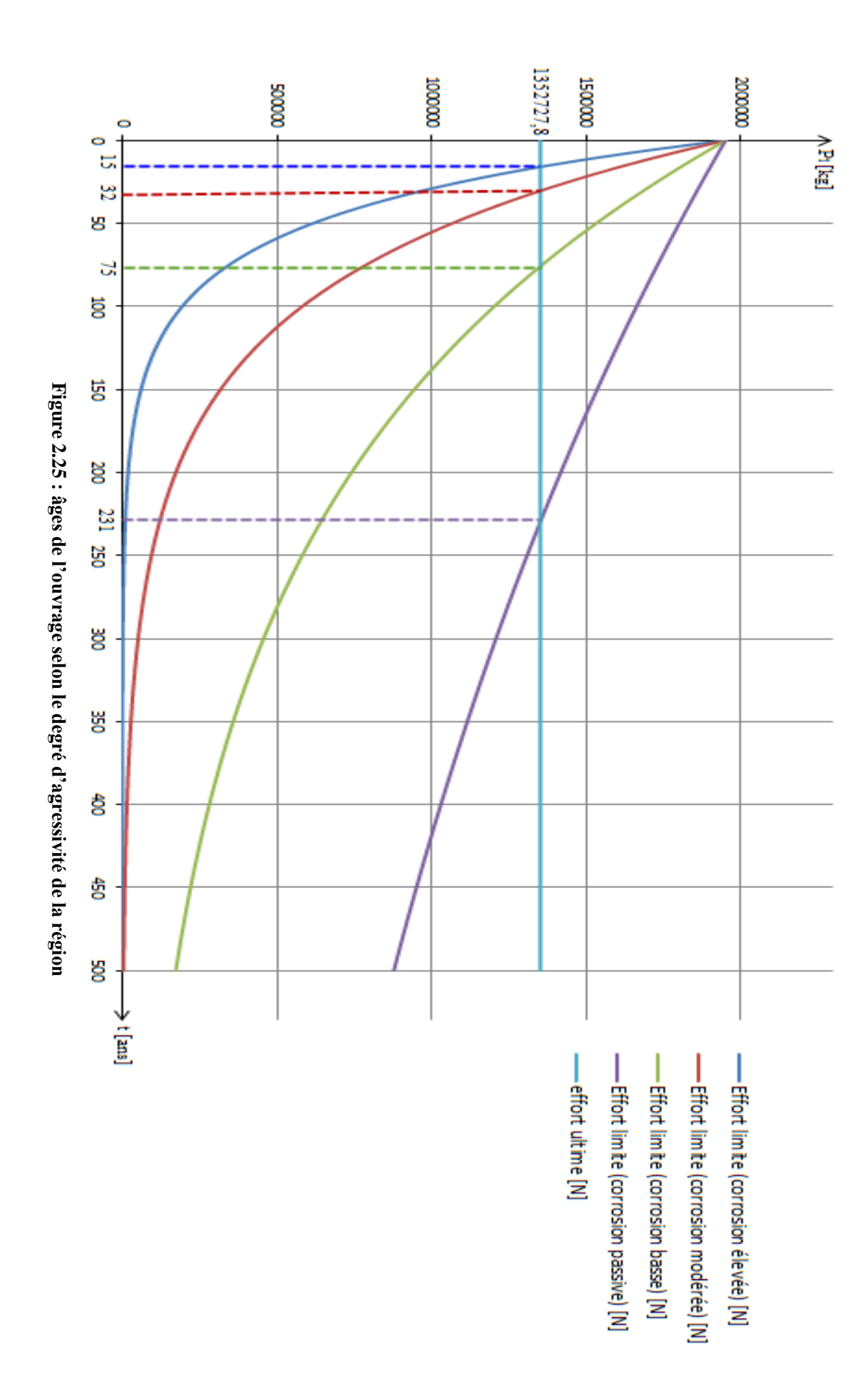
Avec

 $P_l(t)$ : effort limite de rupture d'un câble à un instant donné t [N];

F<sub>u</sub>: effort nécessaire pour causer la rupture d'un câble, obtenu comme suit :

$$F_u = \max(tensions \ dans \ les \ câbles \ aprés \ toutes \ les \ pertes)$$
 (2.49)

Après avoir varié le temps de t = 0 jusqu'à t = 500 ans, on a obtenu des résultats montrés sous forme de tableaux dans l'annexe 6 et la figure 2.22.



# Interprétation des résultats

Dans la phase de propagation, la section d'armatures diminue dans le temps avec un rythme différent d'une région à une autre ; le câble atteint la corrosion totale à la 250<sup>éme</sup> année dans la zone la plus agressive et plus l'agressivité du milieu diminue, l'armature met plus de temps pour atteindre la corrosion totale comme on le remarque dans la figure 2.22.

En superposant la variation de l'effort limite spécifique des différents degrés d'agressivités, avec l'effort ultime, nous constatons, que le réservoir atteint un seuil critique au bout de :

17 ans pour la zone la plus agressive (corrosion élevée) ;

32 ans pour la zone moyennement agressive (corrosion modérée);

80 ans pour la zone à faible agressivité (corrosion faible);

242 ans pour la zone à agressivité négligeable (corrosion passive).

# 2.8. Conclusion

L'étude structurel du réservoir qui impose un diamètre de 24 m, ainsi que l'étude hydrodynamique et hydrostatique, démontre que la réalisation de notre ouvrage est impossible avec du Béton Armé.

Le Béton Précontraint offre de grands avantages pour la réalisation de structures importantes. L'étude de précontrainte effectuer sur le réservoir de notre étude est vérifiés aux états limites du **Fascicule 74**.

Selon le degré d'agressivité du site d'implantation de l'ouvrage, le processus de corrosion évolue différemment ; plus on s'éloigne des sources d'agressivités, la corrosion des armatures diminue.

# CHAPITRE 3 : CALCUL FIABILISTE DE LA PAROI DU RESERVOIR

### 3.1.INTRODUCTION

Après avoir effectué un calcul déterministe du réservoir, nous proposons dans ce troisième chapitre une analyse fiabiliste de la structure pour évaluer la probabilité de défaillance dans le temps, tenant compte de la variabilité de la résistance à la compression du béton et de l'excentricité du câble. La méthode utilisée est celle de Monte Carlo classique. Notons que différentes zones d'implantations seront considérés.

## 3.2. Critère de défaillance et fonction d'état limite

La durabilité des réservoirs peut être affectée par la corrosion des armatures de précontraintes. Les câbles ont un effort limite  $\mathbf{F}_{\text{lim}}$  (résistance limite) qui diminue à chaque fois que le câble se corrode. La ruine de l'ouvrage est liée directement au dépassement de l'état limite dicté par l'effort ultime  $\mathbf{F}_{\text{ultime}}$ . Ceci nous amène à définir la fonction d'état limite  $\mathbf{G}$  suivante :

$$\mathbf{G} = \mathbf{F}_{\text{ultime}} - \mathbf{F}_{\text{lim}} \tag{3.1}$$

# 3.3. Identification des variables

Tableau 3-1 : exemple de variables déterministes et aléatoires.

| variable                             | unité | observation  |
|--------------------------------------|-------|--------------|
| diametre interne du reservoir        | m     | déterministe |
| epaisseur de la paroi                | m     | déterministe |
| coef d'acceleration de zone          | m/s2  | aléatoire    |
| période fendamental                  | S     | aléatoire    |
| exentrécité du cable                 | m     | aléatoire    |
| résistance a la compression du béton | Mpa   | aléatoire    |

Pour notre étude fiabiliste, les variables aléatoires considérées sont l'excentricité du câble  $(e_0)$  et résistance à la compression du béton  $(f_{c28})$ . Ces variables aléatoires interviennent dans les équations de détermination des efforts finaux appliqués sur la paroi.

En plus de ces variables aléatoires, nous allons prendre en considération les zones d'implantations selon leurs degrés d'agressivités.

# 3.4. Génération des variables aléatoires

Il a été démontré que, la résistance à la compression du béton  $(f_{c28})$  peut être générer avec la loi normale (Haddad et Sellam 2017). Les paramètres caractérisant la loi normale sont

62

μ : désigne la moyenne statistique de l'échantillon généré prise égale à 35 MPa ;

σ : désigne l'écart type de l'échantillon donné ;

Cv : coefficient de variation pris égale à 0.12 dans notre cas.

Cependant, l'excentricité du câble (e<sub>0</sub>) n'a jamais fait le sujet d'une étude probabiliste, et pour notre cas, nous allons la générer avec une loi de distribution normale avec les paramètres suivants :

μ : désigne la moyenne statistique de l'échantillon généré prise égale à 4 cm

Cv: coefficient de variation pris égale à 0.25 dans notre cas.

On tient à préciser que les coefficients de variations des deux variables aléatoires sont choisis par tâtonnements.

À l'aide d'un programme Excel© les étapes de générations de variables sont les suivantes :

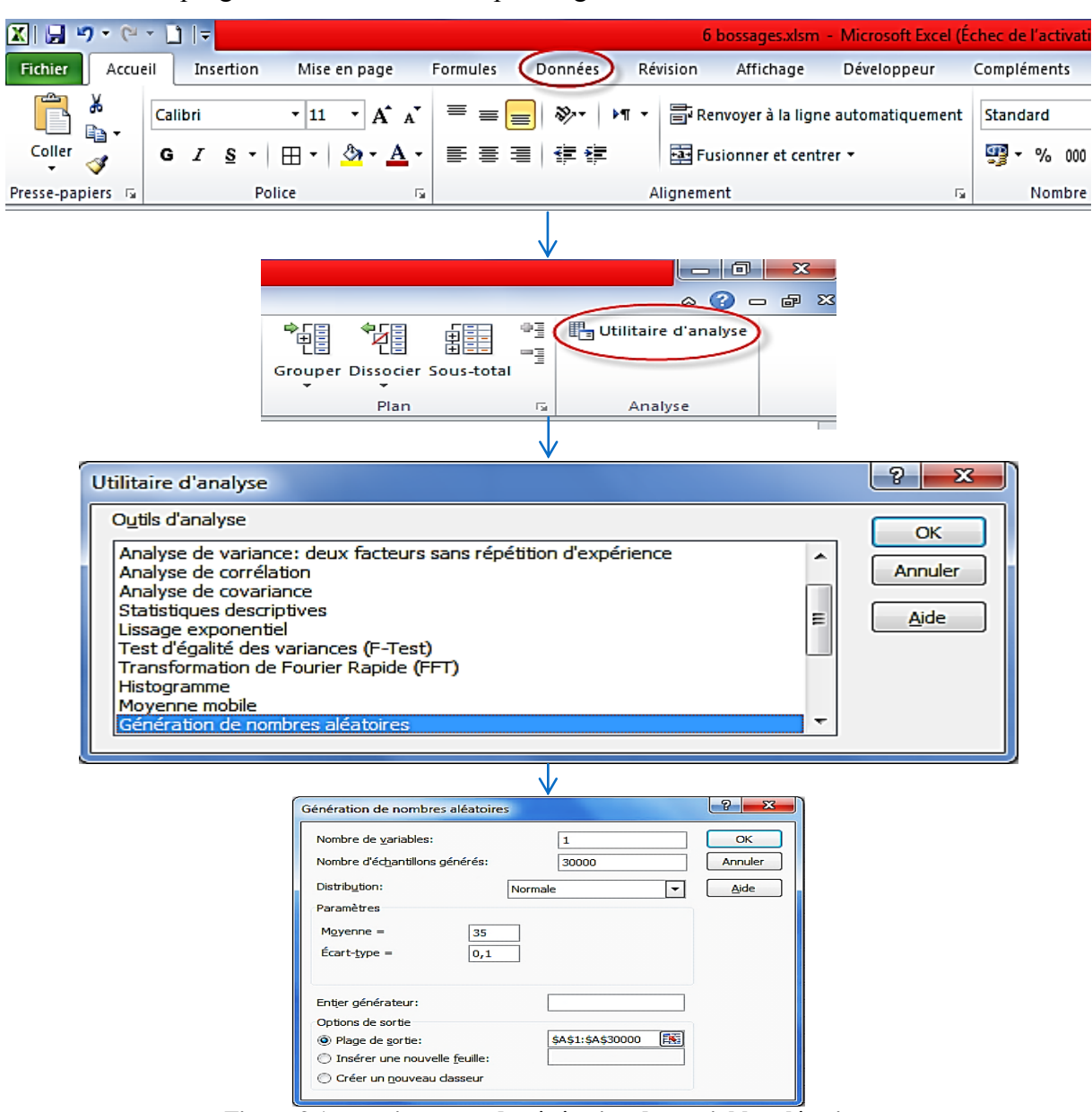


Figure 3.1 organigramme de génération des variables aléatoires

Les résultats obtenus sont montrés sous forme d'un tableau dans l'annexe 7.

# 3.5. Evaluation de la probabilité de défaillance

Le calcul de la probabilité de défaillance  $P_f$  (probability of failure) est mené avec la méthode de **Monte Carlo** classique, pour la simplicité et la précision de ses résultats. Le principe de cette méthode repose sur la génération d'un grand nombre de tirages aléatoires autour des paramètres  $f_{c28}$  et  $e_0$ . Le logiciel Excel est utilisé pour la génération de ces tirages  $(N_b)$  qui sont limités à 32 767. Ainsi, un indicateur de ruine  $I_d$  est utilisé pour définir l'état de défaillance du système pour la fonction d'état limite G donnée tel que :

$$I_d = 1$$
 si  $G \leq 0$ 

$$I_d = 0$$
 si **G** > **0**

La probabilité de défaillance P<sub>f</sub> est donnée, pour chaque année, par la relation suivante (Akli et Rihane, 2017).

$$P_f = \frac{\sum I_d}{N_b}$$
 (3.2)

La valeur de la probabilité de défaillance doit être comprise dans l'intervalle admissible, qui dépend du secteur industriel. Ces valeurs sont présentées dans le tableau 3-2.

Tableau 3-2 probabilité de défaillance selon le secteur industriel

| Secteur industriel | Pf                                  |
|--------------------|-------------------------------------|
| Structure marines  | 10 <sup>-2</sup> -10 <sup>-4</sup>  |
| Génie civil        | 10-3-10-8                           |
| Aérospatial        | 10 <sup>-4</sup> -10 <sup>-10</sup> |
|                    |                                     |

A l'aide d'un langage de programmation **Visual Basic**, une macro est effectuée sur le logiciel **Excel** pour calculer la probabilité de défaillance à chaque instant  $\mathbf{t}$  (de t=0 jusqu'à t=250 ans). Le programme est montré sur la figure 3.2.

```
Sub Macro1()
' Macro1 Macro
' Macro1 Macro
' Touche de raccourci du clavier: Ctrl+r

Application.Goto Reference:="Macro1"
    c = Sheets("corrosion").Cells(62, "b")
    b = Sheets("fiabilite").Cells(1, "b")
    For j = 65 To c + 64
    Sheets("inventaire").Cells(2, "c") = Sheets("corrosion").Cells(j, "e")
    For i = 4 To b + 3
    Sheets("pertes instantanées").Cells(60, "c") = Sheets("fiabilite").Cells(i, "b")
    Sheets("pertes instantanées").Cells(9, "d") = Sheets("fiabilite").Cells(i, "a")
    Sheets("fiabilite").Cells(i, "c") = Sheets("verification").Cells(4, "aa")
    Next i
    Sheets("corrosion").Cells(j, "f") = Sheets("fiabilite").Cells(1, "e")
    Next j
End Sub
```

Figure 3.2 : algorithme utilisé pour le calcul de la probabilité de défaillance en fonction du temps

L'organigramme suivant montre les étapes de calcul de la probabilité de défaillance par la simulation de **Monté Carlo** (Rihane et Akli, 2017) :

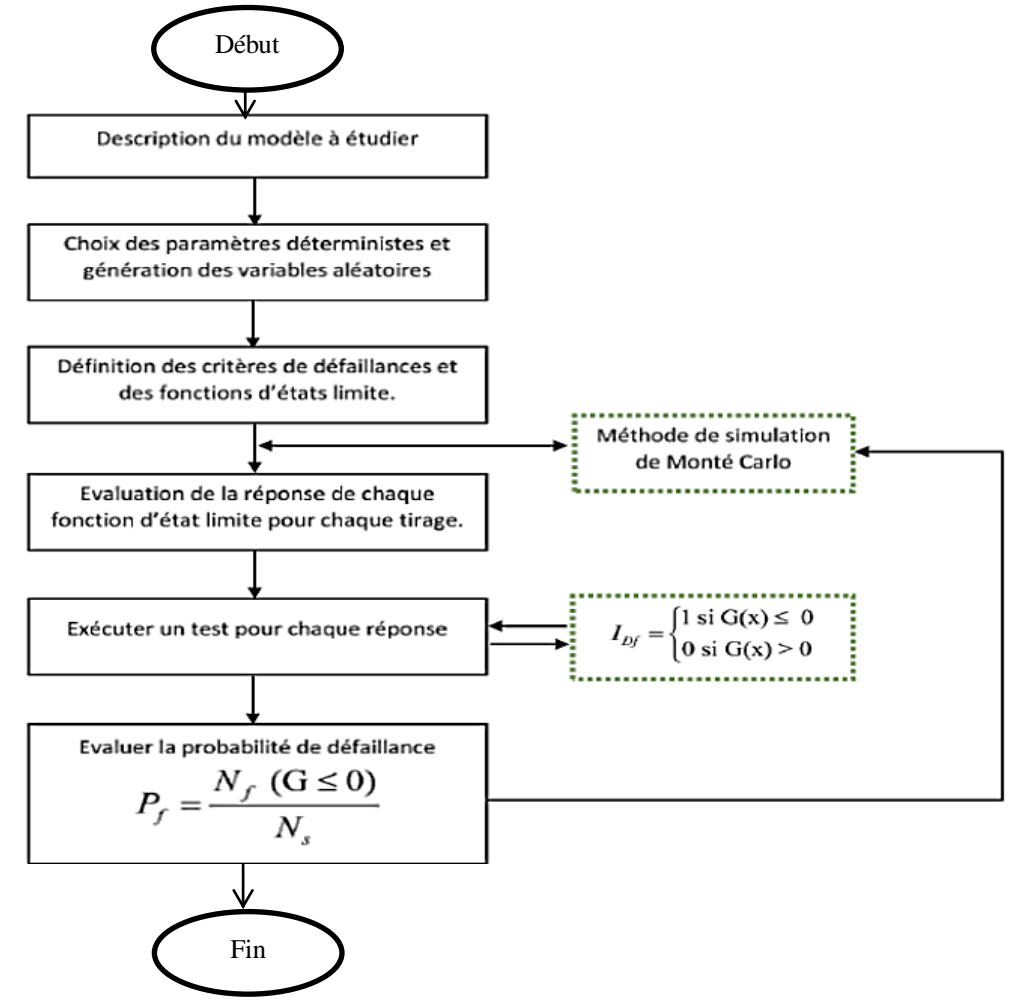
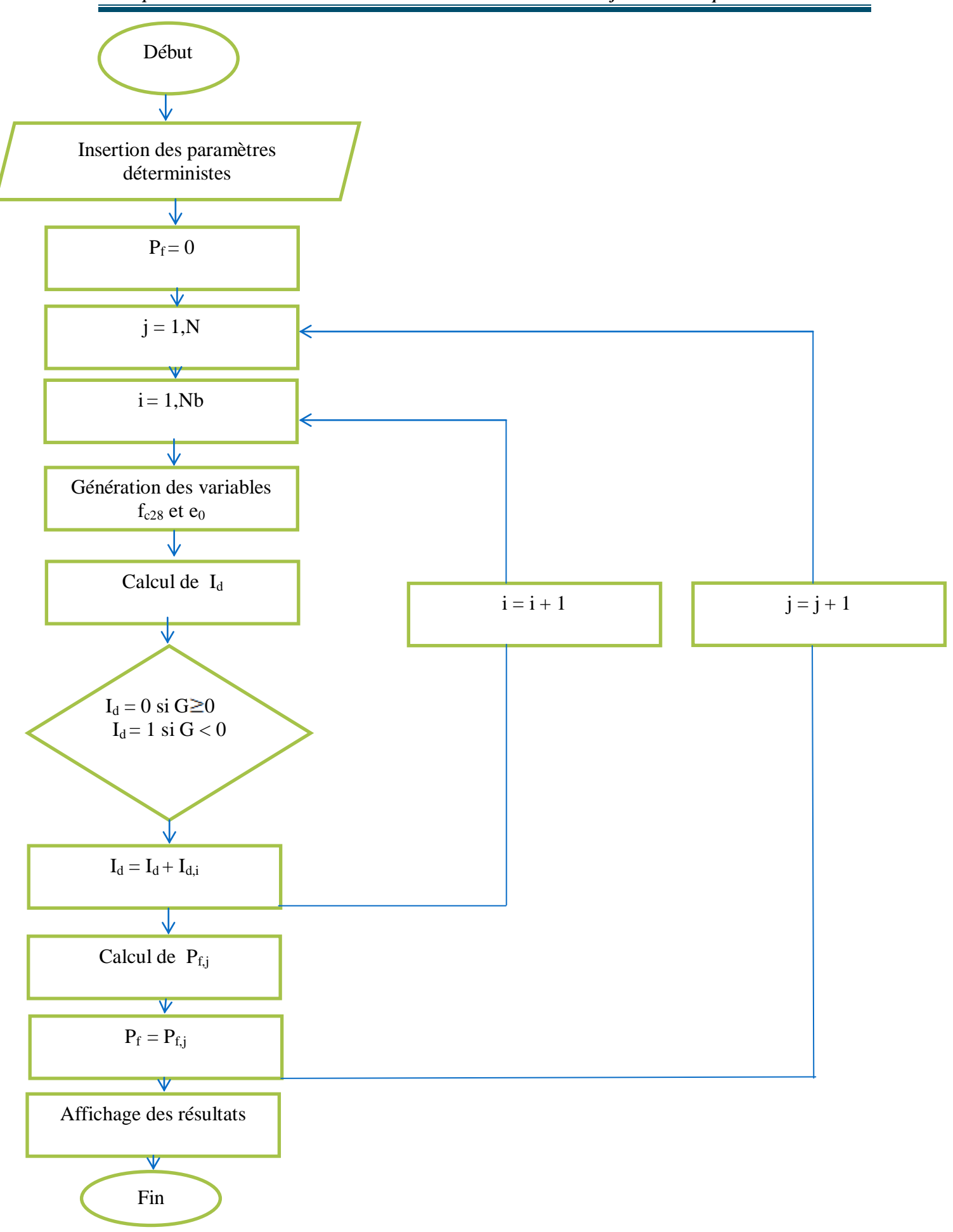
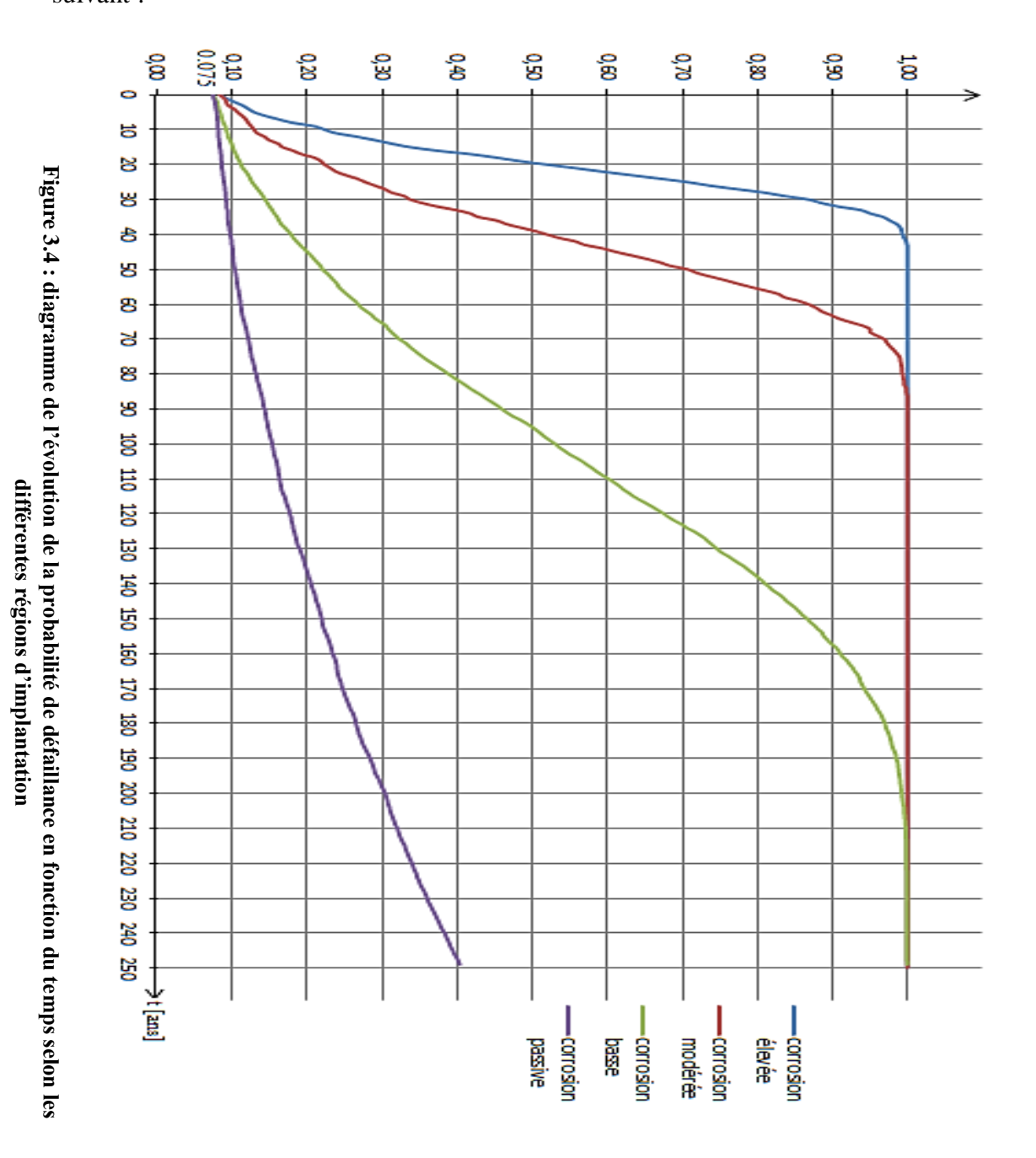


Figure 3.3 Organigramme de calcul de la probabilité de défaillance en utilisant la méthode des simulations de Monte Carlo.



La probabilité de défaillance est calculée, sous la combinaison 6 (fréquente), pour le câble le plus sollicité de la bande du fond de la paroi, en fonction du temps, pour chaque milieu d'agressivité considéré.

Les résultats obtenus sont montrés sous forme de tableaux dans l'annexe 8, et le diagramme suivant :



57

### Interprétation des résultats

Nous constatons que:

Les graphiques de la probabilité de défaillance, des différents degrés d'agressivités, commence tous avec une probabilité de défaillance Pf = 0.075 qui est supérieur à la contrainte admissible des ouvrages génie civil Pf = 0.001. Cela est dû au fait de ne pas avoir pris en considération le temps d'initiation, de la corrosion, dans les calculs de la probabilité de défaillance.

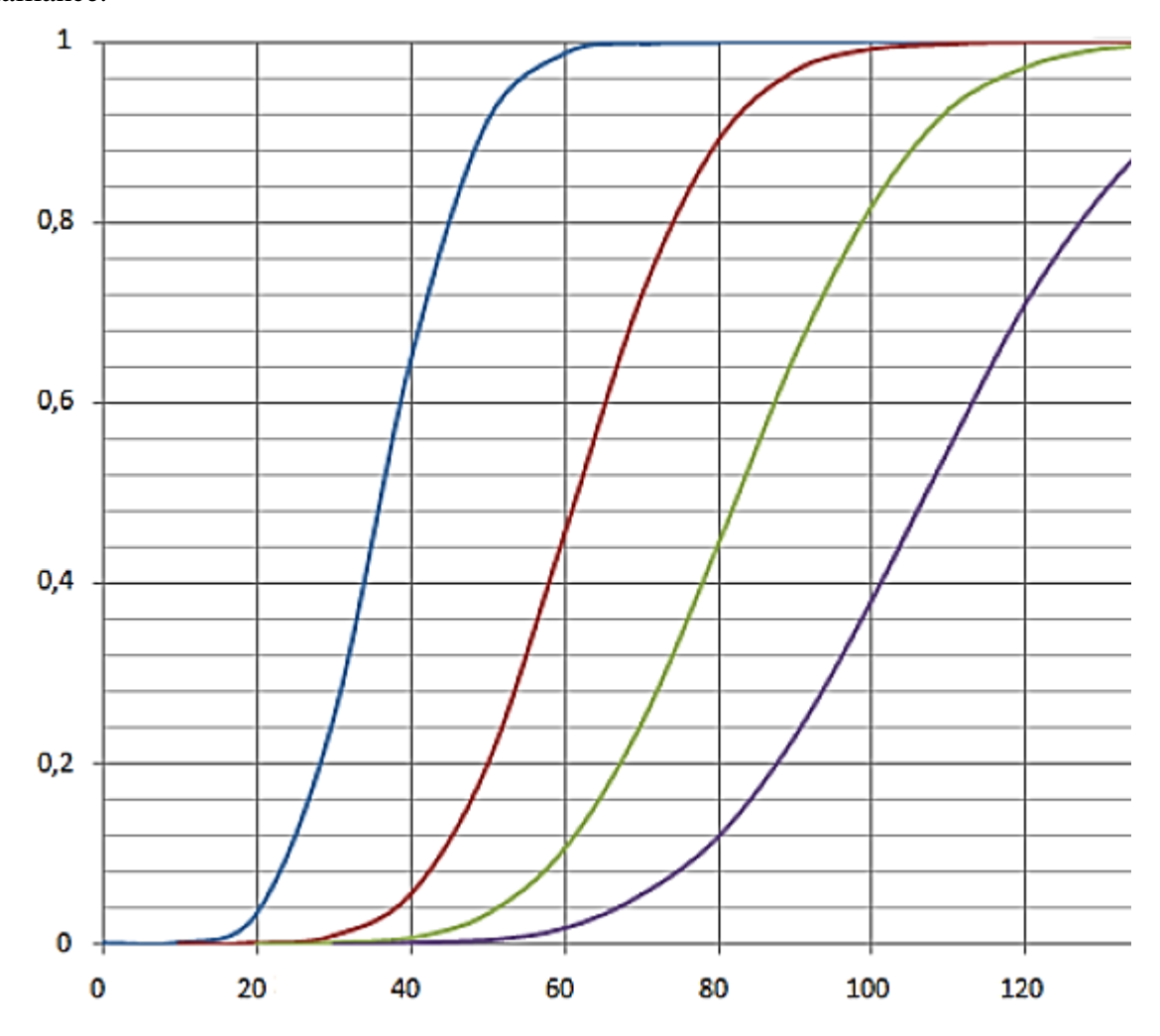


Figure 3.5 : diagramme de la probabilité de défaillance en fonction du temps, en prenant considération le temps d'initiation à la corrosion

Dans la phase de propagation (car on n'a pas pris en considération le temps d'initiation), La probabilité de défaillance évolue dans le temps avec un rythme différent d'une région à une autre comme on le remarque dans la figure 3.4; le réservoir atteint la ruine totale à la :  $43^{\text{\'e}me}$  année dans la zone la plus agressive (corrosion élevée) ;

81<sup>éme</sup> année dans la zone moyennement agressive (corrosion modérée);

204<sup>éme</sup> année dans la zone à faible agressivité (corrosion faible).

Pour la zone à corrosion négligeable, on remarque que la ruine n'est pas encore atteinte au bout 250 ans.

### 3.6. Comparaison des résultats du calcul déterministe et fiabiliste

La comparaison des résultats ne peut pas se faire, car si on se filler aux résultats de la fiabilité le réservoir est défaillant à la mise en service du l'ouvrage.

Mais, nous avons eu l'idée de faire la comparaison présentée en tableau 3-3.

Tableau 3-3

| degré de corrosion | ruine de l'ouvrage (calcul déterministe) [ans] | ruine de l'ouvrage Pf=1 [ans] |
|--------------------|--|-------------------------------|
| corrosion passive  | 242,00   | plus de 250                   |
| corrosion faible   | 75,00  | 204,00                        |
| corrosion modérée  | 31,00  | 81,00                         |
| corrosion élevée   | 17,00  | 43,00                         |

#### 3.7. Conclusion

L'étude fiabiliste de notre ouvrage ( $f_{c28}$  et  $e_0$  comme paramètres incertains), nous a permis de connaître la probabilité de défaillance (critère de ruine) pour les différents degrés des zones d'implantations ; elle permet aussi d'émettre un constat sure les zones d'implantations les plus avantageuses, qui se trouve être :

Zone à corrosion négligeable;

Zone à faible corrosion.

# Conclusion générale

Pour l'étude d'une paroi d'un réservoir en béton précontraint posé au sol, deux méthodes ont été utilisées dans le cadre de ce projet de fin d'étude, une méthode déterministe et une méthode fiabiliste.

La méthode déterministe, a permis de :

Calculer les différentes sollicitations agissant sur la paroi ;

Choisir les armatures nécessaires, aciers passifs (barres à haute adhérence) ou actifs (câbles de précontraintes) pour éliminer les efforts de traction ;

Voir l'évolution de la section d'un câble dans le temps sous l'effet de la corrosion, nous avons considérés l'effet de l'agressivité des différentes zone d'implantations ;

Connaitre l'âge de notre ouvrage dans les différentes zones d'implantations.

La méthode fiabiliste nous a montré que :

Ce type de structure ne convient pas à la zone à forte corrosion.

## LES ANNEXES

| bande | N° du<br>câble | a    | X    | Contrainte<br>[MPa] | effort<br>normal [kg] | moment [kg.m] | contrainte du béton<br>moyenne [MPa] | perte moyenne<br>[MPa] | tension après perte par non<br>simultanéité [MPa] |
|-------|----------------|------|------|---------------------|-----------------------|---------------|--------------------------------------|------------------------|---|
|       |                | 0,00 | 0,00 | 1296,77             | 136160,89             | 5446,44       | 9,01                                 | 0,00                   | 1296,77   |
|       |                | 0,10 | 1,26 | 1328,22             | 139463,22             | 5578,53       | 9,23                                 | 0,00                   | 1328,22   |
|       |                | 0,21 | 2,51 | 1359,01             | 142695,75             | 5707,83       | 9,44                                 | 0,00                   | 1359,01   |
|       | 1,00           | 0,31 | 3,77 | 1389,14             | 145859,96             | 5834,40       | 9,65                                 | 0,00                   | 1389,14   |
|       |                | 0,33 | 3,94 | 1392,39             | 146200,44             | 5848,02       | 9,68                                 | 0,00                   | 1392,39   |
|       |                | 0,42 | 5,03 | 1366,13             | 143443,61             | 5737,74       | 9,49                                 | 0,00                   | 1366,13   |
|       |                | 0,52 | 6,28 | 1337,25             | 140411,74             | 5616,47       | 9,29                                 | 0,00                   | 1337,25   |
|       |                | 0,00 | 0,00 | 1296,77             | 136160,89             | 5446,44       | 8,51                                 | 21,22                  | 1275,55   |
|       |                | 0,10 | 1,26 | 1328,22             | 139463,22             | 5578,53       | 8,72                                 | 21,74                  | 1306,48   |
|       |                | 0,21 | 2,51 | 1359,01             | 142695,75             | 5707,83       | 8,92                                 | 22,24                  | 1336,77   |
| 1,00  | 2,00           | 0,31 | 3,77 | 1389,14             | 145859,96             | 5834,40       | 9,12                                 | 22,73                  | 1366,41   |
|       |                | 0,33 | 3,94 | 1392,39             | 146200,44             | 5848,02       | 9,14                                 | 22,79                  | 1369,60   |
|       |                | 0,42 | 5,03 | 1366,13             | 143443,61             | 5737,74       | 8,97                                 | 22,36                  | 1343,77   |
|       |                | 0,52 | 6,28 | 1337,25             | 140411,74             | 5616,47       | 8,78                                 | 21,88                  | 1315,37   |
|       |                | 0,00 | 0,00 | 1296,77             | 136160,89             | 5446,44       | 8,01                                 | 19,97                  | 1255,57   |
|       |                | 0,10 | 1,26 | 1328,22             | 139463,22             | 5578,53       | 8,20                                 | 20,46                  | 1286,03   |
|       |                | 0,21 | 2,51 | 1359,01             | 142695,75             | 5707,83       | 8,39                                 | 20,93                  | 1315,83   |
|       | 3,00           | 0,31 | 3,77 | 1389,14             | 145859,96             | 5834,40       | 8,58                                 | 21,40                  | 1345,01   |
|       |                | 0,33 | 3,94 | 1392,39             | 146200,44             | 5848,02       | 8,60                                 | 21,45                  | 1348,15   |
|       |                | 0,42 | 5,03 | 1366,13             | 143443,61             | 5737,74       | 8,44                                 | 21,04                  | 1322,73   |
|       |                | 0,52 | 6,28 | 1337,25             | 140411,74             | 5616,47       | 8,26                                 | 20,60                  | 1294,77   |
|       |                | 0,00 | 0,00 | 1296,77             | 136160,89             | 5446,44       | 7,51                                 | 18,73                  | 1236,85   |
|       |                | 0,10 | 1,26 | 1328,22             | 139463,22             | 5578,53       | 7,69                                 | 19,18                  | 1266,85   |
| 2,00  | 4,00           | 0,21 | 2,51 | 1359,01             | 142695,75             | 5707,83       | 7,87                                 | 19,62                  | 1296,21   |
|       |                | 0,31 | 3,77 | 1389,14             | 145859,96             | 5834,40       | 8,04                                 | 20,06                  | 1324,95   |
|       |                | 0,33 | 3,94 | 1392,39             | 146200,44             | 5848,02       | 8,06                                 | 20,11                  | 1328,05   |

|      |      | 0,42   | 5,03 | 1366,13 | 143443,61 | 5737,74 | 7,91 | 19,73 | 1303,00 |
|------|------|--------|------|---------|-----------|---------|------|-------|---------|
|      |      |        | 6,28 | 1337,25 | 140411,74 | 5616,47 | 7,74 | 19,31 | 1275,46 |
|      |      | 0,00   |      | 1296,77 | 136160,89 | 5446,44 | 7,01 | 17,48 | 1219,37 |
|      |      |        | 1,26 | 1328,22 | 139463,22 | 5578,53 | 7,18 | 17,90 | 1248,95 |
|      |      |        | 2,51 | 1359,01 | 142695,75 | 5707,83 | 7,35 | 18,32 | 1277,89 |
|      | 5,00 | 0,31 3 | 3,77 | 1389,14 | 145859,96 | 5834,40 | 7,51 | 18,72 | 1306,23 |
|      |      | 0,33   | 3,94 | 1392,39 | 146200,44 | 5848,02 | 7,53 | 18,77 | 1309,28 |
|      |      | 0,42   | 5,03 | 1366,13 | 143443,61 | 5737,74 | 7,38 | 18,41 | 1284,59 |
|      |      | 0,52   | 6,28 | 1337,25 | 140411,74 | 5616,47 | 7,23 | 18,02 | 1257,44 |
|      |      | 0,00   | 0,00 | 1296,77 | 136160,89 | 5446,44 | 6,51 | 16,23 | 1224,37 |
|      |      | 0,10   | 1,26 | 1328,22 | 139463,22 | 5578,53 | 6,67 | 16,62 | 1254,06 |
|      |      | 0,21   | 2,51 | 1359,01 | 142695,75 | 5707,83 | 6,82 | 17,01 | 1283,13 |
|      | 6,00 | 0,31 3 | 3,77 | 1389,14 | 145859,96 | 5834,40 | 6,97 | 17,38 | 1311,58 |
|      |      | 0,33   | 3,94 | 1392,39 | 146200,44 | 5848,02 | 6,99 | 17,43 | 1314,64 |
|      |      | 0,42   | 5,03 | 1366,13 | 143443,61 | 5737,74 | 6,86 | 17,10 | 1289,85 |
|      |      | 0,52   | 6,28 | 1337,25 | 140411,74 | 5616,47 | 6,71 | 16,74 | 1262,59 |
|      |      | 0,00   | 0,00 | 1296,77 | 136160,89 | 5446,44 | 6,01 | 14,98 | 1208,14 |
|      |      | 0,10   | 1,26 | 1328,22 | 139463,22 | 5578,53 | 6,15 | 15,34 | 1237,44 |
|      |      | 0,21   | 2,51 | 1359,01 | 142695,75 | 5707,83 | 6,30 | 15,70 | 1266,12 |
|      | 7,00 | 0,31   | 3,77 | 1389,14 | 145859,96 | 5834,40 | 6,44 | 16,05 | 1294,20 |
|      |      | 0,33   | 3,94 | 1392,39 | 146200,44 | 5848,02 | 6,45 | 16,08 | 1297,22 |
| 3,00 |      | 0,42   | 5,03 | 1366,13 | 143443,61 | 5737,74 | 6,33 | 15,78 | 1272,76 |
| 3,00 |      | 0,52   | 6,28 | 1337,25 | 140411,74 | 5616,47 | 6,20 | 15,45 | 1245,85 |
|      |      | 0,00   | 0,00 | 1296,77 | 136160,89 | 5446,44 | 5,51 | 13,73 | 1193,16 |
|      |      | 0,10   | 1,26 | 1328,22 | 139463,22 | 5578,53 | 5,64 | 14,06 | 1222,10 |
|      | 8,00 |        | 2,51 | 1359,01 | 142695,75 | 5707,83 | 5,77 | 14,39 | 1250,42 |
|      |      | 0,31   | 3,77 | 1389,14 | 145859,96 | 5834,40 | 5,90 | 14,71 | 1278,15 |
|      |      | 0,33   | 3,94 | 1392,39 | 146200,44 | 5848,02 | 5,91 | 14,74 | 1281,13 |

|      |       | 0,42 | 5,03 | 1366,13 | 143443,61 | 5737,74 | 5,80 | 14,47 | 1256,97 |
|------|-------|------|------|---------|-----------|---------|------|-------|---------|
|      |       | 0,52 | 6,28 | 1337,25 | 140411,74 | 5616,47 | 5,68 | 14,16 | 1230,41 |
|      |       | 0,00 | 0,00 | 1296,77 | 136160,89 | 5446,44 | 5,01 | 12,48 | 1179,43 |
|      |       | 0,10 | 1,26 | 1328,22 | 139463,22 | 5578,53 | 5,13 | 12,79 | 1208,03 |
|      |       | 0,21 | 2,51 | 1359,01 | 142695,75 | 5707,83 | 5,25 | 13,08 | 1236,03 |
|      | 9,00  | 0,31 | 3,77 | 1389,14 | 145859,96 | 5834,40 | 5,36 | 13,37 | 1263,44 |
|      |       | 0,33 | 3,94 | 1392,39 | 146200,44 | 5848,02 | 5,38 | 13,40 | 1266,39 |
|      |       | 0,42 | 5,03 | 1366,13 | 143443,61 | 5737,74 | 5,27 | 13,15 | 1242,51 |
|      |       | 0,52 | 6,28 | 1337,25 | 140411,74 | 5616,47 | 5,16 | 12,87 | 1216,25 |
|      |       | 0,00 | 0,00 | 1296,77 | 136160,89 | 5446,44 | 4,51 | 11,24 | 1166,94 |
|      |       | 0,10 | 1,26 | 1328,22 | 139463,22 | 5578,53 | 4,61 | 11,51 | 1195,24 |
|      |       | 0,21 | 2,51 | 1359,01 | 142695,75 | 5707,83 | 4,72 | 11,77 | 1222,95 |
|      | 10,00 | 0,31 | 3,77 | 1389,14 | 145859,96 | 5834,40 | 4,83 | 12,04 | 1250,07 |
|      |       | 0,33 | 3,94 | 1392,39 | 146200,44 | 5848,02 | 4,84 | 12,06 | 1252,98 |
|      |       | 0,42 | 5,03 | 1366,13 | 143443,61 | 5737,74 | 4,75 | 11,84 | 1229,36 |
|      |       | 0,52 | 6,28 | 1337,25 | 140411,74 | 5616,47 | 4,65 | 11,59 | 1203,37 |
|      |       | 0,00 | 0,00 | 1296,77 | 136160,89 | 5446,44 | 4,01 | 9,99  | 1155,71 |
|      |       | 0,10 | 1,26 | 1328,22 | 139463,22 | 5578,53 | 4,10 | 10,23 | 1183,74 |
| 4,00 |       | 0,21 | 2,51 | 1359,01 | 142695,75 | 5707,83 | 4,20 | 10,47 | 1211,17 |
|      | 11,00 | 0,31 | 3,77 | 1389,14 | 145859,96 | 5834,40 | 4,29 | 10,70 | 1238,03 |
|      |       | 0,33 | 3,94 | 1392,39 | 146200,44 | 5848,02 | 4,30 | 10,72 | 1240,92 |
|      |       |      | 5,03 | 1366,13 | 143443,61 | 5737,74 | 4,22 | 10,52 | 1217,52 |
|      |       | 0,52 | 6,28 | 1337,25 | 140411,74 | 5616,47 | 4,13 | 10,30 | 1191,79 |
|      |       | 0,00 | 0,00 | 1296,77 | 136160,89 | 5446,44 | 3,50 | 8,74  | 1145,72 |
|      |       | 0,10 | 1,26 | 1328,22 | 139463,22 | 5578,53 | 3,59 | 8,95  | 1173,51 |
|      | 12,00 | 0,21 | 2,51 | 1359,01 | 142695,75 | 5707,83 | 3,67 | 9,16  | 1200,71 |
|      |       |      |      | 1389,14 | 145859,96 | 5834,40 | 3,75 | 9,36  | 1227,33 |
|      |       | 0,33 | 3,94 | 1392,39 | 146200,44 | 5848,02 | 3,76 | 9,38  | 1230,20 |

|      |       | 0,42 | 5,03 | 1366,13 | 143443,61 | 5737,74 | 3,69 | 9,21 | 1207,00 |
|------|-------|------|------|---------|-----------|---------|------|------|---------|
|      |       | 0,52 | 6,28 | 1337,25 | 140411,74 | 5616,47 | 3,61 | 9,01 | 1181,49 |
|      |       | 0,00 | 0,00 | 1296,77 | 136160,89 | 5446,44 | 3,00 | 7,49 | 1136,98 |
|      |       | 0,10 | 1,26 | 1328,22 | 139463,22 | 5578,53 | 3,08 | 7,67 | 1164,56 |
|      |       | 0,21 | 2,51 | 1359,01 | 142695,75 | 5707,83 | 3,15 | 7,85 | 1191,55 |
|      | 13,00 | 0,31 | 3,77 | 1389,14 | 145859,96 | 5834,40 | 3,22 | 8,02 | 1217,97 |
|      |       | 0,33 | 3,94 | 1392,39 | 146200,44 | 5848,02 | 3,23 | 8,04 | 1220,81 |
|      |       | 0,42 | 5,03 | 1366,13 | 143443,61 | 5737,74 | 3,16 | 7,89 | 1197,79 |
|      |       | 0,52 | 6,28 | 1337,25 | 140411,74 | 5616,47 | 3,10 | 7,72 | 1172,48 |
|      |       | 0,00 | 0,00 | 1296,77 | 136160,89 | 5446,44 | 2,50 | 6,24 | 1129,49 |
|      |       | 0,10 | 1,26 | 1328,22 | 139463,22 | 5578,53 | 2,56 | 6,39 | 1156,89 |
|      |       | 0,21 | 2,51 | 1359,01 | 142695,75 | 5707,83 | 2,62 | 6,54 | 1183,70 |
| 5,00 | 14,00 | 0,31 | 3,77 | 1389,14 | 145859,96 | 5834,40 | 2,68 | 6,69 | 1209,95 |
|      |       | 0,33 | 3,94 | 1392,39 | 146200,44 | 5848,02 | 2,69 | 6,70 | 1212,77 |
|      |       | 0,42 | 5,03 | 1366,13 | 143443,61 | 5737,74 | 2,64 | 6,58 | 1189,90 |
|      |       | 0,52 | 6,28 | 1337,25 | 140411,74 | 5616,47 | 2,58 | 6,44 | 1164,75 |
|      |       | 0,00 | 0,00 | 1296,77 | 136160,89 | 5446,44 | 2,00 | 4,99 | 1123,25 |
|      |       | 0,10 | 1,26 | 1328,22 | 139463,22 | 5578,53 | 2,05 | 5,11 | 1150,49 |
|      |       | 0,21 | 2,51 | 1359,01 | 142695,75 | 5707,83 | 2,10 | 5,23 | 1177,16 |
|      | 15,00 | 0,31 | 3,77 | 1389,14 | 145859,96 | 5834,40 | 2,15 | 5,35 | 1203,26 |
|      |       | 0,33 | 3,94 | 1392,39 | 146200,44 | 5848,02 | 2,15 | 5,36 | 1206,07 |
|      |       | 0,42 | 5,03 | 1366,13 | 143443,61 | 5737,74 | 2,11 | 5,26 | 1183,33 |
|      |       | 0,52 | 6,28 | 1337,25 | 140411,74 | 5616,47 | 2,07 | 5,15 | 1158,32 |
|      |       | 0,00 | 0,00 | 1296,77 | 136160,89 | 5446,44 | 1,50 | 3,75 | 1118,26 |
|      |       | 0,10 | 1,26 | 1328,22 | 139463,22 | 5578,53 | 1,54 | 3,84 | 1145,38 |
| 6,00 | 16,00 | 0,21 | 2,51 | 1359,01 | 142695,75 | 5707,83 | 1,57 | 3,92 | 1171,93 |
|      |       | 0,31 | 3,77 | 1389,14 | 145859,96 | 5834,40 | 1,61 | 4,01 | 1197,91 |
|      |       | 0,33 | 3,94 | 1392,39 | 146200,44 | 5848,02 | 1,61 | 4,02 | 1200,71 |

|       | 0,42 | 5,03 | 1366,13 | 143443,61 | 5737,74 | 1,58 | 3,95 | 1178,07 |
|-------|------|------|---------|-----------|---------|------|------|---------|
|       | 0,52 | 6,28 | 1337,25 | 140411,74 | 5616,47 | 1,55 | 3,86 | 1153,17 |
|       | 0,00 | 0,00 | 1296,77 | 136160,89 | 5446,44 | 1,00 | 2,50 | 1114,51 |
|       | 0,10 | 1,26 | 1328,22 | 139463,22 | 5578,53 | 1,03 | 2,56 | 1141,54 |
|       | 0,21 | 2,51 | 1359,01 | 142695,75 | 5707,83 | 1,05 | 2,62 | 1168,00 |
| 17,00 | 0,31 | 3,77 | 1389,14 | 145859,96 | 5834,40 | 1,07 | 2,67 | 1193,90 |
|       | 0,33 | 3,94 | 1392,39 | 146200,44 | 5848,02 | 1,08 | 2,68 | 1196,69 |
|       | 0,42 | 5,03 | 1366,13 | 143443,61 | 5737,74 | 1,05 | 2,63 | 1174,12 |
|       | 0,52 | 6,28 | 1337,25 | 140411,74 | 5616,47 | 1,03 | 2,57 | 1149,31 |
|       | 0,00 | 0,00 | 1296,77 | 136160,89 | 5446,44 | 0,50 | 1,25 | 1112,01 |
|       | 0,10 | 1,26 | 1328,22 | 139463,22 | 5578,53 | 0,51 | 1,28 | 1138,98 |
|       | 0,21 | 2,51 | 1359,01 | 142695,75 | 5707,83 | 0,52 | 1,31 | 1165,38 |
| 19.00 | 0,31 | 3,77 | 1389,14 | 145859,96 | 5834,40 | 0,54 | 1,34 | 1191,23 |
| 18,00 | 0,33 | 3,94 | 1392,39 | 146200,44 | 5848,02 | 0,54 | 1,34 | 1194,01 |
|       | 0,42 | 5,03 | 1366,13 | 143443,61 | 5737,74 | 0,53 | 1,32 | 1171,49 |
|       | 0,52 | 6,28 | 1337,25 | 140411,74 | 5616,47 | 0,52 | 1,29 | 1146,73 |

| bande | N° du<br>câble | α    | X    | tension après perte par<br>non simultanéité [MPa] | effort normal<br>[kg] | moment<br>[kg.m] | contrainte du<br>béton [MPa] | perte [MPa] | tension après perte par<br>fluage [MPa] |
|-------|----------------|------|------|---|-----------------------|------------------|------------------------------|-------------|---|
|       |                | 0,00 | 0,00 | 1296,77   | 136160,89             | 5446,44          | 0,09                         | 0,97        | 1240,98                                 |
|       |                | 0,10 | 1,26 | 1328,22   | 139463,22             | 5578,53          | 0,09                         | 1,00        | 1272,40                                 |
|       |                | 0,21 | 2,51 | 1359,01   | 142695,75             | 5707,83          | 0,10                         | 1,02        | 1303,17                                 |
|       | 1,00           | 0,31 | 3,77 | 1389,14   | 145859,96             | 5834,40          | 0,10                         | 1,04        | 1333,28                                 |
|       |                | 0,33 | 3,94 | 1392,39   | 146200,44             | 5848,02          | 0,10                         | 1,04        | 1336,52                                 |
|       |                | 0,42 | 5,03 | 1366,13   | 143443,61             | 5737,74          | 0,10                         | 1,03        | 1310,28                                 |
|       |                | 0,52 | 6,28 | 1337,25   | 140411,74             | 5616,47          | 0,10                         | 1,00        | 1281,43                                 |
|       |                | 0,00 | 0,00 | 1275,55   | 133932,58             | 5357,30          | 0,09                         | 0,96        | 1219,77                                 |
|       |                | 0,10 | 1,26 | 1306,48   | 137180,87             | 5487,23          | 0,09                         | 0,98        | 1250,68                                 |
|       |                | 0,21 | 2,51 | 1336,77   | 140360,50             | 5614,42          | 0,09                         | 1,00        | 1280,94                                 |
| 1,00  | 2,00           | 0,31 | 3,77 | 1366,41   | 143472,92             | 5738,92          | 0,10                         | 1,03        | 1310,56                                 |
|       |                | 0,33 | 3,94 | 1369,60   | 143807,84             | 5752,31          | 0,10                         | 1,03        | 1313,75                                 |
|       |                | 0,42 | 5,03 | 1343,77   | 141096,12             | 5643,84          | 0,10                         | 1,01        | 1287,94                                 |
|       |                | 0,52 | 6,28 | 1315,37   | 138113,87             | 5524,55          | 0,09                         | 0,99        | 1259,56                                 |
|       |                | 0,00 | 0,00 | 1255,57   | 131835,35             | 5273,41          | 0,09                         | 0,94        | 1199,81                                 |
|       |                | 0,10 | 1,26 | 1286,03   | 135032,78             | 5401,31          | 0,09                         | 0,97        | 1230,24                                 |
|       |                | 0,21 | 2,51 | 1315,83   | 138162,62             | 5526,50          | 0,09                         | 0,99        | 1260,03                                 |
|       | 3,00           | 0,31 | 3,77 | 1345,01   | 141226,30             | 5649,05          | 0,10                         | 1,01        | 1289,18                                 |
|       |                | 0,33 | 3,94 | 1348,15   | 141555,97             | 5662,24          | 0,10                         | 1,01        | 1292,32                                 |
|       |                | 0,42 | 5,03 | 1322,73   | 138886,72             | 5555,47          | 0,09                         | 0,99        | 1266,92                                 |
|       |                | 0,52 | 6,28 | 1294,77   | 135951,17             | 5438,05          | 0,09                         | 0,97        | 1238,98                                 |
|       |                | 0,00 | 0,00 | 1236,85   | 129869,20             | 5194,77          | 0,09                         | 0,93        | 1181,10                                 |
| 2,00  | 4,00           | 0,10 | 1,26 | 1266,85   | 133018,94             | 5320,76          | 0,09                         | 0,95        | 1211,08                                 |
| 2,00  | 4,00           | 0,21 | 2,51 | 1296,21   | 136102,10             | 5444,08          | 0,09                         | 0,97        | 1240,42                                 |
|       |                | 0,31 | 3,77 | 1324,95   | 139120,10             | 5564,80          | 0,09                         | 0,99        | 1269,14                                 |

|      |      | 0,33 | 3,94 | 1328,05 | 139444,85 | 5577,79 | 0,09 | 1,00 | 1272,23 |
|------|------|------|------|---------|-----------|---------|------|------|---------|
|      |      | 0,42 | 5,03 | 1303,00 | 136815,40 | 5472,62 | 0,09 | 0,98 | 1247,21 |
|      |      | 0,52 | 6,28 | 1275,46 | 133923,64 | 5356,95 | 0,09 | 0,96 | 1219,69 |
|      |      | 0,00 | 0,00 | 1219,37 | 128034,13 | 5121,37 | 0,09 | 0,92 | 1163,64 |
|      |      | 0,10 | 1,26 | 1248,95 | 131139,36 | 5245,57 | 0,09 | 0,94 | 1193,19 |
|      |      | 0,21 | 2,51 | 1277,89 | 134178,95 | 5367,16 | 0,09 | 0,96 | 1222,12 |
|      | 5,00 | 0,31 | 3,77 | 1306,23 | 137154,30 | 5486,17 | 0,09 | 0,98 | 1250,43 |
|      |      | 0,33 | 3,94 | 1309,28 | 137474,47 | 5498,98 | 0,09 | 0,98 | 1253,48 |
|      |      | 0,42 | 5,03 | 1284,59 | 134882,17 | 5395,29 | 0,09 | 0,96 | 1228,81 |
|      |      | 0,52 | 6,28 | 1257,44 | 132031,27 | 5281,25 | 0,09 | 0,94 | 1201,68 |
|      |      | 0,00 | 0,00 | 1224,37 | 128558,43 | 5142,34 | 0,09 | 0,92 | 1168,63 |
|      |      | 0,10 | 1,26 | 1254,06 | 131676,38 | 5267,06 | 0,09 | 0,94 | 1198,30 |
|      |      | 0,21 | 2,51 | 1283,13 | 134728,42 | 5389,14 | 0,09 | 0,96 | 1227,35 |
|      | 6,00 | 0,31 | 3,77 | 1311,58 | 137715,96 | 5508,64 | 0,09 | 0,98 | 1255,78 |
|      |      | 0,33 | 3,94 | 1314,64 | 138037,44 | 5521,50 | 0,09 | 0,99 | 1258,84 |
|      |      | 0,42 | 5,03 | 1289,85 | 135434,53 | 5417,38 | 0,09 | 0,97 | 1234,06 |
|      |      | 0,52 | 6,28 | 1262,59 | 132571,95 | 5302,88 | 0,09 | 0,95 | 1206,82 |
|      |      | 0,00 | 0,00 | 1208,14 | 126854,44 | 5074,18 | 0,09 | 0,91 | 1152,41 |
|      |      | 0,10 | 1,26 | 1237,44 | 129931,05 | 5197,24 | 0,09 | 0,93 | 1181,69 |
|      |      | 0,21 | 2,51 | 1266,12 | 132942,64 | 5317,71 | 0,09 | 0,95 | 1210,35 |
|      | 7,00 | 0,31 | 3,77 | 1294,20 | 135890,58 | 5435,62 | 0,09 | 0,97 | 1238,40 |
| 3,00 |      | 0,33 | 3,94 | 1297,22 | 136207,80 | 5448,31 | 0,09 | 0,97 | 1241,42 |
| 3,00 |      | 0,42 | 5,03 | 1272,76 | 133639,39 | 5345,58 | 0,09 | 0,96 | 1216,98 |
|      |      | 0,52 | 6,28 | 1245,85 | 130814,75 | 5232,59 | 0,09 | 0,93 | 1190,10 |
|      |      | 0,00 | 0,00 | 1193,16 | 125281,51 | 5011,26 | 0,08 | 0,90 | 1137,44 |
|      | 8,00 | 0,10 | 1,26 | 1222,10 | 128319,98 | 5132,80 | 0,09 | 0,92 | 1166,36 |
|      |      | 0,21 | 2,51 | 1250,42 | 131294,23 | 5251,77 | 0,09 | 0,94 | 1194,66 |

|      |       |      |      |         |           | 1       |      |      |         |
|------|-------|------|------|---------|-----------|---------|------|------|---------|
|      |       | 0,31 | 3,77 | 1278,15 | 134205,62 | 5368,22 | 0,09 | 0,96 | 1222,37 |
|      |       | 0,33 | 3,94 | 1281,13 | 134518,90 | 5380,76 | 0,09 | 0,96 | 1225,35 |
|      |       | 0,42 | 5,03 | 1256,97 | 131982,34 | 5279,29 | 0,09 | 0,94 | 1201,21 |
|      |       | 0,52 | 6,28 | 1230,41 | 129192,72 | 5167,71 | 0,09 | 0,92 | 1174,66 |
|      |       | 0,00 | 0,00 | 1179,43 | 123839,67 | 4953,59 | 0,08 | 0,89 | 1123,72 |
|      |       | 0,10 | 1,26 | 1208,03 | 126843,17 | 5073,73 | 0,09 | 0,91 | 1152,30 |
|      |       | 0,21 | 2,51 | 1236,03 | 129783,19 | 5191,33 | 0,09 | 0,93 | 1180,28 |
|      | 9,00  | 0,31 | 3,77 | 1263,44 | 132661,07 | 5306,44 | 0,09 | 0,95 | 1207,67 |
|      | ,     | 0,33 | 3,94 | 1266,39 | 132970,74 | 5318,83 | 0,09 | 0,95 | 1210,62 |
|      |       | 0,42 | 5,03 | 1242,51 | 130463,37 | 5218,53 | 0,09 | 0,93 | 1186,76 |
|      |       | 0,52 | 6,28 | 1216,25 | 127705,86 | 5108,23 | 0,09 | 0,91 | 1160,51 |
|      |       | 0,00 | 0,00 | 1166,94 | 122528,90 | 4901,16 | 0,08 | 0,88 | 1111,25 |
|      |       | 0,10 | 1,26 | 1195,24 | 125500,61 | 5020,02 | 0,08 | 0,90 | 1139,53 |
|      |       | 0,21 | 2,51 | 1222,95 | 128409,51 | 5136,38 | 0,09 | 0,92 | 1167,21 |
|      | 10,00 | 0,31 | 3,77 | 1250,07 | 131256,93 | 5250,28 | 0,09 | 0,94 | 1194,31 |
|      |       | 0,33 | 3,94 | 1252,98 | 131563,33 | 5262,53 | 0,09 | 0,94 | 1197,22 |
|      |       | 0,42 | 5,03 | 1229,36 | 129082,50 | 5163,30 | 0,09 | 0,92 | 1173,61 |
|      |       | 0,52 | 6,28 | 1203,37 | 126354,17 | 5054,17 | 0,09 | 0,90 | 1147,65 |
| 4.00 |       | 0,00 | 0,00 | 1155,71 | 121349,21 | 4853,97 | 0,08 | 0,87 | 1100,02 |
| 4,00 |       | 0,10 | 1,26 | 1183,74 | 124292,31 | 4971,69 | 0,08 | 0,89 | 1128,03 |
|      |       | 0,21 | 2,51 | 1211,17 | 127173,20 | 5086,93 | 0,09 | 0,91 | 1155,44 |
|      | 11,00 | 0,31 | 3,77 | 1238,03 | 129993,20 | 5199,73 | 0,09 | 0,93 | 1182,28 |
|      |       | 0,33 | 3,94 | 1240,92 | 130296,65 | 5211,87 | 0,09 | 0,93 | 1185,17 |
|      |       | 0,42 | 5,03 | 1217,52 | 127839,71 | 5113,59 | 0,09 | 0,91 | 1161,79 |
|      |       | 0,52 | 6,28 | 1191,79 | 125137,65 | 5005,51 | 0,08 | 0,89 | 1136,07 |
|      | 12.00 | 0,00 | 0,00 | 1145,72 | 120300,59 | 4812,02 | 0,08 | 0,86 | 1090,04 |
|      | 12.00 | 0,10 | 1,26 | 1173,51 | 123218,26 | 4928,73 | 0,08 | 0,88 | 1117,81 |

|      |       | 0,21 | 2,51 | 1200,71 | 126074,26 | 5042,97 | 0,09 | 0,90 | 1144,99 |
|------|-------|------|------|---------|-----------|---------|------|------|---------|
|      |       | 0,31 | 3,77 | 1227,33 | 128869,89 | 5154,80 | 0,09 | 0,92 | 1171,59 |
|      |       | 0,33 | 3,94 | 1230,20 | 129170,72 | 5166,83 | 0,09 | 0,92 | 1174,45 |
|      |       | 0,42 | 5,03 | 1207,00 | 126735,01 | 5069,40 | 0,09 | 0,91 | 1151,27 |
|      |       | 0,52 | 6,28 | 1181,49 | 124056,30 | 4962,25 | 0,08 | 0,89 | 1125,78 |
|      |       | 0,00 | 0,00 | 1136,98 | 119383,06 | 4775,32 | 0,08 | 0,85 | 1081,31 |
|      |       | 0,10 | 1,26 | 1164,56 | 122278,47 | 4891,14 | 0,08 | 0,87 | 1108,86 |
|      |       | 0,21 | 2,51 | 1191,55 | 125112,69 | 5004,51 | 0,08 | 0,89 | 1135,84 |
|      | 13,00 | 0,31 | 3,77 | 1217,97 | 127887,00 | 5115,48 | 0,09 | 0,91 | 1162,24 |
|      |       | 0,33 | 3,94 | 1220,81 | 128185,53 | 5127,42 | 0,09 | 0,92 | 1165,08 |
|      |       | 0,42 | 5,03 | 1197,79 | 125768,39 | 5030,74 | 0,09 | 0,90 | 1142,08 |
|      |       | 0,52 | 6,28 | 1172,48 | 123110,12 | 4924,40 | 0,08 | 0,88 | 1116,78 |
|      |       | 0,00 | 0,00 | 1129,49 | 118596,60 | 4743,86 | 0,08 | 0,85 | 1073,82 |
|      |       | 0,10 | 1,26 | 1156,89 | 121472,94 | 4858,92 | 0,08 | 0,87 | 1101,20 |
|      |       | 0,21 | 2,51 | 1183,70 | 124288,48 | 4971,54 | 0,08 | 0,89 | 1127,99 |
| 5.00 | 14,00 | 0,31 | 3,77 | 1209,95 | 127044,52 | 5081,78 | 0,09 | 0,91 | 1154,22 |
| 5,00 |       | 0,33 | 3,94 | 1212,77 | 127341,08 | 5093,64 | 0,09 | 0,91 | 1157,04 |
|      |       | 0,42 | 5,03 | 1189,90 | 124939,87 | 4997,59 | 0,08 | 0,89 | 1134,19 |
|      |       | 0,52 | 6,28 | 1164,75 | 122299,11 | 4891,96 | 0,08 | 0,87 | 1109,06 |
|      |       | 0,00 | 0,00 | 1123,25 | 117941,21 | 4717,65 | 0,08 | 0,84 | 1067,59 |
|      |       | 0,10 | 1,26 | 1150,49 | 120801,66 | 4832,07 | 0,08 | 0,86 | 1094,81 |
|      |       | 0,21 | 2,51 | 1177,16 | 123601,64 | 4944,07 | 0,08 | 0,88 | 1121,46 |
|      | 15,00 | 0,31 | 3,77 | 1203,26 | 126342,45 | 5053,70 | 0,09 | 0,90 | 1147,54 |
|      | 13,00 | 0,33 | 3,94 | 1206,07 | 126637,38 | 5065,50 | 0,09 | 0,91 | 1150,35 |
|      |       | 0,42 | 5,03 | 1183,33 | 124249,43 | 4969,98 | 0,08 | 0,89 | 1127,62 |
|      |       | 0,52 | 6,28 | 1158,32 | 121623,26 | 4864,93 | 0,08 | 0,87 | 1102,63 |

|      |       | 0,00 | 0,00 | 1118,26 | 117416,91 | 4696,68 | 0,08 | 0,84 | 1062,60 |
|------|-------|------|------|---------|-----------|---------|------|------|---------|
|      |       | 0,10 | 1,26 | 1145,38 | 120264,63 | 4810,59 | 0,08 | 0,86 | 1089,70 |
|      |       | 0,21 | 2,51 | 1171,93 | 123052,17 | 4922,09 | 0,08 | 0,88 | 1116,23 |
|      | 16,00 | 0,31 | 3,77 | 1197,91 | 125780,79 | 5031,23 | 0,09 | 0,90 | 1142,19 |
|      |       | 0,33 | 3,94 | 1200,71 | 126074,41 | 5042,98 | 0,09 | 0,90 | 1144,99 |
|      |       | 0,42 | 5,03 | 1178,07 | 123697,08 | 4947,88 | 0,08 | 0,88 | 1122,36 |
|      |       | 0,52 | 6,28 | 1153,17 | 121082,59 | 4843,30 | 0,08 | 0,87 | 1097,48 |
|      |       | 0,00 | 0,00 | 1114,51 | 117023,67 | 4680,95 | 0,08 | 0,84 | 1058,85 |
|      |       | 0,10 | 1,26 | 1141,54 | 119861,87 | 4794,47 | 0,08 | 0,86 | 1085,87 |
|      |       | 0,21 | 2,51 | 1168,00 | 122640,07 | 4905,60 | 0,08 | 0,88 | 1112,30 |
| 6,00 | 17,00 | 0,31 | 3,77 | 1193,90 | 125359,55 | 5014,38 | 0,08 | 0,90 | 1138,18 |
|      |       | 0,33 | 3,94 | 1196,69 | 125652,19 | 5026,09 | 0,09 | 0,90 | 1140,97 |
|      |       | 0,42 | 5,03 | 1174,12 | 123282,82 | 4931,31 | 0,08 | 0,88 | 1118,42 |
|      |       | 0,52 | 6,28 | 1149,31 | 120677,08 | 4827,08 | 0,08 | 0,86 | 1093,62 |
|      |       | 0,00 | 0,00 | 1112,01 | 116761,52 | 4670,46 | 0,08 | 0,83 | 1056,36 |
|      |       | 0,10 | 1,26 | 1138,98 | 119593,35 | 4783,73 | 0,08 | 0,85 | 1083,31 |
|      |       | 0,21 | 2,51 | 1165,38 | 122365,33 | 4894,61 | 0,08 | 0,87 | 1109,69 |
|      | 18,00 | 0,31 | 3,77 | 1191,23 | 125078,72 | 5003,15 | 0,08 | 0,89 | 1135,51 |
|      |       | 0,33 | 3,94 | 1194,01 | 125370,70 | 5014,83 | 0,08 | 0,90 | 1138,29 |
|      |       | 0,42 | 5,03 | 1171,49 | 123006,64 | 4920,27 | 0,08 | 0,88 | 1115,79 |
|      |       | 0,52 | 6,28 | 1146,73 | 120406,74 | 4816,27 | 0,08 | 0,86 | 1091,05 |

| bande | N° du<br>cable | α    | X    | tension après perte par<br>fluage [MPa] | perte [MPa] | tension après toutes<br>pértes [MPa] | Pourcentage de pertes par rapport à la tension initiale |
|-------|----------------|------|------|---|-------------|--------------------------------------|---|
|       |                | 0,00 | 0,00 | 1240,98                                 | 44,15       | 1204,18                              | 0,19  |
|       |                | 0,10 | 1,26 | 1272,40                                 | 48,50       | 1231,99                              | 0,17  |
|       |                | 0,21 | 2,51 | 1303,17                                 | 52,90       | 1259,08                              | 0,15  |
|       | 1,00           | 0,31 | 3,77 | 1333,28                                 | 57,36       | 1285,48                              | 0,14  |
|       |                | 0,33 | 3,94 | 1336,52                                 | 57,85       | 1288,31                              | 0,13  |
|       |                | 0,42 | 5,03 | 1310,28                                 | 53,94       | 1265,33                              | 0,15  |
|       |                | 0,52 | 6,28 | 1281,43                                 | 49,77       | 1239,95                              | 0,17  |
|       |                | 0,00 | 0,00 | 1219,77                                 | 41,31       | 1185,34                              | 0,20  |
|       |                | 0,10 | 1,26 | 1250,68                                 | 45,48       | 1212,79                              | 0,18  |
|       |                | 0,21 | 2,51 | 1280,94                                 | 49,70       | 1239,52                              | 0,17  |
| 1,00  | 2,00           | 0,31 | 3,77 | 1310,56                                 | 53,98       | 1265,58                              | 0,15  |
|       |                | 0,33 | 3,94 | 1313,75                                 | 54,45       | 1268,37                              | 0,15  |
|       |                | 0,42 | 5,03 | 1287,94                                 | 50,70       | 1245,69                              | 0,16  |
|       |                | 0,52 | 6,28 | 1259,56                                 | 46,70       | 1220,65                              | 0,18  |
|       |                | 0,00 | 0,00 | 1199,81                                 | 38,70       | 1167,56                              | 0,22  |
|       |                | 0,10 | 1,26 | 1230,24                                 | 42,71       | 1194,65                              | 0,20  |
|       |                | 0,21 | 2,51 | 1260,03                                 | 46,77       | 1221,06                              | 0,18  |
|       | 3,00           | 0,31 | 3,77 | 1289,18                                 | 50,88       | 1246,78                              | 0,16  |
|       |                | 0,33 | 3,94 | 1292,32                                 | 51,33       | 1249,55                              | 0,16  |
|       |                | 0,42 | 5,03 | 1266,92                                 | 47,73       | 1227,15                              | 0,18  |
|       |                | 0,52 | 6,28 | 1238,98                                 | 43,88       | 1202,41                              | 0,19  |
|       |                | 0,00 | 0,00 | 1181,10                                 | 36,32       | 1150,84                              | 0,23  |
|       |                | 0,10 | 1,26 | 1211,08                                 | 40,17       | 1177,60                              | 0,21  |
| 2,00  | 4,00           | 0,21 | 2,51 | 1240,42                                 | 44,08       | 1203,69                              | 0,19  |
|       |                | 0,31 | 3,77 | 1269,14                                 | 48,04       | 1229,11                              | 0,17  |
|       |                | 0,33 | 3,94 | 1272,23                                 | 48,47       | 1231,84                              | 0,17  |

|      |      | 0,42 | 5,03 | 1247,21 | 45,00 | 1209,71 | 0,19 |
|------|------|------|------|---------|-------|---------|------|
|      |      | 0,52 | 6,28 | 1219,69 | 41,30 | 1185,27 | 0,20 |
|      |      | 0,00 | 0,00 | 1163,64 | 34,14 | 1135,19 | 0,24 |
|      |      | 0,10 | 1,26 | 1193,19 | 37,85 | 1161,64 | 0,22 |
|      |      | 0,21 | 2,51 | 1222,12 | 41,62 | 1187,43 | 0,20 |
|      | 5,00 | 0,31 | 3,77 | 1250,43 | 45,44 | 1212,56 | 0,19 |
|      |      | 0,33 | 3,94 | 1253,48 | 45,86 | 1215,26 | 0,18 |
|      |      | 0,42 | 5,03 | 1228,81 | 42,51 | 1193,38 | 0,20 |
|      |      | 0,52 | 6,28 | 1201,68 | 38,95 | 1169,22 | 0,21 |
|      |      | 0,00 | 0,00 | 1168,63 | 34,76 | 1139,66 | 0,23 |
|      |      | 0,10 | 1,26 | 1198,30 | 38,51 | 1166,21 | 0,22 |
|      |      | 0,21 | 2,51 | 1227,35 | 42,32 | 1192,08 | 0,20 |
|      | 6,00 | 0,31 | 3,77 | 1255,78 | 46,18 | 1217,29 | 0,18 |
|      |      | 0,33 | 3,94 | 1258,84 | 46,60 | 1220,00 | 0,18 |
|      | _    | 0,42 | 5,03 | 1234,06 | 43,22 | 1198,05 | 0,19 |
|      |      | 0,52 | 6,28 | 1206,82 | 39,61 | 1173,81 | 0,21 |
|      |      | 0,00 | 0,00 | 1152,41 | 32,77 | 1125,10 | 0,24 |
|      |      | 0,10 | 1,26 | 1181,69 | 36,39 | 1151,36 | 0,23 |
|      |      | 0,21 | 2,51 | 1210,35 | 40,07 | 1176,96 | 0,21 |
|      | 7,00 | 0,31 | 3,77 | 1238,40 | 43,80 | 1201,90 | 0,19 |
|      |      | 0,33 | 3,94 | 1241,42 | 44,21 | 1204,58 | 0,19 |
| 3,00 |      | 0,42 | 5,03 | 1216,98 | 40,94 | 1182,86 | 0,21 |
| 3,00 |      | 0,52 | 6,28 | 1190,10 | 37,46 | 1158,88 | 0,22 |
|      |      | 0,00 | 0,00 | 1137,44 | 30,97 | 1111,63 | 0,25 |
|      |      | 0,10 | 1,26 | 1166,36 | 34,48 | 1137,63 | 0,24 |
|      | 8,00 | 0,21 | 2,51 | 1194,66 | 38,04 | 1162,96 | 0,22 |
|      |      | 0,31 | 3,77 | 1222,37 | 41,66 | 1187,66 | 0,20 |
|      |      | 0,33 | 3,94 | 1225,35 | 42,05 | 1190,31 | 0,20 |

|      |       | 0,42 | 5,03 | 1201,21 | 38,89 | 1168,81 | 0,21 |
|------|-------|------|------|---------|-------|---------|------|
|      |       | 0,52 | 6,28 | 1174,66 | 35,51 | 1145,07 | 0,23 |
|      |       | 0,00 | 0,00 | 1123,72 | 29,35 | 1099,26 | 0,26 |
|      |       | 0,10 | 1,26 | 1152,30 | 32,76 | 1125,01 | 0,24 |
|      |       | 0,21 | 2,51 | 1180,28 | 36,22 | 1150,10 | 0,23 |
|      | 9,00  | 0,31 | 3,77 | 1207,67 | 39,72 | 1174,57 | 0,21 |
|      | ),00  | 0,33 | 3,94 | 1210,62 | 40,11 | 1177,19 | 0,21 |
|      |       | 0,42 | 5,03 | 1186,76 | 37,03 | 1155,89 | 0,22 |
|      |       | 0,52 | 6,28 | 1160,51 | 33,76 | 1132,38 | 0,24 |
|      |       | 0,00 | 0,00 | 1111,25 | 27,91 | 1087,99 | 0,27 |
|      |       | 0,10 | 1,26 | 1139,53 | 31,22 | 1113,51 | 0,25 |
|      |       | 0,21 | 2,51 | 1167,21 | 34,58 | 1138,39 | 0,23 |
|      | 10,00 | 0,31 | 3,77 | 1194,31 | 38,00 | 1162,64 | 0,22 |
|      |       | 0,33 | 3,94 | 1197,22 | 38,37 | 1165,25 | 0,22 |
|      |       | 0,42 | 5,03 | 1173,61 | 35,38 | 1144,13 | 0,23 |
|      |       | 0,52 | 6,28 | 1147,65 | 32,19 | 1120,82 | 0,25 |
|      |       | 0,00 | 0,00 | 1100,02 | 26,63 | 1077,83 | 0,28 |
| 4,00 |       | 0,10 | 1,26 | 1128,03 | 29,86 | 1103,15 | 0,26 |
| 4,00 |       | 0,21 | 2,51 | 1155,44 | 33,14 | 1127,83 | 0,24 |
|      | 11,00 | 0,31 | 3,77 | 1182,28 | 36,47 | 1151,89 | 0,23 |
|      |       | 0,33 | 3,94 | 1185,17 | 36,83 | 1154,48 | 0,22 |
|      |       | 0,42 | 5,03 | 1161,79 | 33,92 | 1133,52 | 0,24 |
|      |       | 0,52 | 6,28 | 1136,07 | 30,81 | 1110,40 | 0,25 |
|      |       | 0,00 | 0,00 | 1090,04 | 25,51 | 1068,78 | 0,28 |
|      | 12,00 | 0,10 | 1,26 | 1117,81 | 28,67 | 1093,92 | 0,26 |
|      | 12,00 | 0,21 | 2,51 | 1144,99 | 31,87 | 1118,42 | 0,25 |
|      |       | 0,31 | 3,77 | 1171,59 | 35,13 | 1142,32 | 0,23 |

|      |       | 0,33 | 3,94 | 1174,45 | 35,49 | 1144,88 | 0,23 |
|------|-------|------|------|---------|-------|---------|------|
|      |       | 0,42 | 5,03 | 1151,27 | 32,63 | 1124,08 | 0,24 |
|      |       | 0,52 | 6,28 | 1125,78 | 29,60 | 1101,12 | 0,26 |
|      |       | 0,00 | 0,00 | 1081,31 | 24,55 | 1060,85 | 0,29 |
|      |       | 0,10 | 1,26 | 1108,86 | 27,64 | 1085,83 | 0,27 |
|      |       | 0,21 | 2,51 | 1135,84 | 30,78 | 1110,18 | 0,25 |
|      | 13,00 | 0,31 | 3,77 | 1162,24 | 33,97 | 1133,93 | 0,24 |
|      |       | 0,33 | 3,94 | 1165,08 | 34,32 | 1136,48 | 0,24 |
|      |       | 0,42 | 5,03 | 1142,08 | 31,52 | 1115,81 | 0,25 |
|      |       | 0,52 | 6,28 | 1116,78 | 28,55 | 1092,99 | 0,27 |
|      |       | 0,00 | 0,00 | 1073,82 | 23,73 | 1054,05 | 0,29 |
|      |       | 0,10 | 1,26 | 1101,20 | 26,77 | 1078,89 | 0,27 |
|      |       | 0,21 | 2,51 | 1127,99 | 29,85 | 1103,11 | 0,26 |
| 5,00 | 14,00 | 0,31 | 3,77 | 1154,22 | 32,99 | 1126,73 | 0,24 |
|      |       | 0,33 | 3,94 | 1157,04 | 33,33 | 1129,26 | 0,24 |
|      |       | 0,42 | 5,03 | 1134,19 | 30,59 | 1108,70 | 0,25 |
|      |       | 0,52 | 6,28 | 1109,06 | 27,66 | 1086,01 | 0,27 |
|      |       | 0,00 | 0,00 | 1067,59 | 23,06 | 1048,37 | 0,30 |
|      |       | 0,10 | 1,26 | 1094,81 | 26,05 | 1073,10 | 0,28 |
|      |       | 0,21 | 2,51 | 1121,46 | 29,09 | 1097,21 | 0,26 |
|      | 15,00 | 0,31 | 3,77 | 1147,54 | 32,18 | 1120,72 | 0,25 |
|      |       | 0,33 | 3,94 | 1150,35 | 32,52 | 1123,25 | 0,25 |
|      |       | 0,42 | 5,03 | 1127,62 | 29,81 | 1102,78 | 0,26 |
|      |       | 0,52 | 6,28 | 1102,63 | 26,93 | 1080,19 | 0,27 |
|      |       | 0,00 | 0,00 | 1062,60 | 22,52 | 1043,83 | 0,30 |
| 6,00 | 16,00 | 0,10 | 1,26 | 1089,70 | 25,48 | 1068,47 | 0,28 |
|      |       | 0,21 | 2,51 | 1116,23 | 28,48 | 1092,49 | 0,27 |

|       |      | i    |         |       |         |      |
|-------|------|------|---------|-------|---------|------|
|       | 0,31 | 3,77 | 1142,19 | 31,54 | 1115,91 | 0,25 |
|       | 0,33 | 3,94 | 1144,99 | 31,87 | 1118,43 | 0,25 |
|       | 0,42 | 5,03 | 1122,36 | 29,20 | 1098,03 | 0,26 |
|       | 0,52 | 6,28 | 1097,48 | 26,35 | 1075,53 | 0,28 |
|       | 0,00 | 0,00 | 1058,85 | 22,12 | 1040,42 | 0,30 |
|       | 0,10 | 1,26 | 1085,87 | 25,05 | 1064,99 | 0,28 |
|       | 0,21 | 2,51 | 1112,30 | 28,03 | 1088,94 | 0,27 |
| 17,00 | 0,31 | 3,77 | 1138,18 | 31,06 | 1112,30 | 0,25 |
|       | 0,33 | 3,94 | 1140,97 | 31,39 | 1114,81 | 0,25 |
|       | 0,42 | 5,03 | 1118,42 | 28,74 | 1094,47 | 0,26 |
|       | 0,52 | 6,28 | 1093,62 | 25,91 | 1072,03 | 0,28 |
|       | 0,00 | 0,00 | 1056,36 | 21,86 | 1038,15 | 0,30 |
|       | 0,10 | 1,26 | 1083,31 | 24,77 | 1062,67 | 0,29 |
|       | 0,21 | 2,51 | 1109,69 | 27,73 | 1086,58 | 0,27 |
| 18,00 | 0,31 | 3,77 | 1135,51 | 30,74 | 1109,89 | 0,25 |
|       | 0,33 | 3,94 | 1138,29 | 31,07 | 1112,40 | 0,25 |
|       | 0,42 | 5,03 | 1115,79 | 28,43 | 1092,10 | 0,27 |
|       | 0,52 | 6,28 | 1091,05 | 25,63 | 1069,69 | 0,28 |

|       |                |      |      |   | Vale        | oure        |                                     |  |  | •                        |                                     | comb 4 [MPa                                    | ıl   |                                     | 1.500  |  |
|-------|----------------|------|------|---|-------------|-------------|-------------------------------------|--|--|--------------------------|-------------------------------------|--|--|-------------------------------------|--|--|
|       |                |      |      |   | caractéris  |             |                                     |  |  |                          |                                     |  | .1   | Co                                  | omb 7 [MPa                                     | a]   |
|       |                |      |      |   | la préco    | -           | ,                                   |  |  |                          |                                     |  |  |                                     |  |  |
| bande | N° du<br>câble | α    | х    | tension<br>après<br>toutes<br>pertes<br>[MPa] | P1<br>[MPa] | P2<br>[MPa] | effort au<br>droit du<br>câble [kg] | Effort<br>agissant<br>sur la fibre<br>int [kg] | Effort<br>agissant sur<br>la fibre ext<br>[kg] | Ti<br>(statique)<br>[kg] | effort au<br>droit du<br>câble [kg] | Effort<br>agissant sur<br>la fibre int<br>[kg] | Effort<br>agissant<br>sur la fibre<br>ext [kg] | effort au<br>droit du<br>câble [kg] | Effort<br>agissant<br>sur la fibre<br>int [kg] | Effort<br>agissant<br>sur la fibre<br>ext [kg] |
|       |                | 0,00 | 0,00 | 1204,18                                       | 1290,71     | 1117,66     | 117378,17                           | 23470,87                                       | 211237,79                                      |                          | 75378,17                            | -18529,13                                      | 169237,79                                      | 117378,17                           | 23470,87                                       | 211237,79                                      |
|       |                | 0,10 | 1,26 | 1231,99                                       | 1312,95     | 1151,03     | 120882,69                           | 24171,63                                       | 217544,65                                      |                          | 78882,69                            | -17828,37                                      | 175544,65                                      | 120882,69                           | 24171,63                                       | 217544,65                                      |
|       |                | 0,21 | 2,51 | 1259,08                                       | 1334,63     | 1183,54     | 124296,94                           | 24854,34                                       | 223689,04                                      |                          | 82296,94                            | -17145,66                                      | 181689,04                                      | 124296,94                           | 24854,34                                       | 223689,04                                      |
|       | 1,00           | 0,31 | 3,77 | 1285,48                                       | 1355,74     | 1215,21     | 127623,49                           | 25519,51                                       | 229675,62                                      | 42000,00                 | 85623,49                            | -16480,49                                      | 187675,62                                      | 127623,49                           | 25519,51                                       | 229675,62                                      |
|       |                | 0,33 | 3,94 | 1288,31                                       | 1358,01     | 1218,61     | 127980,53                           | 25590,91                                       | 230318,17                                      |                          | 85980,53                            | -16409,09                                      | 188318,17                                      | 127980,53                           | 25590,91                                       | 230318,17                                      |
|       |                | 0,42 | 5,03 | 1265,33                                       | 1339,63     | 1191,04     | 125084,55                           | 25011,83                                       | 225106,46                                      |                          | 83084,55                            | -16988,17                                      | 183106,46                                      | 125084,55                           | 25011,83                                       | 225106,46                                      |
|       |                | 0,52 | 6,28 | 1239,95                                       | 1319,32     | 1160,59     | 121886,20                           | 24372,29                                       | 219350,60                                      |                          | 79886,20                            | -17627,71                                      | 177350,60                                      | 121886,20                           | 24372,29                                       | 219350,60                                      |
|       |                | 0,00 | 0,00 | 1185,34                                       | 1275,64     | 1095,05     | 115003,98                           | 22996,12                                       | 206965,12                                      |                          | 73003,98                            | -19003,88                                      | 164965,12                                      | 115003,98                           | 22996,12                                       | 206965,12                                      |
|       |                | 0,10 | 1,26 | 1212,79                                       | 1297,59     | 1127,98     | 118462,39                           | 23687,67                                       | 213188,99                                      |                          | 76462,39                            | -18312,33                                      | 171188,99                                      | 118462,39                           | 23687,67                                       | 213188,99                                      |
|       |                | 0,21 | 2,51 | 1239,52                                       | 1318,98     | 1160,07     | 121832,02                           | 24361,45                                       | 219253,09                                      |                          | 79832,02                            | -17638,55                                      | 177253,09                                      | 121832,02                           | 24361,45                                       | 219253,09                                      |
| 1,00  | 2,00           | 0,31 | 3,77 | 1265,58                                       | 1339,82     | 1191,33     | 125115,41                           | 25018,00                                       | 225161,99                                      | 42000,00                 | 83115,41                            | -16982,00                                      | 183161,99                                      | 125115,41                           | 25018,00                                       | 225161,99                                      |
|       |                | 0,33 | 3,94 | 1268,37                                       | 1342,06     | 1194,69     | 125467,84                           | 25088,47                                       | 225796,23                                      |                          | 83467,84                            | -16911,53                                      | 183796,23                                      | 125467,84                           | 25088,47                                       | 225796,23                                      |
|       |                | 0,42 | 5,03 | 1245,69                                       | 1323,91     | 1167,47     | 122609,39                           | 24516,90                                       | 220652,07                                      |                          | 80609,39                            | -17483,10                                      | 178652,07                                      | 122609,39                           | 24516,90                                       | 220652,07                                      |
|       |                | 0,52 | 6,28 | 1220,65                                       | 1303,88     | 1137,41     | 119452,75                           | 23885,70                                       | 214971,28                                      |                          | 77452,75                            | -18114,30                                      | 172971,28                                      | 119452,75                           | 23885,70                                       | 214971,28                                      |
|       |                | 0,00 | 0,00 | 1167,56                                       | 1261,41     | 1073,71     | 112762,49                           | 22547,92                                       | 202931,25                                      |                          | 70762,49                            | -19452,08                                      | 160931,25                                      | 112762,49                           | 22547,92                                       | 202931,25                                      |
|       |                | 0,10 | 1,26 | 1194,65                                       | 1283,08     | 1106,22     | 116177,16                           | 23230,71                                       | 209076,40                                      |                          | 74177,16                            | -18769,29                                      | 167076,40                                      | 116177,16                           | 23230,71                                       | 209076,40                                      |
|       |                | 0,21 | 2,51 | 1221,06                                       | 1304,20     | 1137,91     | 119504,46                           | 23896,04                                       | 215064,33                                      |                          | 77504,46                            | -18103,96                                      | 173064,33                                      | 119504,46                           | 23896,04                                       | 215064,33                                      |
|       | 3,00           | 0,31 | 3,77 | 1246,78                                       | 1324,79     | 1168,78     | 122746,88                           | 24544,39                                       | 220899,49                                      | 42000,00                 | 80746,88                            | -17455,61                                      | 178899,49                                      | 122746,88                           | 24544,39                                       | 220899,49                                      |
|       |                | 0,33 | 3,94 | 1249,55                                       | 1327,00     | 1172,09     | 123094,92                           | 24613,98                                       | 221525,85                                      |                          | 81094,92                            | -17386,02                                      | 179525,85                                      | 123094,92                           | 24613,98                                       | 221525,85                                      |
|       |                | 0,42 | 5,03 | 1227,15                                       | 1309,08     | 1145,22     | 120272,10                           | 24049,53                                       | 216445,80                                      |                          | 78272,10                            | -17950,47                                      | 174445,80                                      | 120272,10                           | 24049,53                                       | 216445,80                                      |
|       |                | 0,52 | 6,28 | 1202,41                                       | 1289,29     | 1115,54     | 117155,05                           | 23426,25                                       | 210836,25                                      |                          | 75155,05                            | -18573,75                                      | 168836,25                                      | 117155,05                           | 23426,25                                       | 210836,25                                      |

|      |   | 0,00 | 0,00 | 1150,84 | 1248,03 | 1053,64 | 110654,97 | 22126,50 | 199138,48 |          | 72654,97 | -15873,50 | 161138,48 | 110654,97 | 22126,50 | 199138,48 |
|------|---|------|------|---------|---------|---------|-----------|----------|-----------|----------|----------|-----------|-----------|-----------|----------|-----------|
|      |   | 0,10 | 1,26 | 1177,60 | 1269,44 | 1085,76 | 114028,32 | 22801,03 | 205209,28 |          | 76028,32 | -15198,97 | 167209,28 | 114028,32 | 22801,03 | 205209,28 |
|      |   | 0,21 | 2,51 | 1203,69 | 1290,31 | 1117,06 | 117315,63 | 23458,36 | 211125,25 |          | 79315,63 | -14541,64 | 173125,25 | 117315,63 | 23458,36 | 211125,25 |
|      | 4,00                                    | 0,31 | 3,77 | 1229,11 | 1310,65 | 1147,57 | 120519,34 | 24098,97 | 216890,75 | 38000,00 | 82519,34 | -13901,03 | 178890,75 | 120519,34 | 24098,97 | 216890,75 |
|      |   | 0,33 | 3,94 | 1231,84 | 1312,83 | 1150,84 | 120863,25 | 24167,74 | 217509,66 |          | 82863,25 | -13832,26 | 179509,66 | 120863,25 | 24167,74 | 217509,66 |
|      |   | 0,42 | 5,03 | 1209,71 | 1295,12 | 1124,29 | 118074,09 | 23610,02 | 212490,19 |          | 80074,09 | -14389,98 | 174490,19 | 118074,09 | 23610,02 | 212490,19 |
|      |   | 0,52 | 6,28 | 1185,27 | 1275,58 | 1094,96 | 114994,43 | 22994,21 | 206947,93 |          | 76994,43 | -15005,79 | 168947,93 | 114994,43 | 22994,21 | 206947,93 |
|      |   | 0,00 | 0,00 | 1135,19 | 1235,51 | 1034,86 | 108682,59 | 21732,10 | 195588,93 |          | 70682,59 | -16267,90 | 157588,93 | 108682,59 | 21732,10 | 195588,93 |
|      |   | 0,10 | 1,26 | 1161,64 | 1256,68 | 1066,61 | 112017,13 | 22398,87 | 201589,87 |          | 74017,13 | -15601,13 | 163589,87 | 112017,13 | 22398,87 | 201589,87 |
|      |   | 0,21 | 2,51 | 1187,43 | 1277,30 | 1097,56 | 115266,86 | 23048,69 | 207438,20 |          | 77266,86 | -14951,31 | 169438,20 | 115266,86 | 23048,69 | 207438,20 |
| 2,00 | 5,00                                    | 0,31 | 3,77 | 1212,56 | 1297,41 | 1127,72 | 118434,17 | 23682,02 | 213138,21 | 38000,00 | 80434,17 | -14317,98 | 175138,21 | 118434,17 | 23682,02 | 213138,21 |
|      |   | 0,33 | 3,94 | 1215,26 | 1299,57 | 1130,95 | 118774,19 | 23750,01 | 213750,11 |          | 80774,19 | -14249,99 | 175750,11 | 118774,19 | 23750,01 | 213750,11 |
|      | 000000000000000000000000000000000000000 | 0,42 | 5,03 | 1193,38 | 1282,06 | 1104,70 | 116016,67 | 23198,62 | 208787,59 |          | 78016,67 | -14801,38 | 170787,59 | 116016,67 | 23198,62 | 208787,59 |
|      |   | 0,52 | 6,28 | 1169,22 | 1262,74 | 1075,71 | 112972,17 | 22589,84 | 203308,60 |          | 74972,17 | -15410,16 | 165308,60 | 112972,17 | 22589,84 | 203308,60 |
|      |   | 0,00 | 0,00 | 1139,66 | 1239,09 | 1040,23 | 109246,65 | 21844,89 | 196604,03 |          | 71246,65 | -16155,11 | 158604,03 | 109246,65 | 21844,89 | 196604,03 |
|      |   | 0,10 | 1,26 | 1166,21 | 1260,33 | 1072,09 | 112592,31 | 22513,89 | 202624,98 |          | 74592,31 | -15486,11 | 164624,98 | 112592,31 | 22513,89 | 202624,98 |
|      |   | 0,21 | 2,51 | 1192,08 | 1281,02 | 1103,14 | 115852,80 | 23165,85 | 208492,68 |          | 77852,80 | -14834,15 | 170492,68 | 115852,80 | 23165,85 | 208492,68 |
|      | 6,00                                    | 0,31 | 3,77 | 1217,29 | 1301,20 | 1133,39 | 119030,54 | 23801,27 | 214211,45 | 38000,00 | 81030,54 | -14198,73 | 176211,45 | 119030,54 | 23801,27 | 214211,45 |
|      |   | 0,33 | 3,94 | 1220,00 | 1303,36 | 1136,64 | 119371,67 | 23869,48 | 214825,36 |          | 81371,67 | -14130,52 | 176825,36 | 119371,67 | 23869,48 | 214825,36 |
|      |   | 0,42 | 5,03 | 1198,05 | 1285,80 | 1110,30 | 116605,09 | 23316,28 | 209846,53 |          | 78605,09 | -14683,72 | 171846,53 | 116605,09 | 23316,28 | 209846,53 |
|      |   | 0,52 | 6,28 | 1173,81 | 1266,41 | 1081,21 | 113550,52 | 22705,49 | 204349,42 |          | 75550,52 | -15294,51 | 166349,42 | 113550,52 | 22705,49 | 204349,42 |
|      | 7,00 0                                  | 0,00 | 0,00 | 1125,10 | 1227,44 | 1022,76 | 107411,91 | 21478,02 | 193302,16 |          | 73411,91 | -12521,98 | 159302,16 | 107411,91 | 21478,02 | 193302,16 |
|      |   | 0,10 | 1,26 | 1151,36 | 1248,45 | 1054,27 | 110721,36 | 22139,77 | 199257,96 |          | 76721,36 | -11860,23 | 165257,96 | 110721,36 | 22139,77 | 199257,96 |
|      |   | 0,21 | 2,51 | 1176,96 | 1268,92 | 1084,99 | 113946,79 | 22784,73 | 205062,56 |          | 79946,79 | -11215,27 | 171062,56 | 113946,79 | 22784,73 | 205062,56 |
| 3,00 |   | 0,31 | 3,77 | 1201,90 | 1288,88 | 1114,92 | 117090,57 | 23413,36 | 210720,22 | 34000,00 | 83090,57 | -10586,64 | 176720,22 | 117090,57 | 23413,36 | 210720,22 |
|      |   | 0,33 | 3,94 | 1204,58 | 1291,02 | 1118,14 | 117428,07 | 23480,84 | 211327,59 |          | 83428,07 | -10519,16 | 177327,59 | 117428,07 | 23480,84 | 211327,59 |
|      |   | 0,42 | 5,03 | 1182,86 | 1273,65 | 1092,07 | 114691,02 | 22933,55 | 206401,91 |          | 80691,02 | -11066,45 | 172401,91 | 114691,02 | 22933,55 | 206401,91 |
|      |   | 0,52 | 6,28 | 1158,88 | 1254,47 | 1063,30 | 111669,24 | 22329,31 | 200963,81 |          | 77669,24 | -11670,69 | 166963,81 | 111669,24 | 22329,31 | 200963,81 |

|      |       | 0,00 | 0,00 | 1111.63 | 1216,67 | 1006 60 | 105714,34 | 21138,57 | 190247,16 |          | 71714,34 | -12861,43 | 156247 16 | 105714,34 | 21138,57 | 190247,16 |
|------|-------|------|------|---------|---------|---------|-----------|----------|-----------|----------|----------|-----------|-----------|-----------|----------|-----------|
|      |       |      | ,    | ,       | ,       | ,       | ,         | ,        |           |          | ,        |           |           |           |          | ,         |
|      |       | 0,10 | 1,26 | 1137,63 | 1237,46 |         | 108990,18 | ,        | 196142,47 |          | 74990,18 | -12206,39 | 162142,47 | 108990,18 | 21793,61 | 196142,47 |
|      |       | 0,21 | 2,51 | 1162,96 | 1257,73 | 1068,19 |           | 22432,05 | 201888,48 |          | 78183,05 | -11567,95 | 167888,48 | 112183,05 | 22432,05 | 201888,48 |
|      | 8,00  | 0,31 | 3,77 | 1187,66 | 1277,48 | 1097,83 | ,         | 23054,38 | 207489,39 | 34000,00 | 81295,30 | -10945,62 | 173489,39 | 115295,30 | 23054,38 | 207489,39 |
|      |       | 0,33 | 3,94 | 1190,31 | 1279,61 | 1101,01 | 115629,42 | 23121,19 | 208090,68 |          | 81629,42 | -10878,81 | 174090,68 | 115629,42 | 23121,19 | 208090,68 |
|      |       | 0,42 | 5,03 | 1168,81 | 1262,41 | 1075,21 | 112919,80 | 22579,37 | 203214,36 |          | 78919,80 | -11420,63 | 169214,36 | 112919,80 | 22579,37 | 203214,36 |
|      |       | 0,52 | 6,28 | 1145,07 | 1243,42 | 1046,73 | 109928,47 | 21981,23 | 197831,06 |          | 75928,47 | -12018,77 | 163831,06 | 109928,47 | 21981,23 | 197831,06 |
|      |       | 0,00 | 0,00 | 1099,26 | 1206,77 | 991,75  | 104154,91 | 20826,75 | 187440,75 |          | 70154,91 | -13173,25 | 153440,75 | 104154,91 | 20826,75 | 187440,75 |
|      |       | 0,10 | 1,26 | 1125,01 | 1227,36 | 1022,65 | 107399,76 | 21475,59 | 193280,31 |          | 73399,76 | -12524,41 | 159280,31 | 107399,76 | 21475,59 | 193280,31 |
|      |       | 0,21 | 2,51 | 1150,10 | 1247,44 | 1052,76 | 110562,63 | 22108,03 | 198972,31 |          | 76562,63 | -11891,97 | 164972,31 | 110562,63 | 22108,03 | 198972,31 |
|      | 9,00  | 0,31 | 3,77 | 1174,57 | 1267,01 | 1082,12 | 113645,81 | 22724,54 | 204520,90 | 34000,00 | 79645,81 | -11275,46 | 170520,90 | 113645,81 | 22724,54 | 204520,90 |
|      |       | 0,33 | 3,94 | 1177,19 | 1269,12 | 1085,27 | 113976,82 | 22790,73 | 205116,60 |          | 79976,82 | -11209,27 | 171116,60 | 113976,82 | 22790,73 | 205116,60 |
|      |       | 0,42 | 5,03 | 1155,89 | 1252,08 | 1059,71 | 111292,48 | 22253,98 | 200285,78 |          | 77292,48 | -11746,02 | 166285,78 | 111292,48 | 22253,98 | 200285,78 |
|      |       | 0,52 | 6,28 | 1132,38 | 1233,26 | 1031,50 | 108329,22 | 21661,44 | 194952,99 |          | 74329,22 | -12338,56 | 160952,99 | 108329,22 | 21661,44 | 194952,99 |
|      |       | 0,00 | 0,00 | 1087,99 | 1197,75 | 978,22  | 102734,47 | 20542,72 | 184884,48 |          | 72734,47 | -9457,28  | 154884,48 | 102734,47 | 20542,72 | 184884,48 |
|      |       | 0,10 | 1,26 | 1113,51 | 1218,17 | 1008,85 | 105951,03 | 21185,90 | 190673,12 |          | 75951,03 | -8814,10  | 160673,12 | 105951,03 | 21185,90 | 190673,12 |
|      |       | 0,21 | 2,51 | 1138,39 | 1238,07 | 1038,71 | 109086,48 | 21812,86 | 196315,78 |          | 79086,48 | -8187,14  | 166315,78 | 109086,48 | 21812,86 | 196315,78 |
|      | 10,00 | 0,31 | 3,77 | 1162,64 | 1257,47 | 1067,81 | 112143,09 | 22424,06 | 201816,56 | 30000,00 | 82143,09 | -7575,94  | 171816,56 | 112143,09 | 22424,06 | 201816,56 |
|      |       | 0,33 | 3,94 | 1165,25 | 1259,56 | 1070,94 | 112471,26 | 22489,68 | 202407,14 |          | 82471,26 | -7510,32  | 172407,14 | 112471,26 | 22489,68 | 202407,14 |
|      |       | 0,42 | 5,03 | 1144,13 | 1242,66 | 1045,60 | 109810,03 | 21957,55 | 197617,91 |          | 79810,03 | -8042,45  | 167617,91 | 109810,03 | 21957,55 | 197617,91 |
| 4.00 |       | 0,52 | 6,28 | 1120,82 | 1224,02 | 1017,63 | 106872,42 | 21370,14 | 192331,27 |          | 76872,42 | -8629,86  | 162331,27 | 106872,42 | 21370,14 | 192331,27 |
| 4,00 |       | 0,00 | 0,00 | 1077,83 | 1189,62 | 966,03  | 101453,83 | 20286,64 | 182579,79 |          | 71453,83 | -9713,36  | 152579,79 | 101453,83 | 20286,64 | 182579,79 |
|      |       | 0,10 | 1,26 | 1103,15 | 1209,88 | 996,41  | 104644,81 | 20924,71 | 188322,39 |          | 74644,81 | -9075,29  | 158322,39 | 104644,81 | 20924,71 | 188322,39 |
|      |       | 0,21 | 2,51 | 1127,83 | 1229,62 | 1026,03 |           | 21546,72 | 193920,45 |          | 77755,47 | -8453,28  | 163920,45 | 107755,47 | 21546,72 | 193920,45 |
|      | 11,00 |      | 3,77 | 1151,89 | 1248,87 | 1054,91 | 110788,06 | 22153,11 | 199378,00 | 30000,00 | 80788,06 | -7846,89  | 169378,00 | 110788,06 | 22153,11 | 199378,00 |
|      | ,     | 0,33 | 3,94 | 1154,48 | 1250,94 | 1058,01 | 111113,66 |          | 199963,96 | ,,,,,,   | 81113,66 | -7781,78  | 169963,96 |           | 22218,22 | 199963,96 |
|      |       | 0,42 | 5,03 | 1133,52 | 1234,18 | 1032,87 | 108473,32 | 21690,26 | 195212,32 |          | 78473,32 | -8309,74  | 165212,32 |           | 21690,26 | 195212,32 |
|      |       | 0,52 | 6,28 | 1110,40 | 1215,68 | 1005,12 |           |          | 189967,41 |          | 75558,89 | -8892,51  | 159967,41 | 105558,89 | 21107,49 | 189967,41 |
|      |       | 0,32 | 0,20 | 1110,40 | 1213,08 | 1005,12 | 103336,69 | 21107,49 | 109907,41 |          | 13330,09 | -0072,31  | 137707,41 | 103336,69 | 21107,49 | 109907,41 |

|      |       | 0.00 | 0,00 | 1068.78 | 1182,38 | 955,17  | 100313,68 | 20058,66 | 180527,95 |          | 70313,68 | -9941,34 | 150527,95 | 100313,68 | 20058,66 | 180527,95 |
|------|-------|------|------|---------|---------|---------|-----------|----------|-----------|----------|----------|----------|-----------|-----------|----------|-----------|
|      |       | 0,10 |      | 1008,78 | 1202,49 | 985,34  | 100313,08 | ,        | 186229,47 |          | 73481,84 | -9307,84 | 156229,47 | 100313,08 | 20692,16 | 186229,47 |
|      |       |      | 1,26 |         |         |         |           | ,        |           |          |          |          |           |           | ,        | ,         |
|      | 10.00 | 0,21 | 2,51 | 1118,42 | 1222,10 | 1014,75 | 106570,39 | 21309,75 | 191787,73 | 20000 00 | 76570,39 | -8690,25 | 161787,73 | 106570,39 | 21309,75 | 191787,73 |
|      | 12,00 |      | 3,77 | 1142,32 | 1241,21 | 1043,42 | 109581,53 | ,        | 197206,69 | 30000,00 | 79581,53 | -8088,15 | 167206,69 | 109581,53 | 21911,85 | 197206,69 |
|      |       | 0,33 | 3,94 | 1144,88 | 1243,27 | 1046,50 |           | ,        | 197788,52 |          | 79904,84 | -8023,50 | 167788,52 |           | 21976,50 | 197788,52 |
|      |       | 0,42 | 5,03 | 1124,08 | 1226,62 | 1021,54 |           | 21452,27 | 193070,44 |          | 77283,15 | -8547,73 | 163070,44 |           | 21452,27 | 193070,44 |
|      |       | 0,52 | 6,28 | 1101,12 | 1208,26 | 993,98  | 104389,41 | 20873,64 | 187862,77 |          | 74389,41 | -9126,36 | 157862,77 | 104389,41 | 20873,64 | 187862,77 |
|      |       | 0,00 | 0,00 | 1060,85 | 1176,04 | 945,66  | 99314,67  | 19858,90 | 178730,09 |          | 73314,67 | -6141,10 | 152730,09 | 99314,67  | 19858,90 | 178730,09 |
|      |       | 0,10 | 1,26 | 1085,83 | 1196,03 | 975,64  | 102462,79 | 20488,40 | 184395,56 |          | 76462,79 | -5511,60 | 158395,56 | 102462,79 | 20488,40 | 184395,56 |
|      |       | 0,21 | 2,51 | 1110,18 | 1215,51 | 1004,86 | 105531,91 | 21102,10 | 189918,86 |          | 79531,91 | -4897,90 | 163918,86 | 105531,91 | 21102,10 | 189918,86 |
|      | 13,00 | 0,31 | 3,77 | 1133,93 | 1234,50 | 1033,35 | 108524,23 | 21700,44 | 195303,94 | 26000,00 | 82524,23 | -4299,56 | 169303,94 | 108524,23 | 21700,44 | 195303,94 |
|      |       | 0,33 | 3,94 | 1136,48 | 1236,54 | 1036,41 | 108845,52 | 21764,68 | 195882,14 |          | 82845,52 | -4235,32 | 169882,14 | 108845,52 | 21764,68 | 195882,14 |
|      | 0     | 0,42 | 5,03 | 1115,81 | 1220,00 | 1011,61 | 106240,21 | 21243,73 | 191193,53 |          | 80240,21 | -4756,27 | 165193,53 | 106240,21 | 21243,73 | 191193,53 |
|      |       | 0,52 | 6,28 | 1092,99 | 1201,75 | 984,23  | 103364,65 | 20668,73 | 186018,57 |          | 77364,65 | -5331,27 | 160018,57 | 103364,65 | 20668,73 | 186018,57 |
|      |       | 0,00 | 0,00 | 1054,05 | 1170,60 | 937,50  | 98457,35  | 19687,47 | 177187,23 |          | 72457,35 | -6312,53 | 151187,23 | 98457,35  | 19687,47 | 177187,23 |
|      |       | 0,10 | 1,26 | 1078,89 | 1190,47 | 967,31  | 101588,24 | 20313,52 | 182821,69 |          | 75588,24 | -5686,48 | 156821,69 | 101588,24 | 20313,52 | 182821,69 |
|      |       | 0,21 | 2,51 | 1103,11 | 1209,85 | 996,38  | 104640,67 | 20923,88 | 188314,94 |          | 78640,67 | -5076,12 | 162314,94 | 104640,67 | 20923,88 | 188314,94 |
| 5,00 | 14,00 | 0,31 | 3,77 | 1126,73 | 1228,74 | 1024,71 | 107616,80 | 21518,99 | 193670,88 | 26000,00 | 81616,80 | -4481,01 | 167670,88 | 107616,80 | 21518,99 | 193670,88 |
|      |       | 0,33 | 3,94 | 1129,26 | 1230,77 | 1027,76 | 107936,35 | 21582,89 | 194245,97 |          | 81936,35 | -4417,11 | 168245,97 | 107936,35 | 21582,89 | 194245,97 |
|      |       | 0,42 | 5,03 | 1108,70 | 1214,32 | 1003,08 | 105345,12 | 21064,74 | 189582,70 |          | 79345,12 | -4935,26 | 163582,70 | 105345,12 | 21064,74 | 189582,70 |
|      |       | 0,52 | 6,28 | 1086,01 | 1196,17 | 975,85  | 102485,18 | 20492,87 | 184435,85 |          | 76485,18 | -5507,13 | 158435,85 | 102485,18 | 20492,87 | 184435,85 |
|      |       | 0,00 | 0,00 | 1048,37 | 1166,06 | 930,69  | 97742,19  | 19544,47 | 175900,20 |          | 71742,19 | -6455,53 | 149900,20 | 97742,19  | 19544,47 | 175900,20 |
|      | 15,00 | 0,10 | 1,26 | 1073,10 | 1185,84 | 960,36  | 100858,69 | 20167,64 | 181508,76 |          | 74858,69 | -5832,36 | 155508,76 | 100858,69 | 20167,64 | 181508,76 |
|      |       | 0,21 | 2,51 | 1097,21 | 1205,13 | 989,30  | 103897,16 | 20775,21 | 186976,91 |          | 77897,16 | -5224,79 | 160976,91 | 103897,16 | 20775,21 | 186976,91 |
|      |       | 0,31 | 3,77 | 1120,72 | 1223,94 | 1017,51 | 106859,77 | 21367,61 | 192308,51 | 26000,00 | 80859,77 | -4632,39 | 166308,51 | 106859,77 | 21367,61 | 192308,51 |
|      |       | 0,33 | 3,94 | 1123,25 | 1225,96 | 1020,53 | 107177,87 | 21431,22 | 192880,99 | 2222,30  | 81177,87 | -4568,78 | 166880,99 | 107177,87 | 21431,22 | 192880,99 |
|      |       | 0,42 | 5,03 | 1102,78 | 1209,58 | 995,97  | 104598,41 | 20915,43 | 188238,90 |          | 78598,41 | -5084,57 | 162238,90 | 104598,41 | 20915,43 | 188238,90 |
|      |       | 0,52 | 6,28 | 1080,19 | 1191,51 | 968,87  | 101751,52 | 20346,17 | 183115,53 |          | 75751,52 | -5653,83 | 157115,53 |           | 20346,17 | 183115,53 |
|      |       | 0,32 | 0,20 | 1000,19 | 1191,31 | 700,07  | 101/31,32 | 20340,17 | 163113,33 |          | 13131,32 | -3033,63 | 13/113,33 | 101/31,32 | 20340,17 | 163113,33 |

|      |       | 0,00 | 0,00 | 1043,83 | 1162,42 | 925,24  | 97169,59  | 19429,97 | 174869,72 |          | 75169,59 | -2570,03 | 152869,72 | 97169,59  | 19429,97 | 174869,72 |
|------|-------|------|------|---------|---------|---------|-----------|----------|-----------|----------|----------|----------|-----------|-----------|----------|-----------|
|      |       | 0,10 | 1,26 | 1068,47 | 1182,13 | 954,80  | 100274,55 | 20050,84 | 180457,53 |          | 78274,55 | -1949,16 | 158457,53 | 100274,55 | 20050,84 | 180457,53 |
|      |       | 0,21 | 2,51 | 1092,49 | 1201,35 | 983,63  | 103301,84 | 20656,17 | 185905,54 |          | 81301,84 | -1343,83 | 163905,54 | 103301,84 | 20656,17 | 185905,54 |
|      | 16,00 | 0,31 | 3,77 | 1115,91 | 1220,09 | 1011,73 | 106253,60 | 21246,40 | 191217,63 | 22000,00 | 84253,60 | -753,60  | 169217,63 | 106253,60 | 21246,40 | 191217,63 |
|      |       | 0,33 | 3,94 | 1118,43 | 1222,10 | 1014,75 | 106570,55 | 21309,78 | 191788,02 |          | 84570,55 | -690,22  | 169788,02 | 106570,55 | 21309,78 | 191788,02 |
|      |       | 0,42 | 5,03 | 1098,03 | 1205,79 | 990,28  | 104000,52 | 20795,88 | 187162,90 |          | 82000,52 | -1204,12 | 165162,90 | 104000,52 | 20795,88 | 187162,90 |
|      |       | 0,52 | 6,28 | 1075,53 | 1187,78 | 963,27  | 101164,09 | 20228,71 | 182058,37 |          | 79164,09 | -1771,29 | 160058,37 | 101164,09 | 20228,71 | 182058,37 |
|      |       | 0,00 | 0,00 | 1040,42 | 1159,70 | 921,14  | 96739,86  | 19344,04 | 174096,37 |          | 74739,86 | -2655,96 | 152096,37 | 96739,86  | 19344,04 | 174096,37 |
|      |       | 0,10 | 1,26 | 1064,99 | 1179,35 | 950,63  | 99836,16  | 19963,18 | 179668,58 |          | 77836,16 | -2036,82 | 157668,58 | 99836,16  | 19963,18 | 179668,58 |
|      |       | 0,21 | 2,51 | 1088,94 | 1198,52 | 979,37  | 102855,04 | 20566,83 | 185101,47 |          | 80855,04 | -1433,17 | 163101,47 | 102855,04 | 20566,83 | 185101,47 |
| 6,00 | 17,00 | 0,31 | 3,77 | 1112,30 | 1217,20 | 1007,40 | 105798,66 | 21155,43 | 190398,90 | 22000,00 | 83798,66 | -844,57  | 168398,90 | 105798,66 | 21155,43 | 190398,90 |
|      |       | 0,33 | 3,94 | 1114,81 | 1219,21 | 1010,41 | 106114,73 | 21218,64 | 190967,72 |          | 84114,73 | -781,36  | 168967,72 | 106114,73 | 21218,64 | 190967,72 |
|      |       | 0,42 | 5,03 | 1094,47 | 1202,94 | 986,01  | 103551,79 | 20706,15 | 186355,36 |          | 81551,79 | -1293,85 | 164355,36 | 103551,79 | 20706,15 | 186355,36 |
|      |       | 0,52 | 6,28 | 1072,03 | 1184,98 | 959,07  | 100723,22 | 20140,55 | 181264,97 |          | 78723,22 | -1859,45 | 159264,97 | 100723,22 | 20140,55 | 181264,97 |
|      |       | 0,00 | 0,00 | 1038,15 | 1157,88 | 918,42  | 96453,24  | 19286,73 | 173580,56 |          | 74453,24 | -2713,27 | 151580,56 | 96453,24  | 19286,73 | 173580,56 |
|      |       | 0,10 | 1,26 | 1062,67 | 1177,50 | 947,84  | 99543,76  | 19904,71 | 179142,36 |          | 77543,76 | -2095,29 | 157142,36 | 99543,76  | 19904,71 | 179142,36 |
|      |       | 0,21 | 2,51 | 1086,58 | 1196,62 | 976,54  | 102557,04 | 20507,24 | 184565,16 |          | 80557,04 | -1492,76 | 162565,16 | 102557,04 | 20507,24 | 184565,16 |
|      | 18,00 | 0,31 | 3,77 | 1109,89 | 1215,27 | 1004,51 | 105495,21 | 21094,76 | 189852,80 | 22000,00 | 83495,21 | -905,24  | 167852,80 | 105495,21 | 21094,76 | 189852,80 |
|      |       | 0,33 | 3,94 | 1112,40 | 1217,28 | 1007,52 | 105810,70 | 21157,84 | 190420,57 |          | 83810,70 | -842,16  | 168420,57 | 105810,70 | 21157,84 | 190420,57 |
|      |       | 0,42 | 5,03 | 1092,10 | 1201,04 | 983,16  | 103252,49 | 20646,30 | 185816,73 |          | 81252,49 | -1353,70 | 163816,73 | 103252,49 | 20646,30 | 185816,73 |
|      |       | 0,52 | 6,28 | 1069,69 | 1183,12 | 956,27  | 100429,17 | 20081,75 | 180735,78 |          | 78429,17 | -1918,25 | 158735,78 | 100429,17 | 20081,75 | 180735,78 |

|       |       |      |          | vérific   | ation de la | comb 4    | vérific   | ation de la | comb 5    | vérific | ation de la | comb 6    | vérific   | ation de la | comb 7    |
|-------|-------|------|----------|-----------|-------------|-----------|-----------|-------------|-----------|---------|-------------|-----------|-----------|-------------|-----------|
|       |       |      |          | effort    | effort      | effort    | effort    | effort      | effort    | effort  | effort      | effort    | effort    | effort      | effort    |
|       | N°    |      |          | au        | agissant    | agissant  | au        | agissant    | agissant  | au      | agissant    | agissant  | au        | agissant    | agissant  |
| bande | du    | α    | X        | droit     | sur la      | sur la    | droit     | sur la      | sur la    | droit   | sur la      | sur la    | droit     | sur la      | sur la    |
|       | câble |      |          | du        | fibre       | fibre     | du        | fibre       | fibre     | du      | fibre       | fibre     | du        | fibre       | fibre     |
|       |       | 0.00 | 0.00     | câble     | intérieur   | extérieur | câble     | intérieur   | extérieur | câble   | intérieur   | extérieur | câble     | intérieur   | extérieur |
|       |       | 0,00 |          | vérifié   | vérifié     | vérifié   | vérifié   | vérifié     | vérifié   | vérifié | vérifié     | vérifié   | vérifié   | vérifié     | vérifié   |
|       |       | 0,10 | <u> </u> | vérifié   | vérifié     | vérifié   | vérifié   | vérifié     | vérifié   | vérifié | vérifié     | vérifié   | vérifié   | vérifié     | vérifié   |
|       |       | 0,21 | 2,51     | vérifié   | vérifié     | vérifié   | vérifié   | vérifié     | vérifié   | vérifié | vérifié     | vérifié   | vérifié   | vérifié     | vérifié   |
|       | 1,00  | 0,31 | 3,77     | vérifié   | vérifié     | vérifié   | vérifié   | vérifié     | vérifié   | vérifié | vérifié     | vérifié   | vérifié   | vérifié     | vérifié   |
|       |       | 0,33 | 3,94     | vérifié   | vérifié     | vérifié   | vérifié   | vérifié     | vérifié   | vérifié | vérifié     | vérifié   | vérifié   | vérifié     | vérifié   |
|       |       | 0,42 | 5,03     | vérifié   | vérifié     | vérifié   | vérifié   | vérifié     | vérifié   | vérifié | vérifié     | vérifié   | vérifié   | vérifié     | vérifié   |
|       |       | 0,52 | 6,28     | vérifié   | vérifié     | vérifié   | vérifié   | vérifié     | vérifié   | vérifié | vérifié     | vérifié   | vérifié   | vérifié     | vérifié   |
|       |       | 0,00 | 0,00     | vérifié   | vérifié     | vérifié   | vérifié   | vérifié     | vérifié   | vérifié | vérifié     | vérifié   | vérifié   | vérifié     | vérifié   |
|       |       | 0,10 | 1,26     | vérifié   | vérifié     | vérifié   | vérifié   | vérifié     | vérifié   | vérifié | vérifié     | vérifié   | vérifié   | vérifié     | vérifié   |
|       |       | 0,21 | 2,51     | vérifié   | vérifié     | vérifié   | vérifié   | vérifié     | vérifié   | vérifié | vérifié     | vérifié   | vérifié   | vérifié     | vérifié   |
| 1,00  | 2,00  | 0,31 | 3,77     | vérifié   | vérifié     | vérifié   | vérifié   | vérifié     | vérifié   | vérifié | vérifié     | vérifié   | vérifié   | vérifié     | vérifié   |
|       |       | 0,33 | 3,94     | vérifié   | vérifié     | vérifié   | vérifié   | vérifié     | vérifié   | vérifié | vérifié     | vérifié   | vérifié   | vérifié     | vérifié   |
|       |       | 0,42 | 5,03     | vérifié   | vérifié     | vérifié   | vérifié   | vérifié     | vérifié   | vérifié | vérifié     | vérifié   | vérifié   | vérifié     | vérifié   |
|       |       | 0,52 | 6,28     | vérifié   | vérifié     | vérifié   | vérifié   | vérifié     | vérifié   | vérifié | vérifié     | vérifié   | vérifié   | vérifié     | vérifié   |
|       |       | 0,00 | 0,00     | vérifié   | vérifié     | vérifié   | vérifié   | vérifié     | vérifié   | vérifié | vérifié     | vérifié   | vérifié   | vérifié     | vérifié   |
|       |       | 0,10 | 1,26     | vérifié   | vérifié     | vérifié   | vérifié   | vérifié     | vérifié   | vérifié | vérifié     | vérifié   | vérifié   | vérifié     | vérifié   |
|       |       | 0,21 | 2,51     | vérifié   | vérifié     | vérifié   | vérifié   | vérifié     | vérifié   | vérifié | vérifié     | vérifié   | vérifié   | vérifié     | vérifié   |
|       | 3,00  | 0,31 | 3,77     | vérifié   | vérifié     | vérifié   | vérifié   | vérifié     | vérifié   | vérifié | vérifié     | vérifié   | vérifié   | vérifié     | vérifié   |
|       | ,     | 0,33 | 3,94     | vérifié   | vérifié     | vérifié   | vérifié   | vérifié     | vérifié   | vérifié | vérifié     | vérifié   | vérifié   | vérifié     | vérifié   |
|       |       | 0,42 |          | vérifié   | vérifié     | vérifié   | vérifié   | vérifié     | vérifié   | vérifié | vérifié     | vérifié   | vérifié   | vérifié     | vérifié   |
|       |       | 0,52 |          |           | vérifié     | vérifié   | vérifié   | vérifié     | vérifié   | vérifié | vérifié     | vérifié   | vérifié   | vérifié     | vérifié   |
|       |       | 0,00 |          | vérifié   | vérifié     | vérifié   | vérifié   | vérifié     | vérifié   | vérifié | vérifié     | vérifié   | vérifié   | vérifié     | vérifié   |
| 2,00  | 4,00  | 0,10 |          | vérifié   |             | vérifié   | vérifié   | vérifié     | vérifié   | vérifié | vérifié     | vérifié   | vérifié   | vérifié     | vérifié   |
|       |       | 0,10 | 1,20     | , 01 1110 | , crime     | , CI IIIC | , 01 1110 | , 011110    | , 011110  | , crime | , crime     | , 011110  | , 01 1110 | , crime     | , crime   |

|      |      | 0,21 | 2,51 | vérifié |
|------|------|------|------|---------|---------|---------|---------|---------|---------|---------|---------|---------|---------|---------|---------|
|      |      | 0,31 | 3,77 | vérifié |
|      |      | 0,33 | 3,94 | vérifié |
|      |      | 0,42 | 5,03 | vérifié |
|      |      | 0,52 | 6,28 | vérifié |
|      |      | 0,00 | 0,00 | vérifié |
|      |      | 0,10 | 1,26 | vérifié |
|      |      | 0,21 | 2,51 | vérifié |
|      | 5,00 | 0,31 | 3,77 | vérifié |
|      |      | 0,33 | 3,94 | vérifié |
|      |      | 0,42 | 5,03 | vérifié |
|      |      | 0,52 | 6,28 | vérifié |
|      |      | 0,00 | 0,00 | vérifié |
|      |      | 0,10 | 1,26 | vérifié |
|      |      | 0,21 | 2,51 | vérifié |
|      | 6,00 | 0,31 | 3,77 | vérifié |
|      |      | 0,33 | 3,94 | vérifié |
|      |      | 0,42 | 5,03 | vérifié |
|      |      | 0,52 | 6,28 | vérifié |
|      |      | 0,00 | 0,00 | vérifié |
|      |      | 0,10 | 1,26 | vérifié |
|      |      | 0,21 | 2,51 | vérifié |
|      | 7,00 | 0,31 | 3,77 | vérifié |
| 3,00 |      | 0,33 | 3,94 | vérifié |
|      |      | 0,42 | 5,03 | vérifié |
|      |      | 0,52 | 6,28 | vérifié |
|      | 8,00 | 0,00 | 0,00 | vérifié |
|      | 0,00 | 0,10 | 1,26 | vérifié |

|      |       | 0,21 | 2,51 | vérifié |
|------|-------|------|------|---------|---------|---------|---------|---------|---------|---------|---------|---------|---------|---------|---------|
|      |       | 0,31 | 3,77 | vérifié |
|      |       | 0,33 | 3,94 | vérifié |
|      |       | 0,42 | 5,03 | vérifié |
|      |       | 0,52 | 6,28 | vérifié |
|      |       | 0,00 | 0,00 | vérifié |
|      |       | 0,10 | 1,26 | vérifié |
|      |       | 0,21 | 2,51 | vérifié |
|      | 9,00  | 0,31 | 3,77 | vérifié |
|      |       | 0,33 | 3,94 | vérifié |
|      |       | 0,42 | 5,03 | vérifié |
|      |       | 0,52 | 6,28 | vérifié |
|      |       | 0,00 | 0,00 | vérifié |
|      |       | 0,10 | 1,26 | vérifié |
|      |       | 0,21 | 2,51 | vérifié |
|      | 10,00 | 0,31 | 3,77 | vérifié |
|      |       | 0,33 | 3,94 | vérifié |
|      |       | 0,42 | 5,03 | vérifié |
|      |       | 0,52 | 6,28 | vérifié |
|      |       | 0,00 | 0,00 | vérifié |
| 4,00 |       | 0,10 | 1,26 | vérifié |
|      |       | 0,21 | 2,51 | vérifié |
|      | 11,00 | 0,31 | 3,77 | vérifié |
|      |       | 0,33 | 3,94 | vérifié |
|      |       | 0,42 | 5,03 | vérifié |
|      |       | 0,52 | 6,28 | vérifié |
|      |       | 0,00 | 0,00 | vérifié |
|      | 12,00 | 0,10 | 1,26 | vérifié |
|      |       | 0,21 | 2,51 | vérifié |

|      |       | 0,31 | 3,77 | vérifié |
|------|-------|------|------|---------|---------|---------|---------|---------|---------|---------|---------|---------|---------|---------|---------|
|      |       | 0,33 | 3,94 | vérifié |
|      |       | 0,42 | 5,03 | vérifié |
|      |       | 0,52 | 6,28 | vérifié |
|      |       | 0,00 | 0,00 | vérifié |
|      |       | 0,10 | 1,26 | vérifié |
|      |       | 0,21 | 2,51 | vérifié |
|      | 13,00 | 0,31 | 3,77 | vérifié |
|      |       | 0,33 | 3,94 | vérifié |
|      |       | 0,42 | 5,03 | vérifié |
|      |       | 0,52 | 6,28 | vérifié |
|      | 14,00 | 0,00 | 0,00 | vérifié |
|      |       | 0,10 | 1,26 | vérifié |
|      |       | 0,21 | 2,51 | vérifié |
| 5,00 |       | 0,31 | 3,77 | vérifié |
|      |       | 0,33 | 3,94 | vérifié |
|      |       | 0,42 | 5,03 | vérifié |
|      |       | 0,52 | 6,28 | vérifié |
|      |       | 0,00 | 0,00 | vérifié |
|      |       | 0,10 | 1,26 | vérifié |
|      |       | 0,21 | 2,51 | vérifié |
|      | 15,00 | 0,31 | 3,77 | vérifié |
|      |       | 0,33 | 3,94 | vérifié |
|      |       | 0,42 | 5,03 | vérifié |
|      |       | 0,52 | 6,28 | vérifié |
|      |       | 0,00 | 0,00 | vérifié |
| 6,00 | 16,00 | 0,10 | 1,26 | vérifié |
| 0,00 |       | 0,21 | 2,51 | vérifié |
|      |       | 0,31 | 3,77 | vérifié |

|       | 0,33 | 3,94 | vérifié |
|-------|------|------|---------|---------|---------|---------|---------|---------|---------|---------|---------|---------|---------|---------|
|       | 0,42 | 5,03 | vérifié |
|       | 0,52 | 6,28 | vérifié |
|       | 0,00 | 0,00 | vérifié |
|       | 0,10 | 1,26 | vérifié |
|       | 0,21 | 2,51 | vérifié |
| 17,00 | 0,31 | 3,77 | vérifié |
|       | 0,33 | 3,94 | vérifié |
|       | 0,42 | 5,03 | vérifié |
|       | 0,52 | 6,28 | vérifié |
|       | 0,00 | 0,00 | vérifié |
|       | 0,10 | 1,26 | vérifié |
|       | 0,21 | 2,51 | vérifié |
| 18,00 | 0,31 | 3,77 | vérifié |
|       | 0,33 | 3,94 | vérifié |
|       | 0,42 | 5,03 | vérifié |
|       | 0,52 | 6,28 | vérifié |

### Récapitulatif des résultats de corrosion pour $i_{corr} = 0.1 \ \mu A/cm^2$

| Instant   Igannée   1   100   1   100   1   1   1   1   1   | _         |           |          |                                       | Section                               | Effort limite |          |
|---|-----------|-----------|----------|---------------------------------------|---------------------------------------|---------------|----------|
| 0,00  | Instant t | instant t | n        | poids a l'instant t                   |                                       |               | test     |
| 1,00  |           | ~ -       |          | _                                     |                                       |               |          |
| 2,00         730,00         26,07         8,17         1046,66         1946780,21         sécurité           3,00         1095,00         39,11         8,16         1044,99         1943677,75         sécurité           4,00         1460,00         52,14         8,15         1043,32         1940580,24         sécurité           5,00         1825,00         65,18         8,14         1041,66         1937487,65         sécurité           6,00         2190,00         78,21         8,12         1040,00         1934400,00         sécurité           8,00         2290,00         104,29         8,10         1036,69         192839,45         sécurité           9,00         3285,00         117,32         8,08         1035,04         1925166,54         sécurité           10,00         3650,00         130,36         8,07         1033,39         1922098,52         sécurité           11,00         4015,00         143,39         8,06         1031,74         1919035,39         sécurité           12,00         4380,00         156,43         8,05         1030,10         1915977,15         sécurité           13,00         4745,00         169,46         8,03         1028,45 <t< td=""><td></td><td></td><td></td><td>· · · · · · · · · · · · · · · · · · ·</td><td>· · · · · · · · · · · · · · · · · · ·</td><td></td><td></td></t<>  |           |           |          | · · · · · · · · · · · · · · · · · · · | · · · · · · · · · · · · · · · · · · · |               |          |
| 3,00 1095,00 39,11 8,16 1044,99 1943677,75 sécurité 4,00 1460,00 52,14 8,15 1043,32 1940580,24 sécurité 5,00 1825,00 65,18 8,14 1041,66 1937487,65 sécurité 6,00 2190,00 78,21 8,12 1040,00 1934400,00 sécurité 7,00 2555,00 91,25 8,11 1038,34 1931317,27 sécurité 8,00 2920,00 104,29 8,10 1036,69 1928239,45 sécurité 9,00 3285,00 117,32 8,08 1035,04 1925166,54 sécurité 10,00 3650,00 130,36 8,07 1033,39 1922098,52 sécurité 11,00 4015,00 143,39 8,06 1031,74 1919035,39 sécurité 12,00 4380,00 156,43 8,05 1030,10 1915977,15 sécurité 13,00 4745,00 169,46 8,03 1028,45 1912923,78 sécurité 14,00 5110,00 182,50 8,02 1026,81 1909875,27 sécurité 15,00 5475,00 195,54 8,01 1025,18 1906831,62 sécurité 16,00 5840,00 208,57 7,99 1023,54 1903792,82 sécurité 18,00 6570,00 234,64 7,97 1020,28 189772,75 sécurité 18,00 6650,00 234,64 7,97 1020,28 189772,75 sécurité 19,00 6935,00 247,68 7,96 1018,66 1894705,46 sécurité 20,00 7300,00 260,71 7,94 1017,04 1891685,98 sécurité 22,00 8030,00 286,79 7,99 1013,80 188561,47 sécurité 22,00 8030,00 286,79 7,99 1013,80 188561,47 sécurité 22,00 8760,00 273,75 7,93 1015,41 1888671,32 sécurité 22,00 8760,00 312,86 7,89 1010,57 1879656,14 sécurité 24,00 8760,00 312,86 7,89 1010,57 1879656,14 sécurité 25,00 9490,00 338,93 7,87 1007,35 1873669,93 sécurité 26,00 9490,00 338,93 7,87 1007,35 1873669,93 sécurité 28,00 1025,00 35,00 7,84 1000,54 186762,55 sécurité 28,00 1025,00 378,04 7,83 1002,54 186762,55 sécurité 28,00 1025,00 378,04 7,83 1002,54 186762,55 sécurité 31,00 11315,00 440,11 7,80 999,35 185878,99 sécurité 33,00 110585,00 378,04 7,83 1002,54 186762,55 sécurité 33,00 11050,00 443,21 7,77 994,58 1849915,15 sécurité 33,00 11314,00 469,29 7,74 991,41 1844023,66 sécurité 33,00 1380,00 495,36 7,72 9988,25 1838150,93 sécurité 33,00 13870,00 495,36 7,72 988,25 1838150,93 sécurité | 1,00      | 365,00    | 13,04    | 8,19                                  | 1048,33                               | 1949887,63    | sécurité |
| 4,00  | 2,00      |           | 26,07    | 8,17                                  | 1046,66                               | ·             | sécurité |
| 5,00         1825,00         65,18         8,14         1041,66         1937487,65         sécurité           6,00         2190,00         78,21         8,12         1040,00         1934400,00         sécurité           7,00         2555,00         91,25         8,11         1038,34         1931317,27         sécurité           8,00         2920,00         104,29         8,10         1036,69         1928239,45         sécurité           9,00         3285,00         117,32         8,08         1035,04         1925166,54         sécurité           10,00         3650,00         130,36         8,07         1033,39         1922098,52         sécurité           11,00         4015,00         143,39         8,06         1031,74         1919035,39         sécurité           12,00         4380,00         156,43         8,05         1030,10         1915977,15         sécurité           13,00         4745,00         169,46         8,03         1028,45         1912923,78         sécurité           14,00         5110,00         182,50         8,02         1026,81         1909875,27         sécurité           15,00         5475,00         195,54         8,01         1025,18   | 3,00      | 1095,00   | 39,11    | 8,16                                  | 1044,99                               | 1943677,75    | sécurité |
| 6,00         2190,00         78,21         8,12         1040,00         1934400,00         sécurité           7,00         2555,00         91,25         8,11         1038,34         1931317,27         sécurité           8,00         2920,00         104,29         8,10         1036,69         1928239,45         sécurité           9,00         3285,00         117,32         8,08         1035,04         1925166,54         sécurité           10,00         3650,00         130,36         8,07         1033,39         1922098,52         sécurité           11,00         4015,00         143,39         8,06         1031,74         1919035,39         sécurité           12,00         4380,00         156,43         8,05         1030,10         1915977,15         sécurité           13,00         4745,00         169,46         8,03         1028,45         1912923,78         sécurité           14,00         5110,00         182,50         8,02         1026,81         1909875,27         sécurité           15,00         5475,00         195,54         8,01         1025,18         1906831,62         sécurité           17,00         6935,00         221,61         7,98         1021,91   | 4,00      | 1460,00   | 52,14    | 8,15                                  | 1043,32                               | 1940580,24    | sécurité |
| 7,00         2555,00         91,25         8,11         1038,34         1931317,27         sécurité           8,00         2920,00         104,29         8,10         1036,69         1928239,45         sécurité           9,00         3285,00         117,32         8,08         1035,04         1925166,54         sécurité           10,00         3650,00         130,36         8,07         1033,39         1922098,52         sécurité           11,00         4015,00         143,39         8,06         1031,74         1919035,39         sécurité           12,00         4380,00         156,43         8,05         1030,10         1915977,15         sécurité           13,00         4745,00         169,46         8,03         1028,45         1912923,78         sécurité           15,00         5475,00         195,54         8,01         1025,18         1906831,62         sécurité           15,00         5475,00         195,54         8,01         1025,18         1906831,62         sécurité           16,00         5840,00         208,57         7,99         1023,54         190,772,82         sécurité           18,00         6570,00         234,64         7,97         1020,28   | 5,00      | 1825,00   | 65,18    | 8,14                                  | 1041,66                               | 1937487,65    | sécurité |
| 8,00 2920,00 104,29 8,10 1036,69 1928239,45 sécurité 9,00 3285,00 117,32 8,08 1035,04 1925166,54 sécurité 10,00 3650,00 130,36 8,07 1033,39 1922098,52 sécurité 11,00 4015,00 143,39 8,06 1031,74 1919035,39 sécurité 12,00 4380,00 156,43 8,05 1030,10 1915977,15 sécurité 13,00 4745,00 169,46 8,03 1028,45 1912923,78 sécurité 14,00 5110,00 182,50 8,02 1026,81 1909875,27 sécurité 15,00 5475,00 195,54 8,01 1025,18 1906831,62 sécurité 16,00 5840,00 208,57 7,99 1023,54 1903792,82 sécurité 17,00 6205,00 221,61 7,98 1021,91 1900758,87 sécurité 18,00 6570,00 234,64 7,97 1020,28 1897729,75 sécurité 19,00 6935,00 247,68 7,96 1018,66 1894705,46 sécurité 20,00 7300,00 260,71 7,94 1017,04 1891685,98 sécurité 21,00 7665,00 273,75 7,93 1015,41 1888671,32 sécurité 22,00 8030,00 286,79 7,92 1013,80 1885661,47 sécurité 23,00 8395,00 299,82 7,91 1012,18 1882656,41 sécurité 24,00 8760,00 312,86 7,89 1010,57 1879656,14 sécurité 25,00 9125,00 325,89 7,88 1008,96 1876660,65 sécurité 25,00 9490,00 338,93 7,87 1007,35 1873669,93 sécurité 27,00 9855,00 351,96 7,85 1005,74 1870683,98 sécurité 29,00 10585,00 378,04 7,83 1002,54 1864726,35 sécurité 30,00 11950,00 391,07 7,82 1000,94 1861754,65 sécurité 31,00 11315,00 404,11 7,80 999,35 1858787,99 sécurité 31,00 112045,00 430,18 7,78 997,76 1852867,94 sécurité 33,00 12045,00 443,21 7,77 994,58 1849915,15 sécurité 34,00 12410,00 443,21 7,77 994,58 1849915,15 sécurité 35,00 1375,00 495,36 7,72 988,25 1838150,93 sécurité 36,00 13870,00 495,36 7,72 988,25 1838150,93 sécurité   | 6,00      | 2190,00   | 78,21    | 8,12                                  | 1040,00                               | 1934400,00    | sécurité |
| 9,00 3285,00 117,32 8,08 1035,04 1925166,54 sécurité 10,00 3650,00 130,36 8,07 1033,39 1922098,52 sécurité 11,00 4015,00 143,39 8,06 1031,74 1919035,39 sécurité 12,00 4380,00 156,43 8,05 1030,10 1915977,15 sécurité 13,00 4745,00 169,46 8,03 1028,45 1912923,78 sécurité 14,00 5110,00 182,50 8,02 1026,81 1909875,27 sécurité 15,00 5475,00 195,54 8,01 1025,18 1906831,62 sécurité 16,00 5840,00 208,57 7,99 1023,54 1903792,82 sécurité 18,00 6570,00 221,61 7,98 1021,91 1900758,87 sécurité 18,00 6570,00 234,64 7,97 1020,28 1897729,75 sécurité 19,00 6935,00 247,68 7,96 1018,66 1894705,46 sécurité 20,00 7300,00 260,71 7,94 1017,04 1891685,98 sécurité 21,00 7665,00 273,75 7,93 1015,41 1888671,32 sécurité 22,00 8030,00 286,79 7,92 1013,80 1885661,47 sécurité 24,00 8760,00 312,86 7,89 1010,18 1879656,14 sécurité 24,00 8760,00 312,86 7,89 1010,57 1879656,14 sécurité 25,00 9125,00 325,89 7,88 1008,96 1876660,65 sécurité 25,00 9490,00 338,93 7,87 1007,35 1873669,93 sécurité 26,00 9490,00 338,93 7,87 1007,35 1873669,93 sécurité 27,00 9855,00 351,96 7,85 1005,74 1870683,98 sécurité 29,00 10585,00 378,04 7,83 1002,54 1860702,79 sécurité 30,00 10950,00 391,07 7,82 1000,94 1861754,65 sécurité 31,00 11315,00 444,11 7,80 999,35 1858787,09 sécurité 32,00 11680,00 417,14 7,79 997,76 1852867,94 sécurité 33,00 12045,00 430,18 7,78 994,58 1849915,15 sécurité 34,00 12410,00 443,21 7,77 994,58 1849051,51 sécurité 35,00 12775,00 456,25 7,76 992,99 1846967,05 sécurité 36,00 13140,00 449,29 7,74 991,41 1844023,66 sécurité 37,00 13505,00 482,32 7,73 989,83 1841084,95 sécurité 37,00 13505,00 495,36 7,72 988,25 1838150,93 sécurité  | 7,00      | 2555,00   | 91,25    | 8,11                                  | 1038,34                               | 1931317,27    | sécurité |
| 10,00   3650,00   130,36   8,07   1033,39   1922098,52   sécurité   |           |           |          | · ·                                   | · ·                                   | · ·           |          |
| 11,00         4015,00         143,39         8,06         1031,74         1919035,39         sécurité           12,00         4380,00         156,43         8,05         1030,10         1915977,15         sécurité           13,00         4745,00         169,46         8,03         1028,45         1912923,78         sécurité           14,00         5110,00         182,50         8,02         1026,81         1909875,27         sécurité           15,00         5475,00         195,54         8,01         1025,18         190875,27         sécurité           16,00         5840,00         208,57         7,99         1023,54         1903792,82         sécurité           17,00         6205,00         221,61         7,98         1021,91         1900758,87         sécurité           18,00         6570,00         234,64         7,97         1020,28         1897729,75         sécurité           19,00         6935,00         247,68         7,96         1018,66         1894705,46         sécurité           20,00         7300,00         260,71         7,94         1017,04         1891685,98         sécurité           21,00         7665,00         273,75         7,93         1015,41 <td></td> <td>1</td> <td></td> <td>· · · · · · · · · · · · · · · · · · ·</td> <td></td> <td></td> <td></td>  |           | 1         |          | · · · · · · · · · · · · · · · · · · · |                                       |               |          |
| 12,00   |           |           |          | · · · · · · · · · · · · · · · · · · · |                                       |               |          |
| 13,00         4745,00         169,46         8,03         1028,45         1912923,78         sécurité           14,00         5110,00         182,50         8,02         1026,81         1909875,27         sécurité           15,00         5475,00         195,54         8,01         1025,18         1906831,62         sécurité           16,00         5840,00         208,57         7,99         1023,54         1903792,82         sécurité           17,00         6205,00         221,61         7,98         1021,91         1900758,87         sécurité           18,00         6570,00         234,64         7,97         1020,28         1897729,75         sécurité           19,00         6935,00         247,68         7,96         1018,66         1894705,46         sécurité           20,00         7300,00         260,71         7,94         1017,04         1891685,98         sécurité           21,00         7665,00         273,75         7,93         1015,41         1888671,32         sécurité           22,00         8030,00         286,79         7,92         1013,80         1885661,47         sécurité           24,00         8760,00         312,86         7,89         1010,57 </td <td>-</td> <td></td> <td></td> <td>· · · · · · · · · · · · · · · · · · ·</td> <td>·</td> <td>· ·</td> <td></td>  | -         |           |          | · · · · · · · · · · · · · · · · · · · | ·                                     | · ·           |          |
| 14,00         5110,00         182,50         8,02         1026,81         1909875,27         sécurité           15,00         5475,00         195,54         8,01         1025,18         1906831,62         sécurité           16,00         5840,00         208,57         7,99         1023,54         1903792,82         sécurité           17,00         6205,00         221,61         7,98         1021,91         1900758,87         sécurité           18,00         6570,00         234,64         7,97         1020,28         1897729,75         sécurité           19,00         6935,00         247,68         7,96         1018,66         1894705,46         sécurité           20,00         7300,00         260,71         7,94         1017,04         1891685,98         sécurité           21,00         7665,00         273,75         7,93         1015,41         188671,32         sécurité           22,00         8030,00         286,79         7,92         1013,80         1885661,47         sécurité           23,00         8760,00         312,86         7,89         1010,57         1879656,41         sécurité           25,00         9125,00         325,89         7,88         1008,96 <td></td> <td></td> <td>156,43</td> <td></td> <td></td> <td></td> <td>sécurité</td>  |           |           | 156,43   |                                       |                                       |               | sécurité |
| 15,00         5475,00         195,54         8,01         1025,18         1906831,62         sécurité           16,00         5840,00         208,57         7,99         1023,54         1903792,82         sécurité           17,00         6205,00         221,61         7,98         1021,91         1900758,87         sécurité           18,00         6570,00         234,64         7,97         1020,28         1897729,75         sécurité           19,00         6935,00         247,68         7,96         1018,66         1894705,46         sécurité           20,00         7300,00         260,71         7,94         1017,04         1891685,98         sécurité           21,00         7665,00         273,75         7,93         1015,41         1888671,32         sécurité           22,00         8030,00         286,79         7,92         1013,80         1885661,47         sécurité           23,00         8395,00         299,82         7,91         1012,18         1882656,41         sécurité           24,00         8760,00         312,86         7,89         1010,57         1879656,14         sécurité           25,00         9125,00         338,93         7,87         1007,35 </td <td>13,00</td> <td>4745,00</td> <td>169,46</td> <td>8,03</td> <td>1028,45</td> <td>1912923,78</td> <td>sécurité</td>   | 13,00     | 4745,00   | 169,46   | 8,03                                  | 1028,45                               | 1912923,78    | sécurité |
| 16,00         5840,00         208,57         7,99         1023,54         1903792,82         sécurité           17,00         6205,00         221,61         7,98         1021,91         1900758,87         sécurité           18,00         6570,00         234,64         7,97         1020,28         1897729,75         sécurité           19,00         6935,00         247,68         7,96         1018,66         1894705,46         sécurité           20,00         7300,00         260,71         7,94         1017,04         1891685,98         sécurité           21,00         7665,00         273,75         7,93         1015,41         1888671,32         sécurité           22,00         8030,00         286,79         7,92         1013,80         1885661,47         sécurité           23,00         8395,00         299,82         7,91         1012,18         1882656,41         sécurité           24,00         8760,00         312,86         7,89         1010,57         1879656,14         sécurité           25,00         9125,00         325,89         7,88         1008,96         1876660,65         sécurité           26,00         9490,00         338,93         7,87         1007,35 </td <td>14,00</td> <td>5110,00</td> <td>182,50</td> <td>8,02</td> <td>1026,81</td> <td>1909875,27</td> <td>sécurité</td>   | 14,00     | 5110,00   | 182,50   | 8,02                                  | 1026,81                               | 1909875,27    | sécurité |
| 17,00         6205,00         221,61         7,98         1021,91         1900758,87         sécurité           18,00         6570,00         234,64         7,97         1020,28         1897729,75         sécurité           19,00         6935,00         247,68         7,96         1018,66         1894705,46         sécurité           20,00         7300,00         260,71         7,94         1017,04         1891685,98         sécurité           21,00         7665,00         273,75         7,93         1015,41         1888671,32         sécurité           22,00         8030,00         286,79         7,92         1013,80         1885661,47         sécurité           23,00         8395,00         299,82         7,91         1012,18         1882656,41         sécurité           24,00         8760,00         312,86         7,89         1010,57         1879656,14         sécurité           25,00         9125,00         325,89         7,88         1008,96         1876660,65         sécurité           26,00         9490,00         338,93         7,87         1007,35         1873669,93         sécurité           27,00         9855,00         351,96         7,85         1005,74 </td <td>15,00</td> <td>5475,00</td> <td>195,54</td> <td>8,01</td> <td>1025,18</td> <td>1906831,62</td> <td>sécurité</td>   | 15,00     | 5475,00   | 195,54   | 8,01                                  | 1025,18                               | 1906831,62    | sécurité |
| 18,00         6570,00         234,64         7,97         1020,28         1897729,75         sécurité           19,00         6935,00         247,68         7,96         1018,66         1894705,46         sécurité           20,00         7300,00         260,71         7,94         1017,04         1891685,98         sécurité           21,00         7665,00         273,75         7,93         1015,41         1888671,32         sécurité           22,00         8030,00         286,79         7,92         1013,80         1885661,47         sécurité           23,00         8395,00         299,82         7,91         1012,18         1882656,41         sécurité           24,00         8760,00         312,86         7,89         1010,57         1879656,14         sécurité           25,00         9125,00         325,89         7,88         1008,96         1876660,65         sécurité           26,00         9490,00         338,93         7,87         1007,35         1873669,93         sécurité           27,00         9855,00         351,96         7,85         1005,74         1870683,98         sécurité           28,00         10220,00         365,00         7,84         1004,14<   | 16,00     | 5840,00   | 208,57   | 7,99                                  | 1023,54                               | 1903792,82    | sécurité |
| 19,00         6935,00         247,68         7,96         1018,66         1894705,46         sécurité           20,00         7300,00         260,71         7,94         1017,04         1891685,98         sécurité           21,00         7665,00         273,75         7,93         1015,41         1888671,32         sécurité           22,00         8030,00         286,79         7,92         1013,80         1885661,47         sécurité           23,00         8395,00         299,82         7,91         1012,18         1882656,41         sécurité           24,00         8760,00         312,86         7,89         1010,57         1879656,14         sécurité           25,00         9125,00         325,89         7,88         1008,96         1876660,65         sécurité           26,00         9490,00         338,93         7,87         1007,35         1873669,93         sécurité           27,00         9855,00         351,96         7,85         1005,74         1870683,98         sécurité           28,00         10220,00         365,00         7,84         1004,14         1867702,79         sécurité           30,00         10950,00         391,07         7,82         1000,94   | 17,00     | 6205,00   | 221,61   | 7,98                                  | 1021,91                               | 1900758,87    | sécurité |
| 20,00         7300,00         260,71         7,94         1017,04         1891685,98         sécurité           21,00         7665,00         273,75         7,93         1015,41         1888671,32         sécurité           22,00         8030,00         286,79         7,92         1013,80         1885661,47         sécurité           23,00         8395,00         299,82         7,91         1012,18         1882656,41         sécurité           24,00         8760,00         312,86         7,89         1010,57         1879656,14         sécurité           25,00         9125,00         325,89         7,88         1008,96         1876660,65         sécurité           26,00         9490,00         338,93         7,87         1007,35         1873669,93         sécurité           27,00         9855,00         351,96         7,85         1005,74         1870683,98         sécurité           28,00         10220,00         365,00         7,84         1004,14         1867702,79         sécurité           29,00         10585,00         378,04         7,83         1002,54         1864726,35         sécurité           31,00         11950,00         391,07         7,82         1000,9   | 18,00     | 6570,00   | 234,64   | 7,97                                  | 1020,28                               | 1897729,75    | sécurité |
| 21,00         7665,00         273,75         7,93         1015,41         1888671,32         sécurité           22,00         8030,00         286,79         7,92         1013,80         1885661,47         sécurité           23,00         8395,00         299,82         7,91         1012,18         1882656,41         sécurité           24,00         8760,00         312,86         7,89         1010,57         1879656,14         sécurité           25,00         9125,00         325,89         7,88         1008,96         1876660,65         sécurité           26,00         9490,00         338,93         7,87         1007,35         1873669,93         sécurité           27,00         9855,00         351,96         7,85         1005,74         1870683,98         sécurité           28,00         10220,00         365,00         7,84         1004,14         1867702,79         sécurité           29,00         10585,00         378,04         7,83         1002,54         1864726,35         sécurité           30,00         10950,00         391,07         7,82         1000,94         1861754,65         sécurité           32,00         11680,00         417,14         7,79         997,7   | 19,00     | 6935,00   | 247,68   | 7,96                                  | 1018,66                               | 1894705,46    | sécurité |
| 22,00         8030,00         286,79         7,92         1013,80         1885661,47         sécurité           23,00         8395,00         299,82         7,91         1012,18         1882656,41         sécurité           24,00         8760,00         312,86         7,89         1010,57         1879656,14         sécurité           25,00         9125,00         325,89         7,88         1008,96         1876660,65         sécurité           26,00         9490,00         338,93         7,87         1007,35         1873669,93         sécurité           27,00         9855,00         351,96         7,85         1005,74         1870683,98         sécurité           28,00         10220,00         365,00         7,84         1004,14         1867702,79         sécurité           29,00         10585,00         378,04         7,83         1002,54         1864726,35         sécurité           30,00         10950,00         391,07         7,82         1000,94         1861754,65         sécurité           32,00         11680,00         417,14         7,79         997,76         1855825,46         sécurité           34,00         12045,00         430,18         7,78         996,1   | 20,00     | 7300,00   | 260,71   | 7,94                                  | 1017,04                               | 1891685,98    | sécurité |
| 23,00         8395,00         299,82         7,91         1012,18         1882656,41         sécurité           24,00         8760,00         312,86         7,89         1010,57         1879656,14         sécurité           25,00         9125,00         325,89         7,88         1008,96         1876660,65         sécurité           26,00         9490,00         338,93         7,87         1007,35         1873669,93         sécurité           27,00         9855,00         351,96         7,85         1005,74         1870683,98         sécurité           28,00         10220,00         365,00         7,84         1004,14         1867702,79         sécurité           29,00         10585,00         378,04         7,83         1002,54         1864726,35         sécurité           30,00         10950,00         391,07         7,82         1000,94         1861754,65         sécurité           31,00         11315,00         404,11         7,80         999,35         1858787,69         sécurité           32,00         11680,00         417,14         7,79         997,76         1855825,46         sécurité           33,00         12045,00         430,18         7,78         996,1   | 21,00     | 7665,00   | 273,75   | 7,93                                  | 1015,41                               | 1888671,32    | sécurité |
| 24,00         8760,00         312,86         7,89         1010,57         1879656,14         sécurité           25,00         9125,00         325,89         7,88         1008,96         1876660,65         sécurité           26,00         9490,00         338,93         7,87         1007,35         1873669,93         sécurité           27,00         9855,00         351,96         7,85         1005,74         1870683,98         sécurité           28,00         10220,00         365,00         7,84         1004,14         1867702,79         sécurité           29,00         10585,00         378,04         7,83         1002,54         1864726,35         sécurité           30,00         10950,00         391,07         7,82         1000,94         1861754,65         sécurité           31,00         11315,00         404,11         7,80         999,35         1858787,69         sécurité           32,00         11680,00         417,14         7,79         997,76         1855825,46         sécurité           33,00         12045,00         430,18         7,78         996,17         1852867,94         sécurité           35,00         12775,00         456,25         7,76         992,9   | 22,00     | 8030,00   | 286,79   | 7,92                                  | 1013,80                               | 1885661,47    | sécurité |
| 25,00         9125,00         325,89         7,88         1008,96         1876660,65         sécurité           26,00         9490,00         338,93         7,87         1007,35         1873669,93         sécurité           27,00         9855,00         351,96         7,85         1005,74         1870683,98         sécurité           28,00         10220,00         365,00         7,84         1004,14         1867702,79         sécurité           29,00         10585,00         378,04         7,83         1002,54         1864726,35         sécurité           30,00         10950,00         391,07         7,82         1000,94         1861754,65         sécurité           31,00         11315,00         404,11         7,80         999,35         1858787,69         sécurité           32,00         11680,00         417,14         7,79         997,76         1855825,46         sécurité           33,00         12045,00         430,18         7,78         996,17         1852867,94         sécurité           35,00         12775,00         456,25         7,76         992,99         1846967,05         sécurité           37,00         13505,00         482,32         7,73         989,8   | 23,00     | 8395,00   | 299,82   | 7,91                                  | 1012,18                               | 1882656,41    | sécurité |
| 26,00         9490,00         338,93         7,87         1007,35         1873669,93         sécurité           27,00         9855,00         351,96         7,85         1005,74         1870683,98         sécurité           28,00         10220,00         365,00         7,84         1004,14         1867702,79         sécurité           29,00         10585,00         378,04         7,83         1002,54         1864726,35         sécurité           30,00         10950,00         391,07         7,82         1000,94         1861754,65         sécurité           31,00         11315,00         404,11         7,80         999,35         1858787,69         sécurité           32,00         11680,00         417,14         7,79         997,76         1855825,46         sécurité           33,00         12045,00         430,18         7,78         996,17         1852867,94         sécurité           35,00         12410,00         443,21         7,77         994,58         1849915,15         sécurité           35,00         12775,00         456,25         7,76         992,99         1846967,05         sécurité           37,00         13505,00         482,32         7,73         989,8   | 24,00     | 8760,00   | 312,86   | 7,89                                  | 1010,57                               | 1879656,14    | sécurité |
| 27,00         9855,00         351,96         7,85         1005,74         1870683,98         sécurité           28,00         10220,00         365,00         7,84         1004,14         1867702,79         sécurité           29,00         10585,00         378,04         7,83         1002,54         1864726,35         sécurité           30,00         10950,00         391,07         7,82         1000,94         1861754,65         sécurité           31,00         11315,00         404,11         7,80         999,35         1858787,69         sécurité           32,00         11680,00         417,14         7,79         997,76         1855825,46         sécurité           33,00         12045,00         430,18         7,78         996,17         1852867,94         sécurité           34,00         12410,00         443,21         7,77         994,58         1849915,15         sécurité           35,00         12775,00         456,25         7,76         992,99         1846967,05         sécurité           36,00         13140,00         469,29         7,74         991,41         1844023,66         sécurité           37,00         13505,00         482,32         7,73         989,8   | 25,00     | 9125,00   | 325,89   | 7,88                                  | 1008,96                               | 1876660,65    | sécurité |
| 28,00         10220,00         365,00         7,84         1004,14         1867702,79         sécurité           29,00         10585,00         378,04         7,83         1002,54         1864726,35         sécurité           30,00         10950,00         391,07         7,82         1000,94         1861754,65         sécurité           31,00         11315,00         404,11         7,80         999,35         1858787,69         sécurité           32,00         11680,00         417,14         7,79         997,76         1855825,46         sécurité           33,00         12045,00         430,18         7,78         996,17         1852867,94         sécurité           34,00         12410,00         443,21         7,77         994,58         1849915,15         sécurité           35,00         12775,00         456,25         7,76         992,99         1846967,05         sécurité           37,00         13140,00         469,29         7,74         991,41         1844023,66         sécurité           38,00         13870,00         495,36         7,72         988,25         1838150,93         sécurité  | 26,00     | 9490,00   | 338,93   | 7,87                                  | 1007,35                               | 1873669,93    | sécurité |
| 29,00         10585,00         378,04         7,83         1002,54         1864726,35         sécurité           30,00         10950,00         391,07         7,82         1000,94         1861754,65         sécurité           31,00         11315,00         404,11         7,80         999,35         1858787,69         sécurité           32,00         11680,00         417,14         7,79         997,76         1855825,46         sécurité           33,00         12045,00         430,18         7,78         996,17         1852867,94         sécurité           34,00         12410,00         443,21         7,77         994,58         1849915,15         sécurité           35,00         12775,00         456,25         7,76         992,99         1846967,05         sécurité           36,00         13140,00         469,29         7,74         991,41         1844023,66         sécurité           37,00         13505,00         482,32         7,73         989,83         1841084,95         sécurité           38,00         13870,00         495,36         7,72         988,25         1838150,93         sécurité   | 27,00     | 9855,00   | 351,96   | 7,85                                  | 1005,74                               | 1870683,98    | sécurité |
| 30,00         10950,00         391,07         7,82         1000,94         1861754,65         sécurité           31,00         11315,00         404,11         7,80         999,35         1858787,69         sécurité           32,00         11680,00         417,14         7,79         997,76         1855825,46         sécurité           33,00         12045,00         430,18         7,78         996,17         1852867,94         sécurité           34,00         12410,00         443,21         7,77         994,58         1849915,15         sécurité           35,00         12775,00         456,25         7,76         992,99         1846967,05         sécurité           36,00         13140,00         469,29         7,74         991,41         1844023,66         sécurité           37,00         13505,00         482,32         7,73         989,83         1841084,95         sécurité           38,00         13870,00         495,36         7,72         988,25         1838150,93         sécurité  | 28,00     | 10220,00  | 365,00   | 7,84                                  | 1004,14                               | 1867702,79    | sécurité |
| 31,00       11315,00       404,11       7,80       999,35       1858787,69       sécurité         32,00       11680,00       417,14       7,79       997,76       1855825,46       sécurité         33,00       12045,00       430,18       7,78       996,17       1852867,94       sécurité         34,00       12410,00       443,21       7,77       994,58       1849915,15       sécurité         35,00       12775,00       456,25       7,76       992,99       1846967,05       sécurité         36,00       13140,00       469,29       7,74       991,41       1844023,66       sécurité         37,00       13505,00       482,32       7,73       989,83       1841084,95       sécurité         38,00       13870,00       495,36       7,72       988,25       1838150,93       sécurité   | 29,00     | 10585,00  | 378,04   | 7,83                                  | 1002,54                               | 1864726,35    | sécurité |
| 32,00       11680,00       417,14       7,79       997,76       1855825,46       sécurité         33,00       12045,00       430,18       7,78       996,17       1852867,94       sécurité         34,00       12410,00       443,21       7,77       994,58       1849915,15       sécurité         35,00       12775,00       456,25       7,76       992,99       1846967,05       sécurité         36,00       13140,00       469,29       7,74       991,41       1844023,66       sécurité         37,00       13505,00       482,32       7,73       989,83       1841084,95       sécurité         38,00       13870,00       495,36       7,72       988,25       1838150,93       sécurité   | 30,00     | 10950,00  | 391,07   | 7,82                                  | 1000,94                               | 1861754,65    | sécurité |
| 33,00       12045,00       430,18       7,78       996,17       1852867,94       sécurité         34,00       12410,00       443,21       7,77       994,58       1849915,15       sécurité         35,00       12775,00       456,25       7,76       992,99       1846967,05       sécurité         36,00       13140,00       469,29       7,74       991,41       1844023,66       sécurité         37,00       13505,00       482,32       7,73       989,83       1841084,95       sécurité         38,00       13870,00       495,36       7,72       988,25       1838150,93       sécurité   | 31,00     | 11315,00  | 404,11   | 7,80                                  | 999,35                                | 1858787,69    | sécurité |
| 33,00       12045,00       430,18       7,78       996,17       1852867,94       sécurité         34,00       12410,00       443,21       7,77       994,58       1849915,15       sécurité         35,00       12775,00       456,25       7,76       992,99       1846967,05       sécurité         36,00       13140,00       469,29       7,74       991,41       1844023,66       sécurité         37,00       13505,00       482,32       7,73       989,83       1841084,95       sécurité         38,00       13870,00       495,36       7,72       988,25       1838150,93       sécurité   |           | 11680,00  | 417,14   | 7,79                                  | 997,76                                | 1855825,46    |          |
| 34,00       12410,00       443,21       7,77       994,58       1849915,15       sécurité         35,00       12775,00       456,25       7,76       992,99       1846967,05       sécurité         36,00       13140,00       469,29       7,74       991,41       1844023,66       sécurité         37,00       13505,00       482,32       7,73       989,83       1841084,95       sécurité         38,00       13870,00       495,36       7,72       988,25       1838150,93       sécurité   |           |           |          | · · · · · · · · · · · · · · · · · · · |                                       |               |          |
| 35,00       12775,00       456,25       7,76       992,99       1846967,05       sécurité         36,00       13140,00       469,29       7,74       991,41       1844023,66       sécurité         37,00       13505,00       482,32       7,73       989,83       1841084,95       sécurité         38,00       13870,00       495,36       7,72       988,25       1838150,93       sécurité   |           |           | <b>†</b> | -                                     |                                       |               |          |
| 36,00       13140,00       469,29       7,74       991,41       1844023,66       sécurité         37,00       13505,00       482,32       7,73       989,83       1841084,95       sécurité         38,00       13870,00       495,36       7,72       988,25       1838150,93       sécurité   |           |           |          | -                                     |                                       |               |          |
| 37,00       13505,00       482,32       7,73       989,83       1841084,95       sécurité         38,00       13870,00       495,36       7,72       988,25       1838150,93       sécurité   |           |           | -        |                                       |                                       | ·             |          |
| 38,00 13870,00 495,36 7,72 988,25 <b>1838150,93 sécurité</b>  |           |           |          |                                       |                                       | ·             |          |
|   |           |           |          |                                       |                                       |               |          |
| 39,00   14235,00   508,39   7,71   986,68   <b>1835221,59</b>   <b>sécurité</b>   |           | ·         |          |                                       | ·                                     |               |          |

| 40,00 | 14600,00 | 521,43  | 7,69 | 985,11 | 1832296,91 | sécurité |
|-------|----------|---------|------|--------|------------|----------|
| 41,00 | 14965,00 | 534,46  | 7,68 | 983,54 | 1829376,89 | sécurité |
| 42,00 | 15330,00 | 547,50  | 7,67 | 981,97 | 1826461,53 | sécurité |
| 43,00 | 15695,00 | 560,54  | 7,66 | 980,40 | 1823550,81 | sécurité |
| 44,00 | 16060,00 | 573,57  | 7,64 | 978,84 | 1820644,73 | sécurité |
| 45,00 | 16425,00 | 586,61  | 7,63 | 977,28 | 1817743,29 | sécurité |
| 46,00 | 16790,00 | 599,64  | 7,62 | 975,72 | 1814846,46 | sécurité |
| 47,00 | 17155,00 | 612,68  | 7,61 | 974,17 | 1811954,26 | sécurité |
| 48,00 | 17520,00 | 625,71  | 7,60 | 972,62 | 1809066,66 | sécurité |
| 49,00 | 17885,00 | 638,75  | 7,58 | 971,07 | 1806183,66 | sécurité |
| 50,00 | 18250,00 | 651,79  | 7,57 | 969,52 | 1803305,26 | sécurité |
| 51,00 | 18615,00 | 664,82  | 7,56 | 967,97 | 1800431,45 | sécurité |
| 52,00 | 18980,00 | 677,86  | 7,55 | 966,43 | 1797562,21 | sécurité |
| 53,00 | 19345,00 | 690,89  | 7,54 | 964,89 | 1794697,55 | sécurité |
| 54,00 | 19710,00 | 703,93  | 7,52 | 963,35 | 1791837,46 | sécurité |
| 55,00 | 20075,00 | 716,96  | 7,51 | 961,82 | 1788981,92 | sécurité |
| 56,00 | 20440,00 | 730,00  | 7,50 | 960,29 | 1786130,93 | sécurité |
| 57,00 | 20805,00 | 743,04  | 7,49 | 958,76 | 1783284,48 | sécurité |
| 58,00 | 21170,00 | 756,07  | 7,48 | 957,23 | 1780442,58 | sécurité |
| 59,00 | 21535,00 | 769,11  | 7,46 | 955,70 | 1777605,20 | sécurité |
| 60,00 | 21900,00 | 782,14  | 7,45 | 954,18 | 1774772,34 | sécurité |
| 61,00 | 22265,00 | 795,18  | 7,44 | 952,66 | 1771944,00 | sécurité |
| 62,00 | 22630,00 | 808,21  | 7,43 | 951,14 | 1769120,16 | sécurité |
| 63,00 | 22995,00 | 821,25  | 7,42 | 949,62 | 1766300,83 | sécurité |
| 64,00 | 23360,00 | 834,29  | 7,40 | 948,11 | 1763485,98 | sécurité |
| 65,00 | 23725,00 | 847,32  | 7,39 | 946,60 | 1760675,63 | sécurité |
| 66,00 | 24090,00 | 860,36  | 7,38 | 945,09 | 1757869,75 | sécurité |
| 67,00 | 24455,00 | 873,39  | 7,37 | 943,59 | 1755068,34 | sécurité |
| 68,00 | 24820,00 | 886,43  | 7,36 | 942,08 | 1752271,40 | sécurité |
| 69,00 | 25185,00 | 899,46  | 7,35 | 940,58 | 1749478,92 | sécurité |
| 70,00 | 25550,00 | 912,50  | 7,33 | 939,08 | 1746690,88 | sécurité |
| 71,00 | 25915,00 | 925,54  | 7,32 | 937,58 | 1743907,29 | sécurité |
| 72,00 | 26280,00 | 938,57  | 7,31 | 936,09 | 1741128,13 | sécurité |
| 73,00 | 26645,00 | 951,61  | 7,30 | 934,60 | 1738353,41 | sécurité |
| 74,00 | 27010,00 | 964,64  | 7,29 | 933,11 | 1735583,10 | sécurité |
| 75,00 | 27375,00 | 977,68  | 7,28 | 931,62 | 1732817,21 | sécurité |
| 76,00 | 27740,00 | 990,71  | 7,26 | 930,14 | 1730055,73 | sécurité |
| 77,00 | 28105,00 | 1003,75 | 7,25 | 928,66 | 1727298,65 | sécurité |
| 78,00 | 28470,00 | 1016,79 | 7,24 | 927,18 | 1724545,96 | sécurité |
| 79,00 | 28835,00 | 1029,82 | 7,23 | 925,70 | 1721797,66 | sécurité |
| 80,00 | 29200,00 | 1042,86 | 7,22 | 924,22 | 1719053,74 | sécurité |
| 81,00 | 29565,00 | 1055,89 | 7,21 | 922,75 | 1716314,19 | sécurité |
| 82,00 | 29930,00 | 1068,93 | 7,20 | 921,28 | 1713579,01 | sécurité |
| 83,00 | 30295,00 | 1081,96 | 7,18 | 919,81 | 1710848,19 | sécurité |
| 84,00 | 30660,00 | 1095,00 | 7,17 | 918,35 | 1708121,72 | sécurité |

| 85,00  | 31025,00 | 1108,04 | 7,16 | 916,88 | 1705399,59 | sécurité |
|--------|----------|---------|------|--------|------------|----------|
| 86,00  | 31390,00 | 1121,07 | 7,15 | 915,42 | 1702681,80 | sécurité |
| 87,00  | 31755,00 | 1134,11 | 7,14 | 913,96 | 1699968,35 | sécurité |
| 88,00  | 32120,00 | 1147,14 | 7,13 | 912,50 | 1697259,21 | sécurité |
| 89,00  | 32485,00 | 1160,18 | 7,12 | 911,05 | 1694554,40 | sécurité |
| 90,00  | 32850,00 | 1173,21 | 7,10 | 909,60 | 1691853,90 | sécurité |
| 91,00  | 33215,00 | 1186,25 | 7,09 | 908,15 | 1689157,69 | sécurité |
| 92,00  | 33580,00 | 1199,29 | 7,08 | 906,70 | 1686465,79 | sécurité |
| 93,00  | 33945,00 | 1212,32 | 7,07 | 905,26 | 1683778,18 | sécurité |
| 94,00  | 34310,00 | 1225,36 | 7,06 | 903,81 | 1681094,84 | sécurité |
| 95,00  | 34675,00 | 1238,39 | 7,05 | 902,37 | 1678415,79 | sécurité |
| 96,00  | 35040,00 | 1251,43 | 7,04 | 900,94 | 1675741,00 | sécurité |
| 97,00  | 35405,00 | 1264,46 | 7,03 | 899,50 | 1673070,48 | sécurité |
| 98,00  | 35770,00 | 1277,50 | 7,01 | 898,07 | 1670404,21 | sécurité |
| 99,00  | 36135,00 | 1290,54 | 7,00 | 896,64 | 1667742,19 | sécurité |
| 100,00 | 36500,00 | 1303,57 | 6,99 | 895,21 | 1665084,42 | sécurité |
| 101,00 | 36865,00 | 1316,61 | 6,98 | 893,78 | 1662430,88 | sécurité |
| 102,00 | 37230,00 | 1329,64 | 6,97 | 892,36 | 1659781,57 | sécurité |
| 103,00 | 37595,00 | 1342,68 | 6,96 | 890,93 | 1657136,48 | sécurité |
| 104,00 | 37960,00 | 1355,71 | 6,95 | 889,51 | 1654495,60 | sécurité |
| 105,00 | 38325,00 | 1368,75 | 6,94 | 888,10 | 1651858,94 | sécurité |
| 106,00 | 38690,00 | 1381,79 | 6,92 | 886,68 | 1649226,47 | sécurité |
| 107,00 | 39055,00 | 1394,82 | 6,91 | 885,27 | 1646598,21 | sécurité |
| 108,00 | 39420,00 | 1407,86 | 6,90 | 883,86 | 1643974,13 | sécurité |
| 109,00 | 39785,00 | 1420,89 | 6,89 | 882,45 | 1641354,23 | sécurité |
| 110,00 | 40150,00 | 1433,93 | 6,88 | 881,04 | 1638738,50 | sécurité |
| 111,00 | 40515,00 | 1446,96 | 6,87 | 879,64 | 1636126,95 | sécurité |
| 112,00 | 40880,00 | 1460,00 | 6,86 | 878,24 | 1633519,56 | sécurité |
| 113,00 | 41245,00 | 1473,04 | 6,85 | 876,84 | 1630916,32 | sécurité |
| 114,00 | 41610,00 | 1486,07 | 6,84 | 875,44 | 1628317,23 | sécurité |
| 115,00 | 41975,00 | 1499,11 | 6,83 | 874,04 | 1625722,28 | sécurité |
| 116,00 | 42340,00 | 1512,14 | 6,82 | 872,65 | 1623131,47 | sécurité |
| 117,00 | 42705,00 | 1525,18 | 6,80 | 871,26 | 1620544,79 | sécurité |
| 118,00 | 43070,00 | 1538,21 | 6,79 | 869,87 | 1617962,23 | sécurité |
| 119,00 | 43435,00 | 1551,25 | 6,78 | 868,49 | 1615383,79 | sécurité |
| 120,00 | 43800,00 | 1564,29 | 6,77 | 867,10 | 1612809,45 | sécurité |
| 121,00 | 44165,00 | 1577,32 | 6,76 | 865,72 | 1610239,22 | sécurité |
| 122,00 | 44530,00 | 1590,36 | 6,75 | 864,34 | 1607673,08 | sécurité |
| 123,00 | 44895,00 | 1603,39 | 6,74 | 862,96 | 1605111,03 | sécurité |
| 124,00 | 45260,00 | 1616,43 | 6,73 | 861,59 | 1602553,07 | sécurité |
| 125,00 | 45625,00 | 1629,46 | 6,72 | 860,21 | 1599999,18 | sécurité |
| 126,00 | 45990,00 | 1642,50 | 6,71 | 858,84 | 1597449,36 | sécurité |
| 127,00 | 46355,00 | 1655,54 | 6,70 | 857,48 | 1594903,61 | sécurité |
| 128,00 | 46720,00 | 1668,57 | 6,69 | 856,11 | 1592361,91 | sécurité |
| 129,00 | 47085,00 | 1681,61 | 6,68 | 854,74 | 1589824,26 | sécurité |

| 130,00 | 47450,00 | 1694,64 | 6,66 | 853,38 | 1587290,66 | sécurité |
|--------|----------|---------|------|--------|------------|----------|
| 131,00 | 47815,00 | 1707,68 | 6,65 | 852,02 | 1584761,10 | sécurité |
| 132,00 | 48180,00 | 1720,71 | 6,64 | 850,66 | 1582235,56 | sécurité |
| 133,00 | 48545,00 | 1733,75 | 6,63 | 849,31 | 1579714,05 | sécurité |
| 134,00 | 48910,00 | 1746,79 | 6,62 | 847,96 | 1577196,56 | sécurité |
| 135,00 | 49275,00 | 1759,82 | 6,61 | 846,60 | 1574683,08 | sécurité |
| 136,00 | 49640,00 | 1772,86 | 6,60 | 845,25 | 1572173,61 | sécurité |
| 137,00 | 50005,00 | 1785,89 | 6,59 | 843,91 | 1569668,13 | sécurité |
| 138,00 | 50370,00 | 1798,93 | 6,58 | 842,56 | 1567166,65 | sécurité |
| 139,00 | 50735,00 | 1811,96 | 6,57 | 841,22 | 1564669,16 | sécurité |
| 140,00 | 51100,00 | 1825,00 | 6,56 | 839,88 | 1562175,64 | sécurité |
| 141,00 | 51465,00 | 1838,04 | 6,55 | 838,54 | 1559686,10 | sécurité |
| 142,00 | 51830,00 | 1851,07 | 6,54 | 837,20 | 1557200,53 | sécurité |
| 143,00 | 52195,00 | 1864,11 | 6,53 | 835,87 | 1554718,92 | sécurité |
| 144,00 | 52560,00 | 1877,14 | 6,52 | 834,54 | 1552241,26 | sécurité |
| 145,00 | 52925,00 | 1890,18 | 6,51 | 833,21 | 1549767,55 | sécurité |
| 146,00 | 53290,00 | 1903,21 | 6,50 | 831,88 | 1547297,78 | sécurité |
| 147,00 | 53655,00 | 1916,25 | 6,49 | 830,55 | 1544831,95 | sécurité |
| 148,00 | 54020,00 | 1929,29 | 6,48 | 829,23 | 1542370,05 | sécurité |
| 149,00 | 54385,00 | 1942,32 | 6,47 | 827,91 | 1539912,07 | sécurité |
| 150,00 | 54750,00 | 1955,36 | 6,46 | 826,59 | 1537458,01 | sécurité |
| 151,00 | 55115,00 | 1968,39 | 6,45 | 825,27 | 1535007,86 | sécurité |
| 152,00 | 55480,00 | 1981,43 | 6,44 | 823,96 | 1532561,62 | sécurité |
| 153,00 | 55845,00 | 1994,46 | 6,42 | 822,64 | 1530119,27 | sécurité |
| 154,00 | 56210,00 | 2007,50 | 6,41 | 821,33 | 1527680,81 | sécurité |
| 155,00 | 56575,00 | 2020,54 | 6,40 | 820,02 | 1525246,24 | sécurité |
| 156,00 | 56940,00 | 2033,57 | 6,39 | 818,72 | 1522815,56 | sécurité |
| 157,00 | 57305,00 | 2046,61 | 6,38 | 817,41 | 1520388,74 | sécurité |
| 158,00 | 57670,00 | 2059,64 | 6,37 | 816,11 | 1517965,79 | sécurité |
| 159,00 | 58035,00 | 2072,68 | 6,36 | 814,81 | 1515546,71 | sécurité |
| 160,00 | 58400,00 | 2085,71 | 6,35 | 813,51 | 1513131,47 | sécurité |
| 161,00 | 58765,00 | 2098,75 | 6,34 | 812,22 | 1510720,09 | sécurité |
| 162,00 | 59130,00 | 2111,79 | 6,33 | 810,92 | 1508312,55 | sécurité |
| 163,00 | 59495,00 | 2124,82 | 6,32 | 809,63 | 1505908,85 | sécurité |
| 164,00 | 59860,00 | 2137,86 | 6,31 | 808,34 | 1503508,98 | sécurité |
| 165,00 | 60225,00 | 2150,89 | 6,30 | 807,05 | 1501112,93 | sécurité |
| 166,00 | 60590,00 | 2163,93 | 6,29 | 805,76 | 1498720,70 | sécurité |
| 167,00 | 60955,00 | 2176,96 | 6,28 | 804,48 | 1496332,28 | sécurité |
| 168,00 | 61320,00 | 2190,00 | 6,27 | 803,20 | 1493947,67 | sécurité |
| 169,00 | 61685,00 | 2203,04 | 6,26 | 801,92 | 1491566,86 | sécurité |
| 170,00 | 62050,00 | 2216,07 | 6,25 | 800,64 | 1489189,85 | sécurité |
| 171,00 | 62415,00 | 2229,11 | 6,24 | 799,36 | 1486816,62 | sécurité |
| 172,00 | 62780,00 | 2242,14 | 6,23 | 798,09 | 1484447,17 | sécurité |
| 173,00 | 63145,00 | 2255,18 | 6,22 | 796,82 | 1482081,50 | sécurité |
| 174,00 | 63510,00 | 2268,21 | 6,21 | 795,55 | 1479719,60 | sécurité |

| 175,00 | 63875,00 | 2281,25 | 6,20 | 794,28 | 1477361,47 | sécurité |
|--------|----------|---------|------|--------|------------|----------|
| 176,00 | 64240,00 | 2294,29 | 6,19 | 793,01 | 1475007,09 | sécurité |
| 177,00 | 64605,00 | 2307,32 | 6,18 | 791,75 | 1472656,46 | sécurité |
| 178,00 | 64970,00 | 2320,36 | 6,17 | 790,49 | 1470309,58 | sécurité |
| 179,00 | 65335,00 | 2333,39 | 6,16 | 789,23 | 1467966,44 | sécurité |
| 180,00 | 65700,00 | 2346,43 | 6,15 | 787,97 | 1465627,04 | sécurité |
| 181,00 | 66065,00 | 2359,46 | 6,14 | 786,72 | 1463291,36 | sécurité |
| 182,00 | 66430,00 | 2372,50 | 6,13 | 785,46 | 1460959,40 | sécurité |
| 183,00 | 66795,00 | 2385,54 | 6,12 | 784,21 | 1458631,16 | sécurité |
| 184,00 | 67160,00 | 2398,57 | 6,11 | 782,96 | 1456306,64 | sécurité |
| 185,00 | 67525,00 | 2411,61 | 6,11 | 781,71 | 1453985,81 | sécurité |
| 186,00 | 67890,00 | 2424,64 | 6,10 | 780,47 | 1451668,69 | sécurité |
| 187,00 | 68255,00 | 2437,68 | 6,09 | 779,22 | 1449355,25 | sécurité |
| 188,00 | 68620,00 | 2450,71 | 6,08 | 777,98 | 1447045,51 | sécurité |
| 189,00 | 68985,00 | 2463,75 | 6,07 | 776,74 | 1444739,44 | sécurité |
| 190,00 | 69350,00 | 2476,79 | 6,06 | 775,50 | 1442437,05 | sécurité |
| 191,00 | 69715,00 | 2489,82 | 6,05 | 774,27 | 1440138,33 | sécurité |
| 192,00 | 70080,00 | 2502,86 | 6,04 | 773,03 | 1437843,27 | sécurité |
| 193,00 | 70445,00 | 2515,89 | 6,03 | 771,80 | 1435551,87 | sécurité |
| 194,00 | 70810,00 | 2528,93 | 6,02 | 770,57 | 1433264,12 | sécurité |
| 195,00 | 71175,00 | 2541,96 | 6,01 | 769,34 | 1430980,02 | sécurité |
| 196,00 | 71540,00 | 2555,00 | 6,00 | 768,12 | 1428699,56 | sécurité |
| 197,00 | 71905,00 | 2568,04 | 5,99 | 766,89 | 1426422,73 | sécurité |
| 198,00 | 72270,00 | 2581,07 | 5,98 | 765,67 | 1424149,53 | sécurité |
| 199,00 | 72635,00 | 2594,11 | 5,97 | 764,45 | 1421879,95 | sécurité |
| 200,00 | 73000,00 | 2607,14 | 5,96 | 763,23 | 1419613,99 | sécurité |
| 201,00 | 73365,00 | 2620,18 | 5,95 | 762,02 | 1417351,64 | sécurité |
| 202,00 | 73730,00 | 2633,21 | 5,94 | 760,80 | 1415092,90 | sécurité |
| 203,00 | 74095,00 | 2646,25 | 5,93 | 759,59 | 1412837,75 | sécurité |
| 204,00 | 74460,00 | 2659,29 | 5,92 | 758,38 | 1410586,20 | sécurité |
| 205,00 | 74825,00 | 2672,32 | 5,91 | 757,17 | 1408338,24 | sécurité |
| 206,00 | 75190,00 | 2685,36 | 5,90 | 755,96 | 1406093,86 | sécurité |
| 207,00 | 75555,00 | 2698,39 | 5,89 | 754,76 | 1403853,06 | sécurité |
| 208,00 | 75920,00 | 2711,43 | 5,89 | 753,56 | 1401615,82 | sécurité |
| 209,00 | 76285,00 | 2724,46 | 5,88 | 752,36 | 1399382,16 | sécurité |
| 210,00 | 76650,00 | 2737,50 | 5,87 | 751,16 | 1397152,05 | sécurité |
| 211,00 | 77015,00 | 2750,54 | 5,86 | 749,96 | 1394925,50 | sécurité |
| 212,00 | 77380,00 | 2763,57 | 5,85 | 748,76 | 1392702,49 | sécurité |
| 213,00 | 77745,00 | 2776,61 | 5,84 | 747,57 | 1390483,03 | sécurité |
| 214,00 | 78110,00 | 2789,64 | 5,83 | 746,38 | 1388267,10 | sécurité |
| 215,00 | 78475,00 | 2802,68 | 5,82 | 745,19 | 1386054,71 | sécurité |
| 216,00 | 78840,00 | 2815,71 | 5,81 | 744,00 | 1383845,84 | sécurité |
| 217,00 | 79205,00 | 2828,75 | 5,80 | 742,82 | 1381640,49 | sécurité |
| 218,00 | 79570,00 | 2841,79 | 5,79 | 741,63 | 1379438,66 | sécurité |
| 219,00 | 79935,00 | 2854,82 | 5,78 | 740,45 | 1377240,33 | sécurité |

| 220,00 | 80300,00 | 2867,86 | 5,77 | 739,27 | 1375045,51 | sécurité |
|--------|----------|---------|------|--------|------------|----------|
| 221,00 | 80665,00 | 2880,89 | 5,76 | 738,09 | 1372854,19 | sécurité |
| 222,00 | 81030,00 | 2893,93 | 5,76 | 736,92 | 1370666,36 | sécurité |
| 223,00 | 81395,00 | 2906,96 | 5,75 | 735,74 | 1368482,01 | sécurité |
| 224,00 | 81760,00 | 2920,00 | 5,74 | 734,57 | 1366301,15 | sécurité |
| 225,00 | 82125,00 | 2933,04 | 5,73 | 733,40 | 1364123,76 | sécurité |
| 226,00 | 82490,00 | 2946,07 | 5,72 | 732,23 | 1361949,84 | sécurité |
| 227,00 | 82855,00 | 2959,11 | 5,71 | 731,06 | 1359779,39 | sécurité |
| 228,00 | 83220,00 | 2972,14 | 5,70 | 729,90 | 1357612,39 | sécurité |
| 229,00 | 83585,00 | 2985,18 | 5,69 | 728,74 | 1355448,85 | sécurité |
| 230,00 | 83950,00 | 2998,21 | 5,68 | 727,57 | 1353288,76 | sécurité |
| 231,00 | 84315,00 | 3011,25 | 5,67 | 726,42 | 1351132,11 | rupture  |
| 232,00 | 84680,00 | 3024,29 | 5,66 | 725,26 | 1348978,89 | rupture  |
| 233,00 | 85045,00 | 3037,32 | 5,66 | 724,10 | 1346829,11 | rupture  |
| 234,00 | 85410,00 | 3050,36 | 5,65 | 722,95 | 1344682,75 | rupture  |
| 235,00 | 85775,00 | 3063,39 | 5,64 | 721,80 | 1342539,82 | rupture  |
| 236,00 | 86140,00 | 3076,43 | 5,63 | 720,65 | 1340400,30 | rupture  |
| 237,00 | 86505,00 | 3089,46 | 5,62 | 719,50 | 1338264,19 | rupture  |
| 238,00 | 86870,00 | 3102,50 | 5,61 | 718,35 | 1336131,48 | rupture  |
| 239,00 | 87235,00 | 3115,54 | 5,60 | 717,21 | 1334002,17 | rupture  |
| 240,00 | 87600,00 | 3128,57 | 5,59 | 716,06 | 1331876,25 | rupture  |

## Récapitulatif des résultats de corrosion pour $i_{corr} = 0.3 \ \mu A/cm^2$

| Recapitulatii des resultats de corrosion pour reorr – v.o partem |                      |        |                                |                     |                                     |          |  |
|--|----------------------|--------|--------------------------------|---------------------|-------------------------------------|----------|--|
| Instant t<br>[année]   | instant t<br>[jours] | n      | poids a l'instant t<br>[kg/ml] | Section câble [mm²] | Effort limite (corrosion basse) [N] | test     |  |
| 0,00   | 0,00                 | 0,00   | 8,20                           | 1050,00             | 1953000,00                          | sécurité |  |
| 1,00   | 365,00               | 13,04  | 8,16                           | 1044,94             | 1943582,65                          | sécurité |  |
| 2,00   | 730,00               | 26,07  | 8,12                           | 1039,90             | 1934210,71                          | sécurité |  |
| 3,00   | 1095,00              | 39,11  | 8,08                           | 1034,88             | 1924883,96                          | sécurité |  |
| 4,00   | 1460,00              | 52,14  | 8,04                           | 1029,89             | 1915602,18                          | sécurité |  |
| 5,00   | 1825,00              | 65,18  | 8,00                           | 1024,93             | 1906365,16                          | sécurité |  |
| 6,00   | 2190,00              | 78,21  | 7,97                           | 1019,99             | 1897172,68                          | sécurité |  |
| 7,00   | 2555,00              | 91,25  | 7,93                           | 1015,07             | 1888024,53                          | sécurité |  |
| 8,00   | 2920,00              | 104,29 | 7,89                           | 1010,17             | 1878920,49                          | sécurité |  |
| 9,00   | 3285,00              | 117,32 | 7,85                           | 1005,30             | 1869860,35                          | sécurité |  |
| 10,00  | 3650,00              | 130,36 | 7,81                           | 1000,45             | 1860843,90                          | sécurité |  |
| 11,00  | 4015,00              | 143,39 | 7,78                           | 995,63              | 1851870,92                          | sécurité |  |
| 12,00  | 4380,00              | 156,43 | 7,74                           | 990,83              | 1842941,22                          | sécurité |  |
| 13,00  | 4745,00              | 169,46 | 7,70                           | 986,05              | 1834054,57                          | sécurité |  |
| 14,00  | 5110,00              | 182,50 | 7,66                           | 981,30              | 1825210,77                          | sécurité |  |
| 15,00  | 5475,00              | 195,54 | 7,63                           | 976,56              | 1816409,62                          | sécurité |  |
| 16,00  | 5840,00              | 208,57 | 7,59                           | 971,86              | 1807650,90                          | sécurité |  |
| 17,00  | 6205,00              | 221,61 | 7,55                           | 967,17              | 1798934,43                          | sécurité |  |
| 18,00  | 6570,00              | 234,64 | 7,52                           | 962,51              | 1790259,98                          | sécurité |  |

| 19,00 | 6935,00  | 247,68 | 7,48 | 957,86 | 1781627,36 | sécurité |
|-------|----------|--------|------|--------|------------|----------|
| 20,00 | 7300,00  | 260,71 | 7,44 | 953,25 | 1773036,36 | sécurité |
| 21,00 | 7665,00  | 273,75 | 7,41 | 948,65 | 1764486,79 | sécurité |
| 22,00 | 8030,00  | 286,79 | 7,37 | 944,07 | 1755978,45 | sécurité |
| 23,00 | 8395,00  | 299,82 | 7,34 | 939,52 | 1747511,14 | sécurité |
| 24,00 | 8760,00  | 312,86 | 7,30 | 934,99 | 1739084,65 | sécurité |
| 25,00 | 9125,00  | 325,89 | 7,27 | 930,48 | 1730698,80 | sécurité |
| 26,00 | 9490,00  | 338,93 | 7,23 | 926,00 | 1722353,38 | sécurité |
| 27,00 | 9855,00  | 351,96 | 7,20 | 921,53 | 1714048,21 | sécurité |
| 28,00 | 10220,00 | 365,00 | 7,16 | 917,09 | 1705783,08 | sécurité |
| 29,00 | 10585,00 | 378,04 | 7,13 | 912,67 | 1697557,81 | sécurité |
| 30,00 | 10950,00 | 391,07 | 7,09 | 908,26 | 1689372,20 | sécurité |
| 31,00 | 11315,00 | 404,11 | 7,06 | 903,88 | 1681226,06 | sécurité |
| 32,00 | 11680,00 | 417,14 | 7,03 | 899,53 | 1673119,20 | sécurité |
| 33,00 | 12045,00 | 430,18 | 6,99 | 895,19 | 1665051,43 | sécurité |
| 34,00 | 12410,00 | 443,21 | 6,96 | 890,87 | 1657022,56 | sécurité |
| 35,00 | 12775,00 | 456,25 | 6,92 | 886,58 | 1649032,41 | sécurité |
| 36,00 | 13140,00 | 469,29 | 6,89 | 882,30 | 1641080,79 | sécurité |
| 37,00 | 13505,00 | 482,32 | 6,86 | 878,05 | 1633167,51 | sécurité |
| 38,00 | 13870,00 | 495,36 | 6,82 | 873,81 | 1625292,39 | sécurité |
| 39,00 | 14235,00 | 508,39 | 6,79 | 869,60 | 1617455,24 | sécurité |
| 40,00 | 14600,00 | 521,43 | 6,76 | 865,41 | 1609655,89 | sécurité |
| 41,00 | 14965,00 | 534,46 | 6,73 | 861,23 | 1601894,14 | sécurité |
| 42,00 | 15330,00 | 547,50 | 6,69 | 857,08 | 1594169,82 | sécurité |
| 43,00 | 15695,00 | 560,54 | 6,66 | 852,95 | 1586482,74 | sécurité |
| 44,00 | 16060,00 | 573,57 | 6,63 | 848,83 | 1578832,73 | sécurité |
| 45,00 | 16425,00 | 586,61 | 6,60 | 844,74 | 1571219,61 | sécurité |
| 46,00 | 16790,00 | 599,64 | 6,57 | 840,67 | 1563643,20 | sécurité |
| 47,00 | 17155,00 | 612,68 | 6,53 | 836,61 | 1556103,33 | sécurité |
| 48,00 | 17520,00 | 625,71 | 6,50 | 832,58 | 1548599,81 | sécurité |
| 49,00 | 17885,00 | 638,75 | 6,47 | 828,57 | 1541132,47 | sécurité |
| 50,00 | 18250,00 | 651,79 | 6,44 | 824,57 | 1533701,14 | sécurité |
| 51,00 | 18615,00 | 664,82 | 6,41 | 820,59 | 1526305,65 | sécurité |
| 52,00 | 18980,00 | 677,86 | 6,38 | 816,64 | 1518945,81 | sécurité |
| 53,00 | 19345,00 | 690,89 | 6,35 | 812,70 | 1511621,47 | sécurité |
| 54,00 | 19710,00 | 703,93 | 6,32 | 808,78 | 1504332,44 | sécurité |
| 55,00 | 20075,00 | 716,96 | 6,29 | 804,88 | 1497078,56 | sécurité |
| 56,00 | 20440,00 | 730,00 | 6,26 | 801,00 | 1489859,66 | sécurité |
| 57,00 | 20805,00 | 743,04 | 6,23 | 797,14 | 1482675,57 | sécurité |
| 58,00 | 21170,00 | 756,07 | 6,20 | 793,29 | 1475526,12 | sécurité |
| 59,00 | 21535,00 | 769,11 | 6,17 | 789,47 | 1468411,14 | sécurité |
| 60,00 | 21900,00 | 782,14 | 6,14 | 785,66 | 1461330,47 | sécurité |
| 61,00 | 22265,00 | 795,18 | 6,11 | 781,87 | 1454283,95 | sécurité |
| 62,00 | 22630,00 | 808,21 | 6,08 | 778,10 | 1447271,40 | sécurité |

| 63,00 | 22995,00 | 821,25  | 6,05 | 774,35 | 1440292,67 | sécurité |
|-------|----------|---------|------|--------|------------|----------|
| 64,00 | 23360,00 | 834,29  | 6,02 | 770,62 | 1433347,59 | sécurité |
| 65,00 | 23725,00 | 847,32  | 5,99 | 766,90 | 1426436,00 | sécurité |
| 66,00 | 24090,00 | 860,36  | 5,96 | 763,20 | 1419557,74 | sécurité |
| 67,00 | 24455,00 | 873,39  | 5,93 | 759,52 | 1412712,64 | sécurité |
| 68,00 | 24820,00 | 886,43  | 5,90 | 755,86 | 1405900,55 | sécurité |
| 69,00 | 25185,00 | 899,46  | 5,87 | 752,22 | 1399121,31 | sécurité |
| 70,00 | 25550,00 | 912,50  | 5,85 | 748,59 | 1392374,76 | sécurité |
| 71,00 | 25915,00 | 925,54  | 5,82 | 744,98 | 1385660,74 | sécurité |
| 72,00 | 26280,00 | 938,57  | 5,79 | 741,39 | 1378979,09 | sécurité |
| 73,00 | 26645,00 | 951,61  | 5,76 | 737,81 | 1372329,66 | sécurité |
| 74,00 | 27010,00 | 964,64  | 5,73 | 734,25 | 1365712,30 | sécurité |
| 75,00 | 27375,00 | 977,68  | 5,71 | 730,71 | 1359126,85 | sécurité |
| 76,00 | 27740,00 | 990,71  | 5,68 | 727,19 | 1352573,15 | rupture  |
| 77,00 | 28105,00 | 1003,75 | 5,65 | 723,68 | 1346051,05 | rupture  |
| 78,00 | 28470,00 | 1016,79 | 5,62 | 720,19 | 1339560,40 | rupture  |
| 79,00 | 28835,00 | 1029,82 | 5,60 | 716,72 | 1333101,05 | rupture  |
| 80,00 | 29200,00 | 1042,86 | 5,57 | 713,26 | 1326672,85 | rupture  |

#### Récapitulatif des résultats de corrosion pour $i_{corr} = 0.75 \ \mu A/cm^2$

| Instant t<br>[année] | instant t<br>[jours] | n      | poids a l'instant t<br>[kg/ml] | Section câble [mm²] | Effort limite<br>(corrosion<br>modérée) [N] | test     |
|----------------------|----------------------|--------|--------------------------------|---------------------|---|----------|
| 0,00                 | 0,00                 | 0,00   | 8,20                           | 1050,00             | 1953000,00                                  | sécurité |
| 1,00                 | 365,00               | 13,04  | 8,10                           | 1037,38             | 1929535,21                                  | sécurité |
| 2,00                 | 730,00               | 26,07  | 8,00                           | 1024,92             | 1906352,34                                  | sécurité |
| 3,00                 | 1095,00              | 39,11  | 7,91                           | 1012,61             | 1883448,01                                  | sécurité |
| 4,00                 | 1460,00              | 52,14  | 7,81                           | 1000,44             | 1860818,87                                  | sécurité |
| 5,00                 | 1825,00              | 65,18  | 7,72                           | 988,42              | 1838461,62                                  | sécurité |
| 6,00                 | 2190,00              | 78,21  | 7,63                           | 976,54              | 1816372,97                                  | sécurité |
| 7,00                 | 2555,00              | 91,25  | 7,54                           | 964,81              | 1794549,72                                  | sécurité |
| 8,00                 | 2920,00              | 104,29 | 7,44                           | 953,22              | 1772988,67                                  | sécurité |
| 9,00                 | 3285,00              | 117,32 | 7,36                           | 941,77              | 1751686,67                                  | sécurité |
| 10,00                | 3650,00              | 130,36 | 7,27                           | 930,45              | 1730640,61                                  | sécurité |
| 11,00                | 4015,00              | 143,39 | 7,18                           | 919,27              | 1709847,41                                  | sécurité |
| 12,00                | 4380,00              | 156,43 | 7,09                           | 908,23              | 1689304,04                                  | sécurité |
| 13,00                | 4745,00              | 169,46 | 7,01                           | 897,32              | 1669007,48                                  | sécurité |
| 14,00                | 5110,00              | 182,50 | 6,92                           | 886,53              | 1648954,79                                  | sécurité |
| 15,00                | 5475,00              | 195,54 | 6,84                           | 875,88              | 1629143,03                                  | sécurité |
| 16,00                | 5840,00              | 208,57 | 6,76                           | 865,36              | 1609569,29                                  | sécurité |
| 17,00                | 6205,00              | 221,61 | 6,68                           | 854,96              | 1590230,74                                  | sécurité |
| 18,00                | 6570,00              | 234,64 | 6,60                           | 844,69              | 1571124,52                                  | sécurité |
| 19,00                | 6935,00              | 247,68 | 6,52                           | 834,54              | 1552247,87                                  | sécurité |
| 20,00                | 7300,00              | 260,71 | 6,44                           | 824,52              | 1533598,01                                  | sécurité |

| 21,00 | 7665,00  | 273,75 | 6,36 | 814,61 | 1515172,23 | sécurité |
|-------|----------|--------|------|--------|------------|----------|
| 22,00 | 8030,00  | 286,79 | 6,29 | 804,82 | 1496967,83 | sécurité |
| 23,00 | 8395,00  | 299,82 | 6,21 | 795,15 | 1478982,15 | sécurité |
| 24,00 | 8760,00  | 312,86 | 6,14 | 785,60 | 1461212,56 | sécurité |
| 25,00 | 9125,00  | 325,89 | 6,06 | 776,16 | 1443656,47 | sécurité |
| 26,00 | 9490,00  | 338,93 | 5,99 | 766,83 | 1426311,31 | sécurité |
| 27,00 | 9855,00  | 351,96 | 5,92 | 757,62 | 1409174,55 | sécurité |
| 28,00 | 10220,00 | 365,00 | 5,85 | 748,52 | 1392243,68 | sécurité |
| 29,00 | 10585,00 | 378,04 | 5,78 | 739,52 | 1375516,23 | sécurité |
| 30,00 | 10950,00 | 391,07 | 5,71 | 730,64 | 1358989,76 | sécurité |
| 31,00 | 11315,00 | 404,11 | 5,64 | 721,86 | 1342661,85 | rupture  |
| 32,00 | 11680,00 | 417,14 | 5,57 | 713,19 | 1326530,11 | rupture  |
| 33,00 | 12045,00 | 430,18 | 5,50 | 704,62 | 1310592,20 | rupture  |
| 34,00 | 12410,00 | 443,21 | 5,44 | 696,15 | 1294845,77 | rupture  |
| 35,00 | 12775,00 | 456,25 | 5,37 | 687,79 | 1279288,53 | rupture  |

### Récapitulatif des résultats de corrosion pour $i_{corr} = 1.43 \ \mu A/cm^2$

| Instant t<br>[année] | instant t<br>[jours] | n      | poids a l'instant t<br>[kg/ml] | Section câble [mm²] | Effort limite<br>(corrosion<br>élevée) [N] | test     |
|----------------------|----------------------|--------|--------------------------------|---------------------|--|----------|
| 0,00                 | 0,00                 | 0,00   | 8,20                           | 1050,00             | 1953000,00                                 | sécurité |
| 1,00                 | 365,00               | 13,04  | 8,01                           | 1026,05             | 1908454,94                                 | sécurité |
| 2,00                 | 730,00               | 26,07  | 7,83                           | 1002,65             | 1864925,88                                 | sécurité |
| 3,00                 | 1095,00              | 39,11  | 7,65                           | 979,78              | 1822389,66                                 | sécurité |
| 4,00                 | 1460,00              | 52,14  | 7,48                           | 957,43              | 1780823,63                                 | sécurité |
| 5,00                 | 1825,00              | 65,18  | 7,31                           | 935,59              | 1740205,65                                 | sécurité |
| 6,00                 | 2190,00              | 78,21  | 7,14                           | 914,25              | 1700514,12                                 | sécurité |
| 7,00                 | 2555,00              | 91,25  | 6,98                           | 893,40              | 1661727,89                                 | sécurité |
| 8,00                 | 2920,00              | 104,29 | 6,82                           | 873,02              | 1623826,31                                 | sécurité |
| 9,00                 | 3285,00              | 117,32 | 6,66                           | 853,11              | 1586789,22                                 | sécurité |
| 10,00                | 3650,00              | 130,36 | 6,51                           | 833,65              | 1550596,89                                 | sécurité |
| 11,00                | 4015,00              | 143,39 | 6,36                           | 814,64              | 1515230,05                                 | sécurité |
| 12,00                | 4380,00              | 156,43 | 6,22                           | 796,06              | 1480669,87                                 | sécurité |
| 13,00                | 4745,00              | 169,46 | 6,08                           | 777,90              | 1446897,97                                 | sécurité |
| 14,00                | 5110,00              | 182,50 | 5,94                           | 760,16              | 1413896,35                                 | sécurité |
| 15,00                | 5475,00              | 195,54 | 5,80                           | 742,82              | 1381647,45                                 | sécurité |
| 16,00                | 5840,00              | 208,57 | 5,67                           | 725,88              | 1350134,10                                 | rupture  |
| 17,00                | 6205,00              | 221,61 | 5,54                           | 709,32              | 1319339,52                                 | rupture  |
| 18,00                | 6570,00              | 234,64 | 5,41                           | 693,14              | 1289247,32                                 | rupture  |
| 19,00                | 6935,00              | 247,68 | 5,29                           | 677,33              | 1259841,49                                 | rupture  |
| 20,00                | 7300,00              | 260,71 | 5,17                           | 661,89              | 1231106,35                                 | rupture  |

| $N_b$ | $f_{c28}$ | $e_{o}$ |
|-------|-----------|---------|
| 1     | 34,83     | 4,04    |
| 2     | 35,22     | 3,65    |
| 3     | 34,97     | 3,73    |
| 4     | 34,92     | 4,27    |
| 5     | 35,01     | 3,77    |
| 6     | 35,13     | 4,24    |
| 7     | 34,97     | 3,90    |
| 8     | 34,94     | 4,40    |
| 9     | 35,05     | 4,02    |
| 10    | 34,68     | 4,10    |
| 11    | 34,72     | 3,65    |
| 12    | 35,09     | 4,07    |
| 13    | 35,13     | 3,98    |
| 14    | 35,01     | 3,92    |
| 15    | 35,14     | 3,76    |
| 16    | 34,79     | 3,53    |
| 17    | 35,12     | 4,43    |
| 18    | 34,98     | 3,82    |
| 19    | 35,02     | 3,51    |
| 20    | 34,98     | 4,37    |
| 21    | 35,09     | 3,99    |
| 22    | 35,09     | 3,75    |
| 23    | 34,91     | 3,72    |
| 24    | 35,00     | 4,11    |
| 25    | 35,00     | 3,54    |
| 26    | 35,04     | 4,06    |
| 27    | 35,14     | 4,02    |
| 28    | 34,98     | 3,95    |
| 29    | 34,95     | 4,03    |
| 30    | 34,90     | 4,09    |
| 31    | 34,93     | 4,10    |
| 32    | 34,92     | 3,91    |
| 33    | 35,07     | 4,16    |
| 34    | 35,11     | 3,88    |
| 35    | 35,06     | 3,97    |
| 36    | 35,34     | 4,28    |
| 37    | 35,08     | 3,78    |
| 38    | 35,06     | 4,20    |
| 39    | 34,91     | 3,71    |
| 40    | 34,98     | 4,42    |
| 41    | 34,82     | 4,10    |
| 42    | 35,05     | 3,78    |
| 43    | 34,89     | 4,00    |

Récapitulatif des résultats de probabilité de défaillance pour  $i_{corr} = 0.1 \, \mu A/cm^2$ 

| Instant t [année] | instant t [jours] | n      | poids a l'instant t [kg/ml] | Section câble [mm²] | Pf    |
|-------------------|-------------------|--------|-----------------------------|---------------------|-------|
| 0,00              | 0,00              | 0,00   | 8,20                        | 1050,00             | 0,075 |
| 1,00              | 365,00            | 13,04  | 8,19                        | 1048,33             | 0,076 |
| 2,00              | 730,00            | 26,07  | 8,17                        | 1046,66             | 0,078 |
| 3,00              | 1095,00           | 39,11  | 8,16                        | 1044,99             | 0,078 |
| 4,00              | 1460,00           | 52,14  | 8,15                        | 1043,32             | 0,079 |
| 5,00              | 1825,00           | 65,18  | 8,14                        | 1041,66             | 0,080 |
| 6,00              | 2190,00           | 78,21  | 8,12                        | 1040,00             | 0,081 |
| 7,00              | 2555,00           | 91,25  | 8,11                        | 1038,34             | 0,081 |
| 8,00              | 2920,00           | 104,29 | 8,10                        | 1036,69             | 0,082 |
| 9,00              | 3285,00           | 117,32 | 8,08                        | 1035,04             | 0,082 |
| 10,00             | 3650,00           | 130,36 | 8,07                        | 1033,39             | 0,082 |
| 11,00             | 4015,00           | 143,39 | 8,06                        | 1031,74             | 0,082 |
| 12,00             | 4380,00           | 156,43 | 8,05                        | 1030,10             | 0,083 |
| 13,00             | 4745,00           | 169,46 | 8,03                        | 1028,45             | 0,083 |
| 14,00             | 5110,00           | 182,50 | 8,02                        | 1026,81             | 0,084 |
| 15,00             | 5475,00           | 195,54 | 8,01                        | 1025,18             | 0,084 |
| 16,00             | 5840,00           | 208,57 | 7,99                        | 1023,54             | 0,085 |
| 17,00             | 6205,00           | 221,61 | 7,98                        | 1021,91             | 0,086 |
| 18,00             | 6570,00           | 234,64 | 7,97                        | 1020,28             | 0,086 |
| 19,00             | 6935,00           | 247,68 | 7,96                        | 1018,66             | 0,086 |
| 20,00             | 7300,00           | 260,71 | 7,94                        | 1017,04             | 0,087 |
| 21,00             | 7665,00           | 273,75 | 7,93                        | 1015,41             | 0,087 |
| 22,00             | 8030,00           | 286,79 | 7,92                        | 1013,80             | 0,088 |
| 23,00             | 8395,00           | 299,82 | 7,91                        | 1012,18             | 0,088 |
| 24,00             | 8760,00           | 312,86 | 7,89                        | 1010,57             | 0,089 |
| 25,00             | 9125,00           | 325,89 | 7,88                        | 1008,96             | 0,090 |
| 26,00             | 9490,00           | 338,93 | 7,87                        | 1007,35             | 0,091 |
| 27,00             | 9855,00           | 351,96 | 7,85                        | 1005,74             | 0,091 |
| 28,00             | 10220,00          | 365,00 | 7,84                        | 1004,14             | 0,092 |
| 29,00             | 10585,00          | 378,04 | 7,83                        | 1002,54             | 0,092 |
| 30,00             | 10950,00          | 391,07 | 7,82                        | 1000,94             | 0,093 |
| 31,00             | 11315,00          | 404,11 | 7,80                        | 999,35              | 0,093 |
| 32,00             | 11680,00          | 417,14 | 7,79                        | 997,76              | 0,093 |
| 33,00             | 12045,00          | 430,18 | 7,78                        | 996,17              | 0,094 |
| 34,00             | 12410,00          | 443,21 | 7,77                        | 994,58              | 0,095 |
| 35,00             | 12775,00          | 456,25 | 7,76                        | 992,99              | 0,095 |
| 36,00             | 13140,00          | 469,29 | 7,74                        | 991,41              | 0,095 |
| 37,00             | 13505,00          | 482,32 | 7,73                        | 989,83              | 0,096 |
| 38,00             | 13870,00          | 495,36 | 7,72                        | 988,25              | 0,097 |
| 39,00             | 14235,00          | 508,39 | 7,71                        | 986,68              | 0,097 |
| 40,00             | 14600,00          | 521,43 | 7,69                        | 985,11              | 0,098 |
| 41,00             | 14965,00          | 534,46 | 7,68                        | 983,54              | 0,099 |

| 42,00 | 15330,00 | 547,50  | 7,67 | 981,97 | 0,100 |
|-------|----------|---------|------|--------|-------|
| 43,00 | 15695,00 | 560,54  | 7,66 | 980,40 | 0,100 |
| 44,00 | 16060,00 | 573,57  | 7,64 | 978,84 | 0,101 |
| 45,00 | 16425,00 | 586,61  | 7,63 | 977,28 | 0,102 |
| 46,00 | 16790,00 | 599,64  | 7,62 | 975,72 | 0,102 |
| 47,00 | 17155,00 | 612,68  | 7,61 | 974,17 | 0,102 |
| 48,00 | 17520,00 | 625,71  | 7,60 | 972,62 | 0,103 |
| 49,00 | 17885,00 | 638,75  | 7,58 | 971,07 | 0,103 |
| 50,00 | 18250,00 | 651,79  | 7,57 | 969,52 | 0,105 |
| 51,00 | 18615,00 | 664,82  | 7,56 | 967,97 | 0,105 |
| 52,00 | 18980,00 | 677,86  | 7,55 | 966,43 | 0,106 |
| 53,00 | 19345,00 | 690,89  | 7,54 | 964,89 | 0,107 |
| 54,00 | 19710,00 | 703,93  | 7,52 | 963,35 | 0,107 |
| 55,00 | 20075,00 | 716,96  | 7,51 | 961,82 | 0,108 |
| 56,00 | 20440,00 | 730,00  | 7,50 | 960,29 | 0,109 |
| 57,00 | 20805,00 | 743,04  | 7,49 | 958,76 | 0,110 |
| 58,00 | 21170,00 | 756,07  | 7,48 | 957,23 | 0,111 |
| 59,00 | 21535,00 | 769,11  | 7,46 | 955,70 | 0,112 |
| 60,00 | 21900,00 | 782,14  | 7,45 | 954,18 | 0,112 |
| 61,00 | 22265,00 | 795,18  | 7,44 | 952,66 | 0,113 |
| 62,00 | 22630,00 | 808,21  | 7,43 | 951,14 | 0,113 |
| 63,00 | 22995,00 | 821,25  | 7,42 | 949,62 | 0,114 |
| 64,00 | 23360,00 | 834,29  | 7,40 | 948,11 | 0,115 |
| 65,00 | 23725,00 | 847,32  | 7,39 | 946,60 | 0,117 |
| 66,00 | 24090,00 | 860,36  | 7,38 | 945,09 | 0,118 |
| 67,00 | 24455,00 | 873,39  | 7,37 | 943,59 | 0,119 |
| 68,00 | 24820,00 | 886,43  | 7,36 | 942,08 | 0,120 |
| 69,00 | 25185,00 | 899,46  | 7,35 | 940,58 | 0,121 |
| 70,00 | 25550,00 | 912,50  | 7,33 | 939,08 | 0,123 |
| 71,00 | 25915,00 | 925,54  | 7,32 | 937,58 | 0,123 |
| 72,00 | 26280,00 | 938,57  | 7,31 | 936,09 | 0,124 |
| 73,00 | 26645,00 | 951,61  | 7,30 | 934,60 | 0,125 |
| 74,00 | 27010,00 | 964,64  | 7,29 | 933,11 | 0,126 |
| 75,00 | 27375,00 | 977,68  | 7,28 | 931,62 | 0,126 |
| 76,00 | 27740,00 | 990,71  | 7,26 | 930,14 | 0,128 |
| 77,00 | 28105,00 | 1003,75 | 7,25 | 928,66 | 0,129 |
| 78,00 | 28470,00 | 1016,79 | 7,24 | 927,18 | 0,130 |
| 79,00 | 28835,00 | 1029,82 | 7,23 | 925,70 | 0,131 |
| 80,00 | 29200,00 | 1042,86 | 7,22 | 924,22 | 0,133 |
| 81,00 | 29565,00 | 1055,89 | 7,21 | 922,75 | 0,134 |
| 82,00 | 29930,00 | 1068,93 | 7,20 | 921,28 | 0,135 |
| 83,00 | 30295,00 | 1081,96 | 7,18 | 919,81 | 0,136 |
| 84,00 | 30660,00 | 1095,00 | 7,17 | 918,35 | 0,137 |
| 85,00 | 31025,00 | 1108,04 | 7,16 | 916,88 | 0,138 |
| 86,00 | 31390,00 | 1121,07 | 7,15 | 915,42 | 0,140 |

| 87,00  | 31755,00 | 1134,11 | 7,14 | 913,96 | 0,141 |
|--------|----------|---------|------|--------|-------|
| 88,00  | 32120,00 | 1147,14 | 7,13 | 912,50 | 0,142 |
| 89,00  | 32485,00 | 1160,18 | 7,12 | 911,05 | 0,142 |
| 90,00  | 32850,00 | 1173,21 | 7,10 | 909,60 | 0,144 |
| 91,00  | 33215,00 | 1186,25 | 7,09 | 908,15 | 0,145 |
| 92,00  | 33580,00 | 1199,29 | 7,08 | 906,70 | 0,146 |
| 93,00  | 33945,00 | 1212,32 | 7,07 | 905,26 | 0,147 |
| 94,00  | 34310,00 | 1225,36 | 7,06 | 903,81 | 0,148 |
| 95,00  | 34675,00 | 1238,39 | 7,05 | 902,37 | 0,148 |
| 96,00  | 35040,00 | 1251,43 | 7,04 | 900,94 | 0,150 |
| 97,00  | 35405,00 | 1264,46 | 7,03 | 899,50 | 0,151 |
| 98,00  | 35770,00 | 1277,50 | 7,01 | 898,07 | 0,152 |
| 99,00  | 36135,00 | 1290,54 | 7,00 | 896,64 | 0,153 |
| 100,00 | 36500,00 | 1303,57 | 6,99 | 895,21 | 0,15  |
| 101,00 | 36865,00 | 1316,61 | 6,98 | 893,78 | 0,16  |
| 102,00 | 37230,00 | 1329,64 | 6,97 | 892,36 | 0,16  |
| 103,00 | 37595,00 | 1342,68 | 6,96 | 890,93 | 0,16  |
| 104,00 | 37960,00 | 1355,71 | 6,95 | 889,51 | 0,16  |
| 105,00 | 38325,00 | 1368,75 | 6,94 | 888,10 | 0,16  |
| 106,00 | 38690,00 | 1381,79 | 6,92 | 886,68 | 0,16  |
| 107,00 | 39055,00 | 1394,82 | 6,91 | 885,27 | 0,16  |
| 108,00 | 39420,00 | 1407,86 | 6,90 | 883,86 | 0,16  |
| 109,00 | 39785,00 | 1420,89 | 6,89 | 882,45 | 0,16  |
| 110,00 | 40150,00 | 1433,93 | 6,88 | 881,04 | 0,16  |
| 111,00 | 40515,00 | 1446,96 | 6,87 | 879,64 | 0,16  |
| 112,00 | 40880,00 | 1460,00 | 6,86 | 878,24 | 0,17  |
| 113,00 | 41245,00 | 1473,04 | 6,85 | 876,84 | 0,17  |
| 114,00 | 41610,00 | 1486,07 | 6,84 | 875,44 | 0,17  |
| 115,00 | 41975,00 | 1499,11 | 6,83 | 874,04 | 0,17  |
| 116,00 | 42340,00 | 1512,14 | 6,82 | 872,65 | 0,17  |
| 117,00 | 42705,00 | 1525,18 | 6,80 | 871,26 | 0,17  |
| 118,00 | 43070,00 | 1538,21 | 6,79 | 869,87 | 0,18  |
| 119,00 | 43435,00 | 1551,25 | 6,78 | 868,49 | 0,18  |
| 120,00 | 43800,00 | 1564,29 | 6,77 | 867,10 | 0,18  |
| 121,00 | 44165,00 | 1577,32 | 6,76 | 865,72 | 0,18  |
| 122,00 | 44530,00 | 1590,36 | 6,75 | 864,34 | 0,18  |
| 123,00 | 44895,00 | 1603,39 | 6,74 | 862,96 | 0,18  |
| 124,00 | 45260,00 | 1616,43 | 6,73 | 861,59 | 0,18  |
| 125,00 | 45625,00 | 1629,46 | 6,72 | 860,21 | 0,18  |
| 126,00 | 45990,00 | 1642,50 | 6,71 | 858,84 | 0,18  |
| 127,00 | 46355,00 | 1655,54 | 6,70 | 857,48 | 0,19  |
| 128,00 | 46720,00 | 1668,57 | 6,69 | 856,11 | 0,19  |
| 129,00 | 47085,00 | 1681,61 | 6,68 | 854,74 | 0,19  |
| 130,00 | 47450,00 | 1694,64 | 6,66 | 853,38 | 0,19  |
| 131,00 | 47815,00 | 1707,68 | 6,65 | 852,02 | 0,19  |

| 132,00       48180,00       1720,71       6,64       850,66         133,00       48545,00       1733,75       6,63       849,31         134,00       48910,00       1746,79       6,62       847,96         135,00       49275,00       1759,82       6,61       846,60         136,00       49640,00       1772,86       6,60       845,25         137,00       50005,00       1785,89       6,59       843,91         138,00       50370,00       1798,93       6,58       842,56         139,00       50735,00       1811,96       6,57       841,22         140,00       51100,00       1825,00       6,56       839,88         141,00       51465,00       1838,04       6,55       838,54         142,00       51830,00       1851,07       6,54       837,20         143,00       52195,00       1864,11       6,53       835,87         144,00       52560,00       1877,14       6,52       834,54         145,00       53290,00       1903,21       6,50       831,88         147,00       53655,00       1916,25       6,49       830,55         148,00       54020,00       1929,29 | 0,19<br>0,20<br>0,20<br>0,20<br>0,20<br>0,20<br>0,20<br>0,21<br>0,21<br>0,21<br>0,21<br>0,21<br>0,21<br>0,22 |
|---|--|
| 134,00       48910,00       1746,79       6,62       847,96         135,00       49275,00       1759,82       6,61       846,60         136,00       49640,00       1772,86       6,60       845,25         137,00       50005,00       1785,89       6,59       843,91         138,00       50370,00       1798,93       6,58       842,56         139,00       50735,00       1811,96       6,57       841,22         140,00       51100,00       1825,00       6,56       839,88         141,00       51465,00       1838,04       6,55       838,54         142,00       51830,00       1851,07       6,54       837,20         143,00       52195,00       1864,11       6,53       835,87         144,00       52560,00       1877,14       6,52       834,54         145,00       52925,00       1890,18       6,51       833,21         146,00       53290,00       1903,21       6,50       831,88         147,00       53655,00       1916,25       6,49       830,55   | 0,20<br>0,20<br>0,20<br>0,20<br>0,20<br>0,21<br>0,21<br>0,21<br>0,21<br>0,21<br>0,21<br>0,22                 |
| 135,00         49275,00         1759,82         6,61         846,60           136,00         49640,00         1772,86         6,60         845,25           137,00         50005,00         1785,89         6,59         843,91           138,00         50370,00         1798,93         6,58         842,56           139,00         50735,00         1811,96         6,57         841,22           140,00         51100,00         1825,00         6,56         839,88           141,00         51465,00         1838,04         6,55         838,54           142,00         51830,00         1851,07         6,54         837,20           143,00         52195,00         1864,11         6,53         835,87           144,00         52560,00         1877,14         6,52         834,54           145,00         52925,00         1890,18         6,51         833,21           146,00         53290,00         1903,21         6,50         831,88           147,00         53655,00         1916,25         6,49         830,55   | 0,20<br>0,20<br>0,20<br>0,20<br>0,20<br>0,21<br>0,21<br>0,21<br>0,21<br>0,21<br>0,21<br>0,21<br>0,22         |
| 136,00         49640,00         1772,86         6,60         845,25           137,00         50005,00         1785,89         6,59         843,91           138,00         50370,00         1798,93         6,58         842,56           139,00         50735,00         1811,96         6,57         841,22           140,00         51100,00         1825,00         6,56         839,88           141,00         51465,00         1838,04         6,55         838,54           142,00         51830,00         1851,07         6,54         837,20           143,00         52195,00         1864,11         6,53         835,87           144,00         52560,00         1877,14         6,52         834,54           145,00         52925,00         1890,18         6,51         833,21           146,00         53290,00         1903,21         6,50         831,88           147,00         53655,00         1916,25         6,49         830,55   | 0,20<br>0,20<br>0,20<br>0,20<br>0,21<br>0,21<br>0,21<br>0,21<br>0,21<br>0,21<br>0,22                         |
| 137,00         50005,00         1785,89         6,59         843,91           138,00         50370,00         1798,93         6,58         842,56           139,00         50735,00         1811,96         6,57         841,22           140,00         51100,00         1825,00         6,56         839,88           141,00         51465,00         1838,04         6,55         838,54           142,00         51830,00         1851,07         6,54         837,20           143,00         52195,00         1864,11         6,53         835,87           144,00         52560,00         1877,14         6,52         834,54           145,00         52925,00         1890,18         6,51         833,21           146,00         53290,00         1903,21         6,50         831,88           147,00         53655,00         1916,25         6,49         830,55   | 0,20<br>0,20<br>0,20<br>0,21<br>0,21<br>0,21<br>0,21<br>0,21<br>0,21<br>0,21<br>0,22                         |
| 138,00       50370,00       1798,93       6,58       842,56         139,00       50735,00       1811,96       6,57       841,22         140,00       51100,00       1825,00       6,56       839,88         141,00       51465,00       1838,04       6,55       838,54         142,00       51830,00       1851,07       6,54       837,20         143,00       52195,00       1864,11       6,53       835,87         144,00       52560,00       1877,14       6,52       834,54         145,00       52925,00       1890,18       6,51       833,21         146,00       53290,00       1903,21       6,50       831,88         147,00       53655,00       1916,25       6,49       830,55   | 0,20<br>0,20<br>0,21<br>0,21<br>0,21<br>0,21<br>0,21<br>0,21<br>0,22   |
| 139,00     50735,00     1811,96     6,57     841,22       140,00     51100,00     1825,00     6,56     839,88       141,00     51465,00     1838,04     6,55     838,54       142,00     51830,00     1851,07     6,54     837,20       143,00     52195,00     1864,11     6,53     835,87       144,00     52560,00     1877,14     6,52     834,54       145,00     52925,00     1890,18     6,51     833,21       146,00     53290,00     1903,21     6,50     831,88       147,00     53655,00     1916,25     6,49     830,55   | 0,20<br>0,21<br>0,21<br>0,21<br>0,21<br>0,21<br>0,21<br>0,22   |
| 140,00     51100,00     1825,00     6,56     839,88       141,00     51465,00     1838,04     6,55     838,54       142,00     51830,00     1851,07     6,54     837,20       143,00     52195,00     1864,11     6,53     835,87       144,00     52560,00     1877,14     6,52     834,54       145,00     52925,00     1890,18     6,51     833,21       146,00     53290,00     1903,21     6,50     831,88       147,00     53655,00     1916,25     6,49     830,55   | 0,21<br>0,21<br>0,21<br>0,21<br>0,21<br>0,21<br>0,22   |
| 141,00       51465,00       1838,04       6,55       838,54         142,00       51830,00       1851,07       6,54       837,20         143,00       52195,00       1864,11       6,53       835,87         144,00       52560,00       1877,14       6,52       834,54         145,00       52925,00       1890,18       6,51       833,21         146,00       53290,00       1903,21       6,50       831,88         147,00       53655,00       1916,25       6,49       830,55   | 0,21<br>0,21<br>0,21<br>0,21<br>0,21<br>0,22   |
| 142,00       51830,00       1851,07       6,54       837,20         143,00       52195,00       1864,11       6,53       835,87         144,00       52560,00       1877,14       6,52       834,54         145,00       52925,00       1890,18       6,51       833,21         146,00       53290,00       1903,21       6,50       831,88         147,00       53655,00       1916,25       6,49       830,55   | 0,21<br>0,21<br>0,21<br>0,21<br>0,22   |
| 143,00     52195,00     1864,11     6,53     835,87       144,00     52560,00     1877,14     6,52     834,54       145,00     52925,00     1890,18     6,51     833,21       146,00     53290,00     1903,21     6,50     831,88       147,00     53655,00     1916,25     6,49     830,55   | 0,21<br>0,21<br>0,21<br>0,22   |
| 144,00     52560,00     1877,14     6,52     834,54       145,00     52925,00     1890,18     6,51     833,21       146,00     53290,00     1903,21     6,50     831,88       147,00     53655,00     1916,25     6,49     830,55   | 0,21<br>0,21<br>0,22   |
| 145,00     52925,00     1890,18     6,51     833,21       146,00     53290,00     1903,21     6,50     831,88       147,00     53655,00     1916,25     6,49     830,55   | 0,21<br>0,22   |
| 146,00     53290,00     1903,21     6,50     831,88       147,00     53655,00     1916,25     6,49     830,55   | 0,22   |
| 147,00 53655,00 1916,25 6,49 830,55   |  |
|   | 0.22   |
| 148,00 54020,00 1929,29 6,48 829,23   | 0,22   |
|   | 0,22   |
| 149,00 54385,00 1942,32 6,47 827,91   | 0,22   |
| 150,00 54750,00 1955,36 6,46 826,59   | 0,22   |
| 151,00 55115,00 1968,39 6,45 825,27   | 0,22   |
| 152,00 55480,00 1981,43 6,44 823,96   | 0,22   |
| 153,00 55845,00 1994,46 6,42 822,64   | 0,22   |
| 154,00 56210,00 2007,50 6,41 821,33   | 0,23   |
| 155,00 56575,00 2020,54 6,40 820,02   | 0,23   |
| 156,00 56940,00 2033,57 6,39 818,72   | 0,23   |
| 157,00 57305,00 2046,61 6,38 817,41   | 0,23   |
| 158,00 57670,00 2059,64 6,37 816,11   | 0,23   |
| 159,00 58035,00 2072,68 6,36 814,81   | 0,23   |
| 160,00 58400,00 2085,71 6,35 813,51   | 0,23   |
| 161,00 58765,00 2098,75 6,34 812,22   | 0,24   |
| 162,00 59130,00 2111,79 6,33 810,92   | 0,24   |
| 163,00 59495,00 2124,82 6,32 809,63   | 0,24   |
| 164,00 59860,00 2137,86 6,31 808,34   | 0,24   |
| 165,00 60225,00 2150,89 6,30 807,05   | 0,24   |
| 166,00 60590,00 2163,93 6,29 805,76   | 0,24   |
| 167,00 60955,00 2176,96 6,28 804,48   | 0,24   |
| 168,00 61320,00 2190,00 6,27 803,20   | 0,25   |
| 169,00 61685,00 2203,04 6,26 801,92   | 0,25   |
| 170,00 62050,00 2216,07 6,25 800,64   | 0,25   |
| 171,00 62415,00 2229,11 6,24 799,36   | 0,25   |
| 172,00 62780,00 2242,14 6,23 798,09   | 0,25   |
| 173,00 63145,00 2255,18 6,22 796,82   | 0,25   |
| 174,00 63510,00 2268,21 6,21 795,55   | 0,26   |
| 175,00 63875,00 2281,25 6,20 794,28   | 0,26   |
| 176,00 64240,00 2294,29 6,19 793,01   | 0,26   |

| 177,00 | 64605,00 | 2307,32 | 6,18 | 791,75 | 0,26 |
|--------|----------|---------|------|--------|------|
| 178,00 | 64970,00 | 2320,36 | 6,17 | 790,49 | 0,26 |
| 179,00 | 65335,00 | 2333,39 | 6,16 | 789,23 | 0,26 |
| 180,00 | 65700,00 | 2346,43 | 6,15 | 787,97 | 0,27 |
| 181,00 | 66065,00 | 2359,46 | 6,14 | 786,72 | 0,27 |
| 182,00 | 66430,00 | 2372,50 | 6,13 | 785,46 | 0,27 |
| 183,00 | 66795,00 | 2385,54 | 6,12 | 784,21 | 0,27 |
| 184,00 | 67160,00 | 2398,57 | 6,11 | 782,96 | 0,27 |
| 185,00 | 67525,00 | 2411,61 | 6,11 | 781,71 | 0,27 |
| 186,00 | 67890,00 | 2424,64 | 6,10 | 780,47 | 0,28 |
| 187,00 | 68255,00 | 2437,68 | 6,09 | 779,22 | 0,28 |
| 188,00 | 68620,00 | 2450,71 | 6,08 | 777,98 | 0,28 |
| 189,00 | 68985,00 | 2463,75 | 6,07 | 776,74 | 0,28 |
| 190,00 | 69350,00 | 2476,79 | 6,06 | 775,50 | 0,28 |
| 191,00 | 69715,00 | 2489,82 | 6,05 | 774,27 | 0,29 |
| 192,00 | 70080,00 | 2502,86 | 6,04 | 773,03 | 0,29 |
| 193,00 | 70445,00 | 2515,89 | 6,03 | 771,80 | 0,29 |
| 194,00 | 70810,00 | 2528,93 | 6,02 | 770,57 | 0,29 |
| 195,00 | 71175,00 | 2541,96 | 6,01 | 769,34 | 0,29 |
| 196,00 | 71540,00 | 2555,00 | 6,00 | 768,12 | 0,30 |
| 197,00 | 71905,00 | 2568,04 | 5,99 | 766,89 | 0,30 |
| 198,00 | 72270,00 | 2581,07 | 5,98 | 765,67 | 0,30 |
| 199,00 | 72635,00 | 2594,11 | 5,97 | 764,45 | 0,30 |
| 200,00 | 73000,00 | 2607,14 | 5,96 | 763,23 | 0,30 |
| 201,00 | 73365,00 | 2620,18 | 5,95 | 762,02 | 0,31 |
| 202,00 | 73730,00 | 2633,21 | 5,94 | 760,80 | 0,31 |
| 203,00 | 74095,00 | 2646,25 | 5,93 | 759,59 | 0,31 |
| 204,00 | 74460,00 | 2659,29 | 5,92 | 758,38 | 0,31 |
| 205,00 | 74825,00 | 2672,32 | 5,91 | 757,17 | 0,31 |
| 206,00 | 75190,00 | 2685,36 | 5,90 | 755,96 | 0,31 |
| 207,00 | 75555,00 | 2698,39 | 5,89 | 754,76 | 0,31 |
| 208,00 | 75920,00 | 2711,43 | 5,89 | 753,56 | 0,32 |
| 209,00 | 76285,00 | 2724,46 | 5,88 | 752,36 | 0,32 |
| 210,00 | 76650,00 | 2737,50 | 5,87 | 751,16 | 0,32 |
| 211,00 | 77015,00 | 2750,54 | 5,86 | 749,96 | 0,32 |
| 212,00 | 77380,00 | 2763,57 | 5,85 | 748,76 | 0,32 |
| 213,00 | 77745,00 | 2776,61 | 5,84 | 747,57 | 0,33 |
| 214,00 | 78110,00 | 2789,64 | 5,83 | 746,38 | 0,33 |
| 215,00 | 78475,00 | 2802,68 | 5,82 | 745,19 | 0,33 |
| 216,00 | 78840,00 | 2815,71 | 5,81 | 744,00 | 0,33 |
| 217,00 | 79205,00 | 2828,75 | 5,80 | 742,82 | 0,33 |
| 218,00 | 79570,00 | 2841,79 | 5,79 | 741,63 | 0,34 |
| 219,00 | 79935,00 | 2854,82 | 5,78 | 740,45 | 0,34 |
| 220,00 | 80300,00 | 2867,86 | 5,77 | 739,27 | 0,34 |
| 221,00 | 80665,00 | 2880,89 | 5,76 | 738,09 | 0,34 |

| 222,00 | 81030,00 | 2893,93 | 5,76 | 736,92 | 0,34 |
|--------|----------|---------|------|--------|------|
| 223,00 | 81395,00 | 2906,96 | 5,75 | 735,74 | 0,35 |
| 224,00 | 81760,00 | 2920,00 | 5,74 | 734,57 | 0,35 |
| 225,00 | 82125,00 | 2933,04 | 5,73 | 733,40 | 0,35 |
| 226,00 | 82490,00 | 2946,07 | 5,72 | 732,23 | 0,35 |
| 227,00 | 82855,00 | 2959,11 | 5,71 | 731,06 | 0,35 |
| 228,00 | 83220,00 | 2972,14 | 5,70 | 729,90 | 0,36 |
| 229,00 | 83585,00 | 2985,18 | 5,69 | 728,74 | 0,36 |
| 230,00 | 83950,00 | 2998,21 | 5,68 | 727,57 | 0,36 |
| 231,00 | 84315,00 | 3011,25 | 5,67 | 726,42 | 0,36 |
| 232,00 | 84680,00 | 3024,29 | 5,66 | 725,26 | 0,36 |
| 233,00 | 85045,00 | 3037,32 | 5,66 | 724,10 | 0,37 |
| 234,00 | 85410,00 | 3050,36 | 5,65 | 722,95 | 0,37 |
| 235,00 | 85775,00 | 3063,39 | 5,64 | 721,80 | 0,37 |
| 236,00 | 86140,00 | 3076,43 | 5,63 | 720,65 | 0,37 |
| 237,00 | 86505,00 | 3089,46 | 5,62 | 719,50 | 0,38 |
| 238,00 | 86870,00 | 3102,50 | 5,61 | 718,35 | 0,38 |
| 239,00 | 87235,00 | 3115,54 | 5,60 | 717,21 | 0,38 |
| 240,00 | 87600,00 | 3128,57 | 5,59 | 716,06 | 0,38 |
| 241,00 | 87965,00 | 3141,61 | 5,58 | 714,92 | 0,39 |
| 242,00 | 88330,00 | 3154,64 | 5,57 | 713,78 | 0,39 |
| 243,00 | 88695,00 | 3167,68 | 5,57 | 712,64 | 0,39 |
| 244,00 | 89060,00 | 3180,71 | 5,56 | 711,51 | 0,39 |
| 245,00 | 89425,00 | 3193,75 | 5,55 | 710,37 | 0,40 |
| 246,00 | 89790,00 | 3206,79 | 5,54 | 709,24 | 0,40 |
| 247,00 | 90155,00 | 3219,82 | 5,53 | 708,11 | 0,40 |
| 248,00 | 90520,00 | 3232,86 | 5,52 | 706,98 | 0,40 |
| 249,00 | 90885,00 | 3245,89 | 5,51 | 705,86 | 0,40 |

### Récapitulatif des résultats de probabilité de défaillance pour $i_{corr} = 0.3 \ \mu A/cm^2$

| Instant t [année] | instant t [jours] | n      | poids a l'instant t<br>[kg/ml] | Section câble [mm²] | Pf    |
|-------------------|-------------------|--------|--------------------------------|---------------------|-------|
| 0,00              | 0,00              | 0,00   | 8,20                           | 1050,00             | 0,075 |
| 1,00              | 365,00            | 13,04  | 8,16                           | 1044,94             | 0,078 |
| 2,00              | 730,00            | 26,07  | 8,12                           | 1039,90             | 0,081 |
| 3,00              | 1095,00           | 39,11  | 8,08                           | 1034,88             | 0,082 |
| 4,00              | 1460,00           | 52,14  | 8,04                           | 1029,89             | 0,083 |
| 5,00              | 1825,00           | 65,18  | 8,00                           | 1024,93             | 0,085 |
| 6,00              | 2190,00           | 78,21  | 7,97                           | 1019,99             | 0,086 |
| 7,00              | 2555,00           | 91,25  | 7,93                           | 1015,07             | 0,087 |
| 8,00              | 2920,00           | 104,29 | 7,89                           | 1010,17             | 0,089 |
| 9,00              | 3285,00           | 117,32 | 7,85                           | 1005,30             | 0,092 |
| 10,00             | 3650,00           | 130,36 | 7,81                           | 1000,45             | 0,093 |
| 11,00             | 4015,00           | 143,39 | 7,78                           | 995,63              | 0,094 |
| 12,00             | 4380,00           | 156,43 | 7,74                           | 990,83              | 0,095 |

| 13,00 | 4745,00  | 169,46 | 7,70 | 986,05 | 0,098 |
|-------|----------|--------|------|--------|-------|
| 14,00 | 5110,00  | 182,50 | 7,66 | 981,30 | 0,100 |
| 15,00 | 5475,00  | 195,54 | 7,63 | 976,56 | 0,102 |
| 16,00 | 5840,00  | 208,57 | 7,59 | 971,86 | 0,103 |
| 17,00 | 6205,00  | 221,61 | 7,55 | 967,17 | 0,106 |
| 18,00 | 6570,00  | 234,64 | 7,52 | 962,51 | 0,108 |
| 19,00 | 6935,00  | 247,68 | 7,48 | 957,86 | 0,111 |
| 20,00 | 7300,00  | 260,71 | 7,44 | 953,25 | 0,113 |
| 21,00 | 7665,00  | 273,75 | 7,41 | 948,65 | 0,115 |
| 22,00 | 8030,00  | 286,79 | 7,37 | 944,07 | 0,119 |
| 23,00 | 8395,00  | 299,82 | 7,34 | 939,52 | 0,122 |
| 24,00 | 8760,00  | 312,86 | 7,30 | 934,99 | 0,125 |
| 25,00 | 9125,00  | 325,89 | 7,27 | 930,48 | 0,127 |
| 26,00 | 9490,00  | 338,93 | 7,23 | 926,00 | 0,131 |
| 27,00 | 9855,00  | 351,96 | 7,20 | 921,53 | 0,135 |
| 28,00 | 10220,00 | 365,00 | 7,16 | 917,09 | 0,138 |
| 29,00 | 10585,00 | 378,04 | 7,13 | 912,67 | 0,142 |
| 30,00 | 10950,00 | 391,07 | 7,09 | 908,26 | 0,145 |
| 31,00 | 11315,00 | 404,11 | 7,06 | 903,88 | 0,148 |
| 32,00 | 11680,00 | 417,14 | 7,03 | 899,53 | 0,151 |
| 33,00 | 12045,00 | 430,18 | 6,99 | 895,19 | 0,154 |
| 34,00 | 12410,00 | 443,21 | 6,96 | 890,87 | 0,157 |
| 35,00 | 12775,00 | 456,25 | 6,92 | 886,58 | 0,161 |
| 36,00 | 13140,00 | 469,29 | 6,89 | 882,30 | 0,163 |
| 37,00 | 13505,00 | 482,32 | 6,86 | 878,05 | 0,166 |
| 38,00 | 13870,00 | 495,36 | 6,82 | 873,81 | 0,171 |
| 39,00 | 14235,00 | 508,39 | 6,79 | 869,60 | 0,175 |
| 40,00 | 14600,00 | 521,43 | 6,76 | 865,41 | 0,180 |
| 41,00 | 14965,00 | 534,46 | 6,73 | 861,23 | 0,182 |
| 42,00 | 15330,00 | 547,50 | 6,69 | 857,08 | 0,187 |
| 43,00 | 15695,00 | 560,54 | 6,66 | 852,95 | 0,191 |
| 44,00 | 16060,00 | 573,57 | 6,63 | 848,83 | 0,196 |
| 45,00 | 16425,00 | 586,61 | 6,60 | 844,74 | 0,201 |
| 46,00 | 16790,00 | 599,64 | 6,57 | 840,67 | 0,206 |
| 47,00 | 17155,00 | 612,68 | 6,53 | 836,61 | 0,210 |
| 48,00 | 17520,00 | 625,71 | 6,50 | 832,58 | 0,214 |
| 49,00 | 17885,00 | 638,75 | 6,47 | 828,57 | 0,219 |
| 50,00 | 18250,00 | 651,79 | 6,44 | 824,57 | 0,221 |
| 51,00 | 18615,00 | 664,82 | 6,41 | 820,59 | 0,227 |
| 52,00 | 18980,00 | 677,86 | 6,38 | 816,64 | 0,231 |
| 53,00 | 19345,00 | 690,89 | 6,35 | 812,70 | 0,236 |
| 54,00 | 19710,00 | 703,93 | 6,32 | 808,78 | 0,240 |
| 55,00 | 20075,00 | 716,96 | 6,29 | 804,88 | 0,243 |
| 56,00 | 20440,00 | 730,00 | 6,26 | 801,00 | 0,247 |
| 57,00 | 20805,00 | 743,04 | 6,23 | 797,14 | 0,253 |

| 58,00  | 21170,00 | 756,07  | 6,20 | 793,29 | 0,258 |
|--------|----------|---------|------|--------|-------|
| 59,00  | 21535,00 | 769,11  | 6,17 | 789,47 | 0,264 |
| 60,00  | 21900,00 | 782,14  | 6,14 | 785,66 | 0,268 |
| 61,00  | 22265,00 | 795,18  | 6,11 | 781,87 | 0,273 |
| 62,00  | 22630,00 | 808,21  | 6,08 | 778,10 | 0,280 |
| 63,00  | 22995,00 | 821,25  | 6,05 | 774,35 | 0,286 |
| 64,00  | 23360,00 | 834,29  | 6,02 | 770,62 | 0,291 |
| 65,00  | 23725,00 | 847,32  | 5,99 | 766,90 | 0,298 |
| 66,00  | 24090,00 | 860,36  | 5,96 | 763,20 | 0,305 |
| 67,00  | 24455,00 | 873,39  | 5,93 | 759,52 | 0,308 |
| 68,00  | 24820,00 | 886,43  | 5,90 | 755,86 | 0,313 |
| 69,00  | 25185,00 | 899,46  | 5,87 | 752,22 | 0,318 |
| 70,00  | 25550,00 | 912,50  | 5,85 | 748,59 | 0,324 |
| 71,00  | 25915,00 | 925,54  | 5,82 | 744,98 | 0,332 |
| 72,00  | 26280,00 | 938,57  | 5,79 | 741,39 | 0,337 |
| 73,00  | 26645,00 | 951,61  | 5,76 | 737,81 | 0,342 |
| 74,00  | 27010,00 | 964,64  | 5,73 | 734,25 | 0,348 |
| 75,00  | 27375,00 | 977,68  | 5,71 | 730,71 | 0,355 |
| 76,00  | 27740,00 | 990,71  | 5,68 | 727,19 | 0,361 |
| 77,00  | 28105,00 | 1003,75 | 5,65 | 723,68 | 0,368 |
| 78,00  | 28470,00 | 1016,79 | 5,62 | 720,19 | 0,375 |
| 79,00  | 28835,00 | 1029,82 | 5,60 | 716,72 | 0,383 |
| 80,00  | 29200,00 | 1042,86 | 5,57 | 713,26 | 0,389 |
| 81,00  | 29565,00 | 1055,89 | 5,54 | 709,83 | 0,396 |
| 82,00  | 29930,00 | 1068,93 | 5,52 | 706,40 | 0,403 |
| 83,00  | 30295,00 | 1081,96 | 5,49 | 703,00 | 0,411 |
| 84,00  | 30660,00 | 1095,00 | 5,46 | 699,61 | 0,417 |
| 85,00  | 31025,00 | 1108,04 | 5,44 | 696,23 | 0,425 |
| 86,00  | 31390,00 | 1121,07 | 5,41 | 692,88 | 0,433 |
| 87,00  | 31755,00 | 1134,11 | 5,39 | 689,53 | 0,439 |
| 88,00  | 32120,00 | 1147,14 | 5,36 | 686,21 | 0,447 |
| 89,00  | 32485,00 | 1160,18 | 5,33 | 682,90 | 0,454 |
| 90,00  | 32850,00 | 1173,21 | 5,31 | 679,61 | 0,460 |
| 91,00  | 33215,00 | 1186,25 | 5,28 | 676,33 | 0,467 |
| 92,00  | 33580,00 | 1199,29 | 5,26 | 673,07 | 0,474 |
| 93,00  | 33945,00 | 1212,32 | 5,23 | 669,82 | 0,484 |
| 94,00  | 34310,00 | 1225,36 | 5,21 | 666,59 | 0,492 |
| 95,00  | 34675,00 | 1238,39 | 5,18 | 663,38 | 0,500 |
| 96,00  | 35040,00 | 1251,43 | 5,16 | 660,18 | 0,506 |
| 97,00  | 35405,00 | 1264,46 | 5,13 | 657,00 | 0,512 |
| 98,00  | 35770,00 | 1277,50 | 5,11 | 653,83 | 0,518 |
| 99,00  | 36135,00 | 1290,54 | 5,08 | 650,68 | 0,524 |
| 100,00 | 36500,00 | 1303,57 | 5,06 | 647,54 | 0,53  |
| 101,00 | 36865,00 | 1316,61 | 5,03 | 644,42 | 0,54  |
| 102,00 | 37230,00 | 1329,64 | 5,01 | 641,31 | 0,54  |

| 103,00 | 37595,00 | 1342,68 | 4,98 | 638,22 | 0,55 |
|--------|----------|---------|------|--------|------|
| 104,00 | 37960,00 | 1355,71 | 4,96 | 635,14 | 0,56 |
| 105,00 | 38325,00 | 1368,75 | 4,94 | 632,08 | 0,57 |
| 106,00 | 38690,00 | 1381,79 | 4,91 | 629,03 | 0,57 |
| 107,00 | 39055,00 | 1394,82 | 4,89 | 626,00 | 0,58 |
| 108,00 | 39420,00 | 1407,86 | 4,87 | 622,98 | 0,59 |
| 109,00 | 39785,00 | 1420,89 | 4,84 | 619,97 | 0,59 |
| 110,00 | 40150,00 | 1433,93 | 4,82 | 616,98 | 0,60 |
| 111,00 | 40515,00 | 1446,96 | 4,80 | 614,01 | 0,61 |
| 112,00 | 40880,00 | 1460,00 | 4,77 | 611,05 | 0,62 |
| 113,00 | 41245,00 | 1473,04 | 4,75 | 608,10 | 0,62 |
| 114,00 | 41610,00 | 1486,07 | 4,73 | 605,17 | 0,63 |
| 115,00 | 41975,00 | 1499,11 | 4,70 | 602,25 | 0,64 |
| 116,00 | 42340,00 | 1512,14 | 4,68 | 599,35 | 0,64 |
| 117,00 | 42705,00 | 1525,18 | 4,66 | 596,46 | 0,65 |
| 118,00 | 43070,00 | 1538,21 | 4,64 | 593,58 | 0,66 |
| 119,00 | 43435,00 | 1551,25 | 4,61 | 590,72 | 0,67 |
| 120,00 | 43800,00 | 1564,29 | 4,59 | 587,87 | 0,68 |
| 121,00 | 44165,00 | 1577,32 | 4,57 | 585,04 | 0,68 |
| 122,00 | 44530,00 | 1590,36 | 4,55 | 582,21 | 0,69 |
| 123,00 | 44895,00 | 1603,39 | 4,53 | 579,41 | 0,70 |
| 124,00 | 45260,00 | 1616,43 | 4,50 | 576,61 | 0,71 |
| 125,00 | 45625,00 | 1629,46 | 4,48 | 573,83 | 0,72 |
| 126,00 | 45990,00 | 1642,50 | 4,46 | 571,07 | 0,72 |
| 127,00 | 46355,00 | 1655,54 | 4,44 | 568,31 | 0,73 |
| 128,00 | 46720,00 | 1668,57 | 4,42 | 565,57 | 0,74 |
| 129,00 | 47085,00 | 1681,61 | 4,40 | 562,84 | 0,74 |
| 130,00 | 47450,00 | 1694,64 | 4,37 | 560,13 | 0,75 |
| 131,00 | 47815,00 | 1707,68 | 4,35 | 557,43 | 0,75 |
| 132,00 | 48180,00 | 1720,71 | 4,33 | 554,74 | 0,76 |
| 133,00 | 48545,00 | 1733,75 | 4,31 | 552,07 | 0,77 |
| 134,00 | 48910,00 | 1746,79 | 4,29 | 549,40 | 0,78 |
| 135,00 | 49275,00 | 1759,82 | 4,27 | 546,76 | 0,78 |
| 136,00 | 49640,00 | 1772,86 | 4,25 | 544,12 | 0,79 |
| 137,00 | 50005,00 | 1785,89 | 4,23 | 541,50 | 0,79 |
| 138,00 | 50370,00 | 1798,93 | 4,21 | 538,88 | 0,80 |
| 139,00 | 50735,00 | 1811,96 | 4,19 | 536,29 | 0,81 |
| 140,00 | 51100,00 | 1825,00 | 4,17 | 533,70 | 0,81 |
| 141,00 | 51465,00 | 1838,04 | 4,15 | 531,13 | 0,82 |
| 142,00 | 51830,00 | 1851,07 | 4,13 | 528,57 | 0,82 |
| 143,00 | 52195,00 | 1864,11 | 4,11 | 526,02 | 0,83 |
| 144,00 | 52560,00 | 1877,14 | 4,09 | 523,48 | 0,84 |
| 145,00 | 52925,00 | 1890,18 | 4,07 | 520,96 | 0,84 |
| 146,00 | 53290,00 | 1903,21 | 4,05 | 518,44 | 0,85 |
| 147,00 | 53655,00 | 1916,25 | 4,03 | 515,94 | 0,85 |

| 148,00 | 54020,00 | 1929,29 | 4,01 | 513,46 | 0,86 |
|--------|----------|---------|------|--------|------|
| 149,00 | 54385,00 | 1942,32 | 3,99 | 510,98 | 0,86 |
| 150,00 | 54750,00 | 1955,36 | 3,97 | 508,52 | 0,87 |
| 151,00 | 55115,00 | 1968,39 | 3,95 | 506,06 | 0,87 |
| 152,00 | 55480,00 | 1981,43 | 3,93 | 503,62 | 0,88 |
| 153,00 | 55845,00 | 1994,46 | 3,91 | 501,20 | 0,88 |
| 154,00 | 56210,00 | 2007,50 | 3,90 | 498,78 | 0,89 |
| 155,00 | 56575,00 | 2020,54 | 3,88 | 496,37 | 0,89 |
| 156,00 | 56940,00 | 2033,57 | 3,86 | 493,98 | 0,89 |
| 157,00 | 57305,00 | 2046,61 | 3,84 | 491,60 | 0,90 |
| 158,00 | 57670,00 | 2059,64 | 3,82 | 489,23 | 0,90 |
| 159,00 | 58035,00 | 2072,68 | 3,80 | 486,87 | 0,91 |
| 160,00 | 58400,00 | 2085,71 | 3,78 | 484,52 | 0,91 |
| 161,00 | 58765,00 | 2098,75 | 3,77 | 482,18 | 0,91 |
| 162,00 | 59130,00 | 2111,79 | 3,75 | 479,86 | 0,92 |
| 163,00 | 59495,00 | 2124,82 | 3,73 | 477,55 | 0,92 |
| 164,00 | 59860,00 | 2137,86 | 3,71 | 475,24 | 0,93 |
| 165,00 | 60225,00 | 2150,89 | 3,69 | 472,95 | 0,93 |
| 166,00 | 60590,00 | 2163,93 | 3,68 | 470,67 | 0,93 |
| 167,00 | 60955,00 | 2176,96 | 3,66 | 468,40 | 0,94 |
| 168,00 | 61320,00 | 2190,00 | 3,64 | 466,14 | 0,94 |
| 169,00 | 61685,00 | 2203,04 | 3,62 | 463,89 | 0,94 |
| 170,00 | 62050,00 | 2216,07 | 3,61 | 461,66 | 0,94 |
| 171,00 | 62415,00 | 2229,11 | 3,59 | 459,43 | 0,95 |
| 172,00 | 62780,00 | 2242,14 | 3,57 | 457,22 | 0,95 |
| 173,00 | 63145,00 | 2255,18 | 3,55 | 455,01 | 0,95 |
| 174,00 | 63510,00 | 2268,21 | 3,54 | 452,82 | 0,96 |
| 175,00 | 63875,00 | 2281,25 | 3,52 | 450,63 | 0,96 |
| 176,00 | 64240,00 | 2294,29 | 3,50 | 448,46 | 0,96 |
| 177,00 | 64605,00 | 2307,32 | 3,49 | 446,30 | 0,96 |
| 178,00 | 64970,00 | 2320,36 | 3,47 | 444,15 | 0,97 |
| 179,00 | 65335,00 | 2333,39 | 3,45 | 442,00 | 0,97 |
| 180,00 | 65700,00 | 2346,43 | 3,44 | 439,87 | 0,97 |
| 181,00 | 66065,00 | 2359,46 | 3,42 | 437,75 | 0,97 |
| 182,00 | 66430,00 | 2372,50 | 3,40 | 435,64 | 0,97 |
| 183,00 | 66795,00 | 2385,54 | 3,39 | 433,54 | 0,98 |
| 184,00 | 67160,00 | 2398,57 | 3,37 | 431,45 | 0,98 |
| 185,00 | 67525,00 | 2411,61 | 3,35 | 429,37 | 0,98 |
| 186,00 | 67890,00 | 2424,64 | 3,34 | 427,30 | 0,98 |
| 187,00 | 68255,00 | 2437,68 | 3,32 | 425,24 | 0,98 |
| 188,00 | 68620,00 | 2450,71 | 3,31 | 423,19 | 0,98 |
| 189,00 | 68985,00 | 2463,75 | 3,29 | 421,15 | 0,99 |
| 190,00 | 69350,00 | 2476,79 | 3,27 | 419,12 | 0,99 |
| 191,00 | 69715,00 | 2489,82 | 3,26 | 417,10 | 0,99 |
| 192,00 | 70080,00 | 2502,86 | 3,24 | 415,09 | 0,99 |

| 193,00 | 70445,00 | 2515,89 | 3 23 | 413,08 | 0.99 |
|--------|----------|---------|------|--------|------|
| 1,5,00 | 70115,00 | 2515,07 | J,4J | 115,00 | 0,22 |

# Récapitulatif des résultats de probabilité de défaillance pour $i_{corr} = 0.75 \ \mu A/cm^2$

| Instant t [année] | instant t [jours] | n      | poids a l'instant t<br>[kg/ml] | Section câble [mm²] | Pf   |
|-------------------|-------------------|--------|--------------------------------|---------------------|------|
| 0,00              | 0,00              | 0,00   | 8,20                           | 1050,00             | 0,08 |
| 1,00              | 365,00            | 13,04  | 8,10                           | 1037,38             | 0,09 |
| 2,00              | 730,00            | 26,07  | 8,00                           | 1024,92             | 0,09 |
| 3,00              | 1095,00           | 39,11  | 7,91                           | 1012,61             | 0,10 |
| 4,00              | 1460,00           | 52,14  | 7,81                           | 1000,44             | 0,10 |
| 5,00              | 1825,00           | 65,18  | 7,72                           | 988,42              | 0,11 |
| 6,00              | 2190,00           | 78,21  | 7,63                           | 976,54              | 0,11 |
| 7,00              | 2555,00           | 91,25  | 7,54                           | 964,81              | 0,12 |
| 8,00              | 2920,00           | 104,29 | 7,44                           | 953,22              | 0,12 |
| 9,00              | 3285,00           | 117,32 | 7,36                           | 941,77              | 0,13 |
| 10,00             | 3650,00           | 130,36 | 7,27                           | 930,45              | 0,13 |
| 11,00             | 4015,00           | 143,39 | 7,18                           | 919,27              | 0,13 |
| 12,00             | 4380,00           | 156,43 | 7,09                           | 908,23              | 0,14 |
| 13,00             | 4745,00           | 169,46 | 7,01                           | 897,32              | 0,15 |
| 14,00             | 5110,00           | 182,50 | 6,92                           | 886,53              | 0,16 |
| 15,00             | 5475,00           | 195,54 | 6,84                           | 875,88              | 0,17 |
| 16,00             | 5840,00           | 208,57 | 6,76                           | 865,36              | 0,18 |
| 17,00             | 6205,00           | 221,61 | 6,68                           | 854,96              | 0,19 |
| 18,00             | 6570,00           | 234,64 | 6,60                           | 844,69              | 0,21 |
| 19,00             | 6935,00           | 247,68 | 6,52                           | 834,54              | 0,22 |
| 20,00             | 7300,00           | 260,71 | 6,44                           | 824,52              | 0,22 |
| 21,00             | 7665,00           | 273,75 | 6,36                           | 814,61              | 0,23 |
| 22,00             | 8030,00           | 286,79 | 6,29                           | 804,82              | 0,24 |
| 23,00             | 8395,00           | 299,82 | 6,21                           | 795,15              | 0,25 |
| 24,00             | 8760,00           | 312,86 | 6,14                           | 785,60              | 0,27 |
| 25,00             | 9125,00           | 325,89 | 6,06                           | 776,16              | 0,28 |
| 26,00             | 9490,00           | 338,93 | 5,99                           | 766,83              | 0,29 |
| 27,00             | 9855,00           | 351,96 | 5,92                           | 757,62              | 0,30 |
| 28,00             | 10220,00          | 365,00 | 5,85                           | 748,52              | 0,31 |
| 29,00             | 10585,00          | 378,04 | 5,78                           | 739,52              | 0,33 |
| 30,00             | 10950,00          | 391,07 | 5,71                           | 730,64              | 0,34 |
| 31,00             | 11315,00          | 404,11 | 5,64                           | 721,86              | 0,35 |
| 32,00             | 11680,00          | 417,14 | 5,57                           | 713,19              | 0,37 |
| 33,00             | 12045,00          | 430,18 | 5,50                           | 704,62              | 0,40 |
| 34,00             | 12410,00          | 443,21 | 5,44                           | 696,15              | 0,42 |
| 35,00             | 12775,00          | 456,25 | 5,37                           | 687,79              | 0,43 |
| 36,00             | 13140,00          | 469,29 | 5,31                           | 679,53              | 0,45 |
| 37,00             | 13505,00          | 482,32 | 5,24                           | 671,36              | 0,47 |
| 38,00             | 13870,00          | 495,36 | 5,18                           | 663,30              | 0,48 |
| 39,00             | 14235,00          | 508,39 | 5,12                           | 655,33              | 0,50 |

| 40,00 | 14600,00 | 521,43  | 5,06 | 647,45 | 0,52 |
|-------|----------|---------|------|--------|------|
| 41,00 | 14965,00 | 534,46  | 5,00 | 639,67 | 0,54 |
| 42,00 | 15330,00 | 547,50  | 4,94 | 631,99 | 0,56 |
| 43,00 | 15695,00 | 560,54  | 4,88 | 624,39 | 0,57 |
| 44,00 | 16060,00 | 573,57  | 4,82 | 616,89 | 0,60 |
| 45,00 | 16425,00 | 586,61  | 4,76 | 609,48 | 0,61 |
| 46,00 | 16790,00 | 599,64  | 4,70 | 602,16 | 0,63 |
| 47,00 | 17155,00 | 612,68  | 4,65 | 594,92 | 0,65 |
| 48,00 | 17520,00 | 625,71  | 4,59 | 587,78 | 0,67 |
| 49,00 | 17885,00 | 638,75  | 4,54 | 580,71 | 0,69 |
| 50,00 | 18250,00 | 651,79  | 4,48 | 573,74 | 0,71 |
| 51,00 | 18615,00 | 664,82  | 4,43 | 566,84 | 0,72 |
| 52,00 | 18980,00 | 677,86  | 4,37 | 560,03 | 0,74 |
| 53,00 | 19345,00 | 690,89  | 4,32 | 553,30 | 0,76 |
| 54,00 | 19710,00 | 703,93  | 4,27 | 546,66 | 0,77 |
| 55,00 | 20075,00 | 716,96  | 4,22 | 540,09 | 0,79 |
| 56,00 | 20440,00 | 730,00  | 4,17 | 533,60 | 0,81 |
| 57,00 | 20805,00 | 743,04  | 4,12 | 527,19 | 0,83 |
| 58,00 | 21170,00 | 756,07  | 4,07 | 520,85 | 0,84 |
| 59,00 | 21535,00 | 769,11  | 4,02 | 514,60 | 0,86 |
| 60,00 | 21900,00 | 782,14  | 3,97 | 508,41 | 0,87 |
| 61,00 | 22265,00 | 795,18  | 3,92 | 502,31 | 0,88 |
| 62,00 | 22630,00 | 808,21  | 3,88 | 496,27 | 0,89 |
| 63,00 | 22995,00 | 821,25  | 3,83 | 490,31 | 0,90 |
| 64,00 | 23360,00 | 834,29  | 3,78 | 484,42 | 0,91 |
| 65,00 | 23725,00 | 847,32  | 3,74 | 478,60 | 0,92 |
| 66,00 | 24090,00 | 860,36  | 3,69 | 472,85 | 0,94 |
| 67,00 | 24455,00 | 873,39  | 3,65 | 467,17 | 0,95 |
| 68,00 | 24820,00 | 886,43  | 3,60 | 461,55 | 0,95 |
| 69,00 | 25185,00 | 899,46  | 3,56 | 456,01 | 0,96 |
| 70,00 | 25550,00 | 912,50  | 3,52 | 450,53 | 0,97 |
| 71,00 | 25915,00 | 925,54  | 3,48 | 445,12 | 0,97 |
| 72,00 | 26280,00 | 938,57  | 3,43 | 439,77 | 0,98 |
| 73,00 | 26645,00 | 951,61  | 3,39 | 434,48 | 0,98 |
| 74,00 | 27010,00 | 964,64  | 3,35 | 429,26 | 0,99 |
| 75,00 | 27375,00 | 977,68  | 3,31 | 424,11 | 0,99 |
| 76,00 | 27740,00 | 990,71  | 3,27 | 419,01 | 0,99 |
| 77,00 | 28105,00 | 1003,75 | 3,23 | 413,98 | 0,99 |
| 78,00 | 28470,00 | 1016,79 | 3,19 | 409,00 | 0,99 |
| 79,00 | 28835,00 | 1029,82 | 3,16 | 404,09 | 0,99 |
| 80,00 | 29200,00 | 1042,86 | 3,12 | 399,23 | 0,99 |
| 81,00 | 29565,00 | 1055,89 | 3,08 | 394,44 | 1,00 |

Récapitulatif des résultats de probabilité de défaillance pour  $i_{corr} = 1.43 \ \mu A/cm^2$ 

| t (ans) | instant t [jours] | n              | poids a l'instant t [kg/ml] | •       | Pf    |
|---------|-------------------|----------------|-----------------------------|---------|-------|
| 0,00    | 0,00              | 0,00           | 8,20                        | 1050,00 | 0,084 |
| 1,00    | 365,00            | 13,04          | 8,01                        | 1026,05 | 0,084 |
| 2,00    | 730,00            | 26,07          | 7,83                        | 1020,03 | 0,103 |
| 3,00    | 1095,00           | 39,11          | 7,65                        | 979,78  | 0,103 |
| 4,00    | 1460,00           | 52,14          | 7,48                        | 957,43  | 0,114 |
| 5,00    | 1825,00           | 65,18          | 7,48                        | 935,59  | 0,122 |
| 6,00    | 2190,00           |                | 7,14                        | 933,39  | 0,130 |
| 7,00    | 2555,00           | 78,21<br>91,25 | 6,98                        | 893,40  | 0,144 |
| 8,00    | 2920,00           |                | 6,82                        |         |       |
|         |                   | 104,29         | · ·                         | 873,02  | 0,181 |
| 9,00    | 3285,00           | 117,32         | 6,66                        | 853,11  | 0,210 |
| 10,00   | 3650,00           | 130,36         | 6,51                        | 833,65  | 0,224 |
| 11,00   | 4015,00           | 143,39         | 6,36                        | 814,64  | 0,239 |
| 12,00   | 4380,00           | 156,43         | 6,22                        | 796,06  | 0,267 |
| 13,00   | 4745,00           | 169,46         | 6,08                        | 777,90  | 0,291 |
| 14,00   | 5110,00           | 182,50         | 5,94                        | 760,16  | 0,313 |
| 15,00   | 5475,00           | 195,54         | 5,80                        | 742,82  | 0,338 |
| 16,00   | 5840,00           | 208,57         | 5,67                        | 725,88  | 0,374 |
| 17,00   | 6205,00           | 221,61         | 5,54                        | 709,32  | 0,418 |
| 18,00   | 6570,00           | 234,64         | 5,41                        | 693,14  | 0,453 |
| 19,00   | 6935,00           | 247,68         | 5,29                        | 677,33  | 0,484 |
| 20,00   | 7300,00           | 260,71         | 5,17                        | 661,89  | 0,520 |
| 21,00   | 7665,00           | 273,75         | 5,05                        | 646,79  | 0,558 |
| 22,00   | 8030,00           | 286,79         | 4,94                        | 632,04  | 0,594 |
| 23,00   | 8395,00           | 299,82         | 4,82                        | 617,62  | 0,632 |
| 24,00   | 8760,00           | 312,86         | 4,71                        | 603,53  | 0,670 |
| 25,00   | 9125,00           | 325,89         | 4,61                        | 589,77  | 0,707 |
| 26,00   | 9490,00           | 338,93         | 4,50                        | 576,32  | 0,737 |
| 27,00   | 9855,00           | 351,96         | 4,40                        | 563,17  | 0,772 |
| 28,00   | 10220,00          | 365,00         | 4,30                        | 550,33  | 0,809 |
| 29,00   | 10585,00          | 378,04         | 4,20                        | 537,77  | 0,837 |
| 30,00   | 10950,00          | 391,07         | 4,10                        | 525,51  | 0,869 |
| 31,00   | 11315,00          | 404,11         | 4,01                        | 513,52  | 0,886 |
| 32,00   | 11680,00          | 417,14         | 3,92                        | 501,81  | 0,908 |
| 33,00   | 12045,00          | 430,18         | 3,83                        | 490,36  | 0,938 |
| 34,00   | 12410,00          | 443,21         | 3,74                        | 479,18  | 0,951 |
| 35,00   | 12775,00          | 456,25         | 3,66                        | 468,25  | 0,968 |
| 36,00   | 13140,00          | 469,29         | 3,57                        | 457,57  | 0,977 |
| 37,00   | 13505,00          | 482,32         | 3,49                        | 447,13  | 0,986 |
| 38,00   | 13870,00          | 495,36         | 3,41                        | 436,93  | 0,991 |
| 39,00   | 14235,00          | 508,39         | 3,33                        | 426,97  | 0,993 |
| 40,00   | 14600,00          | 521,43         | 3,26                        | 417,23  | 0,994 |
| 41,00   | 14965,00          | 534,46         | 3,18                        | 407,71  | 0,996 |

Akli et Rihane, « analyse fiabiliste du comportement non linéaire d'un réservoir surélevé sur pilotis », 2017.

Cours de béton précontraint, Mr kachi

Cours d'ouvrages hydrauliques, Mr HAMMOUM.

Cours d'hydraulique.

Cours d'analyse.

DJEDDI Lamine, « Contribution à l'étude mécano-fiabiliste des câbles de précontrainte des ouvrages d'art, application au contrôle par émission acoustique », 2013.

HAMMOUM Hocine, thèse magister, 1998.

M. Otieno et Al, «Prediction of corrosion rate in reinforced concrete structures – a critical review and preliminary results», 2012.

MILOUDI Nassima\*, BOUZELHA Karima\*, HAMMOUM Hocine\*, AOUES Younes \*\* & AMIRI Ouali, «ANALYSE DETERMINISTE D'UN RESERVOIR SURELEVE EN BETON TENANT COMPTE DE LA CORROSION », 2018.

Seguel et Keddam, « Calcul d'un réservoir circulaire en béton précontraint posé au sol de capacité de 5000 m<sup>3</sup> », 2015.